

泊発電所 3 号炉 有効性評価 比較表

7.2.4. 水素燃焼 (添付資料 7.2.4.7 評価事故シーケンスでの重大事故等対策の概要系統図について)

赤字: 設備、運用又は体制の相違 (設計方針の相違)
青字: 記載箇所又は記載内容の相違 (記載方針の相違)
緑字: 記載表現、設備名称の相違 (実質的な相違なし)

大飯発電所 3 / 4 号炉	泊発電所 3 号炉	相違理由
<p>添付資料 3.4.8</p> <p>評価事故シーケンスでの重大事故等対策の概略系統図について</p> <p>格納容器破損モード「水素燃焼」における評価事故シーケンス「大破断 LOCA 時に低圧注入機能が喪失する事故」の格納容器破損防止対策の概略系統図を以下に示す。</p> <p>図 1 水素燃焼時の格納容器破損防止対策の概要 (短期対策) (大破断 LOCA + E C C S 注入失敗)</p> <p>添付資料 7.2.4.7</p> <p>評価事故シーケンスでの重大事故等対策の概略系統図について</p> <p>格納容器破損モード「水素燃焼」における評価事故シーケンス「大破断 LOCA 時に低圧注入機能及び高圧注入機能が喪失する事故」の重大事故等対策の概略系統図を以下に示す。</p> <p>図 1 「大破断 LOCA 時に低圧注入機能及び高圧注入機能が喪失する事故」の重大事故等対策の概略系統図 (原子炉格納容器水素処理装置、格納容器スプレイ及び格納容器スプレイ再循環運転)</p> <p>図 2 水素燃焼時の格納容器破損防止対策の概要 (長期対策: 原子炉格納容器安定後の対策) (大破断 LOCA + E C C S 注入失敗)</p> <p>添付資料 3.4.8</p> <p>評価事故シーケンスでの重大事故等対策の概略系統図について</p> <p>格納容器破損モード「水素燃焼」における評価事故シーケンス「大破断 LOCA 時に低圧注入機能及び高圧注入機能が喪失する事故」の重大事故等対策の概略系統図を以下に示す。</p> <p>図 2 「大破断 LOCA 時に低圧注入機能及び高圧注入機能が喪失する事故」の重大事故等対策の概略系統図 (原子炉格納容器水素処理装置及び格納容器スプレイ再循環運転)</p>		

泊発電所 3 号炉 有効性評価 比較表

7.2.4. 水素燃焼 (添付資料 7.2.4.8 原子炉格納容器内の水素混合について)

赤字 : 設備、運用又は体制の相違 (設計方針の相違)
 青字 : 記載箇所又は記載内容の相違 (記載方針の相違)
 緑字 : 記載表現、設備名称の相違 (実質的な相違なし)

大飯発電所 3 / 4 号炉	泊発電所 3 号炉	相違理由																		
<p>添付資料 3.4.9 原子炉格納容器内の水素混合について</p> <p>重大事故時に発生する水素の混合挙動については、原子炉格納容器内の循環流によって濃度が均一化すると考えられているが、水素は分子量も小さいことから循環流がない場合は原子炉格納容器ドーム部の上層部で局所的に高濃度の領域が生じることが考えられる。</p> <p>財団法人原子力発電技術機構 (NUPEC) の可燃性ガス濃度分布・混合挙動試験では、加圧器気相部破断のように破断位置が格納容器内の上部に位置し、さらに格納容器スプレイ等の循環流がない特殊なケースで試験を行った。その結果、破断位置より上方に熱成層化が生じ、これによりドーム部とその他の区画に濃度差が生じるという濃度成層化現象が起こった。一方、ドーム部内においては均一に混合した。</p> <p>そこで、大飯 3、4 号炉においてこのような上下区画間の有意な水素濃度差が生じ得るか検討を行った。検討の結果、格納容器スプレイが機能喪失した場合でも、混合促進に寄与する対策として①代替スプレイや②格納容器内自然対流冷却を整備 (NUPEC 報告書^{*1}でも提言) しており濃度成層化が生じる可能性は十分低い。さらに、③静的触媒式水素再結合装置 (以下、PAR) 発熱による流体の上昇流、④溶融炉心の原子炉下部キャビティ落下後の発生蒸気による上昇流、⑤SG からの放熱等による上昇流により原子炉格納容器全体での大きな循環流が形成されることにより、濃度成層化が起こることはないと考える。</p> <p>次頁以降において 1 章に NUPEC 試験の概要、2 章に実機における考察、3 章に感度解析結果、4 章にまとめを示す。また、検討の結果を下表のとおり整理した。</p> <p>○成層化に対する混合の効果</p> <table border="1"> <thead> <tr> <th>混合の要素</th><th>効果</th><th>備考</th></tr> </thead> <tbody> <tr> <td>①スプレイ</td><td>スプレイ又は格納容器内自然対流冷却の単独で原子炉格納容器全体が混合</td><td>NUPEC 報告(H15)^{*1}、有効性評価</td></tr> <tr> <td>②自然対流冷却</td><td></td><td>JNES 解析(H18)^{*2}</td></tr> <tr> <td>③ PAR</td><td>混合に寄与</td><td>感度解析を実施</td></tr> <tr> <td>④ 蒸気流</td><td>加圧器気相部破断以外のケースでは、蒸気流によって格納容器全体が混合</td><td>NUPEC 報告(H15)^{*1}</td></tr> <tr> <td>⑤ SG からの放熱等</td><td>混合に寄与</td><td></td></tr> </tbody> </table>	混合の要素	効果	備考	①スプレイ	スプレイ又は格納容器内自然対流冷却の単独で原子炉格納容器全体が混合	NUPEC 報告(H15) ^{*1} 、有効性評価	②自然対流冷却		JNES 解析(H18) ^{*2}	③ PAR	混合に寄与	感度解析を実施	④ 蒸気流	加圧器気相部破断以外のケースでは、蒸気流によって格納容器全体が混合	NUPEC 報告(H15) ^{*1}	⑤ SG からの放熱等	混合に寄与		<p>添付資料 7.2.4.8 原子炉格納容器内の水素混合について</p> <p>重大事故時に発生する水素の混合挙動については、原子炉格納容器内の循環流によって濃度が均一化すると考えられているが、水素は分子量も小さいことから循環流がない場合は原子炉格納容器ドーム部の上層部で局所的に高濃度の領域が生じることが考えられる。</p> <p>財団法人原子力発電技術機構 (NUPEC) の可燃性ガス濃度分布・混合挙動試験では、加圧器気相部破断のように破断位置が原子炉格納容器内の上部に位置し、さらに格納容器スプレイ等の循環流がない特殊なケースで試験を行った。その結果、破断位置より上方に熱成層化が生じ、これによりドーム部とその他の区画に濃度差が生じるという濃度成層化現象が起こった。一方、ドーム部内においては均一に混合した。</p> <p>そこで、泊 3 号炉においてこのような上下区画間の有意な水素濃度差が生じ得るか検討を行った。検討の結果、格納容器スプレイが機能喪失した場合でも、混合促進に寄与する対策として①代替スプレイや②格納容器内自然対流冷却を整備 (NUPEC 報告書^{*1}でも提言) しており濃度成層化が生じる可能性は十分低い。さらに、③原子炉格納容器内水素処理装置 (以下、「PAR」という) 発熱による流体の上昇流、④溶融炉心の原子炉下部キャビティ落下後の発生蒸気による上昇流、⑤蒸気発生器からの放熱等による上昇流により原子炉格納容器全体での大きな循環流が形成されることにより、濃度成層化が起こることはないと考える。</p> <p>次頁以降において 1 章に NUPEC 試験の概要、2 章に実機における考察、3 章に感度解析結果、4 章にまとめを示す。また、検討の結果を下表のとおり整理した。</p>	<p>赤字 : 設備、運用又は体制の相違 (設計方針の相違) 青字 : 記載箇所又は記載内容の相違 (記載方針の相違) 緑字 : 記載表現、設備名称の相違 (実質的な相違なし)</p> <p>設備名称の相違</p>
混合の要素	効果	備考																		
①スプレイ	スプレイ又は格納容器内自然対流冷却の単独で原子炉格納容器全体が混合	NUPEC 報告(H15) ^{*1} 、有効性評価																		
②自然対流冷却		JNES 解析(H18) ^{*2}																		
③ PAR	混合に寄与	感度解析を実施																		
④ 蒸気流	加圧器気相部破断以外のケースでは、蒸気流によって格納容器全体が混合	NUPEC 報告(H15) ^{*1}																		
⑤ SG からの放熱等	混合に寄与																			

表 1 成層化に対する混合の効果

混合の要素	効果	備考
①スプレイ	スプレイ又は自然対流冷却の単独で原子炉格納容器全体が混合	NUPEC 報告(H15) ^{*1} 、有効性評価
②自然対流冷却		JNES 解析(H18) ^{*2}
③PAR	混合に寄与	
④蒸気流	加圧器気相部破断以外のケースでは、蒸気流によって原子炉格納容器全体が混合	NUPEC 報告(H15) ^{*1}
⑤蒸気発生器からの放熱等	混合に寄与	

^{*1} 重要構造物安全評価 (原子炉格納容器信頼性実証事業)に関する総括報告書 (平成 15 年 3 月)^{*2} アクシデントマネジメント知識ベース整備に関する報告書 (平成 18 年 8 月)

泊発電所 3 号炉 有効性評価 比較表

赤字 : 設備、運用又は体制の相違（設計方針の相違）
青字 : 記載箇所又は記載内容の相違（記載方針の相違）
緑字 : 記載表現、設備名称の相違（実質的な相違なし）

7.2.4. 水素燃焼（添付資料 7.2.4.8 原子炉格納容器内の水素混合について）

大飯発電所 3 / 4 号炉	泊発電所 3 号炉	相違理由
<p>（成層化なし）</p> <p>（成層化あり）</p> <p>・全体がほぼ均一に混合される ・下部区画で破断 ・アニュラ区画 ・ボルカーダ区画 ・キャビティ区画</p> <p>加圧器気相部で破断 ドーム部が成層化（ドーム部内は均一に混合） ・下部に比して高濃度 ・下部区画でも混合 ・低濃度 アニュラ区画 ボルカーダ区画 キャビティ区画</p>	<p>（成層化なし）</p> <p>（成層化あり）</p> <p>・全体がほぼ均一に混合される ・下部区画で破断 ・アニュラ区画 ・ボルカーダ区画 ・キャビティ区画</p> <p>加圧器気相部で破断 ドーム部が成層化（ドーム部内は均一に混合） ・下部に比して高濃度 ・下部区画でも混合 ・低濃度 アニュラ区画 ボルカーダ区画 キャビティ区画</p>	<p>1. NUPEC 試験で得られた知見の概要</p> <p>NUPECにおいて可燃性ガス濃度分布・混合挙動試験が行われ、原子炉格納容器内での混合挙動に関する試験結果が報告されている。</p> <p>M-8-1 試験は、加圧器気相部破断を想定し、ヘリウム（水素の代替として使用）ガス・水蒸気の放出を模擬、格納容器スプレイ不作動の試験であり、原子炉格納容器内壁が過熱され、ドーム部とループ室・一般部の間に生じた温度差により対流が生じず、ドーム部で熱成層が生じた結果、ドーム部の濃度が高くなつたとされている。また、ドーム部内では高さ方向で均一に混合し、その他の区画はドーム部より低濃度を維持している。</p> <p>一方、M-8-1 試験と同様の試験条件においてスプレイを作動させた場合（M-8-2 試験）又はスプレイ不作動の場合でも破断箇所としてループ室や一般部下部（加圧器逃がしタンク）を想定した試験では、原子炉格納容器全体として良好な対流が発生し、成層化は認められていない。</p> <p>2. 実機での成層化に係る考察</p> <p>NUPEC 試験体系と実機の比較を表-1 に示す。NUPEC 試験のうち M-8-1 試験では濃度成層化が生じたが、NUPEC 報告書では、蒸気によりドームの上部壁が過熱され下部との温度差が発生し、対流効果が期待出来なくなつたと考察している。すなわち、M-8-1 試験で温度差が生じた原因是、当該試験装置では実機において混合にも寄与する主要なヒートシンクを模擬しておらず、また、外気の影響を受けない断熱された熱成層が生じやすい体系であったことが考えられる。一方、実機の原子炉格納容器の構造としては熱容量が大きく、さらに外気への放熱に期待できることからドーム部のみ温度上昇することはないと考えられる。</p> <p>このため、実機の原子炉格納容器のドーム部で成層化が生じる可能性は低い。これは、平成 18 年に JNES で実施された実機体系で加圧器気相部破断・スプレイ不作動を想定した解析^{*2}によっても確認されている（ドーム部とループ室・一般部の間に生じた温度差は、NUPEC 試験同ケースで約 65°C に対して、解析の結果は 10°C 以下）。</p> <p>なお、実機においては、格納容器スプレイが不作動の場合においても、恒設代替低圧注入ポンプによる代替スプレイ又は再循環ユニットによる格納容器内自然対流冷却による循環流によって原子炉</p> <p>1. NUPEC 試験で得られた知見の概要</p> <p>NUPECにおいて可燃性ガス濃度分布・混合挙動試験が行われ、原子炉格納容器内での混合挙動に関する試験結果が報告されている。</p> <p>M-8-1 試験は、加圧器気相部破断を想定し、ヘリウム（水素の代替として使用）ガス・水蒸気の放出を模擬、格納容器スプレイ不作動の試験であり、原子炉格納容器内壁が過熱され、ドーム部とループ室・一般部の間に生じた温度差により対流が生じず、ドーム部で熱成層が生じた結果、ドーム部の濃度が高くなつたとされている。また、ドーム部内では高さ方向で均一に混合し、その他の区画はドーム部より低濃度を維持している。</p> <p>一方、M-8-1 試験と同様の試験条件においてスプレイを作動させた場合（M-8-2 試験）又はスプレイ不作動の場合でも破断箇所としてループ室や一般部下部（加圧器逃がしタンク）を想定した試験では、原子炉格納容器全体として良好な対流が発生し、成層化は認められていない。</p> <p>2. 実機での成層化に係る考察</p> <p>NUPEC 試験体系と実機の比較を表-2 に示す。NUPEC 試験のうち M-8-1 試験では濃度成層化が生じたが、NUPEC 報告書では、蒸気によりドームの上部壁が過熱され下部との温度差が発生し、対流効果が期待出来なくなつたと考察している。すなわち、M-8-1 試験で温度差が生じた原因是、当該試験装置では実機において混合にも寄与する主要なヒートシンクを模擬しておらず、また、外気の影響を受けない断熱された熱成層が生じやすい体系であったことが考えられる。一方、実機の原子炉格納容器の構造としては熱容量が大きく、さらに外気への放熱に期待できることからドーム部のみ温度上昇することはないと考えられる。</p> <p>このため、実機の原子炉格納容器のドーム部で成層化が生じる可能性は低い。これは、平成 18 年に JNES で実施された実機体系で加圧器気相部破断・スプレイ不作動を想定した解析^{*2}によっても確認されている（ドーム部とループ室・一般部の間に生じた温度差は、NUPEC 試験同ケースで約 65°C に対して、解析の結果は 10°C 以下）。</p> <p>なお、実機においては、格納容器スプレイが不作動の場合においても、代替格納容器スプレイポンプによる代替格納容器スプレイ又は格納容器再循環ユニットによる格納容器内自然対流冷却による</p>

泊発電所 3 号炉 有効性評価 比較表

7.2.4. 水素燃焼 (添付資料 7.2.4.8 原子炉格納容器内の水素混合について)

赤字 : 設備、運用又は体制の相違 (設計方針の相違)
 青字 : 記載箇所又は記載内容の相違 (記載方針の相違)
 緑字 : 記載表現、設備名称の相違 (実質的な相違なし)

大飯発電所 3 / 4 号炉	泊発電所 3 号炉	相違理由
<p>格納容器全体での混合に寄与することとなる。</p> <p>また、NUPEC 報告書においても実炉の対策への提言として、以下の趣旨での整理もされており、これは上述の考察の結果とも一致している。</p> <ul style="list-style-type: none"> ・水素混合挙動が問題となるシビアアクシデント時には水素とともに大量の水蒸気が放出され、格納容器内は自然循環による対流が促進されるため水素が均一に混合。 ・格納容器スプレイや再循環ファン投入により混合を促進。 ・加圧器上部の破断を想定した場合、水素・水蒸気の混合ガスが成層化する可能性はあるが、大量の水蒸気の存在により爆轟等による原子炉格納容器への脅威とはならない。 ・水素放出後の長期的な安全確保のため格納容器スプレイ、再循環ファンによる混合、間欠スプレイ等が有効。 <p>さらに、実機の格納容器内にはPARを設置している。PARは、原子炉格納容器内に一定濃度以上の水素が存在する限り、長期にわたって水素を処理する装置であり、PAR自身の発熱による上昇流が原子炉格納容器内の対流効果に寄与すると考えられる。</p>	<p>循環流によって原子炉格納容器全体での混合に寄与することとなる。</p> <p>また、NUPEC 報告書においても実炉の対策への提言として、以下の趣旨での整理もされており、これは上述の考察の結果とも一致している。</p> <ul style="list-style-type: none"> ・水素混合挙動が問題となるシビアアクシデント時には水素とともに大量の水蒸気が放出され、原子炉格納容器内は自然循環による対流が促進されるため水素が均一に混合。 ・格納容器スプレイや再循環ファン投入により混合を促進。 ・加圧器上部の破断を想定した場合、水素・水蒸気の混合ガスが成層化する可能性はあるが、大量の水蒸気の存在により爆轟等による原子炉格納容器への脅威とはならない。 ・水素放出後の長期的な安全確保のため、格納容器スプレイ、再循環ファンによる混合、間欠スプレイ等が有効。 <p>さらに、実機の原子炉格納容器内にはPARを設置している。PARは、原子炉格納容器内に一定濃度以上の水素が存在する限り、長期にわたって水素を処理する装置であり、PAR自身の発熱による上昇流が原子炉格納容器内の対流効果に寄与すると考えられる。</p>	<p>記載箇所の相違 ・泊は参照した表の下に記載 (P1)</p>

*1 重要構造物安全評価（原子炉格納容器信頼性実証事業）に関する総括報告書（平成 15 年 3 月）

*2 アクシデントマネジメント知識ベースに関する報告書（平成 18 年 8 月）

泊発電所3号炉 有効性評価 比較表

7.2.4. 水素燃焼 (添付資料 7.2.4.8 原子炉格納容器内の水素混合について)

赤字 : 設備、運用又は体制の相違 (設計方針の相違)
 青字 : 記載箇所又は記載内容の相違 (記載方針の相違)
 緑字 : 記載表現、設備名称の相違 (実質的な相違なし)

大飯発電所3／4号炉				泊発電所3号炉			相違理由			
表一 NUPEC 試験体系と実機体系の比較										
表二 NUPEC 試験体系と実機体系の比較										
ヒートシンク	NUPEC 試験 格納容器(鋼製) 鋼製隔壁	大飯3、4号炉 水素	備考	ヒートシンク	NUPEC 試験 格納容器(鋼製) 鋼製隔壁	泊3号炉 水素	備考			
格納容器の外気断熱性	有り(硬質ウレタン)	なし	実機では試験に対して外気への放熱があるため、格納容器内の温度差は付き難く、格納容器内の温度差に伴う成層化の形成は緩和される。	原子炉格納容器の外気断熱性	有り(硬質ウレタン)	なし	原子炉格納容器の外気断熱性			
水蒸気	0kg/s(M=2-2,M=2-3,M=5-1) 0.03kg/s(M=7-1,M=8-2) 0.04kg/s(M=4-1) 0.33kg/s(M=4-3,M=8-1)	M-ム部の水蒸気量： 約30～500kg/s (NUPEC 試験体系の大きさでは約0.7kg/s～11kg/sに相当*) 破断箇所の水蒸気量： 約1.3×10 ⁷ ～2.2×10 ⁷ /h (120°C)	体系に対して実機での蒸気流量は大きく、対流効果による混合が促進される。	水蒸気	0kg/s(M=2-2,M=2-3,M=5-1) 0.03kg/s(M=7-1,M=8-2) 0.04kg/s(M=4-1) 0.33kg/s(M=4-3,M=8-1)	M-ム部の水蒸気量： 約30～400kg/s (NUPEC 試験体系の大きさでは約0.7～9.8kg/sに相当*) 破断箇所の水蒸気量： 約1×10 ⁸ ～1.3×10 ⁸ /h (120°C)	体系に対して実機での蒸気流量は大きく、対流効果による混合が促進される。			
スプレイ	0 m ³ /h(M=2-2,M=2-3, M=4-1,M=4-3,M=8- 1) 18m ³ /h(M=5-1) 70m ³ /h(M=7-1,M=8-2)	約1,200m ³ /h(2台) (NUPEC 試験体系の大きさでは約65m ³ /hに相当**) (無設代替低圧注水ポンプによるスプレイの場合 130 m ³ /h)	実機でのスプレイによる効果は試験に比して大きく、混合促進効果が大きいため、温度差が解消されることから成層化の形成は緩和される。	スプレイ	0 m ³ /h(M=2-2,M=2-3, M=4-1,M=4-3,M=8-1) 18m ³ /h(M=5-1) 70m ³ /h(M=7-1,M=8-2)	約940m ³ /h(2台) (NUPEC 試験体系の大きさでは約60m ³ /hに相当**) (代替格納容器スプレイポンプによるスプレイの場合 140 m ³ /h)	実機でのスプレイによる効果は試験に比して大きく、混合促進効果が大きいため、温度差が解消されることから成層化の形成は緩和される。			
触媒型静的水素再結合装置	なし	約300m ³ /h/台	再結合による発熱により対流が発生し、混合により成層化の形成は緩和される。	PAR	なし	約300m ³ /h/台	再結合による発熱により対流が発生し、混合により成層化の形成は緩和される。			
自然対流冷却	なし	[REDACTED]	自然対流冷却による流動による混合により成層化の形成は緩和される。	自然対流冷却	なし	[REDACTED]	自然対流冷却による流動による混合により成層化の形成は緩和される。			

* : $30 \times 1,600 / 72,900 = 0.7 \sim 500 \times 1,600 / 72,900 = 11$
 ** : $(10/43) \times 1,200 = 65$ (10m/43mは試験装置/格納容器の内径)

* : $30 \times 1,600 / 65,500 = 0.7 \sim 400 \times 1,600 / 65,500 = 9.8$
 ** : $(10/40) \times 940 = 60$ (10m/40mは試験装置/原子炉格納容器の内径)

[REDACTED] 拝囲いの内容は、機密に属しますので公開できません。

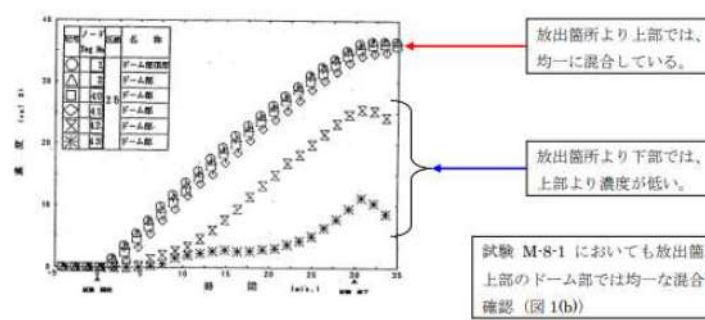
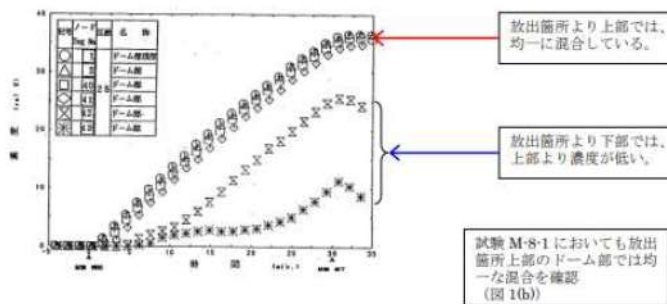
[REDACTED] 拝囲みの内容は機密情報に属しますので公開できません。

泊発電所 3号炉 有効性評価 比較表

赤字 : 設備、運用又は体制の相違（設計方針の相違）
 青字 : 記載箇所又は記載内容の相違（記載方針の相違）
 緑字 : 記載表現、設備名称の相違（実質的な相違なし）

7.2.4. 水素燃焼 (添付資料 7.2.4.8 原子炉格納容器内の水素混合について)

大飯発電所 3／4号炉	泊発電所 3号炉	相違理由
<p>図 1(a) He 濃度計測点配置図(上部区画での放出試験) 試験 M-8-1</p> <p>● H₂濃度計測点 (現状) □ H₂濃度計測点 (追加) • 圧力計測点</p>	<p>図 1(a) He 濃度計測点配置図(上部区画での放出試験) 試験 M-8-1</p> <p>● H₂濃度計測点 (現状) □ H₂濃度計測点 (追加) • 圧力計測点</p>	



泊発電所 3 号炉 有効性評価 比較表

7.2.4. 水素燃焼 (添付資料 7.2.4.8 原子炉格納容器内の水素混合について)

赤字 : 設備、運用又は体制の相違 (設計方針の相違)
 青字 : 記載箇所又は記載内容の相違 (記載方針の相違)
 緑字 : 記載表現、設備名称の相違 (実質的な相違なし)

大飯発電所 3 / 4 号炉	泊発電所 3 号炉	相違理由
<p>3. 実機における感度解析</p> <p>前述のとおり、スプレイ又は自然対流冷却の効果によって格納容器全体の混合が行われるものと考えられるが、以下のとおり、より厳しい条件を想定したケースにおける混合挙動解析を実施した。</p> <p>なお、GOTHIC コードは、成層化の生じなかつ M-7-1 試験、M-4-3 試験及び成層化の生じた M-8-1 試験に対して検証解析を行っている。M-8-1 試験に対する検証結果については別紙 1 のとおり、破断位置より上部においてヘリウムは高い濃度で均一になっており、成層化の傾向を模擬できている。</p> <p>図 2 ~ 4 に示すとおり、解析の結果、格納容器スプレイ停止後においても格納容器内には循環流が形成されており、再循環ユニットの起動以前において既にドライ水素濃度は均一化されている結果となった。</p> <p>また、図 5 に示す長期間の解析結果から、長期的にも成層化が生じないことが確認される。これは、水素の分子速度は約 2,000m/s(室温)と非常に大きく一旦拡散して空気・水蒸気と混合した水素分子が格納容器内で再び偏在するような現象が起こらないことを示している。</p> <p>なお、上部区画と下部区画のウェット水素濃度に差が確認されるが、こちらは水蒸気濃度の違いが起因しているものであり、ドライ水素濃度については有意な差異はないことがわかる。</p> <p>原子炉容器破損後、主に原子炉下部キャビティにおいて水の放射線分解等で発生する微量な水素は、隣接する区画に拡散するとともに、浮力により上昇する過程で一般部(ループ室等)を通過するので、その後は NUPEC 試験で示された結果と同等の混合挙動となり、水素の混合は長期的にも継続される。</p>	<p>3. 実機における感度解析</p> <p>前述のとおり、格納容器スプレイ又は格納容器内自然対流冷却の効果によって原子炉格納容器全体の混合が行われるものと考えられるが、以下のとおり、より厳しい条件を想定したケース「大 LOCA + ECCS 注入失敗」時に格納容器スプレイ再循環に失敗するシーケンスで原子炉格納容器内の水素混合挙動の解析を実施した。</p> <p>なお、GOTHIC は、NUPEC 報告書において成層化の生じなかつ M-7-1、M-4-3 及び成層化の生じた M-8-1 に対して検証解析を行っている。M-8-1 に対する検証結果については別紙 1 のとおり、破断位置より上部においてヘリウムは高い濃度で均一になっており、成層化の傾向を模擬できている。</p> <p>図 2 及び図 3 (3 ループプラント) に示すとおり、3 ループプラントにおける解析の結果、格納容器スプレイ停止後においても原子炉格納容器内には循環流が形成されており、格納容器再循環ユニットの起動以前において既にドライ水素濃度は均一化されている結果となった。また、表 3 に示すとおり、3 ループプラントと泊 3 号炉における申請ケースの解析条件等から、泊 3 号炉において格納容器スプレイが停止する条件とした場合においても、同様にドライ水素濃度が均一化されると考えられる。</p> <p>図 5 に示す長期間の解析結果から、長期的にも成層化が生じないことが確認される。これは、水素の分子速度は約 2,000m/s (室温) と非常に大きく一旦拡散して空気・水蒸気と混合した水素分子が原子炉格納容器内で再び偏在するような現象が起こらないことを示している。</p> <p>なお、上部区画と下部区画のウェット水素濃度に差が確認されるが、こちらは水蒸気濃度の違いが起因しているものであり、ドライ水素濃度については有意な差異はないことがわかる。</p> <p>原子炉容器破損後、主に原子炉下部キャビティにおいて水の放射線分解等で発生する微量な水素は、隣接する区画に拡散するとともに、浮力により上昇する過程で一般部(ループ室等)を通過するので、その後は NUPEC 試験で示された結果と同等の混合挙動となり、水素の混合は長期的にも継続される。</p> <p>なお、GOTHIC は、NUPEC 報告書において成層化の生じなかつ M-7-1、M-4-3 及び成層化の生じた M-8-1 に対して検証解析を行っている。M-8-1 に対する検証結果については別紙 1 のとおり、破断位置より上部においてヘリウムは高い濃度で均一になっており、成層化の傾向を模擬できている。</p> <p>また、感度解析結果において原子炉下部キャビティ区画の水素濃度がその他の区画と比較して高くなっているが、爆轟の可能性が低いことを別紙 2 に示す。</p>	<p>記載表現の相違</p>
		記載方針の相違 (伊方と同様)
		記載方針の相違 (伊方と同様)
		記載方針の相違 (高浜3/4号炉と同様)

7.2.4. 水素燃焼 (添付資料 7.2.4.8 原子炉格納容器内の水素混合について)

泊発電所 3 号炉 有効性評価 比較表

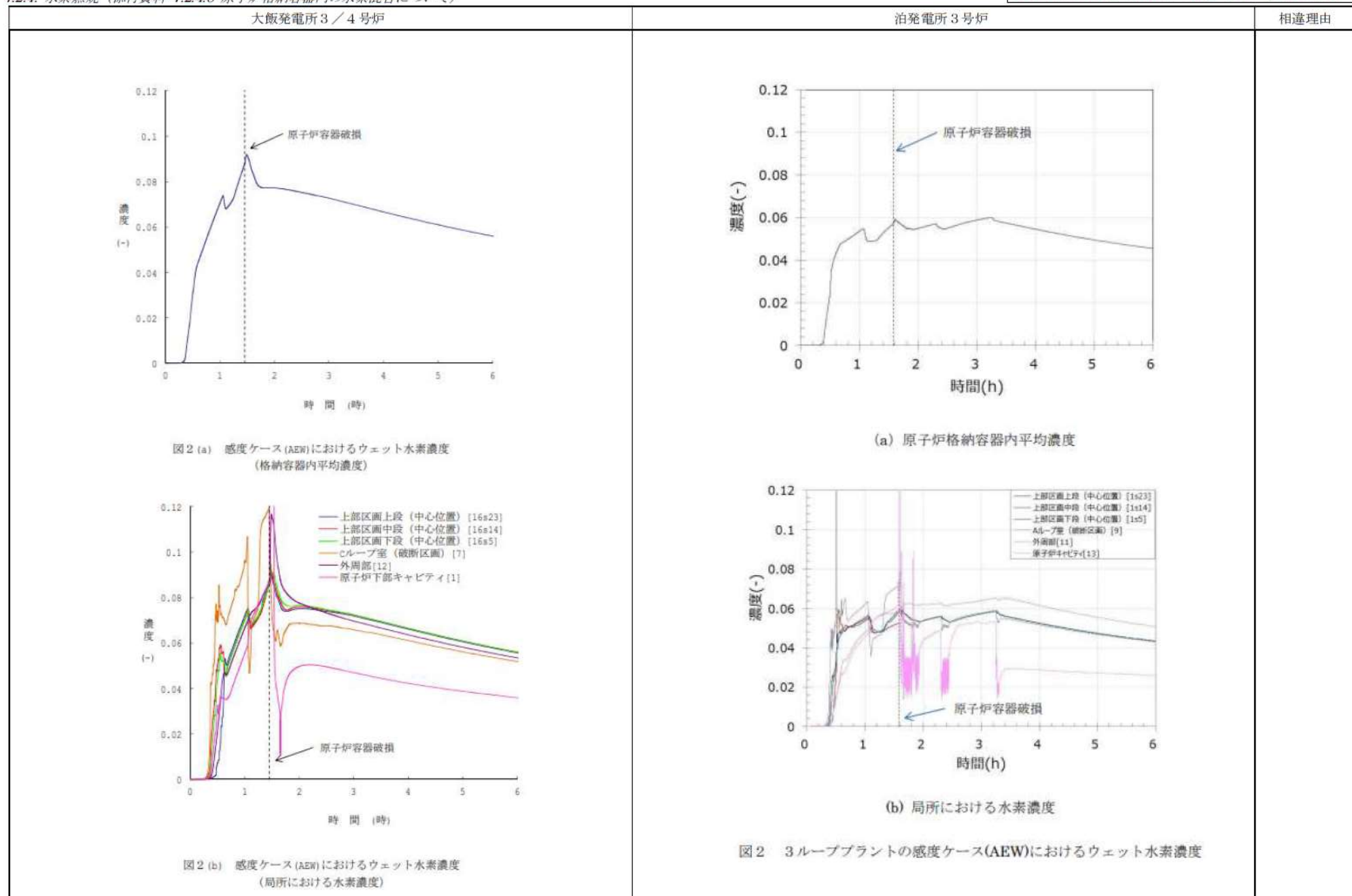
赤字 : 設備、運用又は体制の相違 (設計方針の相違)
 青字 : 記載箇所又は記載内容の相違 (記載方針の相違)
 緑字 : 記載表現、設備名称の相違 (実質的な相違なし)

大飯発電所 3 / 4 号炉		泊発電所 3 号炉		相違理由																																										
<p style="text-align: center;">申請書解析と感度解析の事象シーケンス比較</p> <table border="1" style="width: 100%; border-collapse: collapse;"> <tr> <td style="width: 15%;">評価シーケンス</td> <td style="width: 15%;">申請書ケース(AE1)</td> <td style="width: 15%;">感度ケース(AEN)</td> <td style="width: 15%;">泊 3 号炉</td> <td style="width: 15%;">考 察</td> </tr> <tr> <td>大 LOCA+ECCS 注入失敗+格納容器スプレイ再循環成功</td> <td>大 LOCA+ECCS 注入失敗+格納容器スプレイ再循環失敗</td> <td>申請書ケースの事故シーケンス は同様。</td> <td>3 ループプラントと同様のシーケンスを選定</td> <td></td> </tr> <tr> <td>格納容器スプレイ</td> <td>再循環成功のため、格納容器スプレイが継続 (水蒸気の凝縮により水素濃度が相対的に高くなる事象を想定)</td> <td>再循環失敗のため、約 30 分でスプレイ停止 (スプレイによる混合効果を排除するため)</td> <td></td> <td></td> </tr> <tr> <td>PAR</td> <td>有</td> <td>有</td> <td></td> <td></td> </tr> <tr> <td>解析結果</td> <td>Zr - 水反応による水素放出終了時点でスプレイは継続しており、格納容器内のドライ水素濃度は速やかに均一化した。</td> <td>Zr - 水反応による水素放出終了時点でスプレイは停止しているが、格納容器内には循環流が形成されており、格納容器内のドライ水素濃度は速やかに均一化した。</td> <td></td> <td></td> </tr> </table>					評価シーケンス	申請書ケース(AE1)	感度ケース(AEN)	泊 3 号炉	考 察	大 LOCA+ECCS 注入失敗+格納容器スプレイ再循環成功	大 LOCA+ECCS 注入失敗+格納容器スプレイ再循環失敗	申請書ケースの事故シーケンス は同様。	3 ループプラントと同様のシーケンスを選定		格納容器スプレイ	再循環成功のため、格納容器スプレイが継続 (水蒸気の凝縮により水素濃度が相対的に高くなる事象を想定)	再循環失敗のため、約 30 分でスプレイ停止 (スプレイによる混合効果を排除するため)			PAR	有	有			解析結果	Zr - 水反応による水素放出終了時点でスプレイは継続しており、格納容器内のドライ水素濃度は速やかに均一化した。	Zr - 水反応による水素放出終了時点でスプレイは停止しているが、格納容器内には循環流が形成されており、格納容器内のドライ水素濃度は速やかに均一化した。																			
評価シーケンス	申請書ケース(AE1)	感度ケース(AEN)	泊 3 号炉	考 察																																										
大 LOCA+ECCS 注入失敗+格納容器スプレイ再循環成功	大 LOCA+ECCS 注入失敗+格納容器スプレイ再循環失敗	申請書ケースの事故シーケンス は同様。	3 ループプラントと同様のシーケンスを選定																																											
格納容器スプレイ	再循環成功のため、格納容器スプレイが継続 (水蒸気の凝縮により水素濃度が相対的に高くなる事象を想定)	再循環失敗のため、約 30 分でスプレイ停止 (スプレイによる混合効果を排除するため)																																												
PAR	有	有																																												
解析結果	Zr - 水反応による水素放出終了時点でスプレイは継続しており、格納容器内のドライ水素濃度は速やかに均一化した。	Zr - 水反応による水素放出終了時点でスプレイは停止しているが、格納容器内には循環流が形成されており、格納容器内のドライ水素濃度は速やかに均一化した。																																												
表 3 申請書解析と感度解析の事象シーケンス比較																																														
<table border="1" style="width: 100%; border-collapse: collapse;"> <thead> <tr> <th rowspan="2">項目</th> <th colspan="2">3 ループプラント</th> <th rowspan="2">泊 3 号炉</th> <th rowspan="2">考 察</th> </tr> <tr> <th>申請ケース(AE1)</th> <th>感度ケース(AEW)</th> </tr> </thead> <tbody> <tr> <td>事故シーケンス</td> <td>大 LOCA+ECCS 注入失敗+格納容器スプレイ再循環成功 (水蒸気の凝縮により水素濃度が相対的に高くなる事象を想定)</td> <td>大 LOCA+ECCS 注入失敗+格納容器スプレイ再循環失敗 (スプレイによる混合効果を排除するため)</td> <td>申請書ケースの事故シーケンス は同様。</td> <td>3 ループプラントと同様のシーケンスを選定</td> </tr> <tr> <td>格納容器スプレイ</td> <td>████ m³/h (最大流量)</td> <td>████ m³/h (最大流量)</td> <td>3 ループプラントと同様の格納容器スプレイ流量</td> <td></td> </tr> <tr> <td>解析条件</td> <td>破壊位置</td> <td>高温側配管の完全両端破断</td> <td>高温側配管の完全両端破断</td> <td>3 ループプラントと同様の破壊位置</td> </tr> <tr> <td>格納容器自由体積</td> <td>67,400m³</td> <td>67,400m³</td> <td>65,500m³</td> <td>3 ループプラントと同等の格納容器自由体積</td> </tr> <tr> <td>PAR</td> <td>有 (5 台)</td> <td>有 (5 台)</td> <td>有 (5 台)</td> <td>3 ループプラントと同様の台数配置の PAR を同様の台数配置</td> </tr> <tr> <td>解析結果</td> <td>格納容器内スプレイは再循環運転成功により継続</td> <td>格納容器内スプレイは約 40 分で再循環運転に失敗することにより停止</td> <td>申請書ケースに対して、格納容器スプレイ再循環運転及び再循環失敗を考慮した場合、同様の挙動になると考えられる。</td> <td>申請書ケースとして、格納容器スプレイ再循環運転を考慮した場合、図 4 に示すとおり、炉心溶融開始に伴い、破壊区画の水素濃度が上昇し、その後原子炉容器破損に伴い、原子炉下部キャビティ区画の水素濃度が上昇する。その後原子炉容器破損により、格納容器内には循環流が形成されたり、格納容器内のドライ水素濃度は速やかに均一化した。</td> </tr> <tr> <td></td> <td></td> <td></td> <td></td> <td>████ : 特段みの内容は機密情報に属しますので公開できません。</td> </tr> </tbody> </table>					項目	3 ループプラント		泊 3 号炉	考 察	申請ケース(AE1)	感度ケース(AEW)	事故シーケンス	大 LOCA+ECCS 注入失敗+格納容器スプレイ再循環成功 (水蒸気の凝縮により水素濃度が相対的に高くなる事象を想定)	大 LOCA+ECCS 注入失敗+格納容器スプレイ再循環失敗 (スプレイによる混合効果を排除するため)	申請書ケースの事故シーケンス は同様。	3 ループプラントと同様のシーケンスを選定	格納容器スプレイ	████ m³/h (最大流量)	████ m³/h (最大流量)	3 ループプラントと同様の格納容器スプレイ流量		解析条件	破壊位置	高温側配管の完全両端破断	高温側配管の完全両端破断	3 ループプラントと同様の破壊位置	格納容器自由体積	67,400m³	67,400m³	65,500m³	3 ループプラントと同等の格納容器自由体積	PAR	有 (5 台)	有 (5 台)	有 (5 台)	3 ループプラントと同様の台数配置の PAR を同様の台数配置	解析結果	格納容器内スプレイは再循環運転成功により継続	格納容器内スプレイは約 40 分で再循環運転に失敗することにより停止	申請書ケースに対して、格納容器スプレイ再循環運転及び再循環失敗を考慮した場合、同様の挙動になると考えられる。	申請書ケースとして、格納容器スプレイ再循環運転を考慮した場合、図 4 に示すとおり、炉心溶融開始に伴い、破壊区画の水素濃度が上昇し、その後原子炉容器破損に伴い、原子炉下部キャビティ区画の水素濃度が上昇する。その後原子炉容器破損により、格納容器内には循環流が形成されたり、格納容器内のドライ水素濃度は速やかに均一化した。					████ : 特段みの内容は機密情報に属しますので公開できません。
項目	3 ループプラント		泊 3 号炉	考 察																																										
	申請ケース(AE1)	感度ケース(AEW)																																												
事故シーケンス	大 LOCA+ECCS 注入失敗+格納容器スプレイ再循環成功 (水蒸気の凝縮により水素濃度が相対的に高くなる事象を想定)	大 LOCA+ECCS 注入失敗+格納容器スプレイ再循環失敗 (スプレイによる混合効果を排除するため)	申請書ケースの事故シーケンス は同様。	3 ループプラントと同様のシーケンスを選定																																										
格納容器スプレイ	████ m³/h (最大流量)	████ m³/h (最大流量)	3 ループプラントと同様の格納容器スプレイ流量																																											
解析条件	破壊位置	高温側配管の完全両端破断	高温側配管の完全両端破断	3 ループプラントと同様の破壊位置																																										
格納容器自由体積	67,400m³	67,400m³	65,500m³	3 ループプラントと同等の格納容器自由体積																																										
PAR	有 (5 台)	有 (5 台)	有 (5 台)	3 ループプラントと同様の台数配置の PAR を同様の台数配置																																										
解析結果	格納容器内スプレイは再循環運転成功により継続	格納容器内スプレイは約 40 分で再循環運転に失敗することにより停止	申請書ケースに対して、格納容器スプレイ再循環運転及び再循環失敗を考慮した場合、同様の挙動になると考えられる。	申請書ケースとして、格納容器スプレイ再循環運転を考慮した場合、図 4 に示すとおり、炉心溶融開始に伴い、破壊区画の水素濃度が上昇し、その後原子炉容器破損に伴い、原子炉下部キャビティ区画の水素濃度が上昇する。その後原子炉容器破損により、格納容器内には循環流が形成されたり、格納容器内のドライ水素濃度は速やかに均一化した。																																										
				████ : 特段みの内容は機密情報に属しますので公開できません。																																										

泊発電所 3号炉 有効性評価 比較表

赤字 : 設備、運用又は体制の相違（設計方針の相違）
 青字 : 記載箇所又は記載内容の相違（記載方針の相違）
 緑字 : 記載表現、設備名称の相違（実質的な相違なし）

7.2.4. 水素燃焼（添付資料 7.2.4.8 原子炉格納容器内の水素混合について）



泊発電所 3号炉 有効性評価 比較表

赤字 : 設備、運用又は体制の相違（設計方針の相違）
 青字 : 記載箇所又は記載内容の相違（記載方針の相違）
 緑字 : 記載表現、設備名称の相違（実質的な相違なし）

7.2.4. 水素燃焼（添付資料 7.2.4.8 原子炉格納容器内の水素混合について）

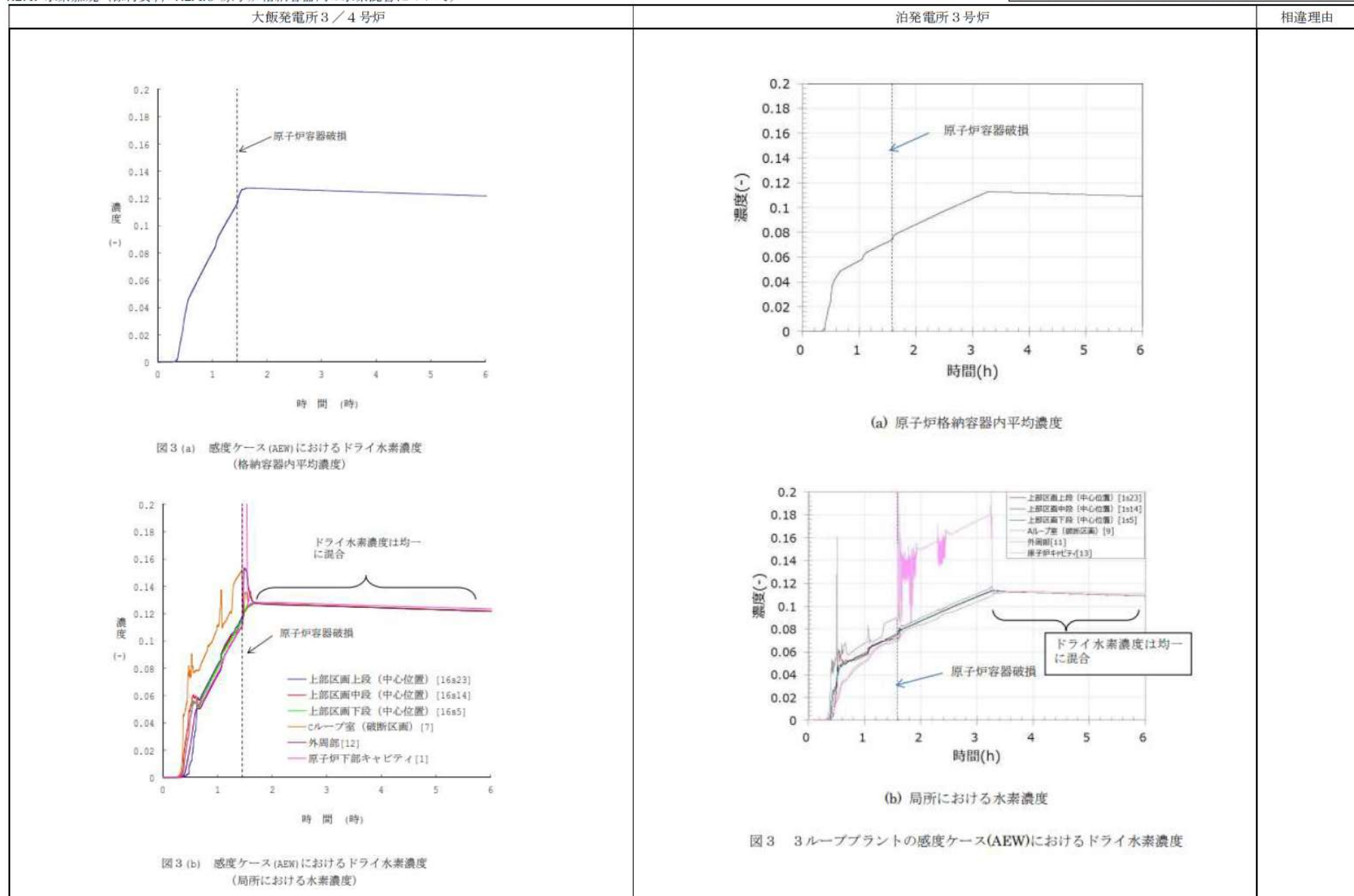
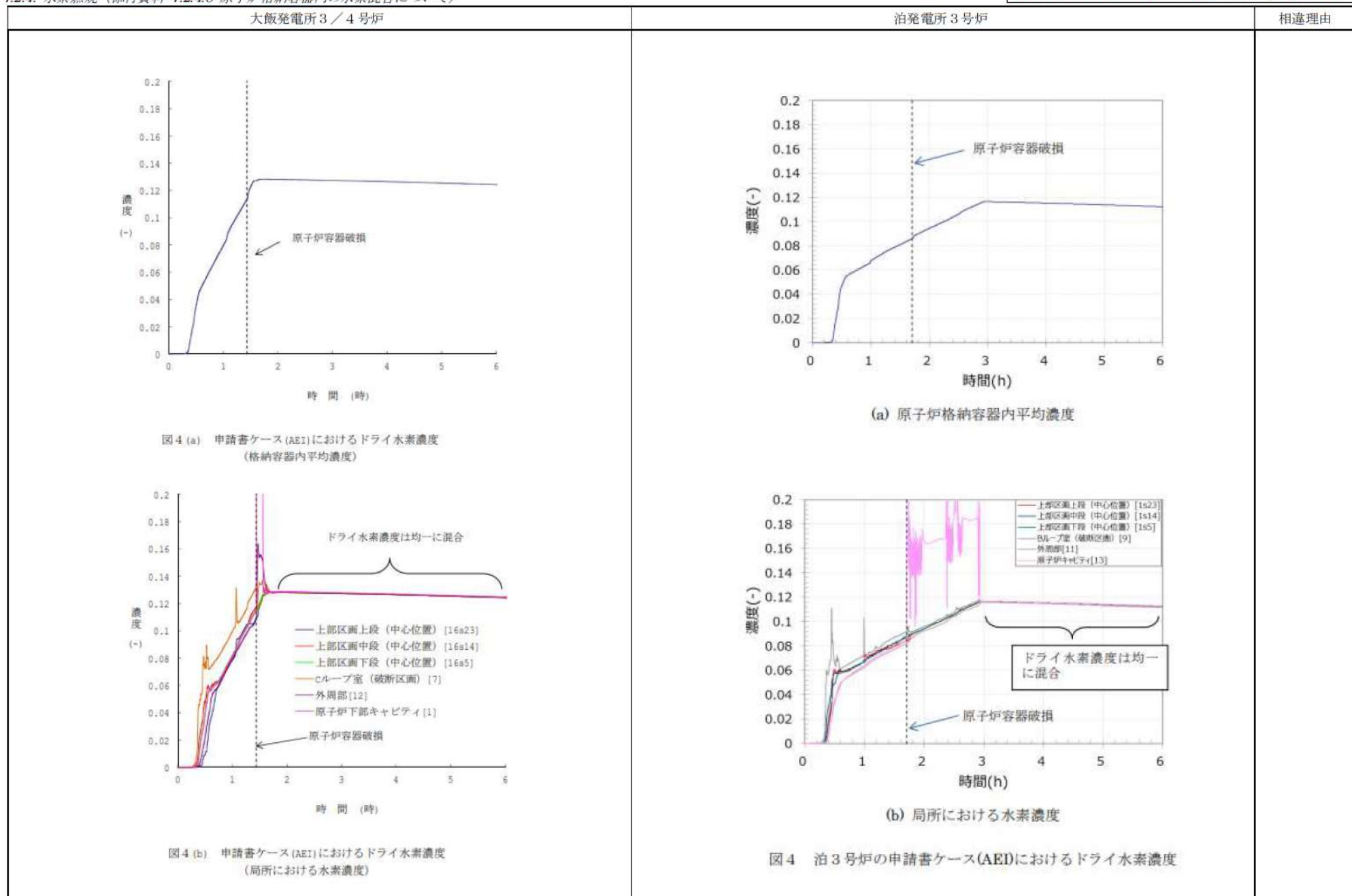


図 3 3 ループプラントの感度ケース(AEW)におけるドライ水素濃度

泊発電所 3 号炉 有効性評価 比較表

7.2.4. 水素燃焼 (添付資料 7.2.4.8 原子炉格納容器内の水素混合について)

赤字 : 設備、運用又は体制の相違 (設計方針の相違)
青字 : 記載箇所又は記載内容の相違 (記載方針の相違)
緑字 : 記載表現、設備名称の相違 (実質的な相違なし)



泊発電所3号炉 有効性評価 比較表

赤字：設備、運用又は体制の相違（設計方針の相違）
青字：記載箇所又は記載内容の相違（記載方針の相違）
緑字：記載表現、設備名称の相違（実質的な相違なし）

7.2.4. 水素燃焼（添付資料 7.2.4.8 原子炉格納容器内の水素混合について）

大飯発電所3／4号炉	泊発電所3号炉	相違理由
<p>図5 感度ケース(AEW)[※]におけるドライ水素濃度 ※ 1Pd 到達時に崩壊熱をなくした条件</p>	<p>図5 3ループプラントの感度ケース(AEW)[※]におけるドライ水素濃度 ※ 1Pd 到達時に崩壊熱をなくした条件</p>	<p>4.まとめ</p> <p>NUPEC 試験において加圧器気相部を破断箇所に想定した混合挙動試験の結果、ドーム部内で均一に混合し局所的な成層化は生じていないが、ドーム部で温度差が生じたことからドーム部とループ室・一般部の間に濃度成層化が生じたことが確認された。</p> <p>実機においては格納容器のヒートシンクの熱容量が大きく放出蒸気により発生する温度勾配は小さく、また、自然対流冷却や代替スプレイによって格納容器全体での循環流を発生させることにより濃度成層化が起こることはないものと考える。</p> <p style="text-align: right;">以上</p> <p>4.まとめ</p> <p>NUPEC 試験において加圧器気相部を破断箇所に想定した混合挙動試験の結果、ドーム部内で均一に混合し局所的な成層化は生じていないが、ドーム部で温度差が生じたことからドーム部とループ室・一般部の間に濃度成層化が生じたことが確認された。</p> <p>実機においては原子炉格納容器のヒートシンクの熱容量が大きく放出蒸気により発生する温度勾配は小さく、また、格納容器内自然対流冷却や代替格納容器スプレイによって原子炉格納容器全体での循環流を発生させることにより濃度成層化が起こることはないものと考える。</p> <p style="text-align: right;">以上</p>

泊発電所 3 号炉 有効性評価 比較表

7.2.4. 水素燃焼 (添付資料 7.2.4.8 原子炉格納容器内の水素混合について)

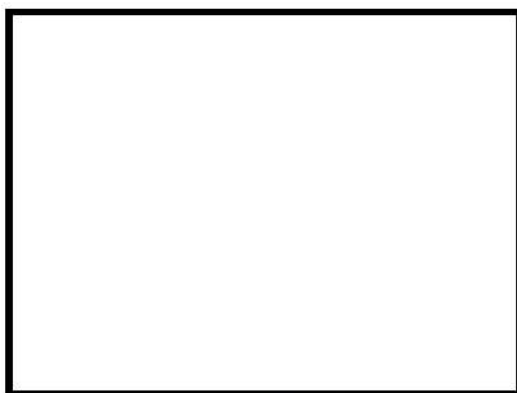
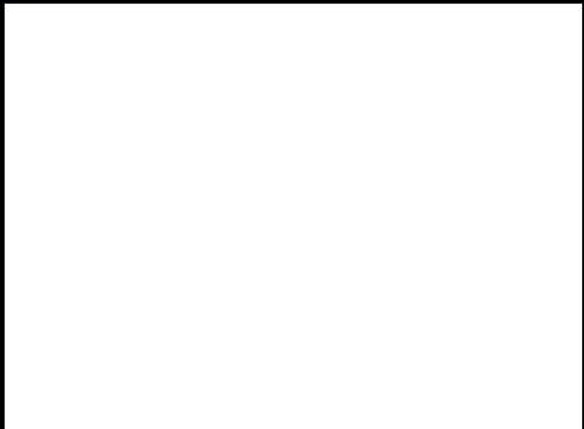
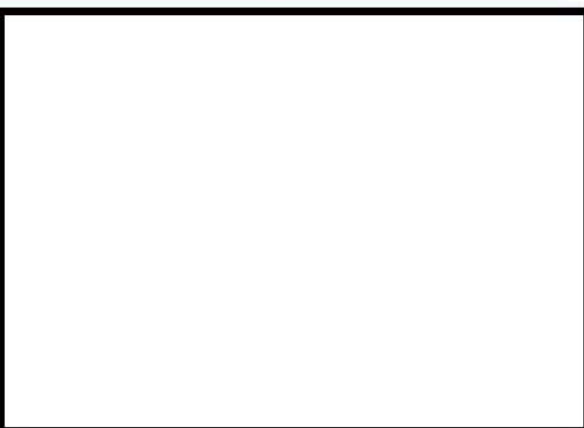
赤字 : 設備、運用又は体制の相違 (設計方針の相違)
 青字 : 記載箇所又は記載内容の相違 (記載方針の相違)
 緑字 : 記載表現、設備名称の相違 (実質的な相違なし)

大飯発電所 3 / 4 号炉	泊発電所 3 号炉	相違理由
<p style="text-align: center;">別紙 1</p> <p>GOTHIC コードによる NUPEC 試験(M-8-1)の検証結果について</p> <p>NUPEC 試験のうち濃度成層化の生じた M-8-1 試験に対して、GOTHIC コードを用いた再現解析を実施した。</p> <p>M-8-1 試験は、加圧器気相部破断を想定したものであり、加圧器室内で発生したヘリウム（水素模擬）及び水蒸気は、加圧器室上端の開口部を経由して格納容器上部ドーム部へ直接放出されることから、ドーム部のヘリウム濃度が顕著に高くなることが同試験の特徴となる。</p> <p>この挙動を GOTHIC コードで模擬するためには、加圧器室開口部からドーム部への流れを適切に模擬する必要があり、[] で分割して検証解析を行った。</p> <p>別図 1 に GOTHIC コードによる検証結果を示す。格納容器上下部の濃度差については、試験結果で確認される顕著な濃度差の予測には至らないが、下部区画と比較してドーム部でよりヘリウム濃度が高くなる傾向は再現されている。また、破断位置より上部においてヘリウムは高い濃度で均一になっており、成層化の傾向を模擬できている。</p> <p style="text-align: center;">[] 桁書きの内容は、機密に属しますので公開できません。</p>	<p style="text-align: center;">別紙 1</p> <p>GOTHIC による NUPEC 試験(M-8-1)の検証結果について</p> <p>NUPEC 試験のうち濃度成層化の生じた M-8-1 試験に対して、GOTHIC を用いた再現解析を実施した。</p> <p>M-8-1 試験は、加圧器気相部破断を想定したものであり、加圧器室内で発生したヘリウム（水素模擬）及び水蒸気は、加圧器室上端の開口部を経由して原子炉格納容器上部ドーム部へ直接放出されることから、ドーム部のヘリウム濃度が顕著に高くなることが同試験の特徴となる。</p> <p>この挙動を GOTHIC で模擬するためには、加圧器室開口部からドーム部への流れを適切に模擬する必要があり、[] で分割して検証解析を行った。</p> <p>別図 1 に GOTHIC による検証結果を示す。原子炉格納容器上下部の濃度差については、試験結果で確認される顕著な濃度差の予測には至らないが、下部区画と比較してドーム部でよりヘリウム濃度が高くなる傾向は再現されている。また、破断位置より上部においてヘリウムは高い濃度で均一になっており、成層化の傾向を模擬できている。</p> <p style="text-align: center;">[] 桁書きの内容は機密情報に属しますので公開できません。</p>	

泊発電所 3 号炉 有効性評価 比較表

7.2.4. 水素燃焼 (添付資料 7.2.4.8 原子炉格納容器内の水素混合について)

赤字 : 設備、運用又は体制の相違 (設計方針の相違)
 青字 : 記載箇所又は記載内容の相違 (記載方針の相違)
 緑字 : 記載表現、設備名称の相違 (実質的な相違なし)

大飯発電所 3 / 4 号炉	泊発電所 3 号炉	相違理由
 <p>(a) NUPEC 試験結果 (M-8-1 試験)</p>  <p>(b) GOTHIC コードによる検証結果 (M-8-1 試験)</p> <p>別図 1 GOTHIC コードによる M-8-1 試験の解析結果</p>	 <p>(a) NUPEC 試験結果 (M-8-1 試験)</p>  <p>(b) GOTHIC による検証結果 (M-8-1 試験)</p> <p>別図 1 GOTHIC による M-8-1 の解析結果</p>	
<div style="text-align: center; border: 1px solid black; padding: 2px;">枠固いの内容は、機密に属しますので公開できません。</div>	<div style="text-align: center; border: 1px solid black; padding: 2px;">枠固いの内容は、機密情報に属しますので公開できません。</div>	

泊発電所 3号炉 有効性評価 比較表

7.2.4. 水素燃焼 (添付資料 7.2.4.8 原子炉格納容器内の水素混合について)

赤字 : 設備、運用又は体制の相違 (設計方針の相違)
 青字 : 記載箇所又は記載内容の相違 (記載方針の相違)
 緑字 : 記載表現、設備名称の相違 (実質的な相違なし)

大飯発電所3／4号炉	泊発電所3号炉	相違理由
 <p>解析モデルイメージ図</p>	 <p>別図2 解析モデルイメージ図</p>	

枠書きの内容は、機密に属しますので公開できません。

枠書きの内容は機密情報に属しますので公開できません。

泊発電所 3 号炉 有効性評価 比較表

7.2.4. 水素燃焼 (添付資料 7.2.4.8 原子炉格納容器内の水素混合について)

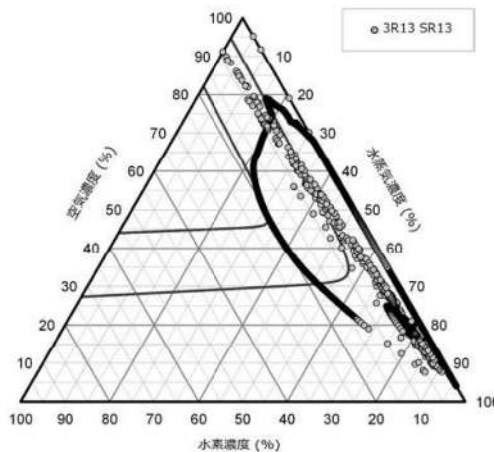
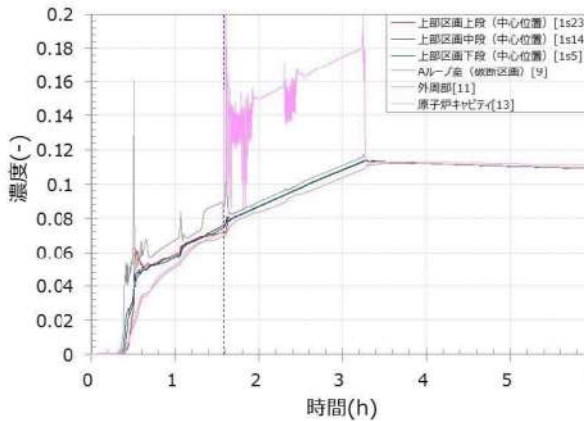
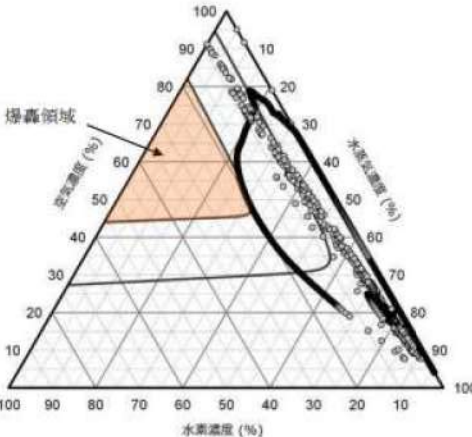
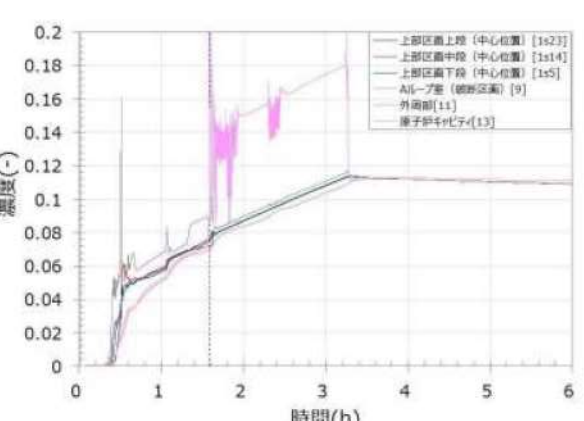
赤字 : 設備、運用又は体制の相違 (設計方針の相違)
 青字 : 記載箇所又は記載内容の相違 (記載方針の相違)
 緑字 : 記載表現、設備名称の相違 (実質的な相違なし)

大飯発電所 3 / 4 号炉	泊発電所 3 号炉	相違理由
<p>【別紙 2 については、泊と同様の記載をしている高浜 3 / 4 号炉を記載】</p> <p>別紙 2 感度解析ケース (AEW) の原子炉キャビティ区画における爆轟の可能性について</p> <p>原子炉容器破損後は、原子炉キャビティ区画が主な水素発生源となり、その他の区画と比較して水素が高濃度で推移するため、爆轟の影響について検討した。</p> <p>原子炉キャビティ区画の気相部の挙動としては、原子炉容器破損直後に原子炉容器から水素と水蒸気が発生し、その後は、溶融デブリの落下に伴う蒸気発生により長期にわたり水蒸気雰囲気となる。</p> <p>別図 2 に感度ケース (AEW) の原子炉キャビティ区画に三元図及びドライ水素濃度を示す。別図 2 (a) のとおり、原子炉容器破損直後に約 15 秒間爆轟領域に入るものの、その後は速やかに水蒸気雰囲気となる。</p> <p>なお、本評価は、ジルコニウム-水反応による水素発生量を 75% に補正しているため、水素発生源である原子炉キャビティ区画の水素濃度が相対的に高くなっている。別図 3 に 75% 補正をしない場合の三元図及びドライ水素濃度を示す。この結果、爆轟領域に至っていないことがわかる。</p>	<p>別紙 2 感度ケース (AEW) の原子炉下部キャビティ区画における爆轟の可能性について</p> <p>原子炉容器破損後は、原子炉下部キャビティ区画が主な水素発生源となり、その他の区画と比較して水素が高濃度で推移するため、爆轟の影響について検討した。</p> <p>原子炉下部キャビティ区画の気相部の挙動としては、原子炉容器破損直後に原子炉容器から水素と水蒸気が発生し、その後は、溶融デブリの落下に伴う蒸気発生により長期にわたり水蒸気雰囲気となる。</p> <p>別図 3 に感度ケース (AEW) の原子炉下部キャビティ区画の三元図及びドライ水素濃度を示す。別図 3 (a) のとおり、原子炉容器破損直後に約 15 秒間爆轟領域に入るものの、その後は速やかに水蒸気雰囲気となる。</p> <p>なお、本評価は、ジルコニウム-水反応による水素発生量を 75% に補正しているため、水素発生源である原子炉下部キャビティ区画の水素濃度が相対的に高くなっている。別図 4 に 75% 補正をしない場合の三元図及びドライ水素濃度を示す。この結果、爆轟領域に至っていないことがわかる。</p>	

泊発電所 3号炉 有効性評価 比較表

7.2.4. 水素燃焼 (添付資料 7.2.4.8 原子炉格納容器内の水素混合について)

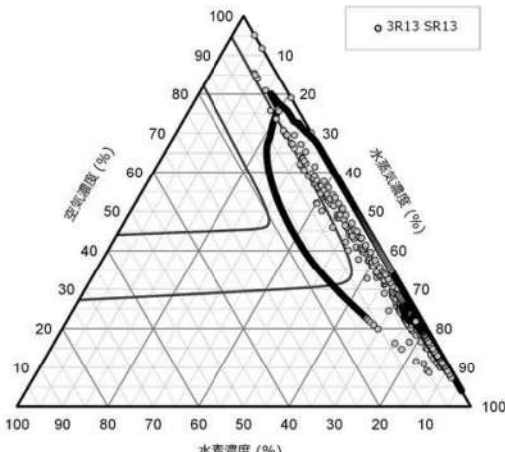
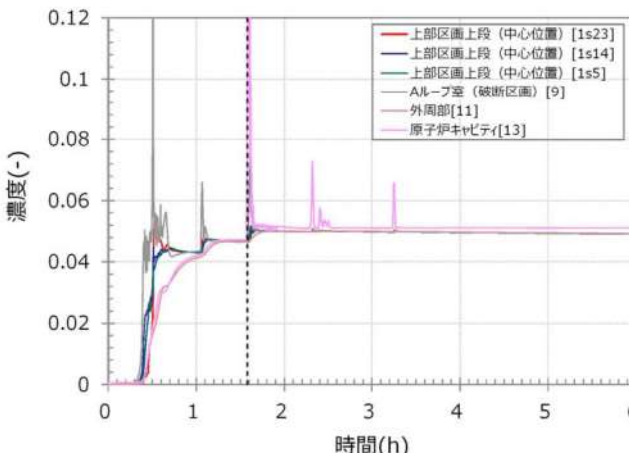
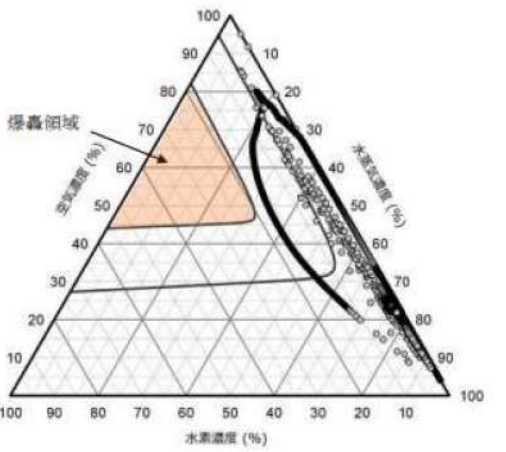
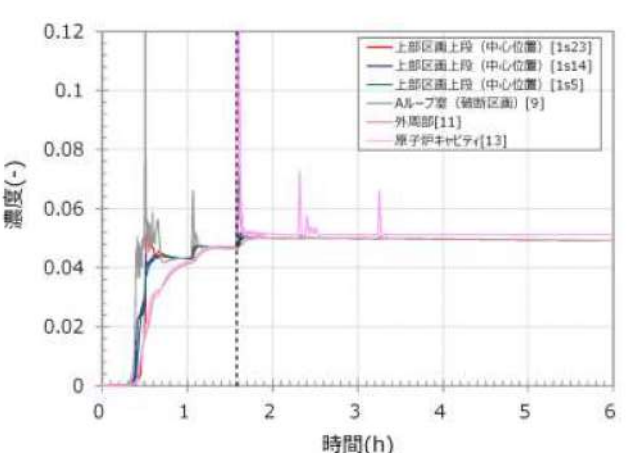
赤字 : 設備、運用又は体制の相違 (設計方針の相違)
青字 : 記載箇所又は記載内容の相違 (記載方針の相違)
緑字 : 記載表現、設備名称の相違 (実質的な相違なし)

大飯発電所 3 / 4 号炉	泊発電所 3号炉	相違理由
 <p>(a) キャビティ三元図</p>  <p>(b) ドライ水素濃度</p> <p>別図2 感度ケース (75%補正有)</p>	 <p>(a)原子炉下部キャビティ三元図</p>  <p>(b) ドライ水素濃度</p> <p>別図3 3ループプラントの感度ケース(AEW)における原子炉下部キャビティ 三元図及びドライ水素濃度(75%補正有)</p>	

泊発電所 3号炉 有効性評価 比較表

赤字 : 設備、運用又は体制の相違（設計方針の相違）
 青字 : 記載箇所又は記載内容の相違（記載方針の相違）
 緑字 : 記載表現、設備名称の相違（実質的な相違なし）

7.2.4. 水素燃焼（添付資料 7.2.4.8 原子炉格納容器内の水素混合について）

大飯発電所 3 / 4 号炉	泊発電所 3号炉	相違理由
 <p>(a) キャビティ三元図</p>  <p>(b) ドライ水素濃度</p> <p>別図3 感度ケース（75%補正無）</p>	 <p>(a) 原子炉下部キャビティ三元図</p>  <p>(b) ドライ水素濃度</p> <p>別図4 3ループプラント感度ケース(AEW)における原子炉下部キャビティ 三元図及びドライ水素濃度（75%補正無し）</p>	

泊発電所 3 号炉 有効性評価 比較表

7.2.4. 水素燃焼 (添付資料 7.2.4.8 原子炉格納容器内の水素混合について)

赤字 : 設備、運用又は体制の相違 (設計方針の相違)
青字 : 記載箇所又は記載内容の相違 (記載方針の相違)
緑字 : 記載表現、設備名称の相違 (実質的な相違なし)

大飯発電所 3 / 4 号炉

(参考) NUPEC 試験条件

試験条件	NO	CV 初期 温度 ℃	CV 初期 He 放出 流量 kg/s	He 放出 時間 min	試験条件			He, 水蒸気放出位置
					水蒸気放H 流量 kg/s	時間 min	He, 水蒸気 温度 (℃)	
2. CV 内 He 濃度分布・混合試験	M-2-2	RT	0.027	30	—	—	—	SG 基礎部 D
3. 故出水蒸気による濃度分布・混合試験	M-2-3	RT	0.027	30	0.04	30	60	加圧器逃がしタンク
4. 故出水蒸気による He 濃度分布・混合試験	M-4-1	RT	0.027	30	0.33	30	115	SG 基礎部 D
5. スプレイによる He 濃度分布・混合試験	M-4-3	RT	0.027	30	—	—	—	SG 基礎部 D
6. スプレイによる He 濃度分布・混合試験	M-5-1	RT	0.027	30	—	—	RT (1.8m ³ /h)	加圧器逃がしタンク
7. スプレイによる He 濃度分布・混合試験	M-7-1	(初期) ～75	0.0 ↓ 0.03	0 ↓ 15	0.08 ↓ 0.03	0 ↓ 30	～110 (初期) 40 (7dm ³ /h)	SG 基礎部 D
8. 上部破断による混合試験	M-8-1	RT	0.027	30	0.33	30	115 (初期) 40 (7dm ³ /h)	—
9. 上部破断による混合試験	M-8-2	(初期) ～70	0 ↓ 0.033	0 ↓ 15	0 ↓ 0.03	0 ↓ 30	115 (初期) 40 (7dm ³ /h)	加圧器逃がし弁(加圧器室)

■ : 成層化現象は確認されていない

■ : ドーム部内放出箇所の上下で成層化を確認 (上部では均一に混合)

(参考) NUPEC 試験条件

試験条件	NO	CV 初期 温度 ℃	He 放出 流量 kg/s	He 放出 時間 min	試験条件			He, 水蒸気放出位置
					水蒸気放H 流量 kg/s	時間 min	He, 水蒸気 温度 (℃)	
2. CV 内 He 濃度分布・混合試験	M-2-2	RT	0.027	30	—	—	—	SG 基礎部 D
3. 故出水蒸気による He 濃度分布・混合試験	M-2-3	RT	0.027	30	—	—	—	加圧器逃がしタンク
4. 故出水蒸気による He 濃度分布・混合試験	M-4-1	RT	0.027	30	0.04	30	68	SG 基礎部 D
5. スプレイによる He 濃度分布・混合試験	M-4-3	RT	0.027	30	0.33	30	115	SG 基礎部 D
6. スプレイによる He 濃度分布・混合試験	M-5-1	RT	0.027	30	—	—	RT (1.8m ³ /h)	加圧器逃がしタンク
7. スプレイによる He 濃度分布・混合試験	M-7-1	(初期) ～70	0.0 ↓ 0.03	0 ↓ 15	0.08 ↓ 0.03	0 ↓ 30	～110 (初期) 40 (7dm ³ /h)	SG 基礎部 D
8. 上部破断による混合試験	M-8-1	RT	0.027	30	0.33	30	115 (初期) 40 (7dm ³ /h)	—
9. 上部破断による混合試験	M-8-2	(初期) ～70	0 ↓ 0.033	0 ↓ 15	0 ↓ 0.03	0 ↓ 30	115 (初期) 40 (7dm ³ /h)	加圧器逃がし弁(加圧器室)

■ : 成層化現象は確認されていない

■ : ドーム部内放出箇所の上下で成層化を確認 (上部では均一に混合)

相違理由

泊発電所 3 号炉 有効性評価 比較表

7.2.4. 水素燃焼 (添付資料 7.2.4.9 AICC 評価について)

赤字: 設備、運用又は体制の相違 (設計方針の相違)
青字: 記載箇所又は記載内容の相違 (記載方針の相違)
緑字: 記載表現、設備名称の相違 (実質的な相違なし)

大飯発電所 3 / 4 号炉	泊発電所 3 号炉	相違理由																																				
<p>添付資料 3.4.10</p> <p>AICC 評価について</p> <p>1. はじめに 本評価では、可燃性ガスが蓄積し、その可燃性ガスが燃焼した場合の原子炉格納容器内圧力として、断熱等積完全燃焼 (AICC: adiabatic isochoric complete combustion) を想定した評価を実施した。</p> <p>2. 評価の想定 全炉心内のジルコニウム量の 75%が水と反応して水素が発生すると想定した場合に、これがすべて燃焼に寄与することを想定し、その際の原子炉格納容器バウンダリにかかる圧力を評価した。</p> <p>3. 評価方法 (1) 評価条件 全炉心内のジルコニウム量の 75%が水と反応した際に生成される水素の燃焼による AICC 時の原子炉格納容器内の圧力上昇を評価する。主要な評価条件を表 1 に示す。 AICC の評価にあたっては、保守的に燃焼後の圧力が高くなるように、燃焼前の水蒸気濃度は、原子炉格納容器全体燃焼が生じ得る最小限の水素濃度 (ウェット水素濃度 8vol%) となる水蒸気濃度とする。</p> <p>表 1 評価条件</p> <table border="1"> <thead> <tr> <th>項目</th><th>値</th><th>備考</th></tr> </thead> <tbody> <tr> <td>全炉心内 Zr 質量</td><td>24,800kg</td><td>燃料集合体のみの最大全炉心内ジルコニウム質量</td></tr> <tr> <td>初期原子炉格納容器雰囲気温度</td><td>49°C (322.15K)</td><td>空気量が少なくなり同じ水素質量でも水素濃度が高くなる保守的に高めの値として、添付書類十解析の原子炉格納容器健全性評価と同じ値</td></tr> <tr> <td>初期原子炉格納容器内圧力</td><td>大気圧 (101,325Pa[abs])</td><td>空気量が少なくなり同じ水素質量でも水素濃度が高くなる保守的に低めの値として、添付書類十解析の ECCS 性能評価、原子炉格納容器健全性評価と同じ値</td></tr> <tr> <td>原子炉格納容器自由体積</td><td>72,900m³</td><td>同じ水素質量でも水素濃度が高くなる保守的に小さめの値として、添付書類十解析の原子炉格納容器健全性評価と同じ値 (最小自由体積)</td></tr> <tr> <td>燃焼前ウェット水素濃度</td><td>8vol%</td><td>火炎の下方伝搬により原子炉格納容器全体燃焼が生じ原子炉格納容器の圧力上昇が高くなる水素濃度</td></tr> </tbody> </table>	項目	値	備考	全炉心内 Zr 質量	24,800kg	燃料集合体のみの最大全炉心内ジルコニウム質量	初期原子炉格納容器雰囲気温度	49°C (322.15K)	空気量が少なくなり同じ水素質量でも水素濃度が高くなる保守的に高めの値として、添付書類十解析の原子炉格納容器健全性評価と同じ値	初期原子炉格納容器内圧力	大気圧 (101,325Pa[abs])	空気量が少なくなり同じ水素質量でも水素濃度が高くなる保守的に低めの値として、添付書類十解析の ECCS 性能評価、原子炉格納容器健全性評価と同じ値	原子炉格納容器自由体積	72,900m ³	同じ水素質量でも水素濃度が高くなる保守的に小さめの値として、添付書類十解析の原子炉格納容器健全性評価と同じ値 (最小自由体積)	燃焼前ウェット水素濃度	8vol%	火炎の下方伝搬により原子炉格納容器全体燃焼が生じ原子炉格納容器の圧力上昇が高くなる水素濃度	<p>添付資料 7.2.4.9</p> <p>AICC 評価について</p> <p>1. はじめに 本評価では、可燃性ガスが蓄積し、その可燃性ガスが燃焼した場合の原子炉格納容器内圧力として、断熱等積完全燃焼 (AICC: adiabatic isochoric complete combustion) を想定した評価を実施した。</p> <p>2. 評価の想定 全炉心内のジルコニウム量の 75%が水と反応して水素が発生すると想定した場合に、これがすべて燃焼に寄与することを想定し、その際の原子炉格納容器バウンダリにかかる圧力を評価した。</p> <p>3. 評価方法 (1) 評価条件 全炉心内のジルコニウム量の 75%が水と反応した際に生成される水素の燃焼による AICC 時の原子炉格納容器 (以下、「CV」という。) 内の圧力上昇を評価する。主要な評価条件を表 1 に示す。 AICC の評価にあたっては、保守的に燃焼後の圧力が高くなるように、燃焼前の水蒸気濃度は、CV 全体燃焼が生じ得る最小限の水素濃度 (ウェット水素濃度 8vol%) となる水蒸気濃度とする。</p> <p>表 1 評価条件</p> <table border="1"> <thead> <tr> <th>項目</th><th>値</th><th>備考</th></tr> </thead> <tbody> <tr> <td>全炉心内 Zr 質量</td><td>20,200kg</td><td>燃料集合体のみの最大全炉心内ジルコニウム質量</td></tr> <tr> <td>初期 CV 内温度</td><td>49°C (322.15K)</td><td>空気量が少なくなり同じ水素質量でも水素濃度が高くなる保守的に高めの値として、添付書類十解析の原子炉格納容器健全性評価と同じ値</td></tr> <tr> <td>初期 CV 内圧力</td><td>大気圧 (101,325Pa[abs])</td><td>空気量が少なくなり同じ水素質量でも水素濃度が高くなる保守的に低めの値として、添付書類十解析の ECCS 性能評価、原子炉格納容器健全性評価と同じ値</td></tr> <tr> <td>原子炉格納容器自由体積</td><td>65,500m³</td><td>同じ水素質量でも水素濃度が高くなる保守的に小さめの値として、添付書類十解析の原子炉格納容器健全性評価と同じ値 (最小自由体積)</td></tr> <tr> <td>燃焼前ウェット水素濃度</td><td>8 vol%</td><td>火炎の下方伝搬により CV 全体燃焼が生じ CV の圧力上昇が高くなる水素濃度</td></tr> </tbody> </table>	項目	値	備考	全炉心内 Zr 質量	20,200kg	燃料集合体のみの最大全炉心内ジルコニウム質量	初期 CV 内温度	49°C (322.15K)	空気量が少なくなり同じ水素質量でも水素濃度が高くなる保守的に高めの値として、添付書類十解析の原子炉格納容器健全性評価と同じ値	初期 CV 内圧力	大気圧 (101,325Pa[abs])	空気量が少なくなり同じ水素質量でも水素濃度が高くなる保守的に低めの値として、添付書類十解析の ECCS 性能評価、原子炉格納容器健全性評価と同じ値	原子炉格納容器自由体積	65,500m ³	同じ水素質量でも水素濃度が高くなる保守的に小さめの値として、添付書類十解析の原子炉格納容器健全性評価と同じ値 (最小自由体積)	燃焼前ウェット水素濃度	8 vol%	火炎の下方伝搬により CV 全体燃焼が生じ CV の圧力上昇が高くなる水素濃度	
項目	値	備考																																				
全炉心内 Zr 質量	24,800kg	燃料集合体のみの最大全炉心内ジルコニウム質量																																				
初期原子炉格納容器雰囲気温度	49°C (322.15K)	空気量が少なくなり同じ水素質量でも水素濃度が高くなる保守的に高めの値として、添付書類十解析の原子炉格納容器健全性評価と同じ値																																				
初期原子炉格納容器内圧力	大気圧 (101,325Pa[abs])	空気量が少なくなり同じ水素質量でも水素濃度が高くなる保守的に低めの値として、添付書類十解析の ECCS 性能評価、原子炉格納容器健全性評価と同じ値																																				
原子炉格納容器自由体積	72,900m ³	同じ水素質量でも水素濃度が高くなる保守的に小さめの値として、添付書類十解析の原子炉格納容器健全性評価と同じ値 (最小自由体積)																																				
燃焼前ウェット水素濃度	8vol%	火炎の下方伝搬により原子炉格納容器全体燃焼が生じ原子炉格納容器の圧力上昇が高くなる水素濃度																																				
項目	値	備考																																				
全炉心内 Zr 質量	20,200kg	燃料集合体のみの最大全炉心内ジルコニウム質量																																				
初期 CV 内温度	49°C (322.15K)	空気量が少なくなり同じ水素質量でも水素濃度が高くなる保守的に高めの値として、添付書類十解析の原子炉格納容器健全性評価と同じ値																																				
初期 CV 内圧力	大気圧 (101,325Pa[abs])	空気量が少なくなり同じ水素質量でも水素濃度が高くなる保守的に低めの値として、添付書類十解析の ECCS 性能評価、原子炉格納容器健全性評価と同じ値																																				
原子炉格納容器自由体積	65,500m ³	同じ水素質量でも水素濃度が高くなる保守的に小さめの値として、添付書類十解析の原子炉格納容器健全性評価と同じ値 (最小自由体積)																																				
燃焼前ウェット水素濃度	8 vol%	火炎の下方伝搬により CV 全体燃焼が生じ CV の圧力上昇が高くなる水素濃度																																				

泊発電所 3号炉 有効性評価 比較表

7.2.4. 水素燃焼 (添付資料 7.2.4.9 AICC 評価について)

赤字: 設備、運用又は体制の相違 (設計方針の相違)
青字: 記載箇所又は記載内容の相違 (記載方針の相違)
緑字: 記載表現、設備名称の相違 (実質的な相違なし)

大飯発電所3／4号炉	泊発電所3号炉	相違理由
<p>(2) 評価モデル</p> <p>(a) 計算条件及び記号</p> <ul style="list-style-type: none"> 原子炉格納容器内が飽和状態であると想定した上で燃焼前ウェット水素濃度 8vol%になる水蒸気濃度 通常運転時の初期圧力 =101,325 (Pa) 通常運転時の初期温度 =49 (°C) 全炉心内ジルコニウム質量 =24,800 (kg) 断熱等積完全燃焼(AICC: adiabatic isochoric complete combustion) 燃焼前の化学種は水素、酸素、窒素、水蒸気分子、燃焼後の化学種は酸素、窒素、水蒸気分子のみを仮定し、化学平衡計算は実施しない。 化学種の定容比熱は定数とする^[1] AICCの仮定により、水素燃焼時の発熱量は水蒸気が凝縮しないとして水素低発熱量を使用 <p>(記号)</p> <p>V_{cv}: 原子炉格納容器自由体積(m³)</p> <p>P_{cv}: 圧力(Pa)</p> <p>T_{cv}: 温度(K)</p> <p>n: ガス分子数(−)</p> <p>m: ガス質量(kg)</p> <p>M: 分子量(kg/kmol)</p> <p>Q_H: 水素の低発熱量 (1.209×10^8 J/kg)</p> <p>C_v: 定容比熱(J/kgK)</p> <p>ρ_0: 理想気体の単位体積当たりのモル数(kmol/m³)</p> <p>R_g: 一般ガス定数 (8,314J/kmolK)</p> <p>$P_{sat}(T)$: 温度Tにおける水蒸気飽和圧力 (Pa)</p> <p>(): 運転時の状態</p> <p>(): i 化学種の値 i=O(酸素)、i=N(窒素)、i=H(水素)、i=S(水蒸気)、i=air(空気)、 i=Zr(ジルコニウム)</p> <p>('): 燃焼後の値</p> <p>(b) 原子炉格納容器内の酸素、窒素および水素質量</p> <p>水素燃焼前の酸素、窒素および水素質量を算出する。これらは解析条件及び気体の状態方程式から以下のように算出できる。</p> $\rho_0 = \frac{P_0}{R_g T_0}$ $m_N = 0.78 V_{cv} \rho_0 M_{N_2}$ $m_O = 0.22 V_{cv} \rho_0 M_{O_2}$ $m_H = 2 \frac{m_Zr}{M_{Zr}} M_H$	<p>(2) 評価モデル</p> <p>(a) 計算条件及び記号</p> <ul style="list-style-type: none"> CV 内が飽和状態であると想定した上で燃焼前ウェット水素濃度 8vol%になる水蒸気濃度 通常運転時の初期圧力 =101,325 (Pa) 通常運転時の初期温度 =49 (°C) 全炉心内ジルコニウム質量 =20,200 (kg) 断熱等積完全燃焼(AICC: adiabatic isochoric complete combustion) 燃焼前の化学種は水素、酸素、窒素、水蒸気分子、燃焼後の化学種は酸素、窒素、水蒸気分子のみを仮定し、化学平衡計算は実施しない 化学種の定容比熱は定数とする^[1] AICCの仮定により、水素燃焼時の発熱量は水蒸気が凝縮しないとして水素低発熱量を使用 <p>(記号)</p> <p>V_{cv}: 原子炉格納容器自由体積(m³)</p> <p>P_{cv}: 圧力(Pa)</p> <p>T_{cv}: 温度(K)</p> <p>n: ガス分子数(−)</p> <p>m: ガス質量(kg)</p> <p>M: 分子量(kg/kmol)</p> <p>Q_H: 水素の低発熱量 (1.209×10^8 J/kg) ^[2]</p> <p>C_v: 定容比熱(J/kgK)</p> <p>ρ_0: 理想気体の単位体積当たりのモル数(kmol/m³)</p> <p>R_g: 一般ガス定数 (8,314J/kmol · K)</p> <p>$P_{sat}(T)$: 温度Tにおける水蒸気飽和圧力 (Pa) ^[2]</p> <p>(): 運転時の状態</p> <p>(): i 化学種の値 i=O(酸素)、i=N(窒素)、i=H(水素)、i=S(水蒸気)、 i=air(空気)、i=Zr(ジルコニウム)</p> <p>('): 燃焼後の値</p> <p>(b) CV 内の酸素、窒素および水素質量</p> <p>水素燃焼前の酸素、窒素および水素質量を算出する。これらは解析条件及び気体の状態方程式から以下のように算出できる。</p> $\rho_0 = \frac{P_0}{R_g T_0}$ $m_N = 0.78 V_{cv} \rho_0 M_{N_2}$ $m_O = 0.22 V_{cv} \rho_0 M_{O_2}$ $m_H = 2 \frac{m_Zr}{M_{Zr}} M_H$	設計の相違

泊発電所 3 号炉 有効性評価 比較表

7.2.4. 水素燃焼 (添付資料 7.2.4.9 AICC 評価について)

赤字: 設備、運用又は体制の相違 (設計方針の相違)
青字: 記載箇所又は記載内容の相違 (記載方針の相違)
緑字: 記載表現、設備名称の相違 (実質的な相違なし)

大飯発電所 3 / 4 号炉	泊発電所 3 号炉	相違理由
<p>(c) 水素燃焼前の状態計算 水素燃焼前の水蒸気質量は、原子炉格納容器内が飽和状態であると想定した上でウェット水素濃度が 8vol%であることを条件に、状態方程式から求める。</p> $\frac{\frac{m_H}{M_H}}{\frac{V_{cv}P_{sat}(T_{cv})}{R_0T_{cv}} + \sum_{i=N,O,H} \frac{m_i}{M_i}} = 0.08$ $m_s = \frac{V_{cv}P_{sat}(T_{cv})}{R_0T_{cv}} M_s$ $P_{cv} = P_{sat}(T_{cv}) + \frac{R_0T_{cv}}{V_{cv}} \sum_{i=N,O,H} \frac{m_i}{M_i}$ <p>(d) 水素燃焼後の状態計算 水素燃焼後の状態を計算する。酸水素反応の化学量論的関係は次式で与えられる。</p> $2H_2 + O_2 \rightarrow 2H_2O + Q$ $2\frac{m_H}{M_H} + \frac{m_O}{M_O} \rightarrow 2\frac{m_s}{M_s} + 2m_H Q_H$ <p>上記の関係から、酸素に対して水素が不足している状態における化学種の質量は次式で与えられる。ただし、燃焼後の反応に関係しない窒素を除く。</p> $m'_H = 0$ $m'_s = m_s + m_H \frac{M_s}{M_H}$ $m'_O = m_O - 0.5m_H \frac{M_O}{M_H}$ <p>燃焼前後のエネルギー保存は次式で与えられる。</p> $T_{cv}' \sum_{i=N,O,S} m_i' C_{v,i} = T_{cv} \sum_{i=N,O,H,S} m_i C_{v,i} + m_H Q_H$ <p>※本式右辺の燃焼の定容比熱については、燃焼後の比熱を使用する方が保守的な評価となるため以降の評価では燃焼後の定容比熱を使用することとする。</p> <p>上式から燃焼後の断熱温度が次式により求められる。</p> $T_{cv}' = \frac{T_{cv} \sum_{i=N,O,H,S} m_i C_{v,i} + m_H Q_H}{\sum_{i=N,O,S} m_i C_{v,i}}$	<p>(c) 水素燃焼前の状態計算 水素燃焼前の水蒸気質量は、CV 内が飽和状態であると想定した上でウェット水素濃度が 8 vol%であることを条件に、状態方程式から求める。</p> $\frac{\frac{m_H}{M_H}}{\frac{V_{cv}P_{sat}(T_{cv})}{R_0T_{cv}} + \sum_{i=N,O,H} \frac{m_i}{M_i}} = 0.08$ $m_s = \frac{V_{cv}P_{sat}(T_{cv})}{R_0T_{cv}} M_s$ $P_{cv} = P_{sat}(T_{cv}) + \frac{R_0T_{cv}}{V_{cv}} \sum_{i=N,O,H} \frac{m_i}{M_i}$ <p>(d) 水素燃焼後の状態計算 水素燃焼後の状態を計算する。酸水素反応の化学量論的関係は次式で与えられる。</p> $2H_2 + O_2 \rightarrow 2H_2O + Q$ $2\frac{m_H}{M_H} + \frac{m_O}{M_O} \rightarrow 2\frac{m_s}{M_s} + 2m_H Q_H$ <p>上記の関係から、酸素に対して水素が不足している状態における化学種の質量は次式で与えられる。ただし、燃焼後の反応に関係しない窒素を除く。</p> $m'_H = 0$ $m'_s = m_s + m_H \frac{M_s}{M_H}$ $m'_O = m_O - 0.5m_H \frac{M_O}{M_H}$ <p>燃焼前後のエネルギー保存は次式で与えられる。</p> $T_{cv}' \sum_{i=N,O,S} m_i' C_{v,i} = T_{cv} \sum_{i=N,O,H,S} m_i C_{v,i} + m_H Q_H$ <p>※本式右辺の燃焼の定容比熱については、燃焼後の比熱を使用する方が保守的な評価となるため以降の評価では燃焼後の定容比熱を使用することとする。</p> <p>上式から燃焼後の断熱温度が次式により求められる。</p> $T_{cv}' = \frac{T_{cv} \sum_{i=N,O,H,S} m_i C_{v,i} + m_H Q_H}{\sum_{i=N,O,S} m_i C_{v,i}}$	

泊発電所 3 号炉 有効性評価 比較表

赤字：設備、運用又は体制の相違（設計方針の相違）
青字：記載箇所又は記載内容の相違（記載方針の相違）
緑字：記載表現、設備名称の相違（実質的な相違なし）

7.2.4. 水素燃焼（添付資料 7.2.4.9 AICC 評価について）

大飯発電所 3 / 4 号炉	泊発電所 3 号炉	相違理由
<p>また、この時の圧力は次式より求められる。</p> $P_{cv} = P_{cv} \frac{n' T_{cv}}{n T_{cv}} = P_{cv} \frac{T_{cv} \sum_{i=N,O,S} m_i}{T_{cv} \sum_{i=N,O,H,S} m_i}$	<p>また、この時の圧力は次式より求められる。</p> $P_{cv} = P_{cv} \frac{n' T_{cv}}{n T_{cv}} = P_{cv} \frac{\sum_{i=N,O,S} m_i}{\sum_{i=N,O,H,S} M_i}$	
<p>4. 検討結果</p> <p>検討手順に基づいて、大飯 3, 4 号炉を対象に全炉心内のジルコニウム量の 75%が水と反応することを想定した場合に、発生した水素の燃焼による原子炉格納容器内の圧力上昇の算出結果を以下に示す。（ケース 1）</p> <ul style="list-style-type: none"> 燃焼前の原子炉格納容器内ウェット水素濃度：8vol% (ドライ条件に換算した原子炉格納容器内水素濃度約 12.88vol%) 燃焼前の圧力：0.11MPa[gage] 燃焼後の圧力：0.50MPa[gage] < 最高使用圧力の 2 倍：0.78MPa[gage] <p>以上から、全炉心内のジルコニウム量の 75%が水と反応することを想定した場合に、発生した水素の燃焼による原子炉格納容器内の圧力上昇を算出した結果、最高使用圧力の 2 倍以下となった。したがって、大飯 3, 4 号機が、本事象についての判断基準を満たすことを確認した。</p>	<p>4. 検討結果</p> <p>検討手順に基づいて、泊 3 号炉を対象に全炉心内のジルコニウム量の 75%が水と反応することを想定した場合に、発生した水素の燃焼によるCV内の圧力上昇の算出結果を以下に示す。（ケース 1）</p> <ul style="list-style-type: none"> 燃焼前のCV内ウェット水素濃度：8vol% (ドライ条件に換算したCV内水素濃度約 11.82vol%) 燃焼前の圧力：0.088MPa[gage] 燃焼後の圧力：0.443MPa[gage] < 最高使用圧力の 2 倍：0.566MPa[gage] <p>以上から、全炉心内のジルコニウム量の 75%が水と反応することを想定した場合に、発生した水素の燃焼による原子炉格納容器内の圧力上昇を算出した結果、最高使用圧力の 2 倍以下となった。したがって、本事象についての判断基準を満たすことを確認した。</p>	<p>解析結果の相違</p> <p>設計の相違</p>
<p>5. 感度解析</p> <p>GOTHIC モードによる解析で、全炉心内のジルコニウム量の 75%が水と反応する時点での、ウェット水素濃度約 10.0vol%における評価結果は以下の通りである。（ケース 2）</p> <ul style="list-style-type: none"> 燃焼前の原子炉格納容器内ウェット水素濃度：約 10.0vol% (ドライ条件に換算した原子炉格納容器内水素濃度約 12.83vol%) 燃焼前の圧力：0.057MPa[gage] 燃焼後の圧力：0.41MPa[gage] < 最高使用圧力の 2 倍：0.78MPa[gage] <p>なお、全炉心内のジルコニウム量の 75%が水と反応した際に、水蒸気が無い、ドライ状態での評価結果は以下のとおりであり、燃焼前の格納容器内をウェット水素濃度 8vol%相当まで水蒸気で加圧した条件が厳しくなることがわかる。（ケース 3）</p> <ul style="list-style-type: none"> 燃焼前の水蒸気濃度 0vol% (ドライ条件に換算した原子炉格納容器内水素濃度約 12.88vol%) 燃焼前の圧力：0.015MPa[gage] 燃焼後の圧力：0.41MPa[gage] < 最高使用圧力の 2 倍：0.78MPa[gage] 	<p>5. 感度解析</p> <p>GOTHIC による解析で、全炉心内のジルコニウム量の 75%が水と反応する時点での、ウェット水素濃度約 9.2vol%における評価結果は以下の通りである。（ケース 2）</p> <ul style="list-style-type: none"> 燃焼前のCV内ウェット水素濃度：約 9.2vol% (ドライ条件に換算したCV内水素濃度約 11.65vol%) 燃焼前の圧力：0.057MPa[gage] 燃焼後の圧力：0.421MPa[gage] < 最高使用圧力の 2 倍：0.566MPa[gage] <p>なお、全炉心内のジルコニウム量の 75%が水と反応した際に、水蒸気が無い、ドライ状態での評価結果は以下のとおりであり、燃焼前の原子炉格納容器内をウェット水素濃度 8vol%相当まで水蒸気で加圧した条件が厳しくなることがわかる。（ケース 3）</p> <ul style="list-style-type: none"> 燃焼前の水蒸気濃度 0vol% (ドライ条件に換算したCV内水素濃度約 11.82vol%) 燃焼前の圧力：0.014MPa[gage] 燃焼後の圧力：0.376MPa[gage] < 最高使用圧力の 2 倍：0.566MPa[gage] 	<p>解析結果の相違</p> <p>設計の相違</p> <p>解析結果の相違</p> <p>設計の相違</p>

泊発電所 3 号炉 有効性評価 比較表

7.2.4. 水素燃焼 (添付資料 7.2.4.9 AICC 評価について)

赤字 : 設備、運用又は体制の相違 (設計方針の相違)
青字 : 記載箇所又は記載内容の相違 (記載方針の相違)
緑字 : 記載表現、設備名称の相違 (実質的な相違なし)

大飯発電所 3 / 4 号炉						泊発電所 3 号炉					相違理由																																																	
各ケースの評価結果を表 2 にまとめる。						各ケースの評価結果を表 2 にまとめる。																																																						
<p>表 2 各ケースの評価結果</p> <table border="1"> <thead> <tr> <th>ケース</th> <th>想定ジルコニアム-水反応割合</th> <th>初期水素濃度</th> <th>燃焼前圧力 MPa[gage]</th> <th>燃焼後圧力 MPa[gage]</th> <th>圧力上昇幅 MPa</th> </tr> </thead> <tbody> <tr> <td>1</td> <td>75%</td> <td>ウェット 8 vol% (水素 : 407.8[kmol]) (空気 : 2,757.9[kmol]) (水蒸気 : 1,928.8[kmol])</td> <td>0.11</td> <td>0.50</td> <td>0.39</td> </tr> <tr> <td>2</td> <td>75%</td> <td>ウェット約 10.0 vol% (水素 : 405.8[kmol])^{※1} (空気 : 2,757.7[kmol]) (水蒸気 : 879.7[kmol])</td> <td>0.057</td> <td>0.41</td> <td>0.36</td> </tr> <tr> <td>3</td> <td>75%</td> <td>ドライ約 12.88 vol% (水素 : 407.8 [kmol]) (空気 : 2,757.9 [kmol]) (水蒸気 : -)</td> <td>0.015</td> <td>0.41</td> <td>0.39</td> </tr> </tbody> </table>						ケース	想定ジルコニアム-水反応割合	初期水素濃度	燃焼前圧力 MPa[gage]	燃焼後圧力 MPa[gage]	圧力上昇幅 MPa	1	75%	ウェット 8 vol% (水素 : 407.8[kmol]) (空気 : 2,757.9[kmol]) (水蒸気 : 1,928.8[kmol])	0.11	0.50	0.39	2	75%	ウェット約 10.0 vol% (水素 : 405.8[kmol]) ^{※1} (空気 : 2,757.7[kmol]) (水蒸気 : 879.7[kmol])	0.057	0.41	0.36	3	75%	ドライ約 12.88 vol% (水素 : 407.8 [kmol]) (空気 : 2,757.9 [kmol]) (水蒸気 : -)	0.015	0.41	0.39	<p>表 2 各ケースの評価結果</p> <table border="1"> <thead> <tr> <th>ケース</th> <th>想定 Zr-水反応割合</th> <th>初期水素濃度</th> <th>燃焼前圧力 MPa[gage]</th> <th>燃焼後圧力 MPa[gage]</th> <th>圧力上昇幅 MPa</th> </tr> </thead> <tbody> <tr> <td>1</td> <td>75%</td> <td>ウェット 8 vol% (水素 : 332.1[kmol]) (空気 : 2477.9[kmol]) (水蒸気 : 1341.6[kmol])</td> <td>0.088</td> <td>0.443</td> <td>0.355</td> </tr> <tr> <td>2</td> <td>75%</td> <td>ウェット約 9.2 vol% (水素 : 326.8[kmol])[※] (空気 : 2477.8[kmol]) (水蒸気 : 764.9[kmol])</td> <td>0.057</td> <td>0.421</td> <td>0.364</td> </tr> <tr> <td>3</td> <td>75%</td> <td>ドライ約 11.8 vol% (水素 : 332.1 [kmol]) (空気 : 2477.9 [kmol]) (水蒸気 : -)</td> <td>0.014</td> <td>0.376</td> <td>0.362</td> </tr> </tbody> </table>							ケース	想定 Zr-水反応割合	初期水素濃度	燃焼前圧力 MPa[gage]	燃焼後圧力 MPa[gage]	圧力上昇幅 MPa	1	75%	ウェット 8 vol% (水素 : 332.1[kmol]) (空気 : 2477.9[kmol]) (水蒸気 : 1341.6[kmol])	0.088	0.443	0.355	2	75%	ウェット約 9.2 vol% (水素 : 326.8[kmol]) [※] (空気 : 2477.8[kmol]) (水蒸気 : 764.9[kmol])	0.057	0.421	0.364	3	75%	ドライ約 11.8 vol% (水素 : 332.1 [kmol]) (空気 : 2477.9 [kmol]) (水蒸気 : -)	0.014	0.376	0.362
ケース	想定ジルコニアム-水反応割合	初期水素濃度	燃焼前圧力 MPa[gage]	燃焼後圧力 MPa[gage]	圧力上昇幅 MPa																																																							
1	75%	ウェット 8 vol% (水素 : 407.8[kmol]) (空気 : 2,757.9[kmol]) (水蒸気 : 1,928.8[kmol])	0.11	0.50	0.39																																																							
2	75%	ウェット約 10.0 vol% (水素 : 405.8[kmol]) ^{※1} (空気 : 2,757.7[kmol]) (水蒸気 : 879.7[kmol])	0.057	0.41	0.36																																																							
3	75%	ドライ約 12.88 vol% (水素 : 407.8 [kmol]) (空気 : 2,757.9 [kmol]) (水蒸気 : -)	0.015	0.41	0.39																																																							
ケース	想定 Zr-水反応割合	初期水素濃度	燃焼前圧力 MPa[gage]	燃焼後圧力 MPa[gage]	圧力上昇幅 MPa																																																							
1	75%	ウェット 8 vol% (水素 : 332.1[kmol]) (空気 : 2477.9[kmol]) (水蒸気 : 1341.6[kmol])	0.088	0.443	0.355																																																							
2	75%	ウェット約 9.2 vol% (水素 : 326.8[kmol]) [※] (空気 : 2477.8[kmol]) (水蒸気 : 764.9[kmol])	0.057	0.421	0.364																																																							
3	75%	ドライ約 11.8 vol% (水素 : 332.1 [kmol]) (空気 : 2477.9 [kmol]) (水蒸気 : -)	0.014	0.376	0.362																																																							

※ 1 : GOTHIC 評価結果から引用しており、約 1.6 時間時点までの PAR による水素の処理を考慮

6. 参考文献

- [1] 伝熱工学資料, 日本機械学会
- [2] 燃焼工学ハンドブック, 日本機会学会
- [3] 日本機械学会蒸気表, 日本機会学会

6. 参考文献

- [1] 伝熱工学資料, 日本機械学会
- [2] 燃焼工学ハンドブック, 日本機会学会
- [3] 日本機械学会蒸気表, 日本機会学会

泊発電所3号炉 有効性評価 比較表

7.2.4. 水素燃焼 (添付資料 7.2.4.9 AICC 評価について)

赤字: 設備、運用又は体制の相違 (設計方針の相違)
 青字: 記載箇所又は記載内容の相違 (記載方針の相違)
 緑字: 記載表現、設備名称の相違 (実質的な相違なし)

大飯発電所3／4号炉			泊発電所3号炉	(参考1)			
(参考1) 評価条件及び計算結果の比較 (ケース1、ケース3)							
表1 評価条件及び計算結果の比較 (ケース1、ケース3)							
パラメータ	ケース1	ケース3	パラメータ	ケース1			
P ₀	初期 CV 内圧力(Pa[abs])	101,325	→	P ₀	初期 CV 内圧力(Pa[abs])	101,325	→
R ₀	一般ガス定数 (J/kmolK)	8,314	→	R ₀	一般ガス定数 (J/kmol・K)	8,314	→
T ₀	初期 CV 内温度 (K)	322.15	→	T ₀	初期 CV 内温度 (K)	322.15	→
p ₀	理想気体の単位体積当たりのモル数(kmol/m ³)	0.037831	→	p ₀	理想気体の単位体積当たりのモル数 (kmol/m ³)	0.037831	→
V _{cv}	原子炉格納容器自由体積(m ³)	72,900	→	V _{cv}	原子炉格納容器自由体積(m ³)	65,500	→
M _N	窒素分子量 (kg/kmol)	28.0134	→	M _N	窒素分子量 (kg/kmol)	28.0134	→
m _N	(燃焼前) 窒素質量 (kg)	60,261	→	m _N	(燃焼前) 窒素質量 (kg)	54,144	→
M _O	酸素分子量 (kg/kmol)	31.9988	→	M _O	酸素分子量 (kg/kmol)	31.9988	→
m _O	(燃焼前) 酸素質量(kg)	19,415	→	m _O	(燃焼前) 酸素質量(kg)	17,444	→
m _{Zr}	全炉心内 Zr 量の 75%質量 (kg)	18,600	→	m _{Zr}	全炉心内 Zr 量の 75%質量 (kg)	15,150	→
M _{Zr}	ジルコニウム分子量(kg/kmol)	91.224	→	M _{Zr}	ジルコニウム分子量(kg/kmol)	91.224	→
M _H	水素分子量 (kg/kmol)	2.01588	→	M _H	水素分子量 (kg/kmol)	2.01588	→
m _H	(燃焼前) 水素質量(kg)	822.1	→	m _H	(燃焼前) 水素質量(kg)	669.6	→
T _{cv}	(燃焼前) CV 内温度 (K)	366.9	—	T _{cv}	(燃焼前) CV 内温度 (K)	359.63	—
P _{sat(Tcv)}	温度 T における水蒸気飽和圧力 (Pa)	80,709	—	P _{sat(Tcv)}	温度 T における水蒸気飽和圧力 (Pa)	61,241	—
m _a	(燃焼前) 水蒸気質量(kg)	34,748	0	m _a	(燃焼前) 水蒸気質量(kg)	24,169	0
P _{cv}	(燃焼前) CV 内圧力 (MPa[gage])	0.112	0.015	P _{cv}	(燃焼前) CV 内圧力 (MPa[gage])	0.088	0.014
m' _s	(燃焼後) 水蒸気質量(kg)	42,095	7,346	m' _s	(燃焼後) 水蒸気質量(kg)	30,153	5,984
m' _O	(燃焼後) 酸素質量(kg)	12,890	→	m' _O	(燃焼後) 酸素質量(kg)	12,130	→
C _{vN}	窒素の定容比熱(J/kgK) [*] 1	875.9204	944.5872	C _{vN}	窒素の定容比熱(J/kgK) [*] 1	875.9204	932.4449
C _{vO}	酸素の定容比熱(J/kgK) [*] 1	833.213	880.5261	C _{vO}	酸素の定容比熱(J/kgK) [*] 1	833.2130	872.1521
C _{vS}	水蒸気の定容比熱(J/kgK) [*] 1	1,847.723	2,139.138	C _{vS}	水蒸気の定容比熱(J/kgK) [*] 1	1,847.723	2,080.520
C _{vH}	水素の定容比熱(J/kgK) [*] 1	10,902.95	11,828.275	C _{vH}	水素の定容比熱(J/kgK) [*] 1	10,902.95	11,614.74
Q _{hi}	水素の低発熱量(J/kg) [*] 2	1.209×10 ⁶	→	Q _{hi}	水素の低発熱量(J/kg) [*] 2	1.209×10 ⁶	→
T _{cv'}	(燃焼後) CV 内温度(K)	1,072	1,505	T _{cv'}	(燃焼後) CV 内温度(K)	1,077	1,423
P _{cv'}	(燃焼後) CV 内圧力(MPa[gage])	0.497	0.407	P _{cv'}	(燃焼後) CV 内圧力(MPa[gage])	0.443	0.376
P _{cv' - Pcv}	圧縮上昇幅(MPa[gage])	0.385	0.392	P _{cv' - Pcv}	圧縮上昇幅(MPa[gage])	0.355	0.362

*1 燃焼後の定容比熱を使用。

*2 発熱量には燃焼時に発生する水蒸気の凝縮潜熱を含めた高発熱量と凝縮潜熱を含めない低発熱量がある。

本評価では、AICC の仮定により、水素燃焼時の発熱量は 水蒸気が凝縮しないとして水素低発熱量を使用。

表3 評価条件及び計算結果の比較 (ケース1、ケース3)

パラメータ	ケース1	ケース3	
P ₀	初期 CV 内圧力(Pa[abs])	101,325	→
R ₀	一般ガス定数 (J/kmol・K)	8,314	→
T ₀	初期 CV 内温度 (K)	322.15	→
p ₀	理想気体の単位体積当たりのモル数 (kmol/m ³)	0.037831	→
V _{cv}	原子炉格納容器自由体積(m ³)	65,500	→
M _N	窒素分子量 (kg/kmol)	28.0134	→
m _N	(燃焼前) 窒素質量 (kg)	54,144	→
M _O	酸素分子量 (kg/kmol)	31.9988	→
m _O	(燃焼前) 酸素質量(kg)	17,444	→
m _{Zr}	全炉心内 Zr 量の 75%質量 (kg)	15,150	→
M _{Zr}	ジルコニウム分子量(kg/kmol)	91.224	→
M _H	水素分子量 (kg/kmol)	2.01588	→
m _H	(燃焼前) 水素質量(kg)	669.6	→
T _{cv}	(燃焼前) CV 内温度 (K)	359.63	—
P _{sat(Tcv)}	温度 T における水蒸気飽和圧力 (Pa)	61,241	—
m _a	(燃焼前) 水蒸気質量(kg)	24,169	0
P _{cv}	(燃焼前) CV 内圧力 (MPa[gage])	0.088	0.014
m' _s	(燃焼後) 水蒸気質量(kg)	30,153	5,984
m' _O	(燃焼後) 酸素質量(kg)	12,130	→
C _{vN}	窒素の定容比熱(J/kgK) [*] 1	875.9204	932.4449
C _{vO}	酸素の定容比熱(J/kgK) [*] 1	833.2130	872.1521
C _{vS}	水蒸気の定容比熱(J/kgK) [*] 1	1,847.723	2,080.520
C _{vH}	水素の定容比熱(J/kgK) [*] 1	10,902.95	11,614.74
Q _{hi}	水素の低発熱量(J/kg) [*] 2	1.209×10 ⁶	→
T _{cv'}	(燃焼後) CV 内温度(K)	1,077	1,423
P _{cv'}	(燃焼後) CV 内圧力(MPa[gage])	0.443	0.376
P _{cv' - Pcv}	圧縮上昇幅(MPa[gage])	0.355	0.362

*1 燃焼後の定容比熱を使用。

*2 発熱量には燃焼時に発生する水蒸気の凝縮潜熱を含めた高発熱量と凝縮潜熱を含めない低発熱量がある。

本評価では、AICC の仮定により、水素燃焼時の発熱量は水蒸気が凝縮しないとして水素低発熱量を使用。

泊発電所3号炉 有効性評価 比較表

7.2.4. 水素燃焼 (添付資料 7.2.4.9 AICC 評価について)

赤字: 設備、運用又は体制の相違 (設計方針の相違)
 青字: 記載箇所又は記載内容の相違 (記載方針の相違)
 緑字: 記載表現、設備名称の相違 (実質的な相違なし)

大飯発電所3／4号炉	泊発電所3号炉	相違理由																																																												
<p>(参考2) 燃焼後の温度算出式において燃焼後の定容比熱を使用している理由について</p> <p>燃焼前後のエネルギー保存式から求めた以下の燃焼後の温度の算出式において、分子は燃焼前の混合気体全体の内部エネルギーと燃焼エネルギーの和であり、分母は燃焼後の混合気体全体の熱容量を表している。</p> $T_{cv} = \frac{\sum_{i=N,O,H,S} m_i C_{v,i} + m_H Q_H}{\sum_{i=N,O,S} m_i C_{v,i}}$ <p>今回の評価においては、内部エネルギーを最大化して保守的な評価を行えるように、分子に燃焼後の大きな比熱を与えることで、燃焼前の比熱を使用した場合に比べ表2-1及び表2-2に比べ燃焼後の温度は保守的な値となっている。上記の計算に使用した格納容器気体の燃焼前後の質量・比熱・熱容量については表2-3に示すとおりである。</p> <p>また、圧力については以上のように保守的に求めた燃焼後の温度を用いて、以下の式より燃焼後の圧力を用いている。表2-4に計算結果を示す。</p> $P_{cv} = P_{cv} \frac{n' T_{cv}}{n T_{cv}} = P_{cv} \frac{\sum_{i=N,O,S} m_i}{\sum_{i=N,O,H,S} M_i}$ <p>上記の式より、圧力に対しても保守的に求められた燃焼後の温度を使用することで、保守的な燃焼後の圧力を得ることができる。</p> <p>表2-1 比熱条件と燃焼後の温度、圧力 ケース1 (ウェット)</p> <table border="1"> <thead> <tr> <th>比熱(分子)</th><th>比熱(分母)</th><th>温度(K)</th><th>圧力(MPa[gage])</th><th>備考</th></tr> </thead> <tbody> <tr> <td>燃焼後</td><td>燃焼後</td><td>1,072</td><td>0.50</td><td>今回の評価</td></tr> <tr> <td>燃焼前</td><td>燃焼後</td><td>1,005</td><td>0.46</td><td></td></tr> </tbody> </table> <p>表2-2 比熱条件と燃焼後の温度、圧力 ケース3 (ドライ)</p> <table border="1"> <thead> <tr> <th>比熱(分子)</th><th>比熱(分母)</th><th>温度(K)</th><th>圧力(MPa[gage])</th><th>備考</th></tr> </thead> <tbody> <tr> <td>燃焼後</td><td>燃焼後</td><td>1,505</td><td>0.41</td><td>今回の評価</td></tr> <tr> <td>燃焼前</td><td>燃焼後</td><td>1,437</td><td>0.38</td><td></td></tr> </tbody> </table>	比熱(分子)	比熱(分母)	温度(K)	圧力(MPa[gage])	備考	燃焼後	燃焼後	1,072	0.50	今回の評価	燃焼前	燃焼後	1,005	0.46		比熱(分子)	比熱(分母)	温度(K)	圧力(MPa[gage])	備考	燃焼後	燃焼後	1,505	0.41	今回の評価	燃焼前	燃焼後	1,437	0.38		<p>(参考2)</p> <p>燃焼後の温度算出式において燃焼後の定容比熱を使用している理由について</p> <p>燃焼前後のエネルギー保存式から求めた以下の燃焼後の温度の算出式において、分子は燃焼前の混合気体全体の内部エネルギーと燃焼エネルギーの和であり、分母は燃焼後の混合気体全体の熱容量を表している。</p> $T_{cv} = \frac{\sum_{i=N,O,H,S} m_i C_{v,i} + m_H Q_H}{\sum_{i=N,O,S} m_i C_{v,i}}$ <p>今回の評価においては、内部エネルギーを最大化して保守的な評価を行えるように、分子に燃焼後の大きな比熱を与えることで、燃焼前の比熱を使用した場合に比べ表4及び表5に示すとおり燃焼後の温度は保守的な値となっている。上記の計算に使用した原子炉格納容器気体の燃焼前後の質量・比熱・熱容量については表6及び表7に示すとおりである。</p> <p>また、圧力については以上のように保守的に求めた燃焼後の温度を用いて、以下の式より燃焼後の圧力を用いている。表8に計算結果を示す。</p> $P_{cv} = P_{cv} \frac{n' T_{cv}}{n T_{cv}} = P_{cv} \frac{\sum_{i=N,O,S} m_i}{\sum_{i=N,O,H,S} M_i}$ <p>上記の式より、圧力に対しても保守的に求められた燃焼後の温度を使用することで、保守的な燃焼後の圧力を得ることができる。</p> <p>表4 比熱条件と燃焼後の温度、圧力 ケース1 (ウェット)</p> <table border="1"> <thead> <tr> <th>比熱(分子)</th><th>比熱(分母)</th><th>温度(K)</th><th>圧力(MPa[gage])</th><th>備考</th></tr> </thead> <tbody> <tr> <td>燃焼後</td><td>燃焼後</td><td>1077</td><td>0.443</td><td>今回の評価</td></tr> <tr> <td>燃焼前</td><td>燃焼後</td><td>1012</td><td>0.411</td><td></td></tr> </tbody> </table> <p>表5 比熱条件と燃焼後の温度、圧力 ケース3 (ドライ)</p> <table border="1"> <thead> <tr> <th>比熱(分子)</th><th>比熱(分母)</th><th>温度(K)</th><th>圧力(MPa[gage])</th><th>備考</th></tr> </thead> <tbody> <tr> <td>燃焼後</td><td>燃焼後</td><td>1423</td><td>0.376</td><td>今回の評価</td></tr> <tr> <td>燃焼前</td><td>燃焼後</td><td>1358</td><td>0.354</td><td></td></tr> </tbody> </table>	比熱(分子)	比熱(分母)	温度(K)	圧力(MPa[gage])	備考	燃焼後	燃焼後	1077	0.443	今回の評価	燃焼前	燃焼後	1012	0.411		比熱(分子)	比熱(分母)	温度(K)	圧力(MPa[gage])	備考	燃焼後	燃焼後	1423	0.376	今回の評価	燃焼前	燃焼後	1358	0.354		
比熱(分子)	比熱(分母)	温度(K)	圧力(MPa[gage])	備考																																																										
燃焼後	燃焼後	1,072	0.50	今回の評価																																																										
燃焼前	燃焼後	1,005	0.46																																																											
比熱(分子)	比熱(分母)	温度(K)	圧力(MPa[gage])	備考																																																										
燃焼後	燃焼後	1,505	0.41	今回の評価																																																										
燃焼前	燃焼後	1,437	0.38																																																											
比熱(分子)	比熱(分母)	温度(K)	圧力(MPa[gage])	備考																																																										
燃焼後	燃焼後	1077	0.443	今回の評価																																																										
燃焼前	燃焼後	1012	0.411																																																											
比熱(分子)	比熱(分母)	温度(K)	圧力(MPa[gage])	備考																																																										
燃焼後	燃焼後	1423	0.376	今回の評価																																																										
燃焼前	燃焼後	1358	0.354																																																											

泊発電所 3号炉 有効性評価 比較表

7.2.4. 水素燃焼 (添付資料 7.2.4.9 AICC 評価について)

赤字: 設備、運用又は体制の相違 (設計方針の相違)
青字: 記載箇所又は記載内容の相違 (記載方針の相違)
緑字: 記載表現、設備名称の相違 (実質的な相違なし)

大飯発電所3／4号炉						泊発電所3号炉						相違理由																																																																																								
表2-3 燃焼前後の質量、定容比熱及び熱容量 ケース1(ウェット)																																																																																																				
<table border="1"> <thead> <tr> <th colspan="2"></th> <th>窒素</th> <th>酸素</th> <th>水素</th> <th>水蒸気</th> <th>合計</th> <th colspan="2"></th> <th colspan="2"></th> <th colspan="2"></th> </tr> </thead> <tbody> <tr> <td rowspan="3">ケース1 (ウェット)</td> <td rowspan="3">燃焼前</td> <td>質量(kg)</td> <td>6.03E+04</td> <td>1.94E+04</td> <td>8.22E+02</td> <td>3.47E+04</td> <td>1.15E+05</td> <td colspan="2"></td> <td colspan="2"></td> <td colspan="2"></td> </tr> <tr> <td>比熱(J/kgK)</td> <td>7.45E+02</td> <td>6.78E+02</td> <td>1.03E+04</td> <td>1.43E+03</td> <td>1.01E+03</td> <td colspan="2"></td> <td colspan="2"></td> <td colspan="2"></td> </tr> <tr> <td>熱容量(J/K)</td> <td>4.49E+07</td> <td>1.32E+07</td> <td>8.48E+06</td> <td>4.96E+07</td> <td>1.16E+08</td> <td colspan="2"></td> <td colspan="2"></td> <td colspan="2"></td> </tr> <tr> <td rowspan="3">ケース3 (ドライ)</td> <td rowspan="3">燃焼後</td> <td>質量(kg)</td> <td>6.03E+04</td> <td>1.29E+04</td> <td>0.00E+00</td> <td>4.21E+04</td> <td>1.15E+05</td> <td colspan="2"></td> <td colspan="2"></td> <td colspan="2"></td> </tr> <tr> <td>比熱(J/kgK)</td> <td>8.76E+02</td> <td>8.33E+02</td> <td>1.09E+04</td> <td>1.85E+03</td> <td>1.23E+03</td> <td colspan="2"></td> <td colspan="2"></td> <td colspan="2"></td> </tr> <tr> <td>熱容量(J/K)</td> <td>5.28E+07</td> <td>1.07E+07</td> <td>0.00E+00</td> <td>7.78E+07</td> <td>1.41E+08</td> <td colspan="2"></td> <td colspan="2"></td> <td colspan="2"></td> </tr> </tbody> </table>														窒素	酸素	水素	水蒸気	合計							ケース1 (ウェット)	燃焼前	質量(kg)	6.03E+04	1.94E+04	8.22E+02	3.47E+04	1.15E+05							比熱(J/kgK)	7.45E+02	6.78E+02	1.03E+04	1.43E+03	1.01E+03							熱容量(J/K)	4.49E+07	1.32E+07	8.48E+06	4.96E+07	1.16E+08							ケース3 (ドライ)	燃焼後	質量(kg)	6.03E+04	1.29E+04	0.00E+00	4.21E+04	1.15E+05							比熱(J/kgK)	8.76E+02	8.33E+02	1.09E+04	1.85E+03	1.23E+03							熱容量(J/K)	5.28E+07	1.07E+07	0.00E+00	7.78E+07	1.41E+08						
		窒素	酸素	水素	水蒸気	合計																																																																																														
ケース1 (ウェット)	燃焼前	質量(kg)	6.03E+04	1.94E+04	8.22E+02	3.47E+04	1.15E+05																																																																																													
		比熱(J/kgK)	7.45E+02	6.78E+02	1.03E+04	1.43E+03	1.01E+03																																																																																													
		熱容量(J/K)	4.49E+07	1.32E+07	8.48E+06	4.96E+07	1.16E+08																																																																																													
ケース3 (ドライ)	燃焼後	質量(kg)	6.03E+04	1.29E+04	0.00E+00	4.21E+04	1.15E+05																																																																																													
		比熱(J/kgK)	8.76E+02	8.33E+02	1.09E+04	1.85E+03	1.23E+03																																																																																													
		熱容量(J/K)	5.28E+07	1.07E+07	0.00E+00	7.78E+07	1.41E+08																																																																																													
<p>注: 水素が半分燃焼した状態を中間としている。比熱の合計は加重平均を記載。</p>																																																																																																				
表6 燃焼前後の質量、定容比熱及び熱容量 ケース1(ウェット)																																																																																																				
<table border="1"> <thead> <tr> <th colspan="2"></th> <th>窒素</th> <th>酸素</th> <th>水素</th> <th>水蒸気</th> <th>合計</th> <th colspan="2"></th> <th colspan="2"></th> <th colspan="2"></th> </tr> </thead> <tbody> <tr> <td rowspan="3">燃焼前</td> <td>質量(kg)</td> <td>5.41E+04</td> <td>1.48E+04</td> <td>3.55E+02</td> <td>2.72E+04</td> <td>8.72E+04</td> <td colspan="2"></td> <td colspan="2"></td> <td colspan="2"></td> </tr> <tr> <td>比熱(J/kgK)</td> <td>8.04E+02</td> <td>7.77E+02</td> <td>0.00E+00</td> <td>1.64E+03</td> <td>1.07E+03</td> <td colspan="2"></td> <td colspan="2"></td> <td colspan="2"></td> </tr> <tr> <td>熱容量(J/K)</td> <td>4.37E+07</td> <td>1.15E+07</td> <td>0.00E+00</td> <td>3.51E+07</td> <td>8.43E+07</td> <td colspan="2"></td> <td colspan="2"></td> <td colspan="2"></td> </tr> <tr> <td rowspan="3">燃焼後</td> <td>質量(kg)</td> <td>5.41E+04</td> <td>1.24E+04</td> <td>0.00E+00</td> <td>3.08E+04</td> <td>8.25E+04</td> <td colspan="2"></td> <td colspan="2"></td> <td colspan="2"></td> </tr> <tr> <td>比熱(J/kgK)</td> <td>8.71E+02</td> <td>8.38E+02</td> <td>1.09E+04</td> <td>1.80E+03</td> <td>1.07E+03</td> <td colspan="2"></td> <td colspan="2"></td> <td colspan="2"></td> </tr> <tr> <td>熱容量(J/K)</td> <td>4.74E+07</td> <td>1.08E+07</td> <td>0.00E+00</td> <td>3.79E+07</td> <td>1.13E+08</td> <td colspan="2"></td> <td colspan="2"></td> <td colspan="2"></td> </tr> </tbody> </table>														窒素	酸素	水素	水蒸気	合計							燃焼前	質量(kg)	5.41E+04	1.48E+04	3.55E+02	2.72E+04	8.72E+04							比熱(J/kgK)	8.04E+02	7.77E+02	0.00E+00	1.64E+03	1.07E+03							熱容量(J/K)	4.37E+07	1.15E+07	0.00E+00	3.51E+07	8.43E+07							燃焼後	質量(kg)	5.41E+04	1.24E+04	0.00E+00	3.08E+04	8.25E+04							比熱(J/kgK)	8.71E+02	8.38E+02	1.09E+04	1.80E+03	1.07E+03							熱容量(J/K)	4.74E+07	1.08E+07	0.00E+00	3.79E+07	1.13E+08								
		窒素	酸素	水素	水蒸気	合計																																																																																														
燃焼前	質量(kg)	5.41E+04	1.48E+04	3.55E+02	2.72E+04	8.72E+04																																																																																														
	比熱(J/kgK)	8.04E+02	7.77E+02	0.00E+00	1.64E+03	1.07E+03																																																																																														
	熱容量(J/K)	4.37E+07	1.15E+07	0.00E+00	3.51E+07	8.43E+07																																																																																														
燃焼後	質量(kg)	5.41E+04	1.24E+04	0.00E+00	3.08E+04	8.25E+04																																																																																														
	比熱(J/kgK)	8.71E+02	8.38E+02	1.09E+04	1.80E+03	1.07E+03																																																																																														
	熱容量(J/K)	4.74E+07	1.08E+07	0.00E+00	3.79E+07	1.13E+08																																																																																														
<p>注: 水素が半分燃焼した状態を中間としている。比熱の合計は加重平均を記載。</p>																																																																																																				
表7 燃焼前後の質量、定容比熱及び熱容量 ケース3(ドライ)																																																																																																				
<table border="1"> <thead> <tr> <th colspan="2"></th> <th>窒素</th> <th>酸素</th> <th>水素</th> <th>水蒸気</th> <th>合計</th> <th colspan="2"></th> <th colspan="2"></th> <th colspan="2"></th> </tr> </thead> <tbody> <tr> <td rowspan="3">燃焼前</td> <td>質量(kg)</td> <td>5.34E+04</td> <td>1.17E+04</td> <td>6.79E+02</td> <td>6.19E+04</td> <td>1.19E+05</td> <td colspan="2"></td> <td colspan="2"></td> <td colspan="2"></td> </tr> <tr> <td>比熱(J/kgK)</td> <td>8.55E+02</td> <td>8.12E+02</td> <td>0.00E+00</td> <td>1.67E+03</td> <td>1.14E+03</td> <td colspan="2"></td> <td colspan="2"></td> <td colspan="2"></td> </tr> <tr> <td>熱容量(J/K)</td> <td>4.63E+07</td> <td>1.21E+07</td> <td>0.00E+00</td> <td>3.50E+07</td> <td>1.03E+08</td> <td colspan="2"></td> <td colspan="2"></td> <td colspan="2"></td> </tr> <tr> <td rowspan="3">燃焼後</td> <td>質量(kg)</td> <td>5.41E+04</td> <td>1.08E+04</td> <td>3.32E+02</td> <td>2.39E+03</td> <td>7.23E+04</td> <td colspan="2"></td> <td colspan="2"></td> <td colspan="2"></td> </tr> <tr> <td>比熱(J/kgK)</td> <td>8.55E+02</td> <td>8.12E+02</td> <td>1.07E+04</td> <td>1.67E+03</td> <td>1.14E+03</td> <td colspan="2"></td> <td colspan="2"></td> <td colspan="2"></td> </tr> <tr> <td>熱容量(J/K)</td> <td>4.63E+07</td> <td>1.21E+07</td> <td>0.00E+00</td> <td>3.50E+07</td> <td>1.03E+08</td> <td colspan="2"></td> <td colspan="2"></td> <td colspan="2"></td> </tr> </tbody> </table>														窒素	酸素	水素	水蒸気	合計							燃焼前	質量(kg)	5.34E+04	1.17E+04	6.79E+02	6.19E+04	1.19E+05							比熱(J/kgK)	8.55E+02	8.12E+02	0.00E+00	1.67E+03	1.14E+03							熱容量(J/K)	4.63E+07	1.21E+07	0.00E+00	3.50E+07	1.03E+08							燃焼後	質量(kg)	5.41E+04	1.08E+04	3.32E+02	2.39E+03	7.23E+04							比熱(J/kgK)	8.55E+02	8.12E+02	1.07E+04	1.67E+03	1.14E+03							熱容量(J/K)	4.63E+07	1.21E+07	0.00E+00	3.50E+07	1.03E+08								
		窒素	酸素	水素	水蒸気	合計																																																																																														
燃焼前	質量(kg)	5.34E+04	1.17E+04	6.79E+02	6.19E+04	1.19E+05																																																																																														
	比熱(J/kgK)	8.55E+02	8.12E+02	0.00E+00	1.67E+03	1.14E+03																																																																																														
	熱容量(J/K)	4.63E+07	1.21E+07	0.00E+00	3.50E+07	1.03E+08																																																																																														
燃焼後	質量(kg)	5.41E+04	1.08E+04	3.32E+02	2.39E+03	7.23E+04																																																																																														
	比熱(J/kgK)	8.55E+02	8.12E+02	1.07E+04	1.67E+03	1.14E+03																																																																																														
	熱容量(J/K)	4.63E+07	1.21E+07	0.00E+00	3.50E+07	1.03E+08																																																																																														
<p>注: 水素が半分燃焼した状態を中間としている。比熱の合計は加重平均を記載。</p>																																																																																																				

泊発電所3号炉 有効性評価 比較表

7.2.4. 水素燃焼 (添付資料 7.2.4.9 AICC 評価について)

赤字: 設備、運用又は体制の相違 (設計方針の相違)
青字: 記載箇所又は記載内容の相違 (記載方針の相違)
緑字: 記載表現、設備名称の相違 (実質的な相違なし)

大飯発電所3／4号炉								泊発電所3号炉						相違理由						
表2-4 AICC評価の計算結果																				
(M) kg																				
(n/M) mol																				
(P) MPa																				
(T) K																				
(Pv/Pv') MPa																				
(Tcv/Tcv') K																				
(n/n') × 100%																				
(Pv/Pv') × 100%																				
(Tcv/Tcv') × 100%																				
(Pv/Pv') × 100%																				
(Tcv/Tcv') × 100%																				
(Pv/Pv') × 100%																				
(Tcv/Tcv') × 100%																				
(Pv/Pv') × 100%																				
(Tcv/Tcv') × 100%																				
(Pv/Pv') × 100%																				
(Tcv/Tcv') × 100%																				
(Pv/Pv') × 100%																				
(Tcv/Tcv') × 100%																				
(Pv/Pv') × 100%																				
(Tcv/Tcv') × 100%																				
(Pv/Pv') × 100%																				
(Tcv/Tcv') × 100%																				
(Pv/Pv') × 100%																				
(Tcv/Tcv') × 100%																				
(Pv/Pv') × 100%																				
(Tcv/Tcv') × 100%																				
(Pv/Pv') × 100%																				
(Tcv/Tcv') × 100%																				
(Pv/Pv') × 100%																				
(Tcv/Tcv') × 100%																				
(Pv/Pv') × 100%																				
(Tcv/Tcv') × 100%																				
(Pv/Pv') × 100%																				
(Tcv/Tcv') × 100%																				
(Pv/Pv') × 100%																				
(Tcv/Tcv') × 100%																				
(Pv/Pv') × 100%																				
(Tcv/Tcv') × 100%																				
(Pv/Pv') × 100%																				
(Tcv/Tcv') × 100%																				
(Pv/Pv') × 100%																				
(Tcv/Tcv') × 100%																				
(Pv/Pv') × 100%																				
(Tcv/Tcv') × 100%																				
(Pv/Pv') × 100%																				
(Tcv/Tcv') × 100%																				
(Pv/Pv') × 100%																				
(Tcv/Tcv') × 100%																				
(Pv/Pv') × 100%																				
(Tcv/Tcv') × 100%																				
(Pv/Pv') × 100%																				
(Tcv/Tcv') × 100%																				
(Pv/Pv') × 100%																				
(Tcv/Tcv') × 100%																				
(Pv/Pv') × 100%																				
(Tcv/Tcv') × 100%																				
(Pv/Pv') × 100%																				
(Tcv/Tcv') × 100%																				
(Pv/Pv') × 100%																				
(Tcv/Tcv') × 100%																				
(Pv/Pv') × 100%																				
(Tcv/Tcv') × 100%																				
(Pv/Pv') × 100%																				
(Tcv/Tcv') × 100%																				
(Pv/Pv') × 100%																				
(Tcv/Tcv') × 100%																				
(Pv/Pv') × 100%																				
(Tcv/Tcv') × 100%																				
(Pv/Pv') × 100%																				

泊発電所 3 号炉 有効性評価 比較表

7.2.4. 水素燃焼 (添付資料 7.2.4.10 安定状態について)

赤字：設備、運用又は体制の相違（設計方針の相違）
 青字：記載箇所又は記載内容の相違（記載方針の相違）
 緑字：記載表現、設備名称の相違（実質的な相違なし）

大飯発電所 3 / 4 号炉	女川原子力発電所 2 号炉	泊発電所 3 号炉	相違理由
<p>添付資料 3.4.11</p> <p>安定状態について</p> <p>水素燃焼（大破断 LOCA + ECCS 注入失敗）時の安定状態については以下のとおり。</p> <div style="border: 1px solid black; padding: 5px;"> <p>原子炉格納容器安定状態：原子炉格納容器圧力及び温度が安定期又は低下傾向</p> <p><u>原子炉格納容器安定状態の確立について</u></p> <p>【格納容器スプレイ再循環運転が可能な場合】</p> <p>第 3.4.13 図及び第 3.4.14 図の解析結果より、格納容器スプレイ再循環運転を開始することで、事象発生の約 2 時間後においても原子炉格納容器圧力及び温度が低下傾向を示し、事象発生の約 2 時間後を原子炉格納容器の安定状態とした。</p> <p>【格納容器スプレイ再循環運転が不可能な場合】</p> <p>事象発生から格納容器内自然対流冷却を開始するまでの時間（約 1.4 時間）に、格納容器再循環ユニットによる格納容器内自然対流冷却を開始後、原子炉格納容器圧力及び温度が低下に転じる時間（約 2 時間^{*)}）を足した。事象発生の約 3.4 時間後を原子炉格納容器の安定状態とした。</p> <p><u>格納容器スプレイ再循環又は格納容器内自然対流冷却による長期安定状態の維持について</u></p> <p>格納容器スプレイ再循環運転又は格納容器再循環ユニットによる格納容器内自然対流冷却により、原子炉格納容器内の冷却又は除熱を継続して行うことが可能であることから、原子炉格納容器の安定状態を長期にわたり維持可能である。</p> <p>*重要事故シーケンス「大破断 LOCA + ECCS 注入失敗 + 格納容器スプレイ注入失敗」を参考として、第 3.1.1.9 図及び第 3.1.1.10 図の原子炉格納容器圧力及び温度解析結果より、格納容器再循環ユニットによる格納容器内自然対流冷却開始から原子炉格納容器圧力及び温度が安定し低下に転じる時間。</p> </div>	<p>添付資料 3.4.3</p> <p>安定状態について</p> <p>格納容器破損モード「水素燃焼」時の安定状態については、以下のとおり。</p> <div style="border: 1px solid black; padding: 5px;"> <p>格納容器安定状態：本評価では、事象発生から 24 時間で原子炉補機代替冷却系を接続し、代替循環冷却系による格納容器除熱を実施する。これにより、7 日後まで格納容器ベントを実施しない状態で格納容器の機能を維持可能な事象進展となっている。</p> <p><u>【安定状態の維持について】</u></p> <p>本評価における格納容器ベントを実施しない状態を 7 日以降も維持する場合、事象発生から 100 日後時点における酸素濃度はドライ条件を仮定した場合であってもドライウェルで約 2.7vol%，サプレッションチャンバで約 2.0vol%であり、5vol%に到達していないことから、可燃限界に到達するのは事象発生から 100 日以降である。</p> <p>このため、事象発生から 7 日間が経過した以降も水素濃度及び酸素濃度を監視するとともに、状況に応じて酸素濃度の低減（可燃性ガス濃度制御系の運転等）を行い、格納容器内が可燃限界の濃度に到達することを防止する。また、重大事故等対処設備以外の設備の機能の復旧等も考慮し、格納容器圧力及び温度の低下操作や格納容器内の窒素置换を試みる。これらの対応が困難であり、格納容器内の水素及び酸素濃度が可燃限界に到達する場合については、格納容器ベントにより、その水素及び酸素濃度を低減することにより安定状態を維持できる。</p> </div>	<p>添付資料 7.2.4.10</p> <p>安定状態について</p> <p>水素燃焼（大破断 LOCA 時に低圧注入機能及び高圧注入機能が喪失する事故）時の安定状態については以下のとおり。</p> <div style="border: 1px solid black; padding: 5px;"> <p>原子炉格納容器安定状態：損傷炉心を冠水させた後に、重大事故等対処設備を用いた原子炉格納容器除熱機能により、原子炉格納容器圧力及び温度が安定期又は低下傾向に転じ、また、除熱のための設備がその後も機能維持できると判断され、かつ、必要な要員の不足や資源の枯渇等のあらかじめ想定される事象悪化のおそれがない場合、安定状態が確立されたものとする。</p> <p><u>【安定状態の確立について】</u></p> <p>原子炉格納容器安定状態の確立について</p> <p>【格納容器スプレイ再循環運転が可能の場合】</p> <p>第 7.2.4.13 図及び第 7.2.4.14 図の解析結果より、格納容器スプレイ再循環運転を開始することで原子炉格納容器の圧力及び温度が低下に転じる、事象発生の約 3 時間後を原子炉格納容器の安定状態とした。</p> <p>【格納容器スプレイ再循環運転が不可能な場合】</p> <p>事象発生から格納容器内自然対流冷却を開始するまでの時間（約 2 時間）に、格納容器再循環ユニットによる格納容器内自然対流冷却を開始後、原子炉格納容器圧力及び温度が低下に転じるまでの時間（約 25 時間^{*)}）を足した事象発生の約 27 時間後を原子炉格納容器の安定状態とした。</p> <p>*評価事故シーケンス「大破断 LOCA 時に低圧注入機能、高圧注入機能及び格納容器スプレイ注入機能が喪失する事故」を参考として、第 7.2.4.1.9 図及び第 7.2.4.1.10 図の原子炉格納容器圧力及び温度の解析結果より、格納容器再循環ユニットによる格納容器内自然対流冷却開始から原子炉格納容器圧力及び温度が安定し、低下に転じる時間。</p> <p>また、重大事故等対策時に必要な要員は確保可能であり、必要な水源、燃料及び電源を供給可能である。</p> <p><u>【安定状態の維持について】</u></p> <p>上記の格納容器破損防止対策により安定状態を維持できる。</p> </div>	

泊発電所3号炉 有効性評価 比較表

7.2.4. 水素燃焼 (添付資料 7.2.4.11 溶融炉心・コンクリート相互作用による水素の発生を考慮した場合の原子炉格納容器内水素濃度について)

赤字	設備、運用又は体制の相違 (設計方針の相違)
青字	記載箇所又は記載内容の相違 (記載方針の相違)
緑字	記載表現、設備名称の相違 (実質的な相違なし)

大飯発電所3／4号炉	泊発電所3号炉	相違理由
<p>添付資料 3.4.12</p> <p>溶融炉心・コンクリート相互作用による水素の発生を考慮した場合の 原子炉格納容器内水素濃度について</p> <p>1. はじめに</p> <p>溶融炉心・コンクリート相互作用 (以下、「MCCI」という。) によるコンクリート侵食及びそれに伴う水素の追加発生を考慮した場合、原子炉格納容器内の水素濃度が上昇し、有効性評価で示す評価結果を上回る可能性があると考えられる。</p> <p>したがって、以下のとおり MCCI の現象の不確かさを考察した上で、原子炉下部キャビティ床面での溶融炉心の拡がり面積を小さく設定した極端な解析条件における感度解析を実施し、有効性評価結果への影響を確認した。</p> <p>その結果、ドライ条件に換算した水素濃度は、有効性評価において約 12.8vol%であるのに対して、MCCI による追加水素を考慮した場合においても、静的触媒式水素再結合装置及び原子炉格納容器水素燃焼装置により水素濃度を抑制することができ、評価項目となるパラメータに与える影響は小さいことを確認した。</p> <p>2. MCCI の現象の不確かさについて</p> <p>コンクリート侵食に至る過程は、</p> <ul style="list-style-type: none"> ① 溶融炉心の原子炉下部キャビティへの堆積過程 ② 溶融炉心の冷却過程 ③ コンクリートの侵食過程 <p>のように段階的に進展する。それぞれの現象の不確かさによる影響と、解析上の取り扱いは、以下のとおりである。</p> <p>① 溶融炉心の原子炉下部キャビティへの堆積過程</p> <p>溶融炉心の拡がり面積により、水・コンクリートへの伝熱面積に影響が生じる。 解析上の溶融炉心の拡がり面積は、PULiMS 実験により得られた知見に基づいて設定している。 実機条件においては、溶融炉心の落下過程において細粒化する溶融炉心の量はわずかであるため、相当量の溶融炉心が固化されないまま原子炉下部キャビティ床に堆積する。このため、PULiMS 実験による知見から、実機条件においては溶融炉心の拡がり面積は大きくなると考えられるが、MCCI の観点で厳しくなるように拡がり面積を極端に小さく設定した場合の感度解析を3項において実施する。</p> <p>② 溶融炉心の冷却過程</p> <p>水-溶融炉心間の冷却により、コンクリートへの伝热量に影響が生じる。 実現象としては、クラスト表面に亀裂が生じることによるクラストへの浸水及びクラストの表</p>	<p>添付資料 7.2.4.11</p> <p>溶融炉心・コンクリート相互作用による水素の発生を考慮した場合の 原子炉格納容器内水素濃度について</p> <p>1. はじめに</p> <p>溶融炉心・コンクリート相互作用 (以下、「MCCI」という。) によるコンクリート侵食及びそれに伴う水素の追加発生を考慮した場合、原子炉格納容器内の水素濃度が上昇し、有効性評価で示す評価結果を上回る可能性があると考えられる。</p> <p>したがって、以下のとおり MCCI の現象の不確かさを考察した上で、原子炉下部キャビティ床面での溶融炉心の拡がり面積を小さく設定した極端な解析条件における感度解析を実施し、有効性評価結果への影響を確認した。</p> <p>その結果、ドライ条件に換算した水素濃度は、有効性評価において約 11.7vol%以下であるのに対して、MCCI による追加水素を考慮した場合において約 12.5vol%以下となり、評価項目となるパラメータに与える影響は小さいことを確認した。</p> <p>2. MCCI の現象の不確かさについて</p> <p>コンクリート侵食に至る過程は、</p> <ul style="list-style-type: none"> ① 溶融炉心の原子炉下部キャビティへの堆積過程 ② 溶融炉心の冷却過程 ③ コンクリートの侵食過程 <p>のように段階的に進展する。それぞれの現象の不確かさによる影響と、解析上の取り扱いは、以下のとおりである。</p> <p>① 溶融炉心の原子炉下部キャビティへの堆積過程</p> <p>溶融炉心の拡がり面積により、水・コンクリートへの伝熱面積に影響が生じる。 解析上の溶融炉心の拡がり面積は、PULiMS 実験により得られた知見に基づいて設定している。 実機条件においては、溶融炉心の落下過程において細粒化する溶融炉心の量はわずかであるため、相当量の溶融炉心が固化されないまま原子炉下部キャビティ床に堆積する。このため、PULiMS 実験による知見から、実機条件においては溶融炉心の拡がり面積は大きくなると考えられるが、MCCI の観点で厳しくなるように拡がり面積を極端に小さく設定した場合の感度解析を3項において実施する。</p> <p>② 溶融炉心の冷却過程</p> <p>水-溶融炉心間の冷却により、コンクリートへの伝热量に影響が生じる。 実現象としては、クラスト表面に亀裂</p>	<p>赤字 : 設備、運用又は体制の相違 (設計方針の相違) 青字 : 記載箇所又は記載内容の相違 (記載方針の相違) 緑字 : 記載表現、設備名称の相違 (実質的な相違なし)</p> <p>解析結果の相違 ・MCCIによる追加水素の評価に置いて、大飯はイグナイトに期待しているのに対して泊はイグナイタに期待せずとも PAR のみで 13vol%以下となる (伊方と同様)</p>

泊発電所 3号炉 有効性評価 比較表

7.2.4. 水素燃焼 (添付資料 7.2.4.11 溶融炉心・コンクリート相互作用による水素の発生を考慮した場合の原子炉格納容器内水素濃度について)

赤字	設備、運用又は体制の相違 (設計方針の相違)
青字	記載箇所又は記載内容の相違 (記載方針の相違)
緑字	記載表現、設備名称の相違 (実質的な相違なし)

大飯発電所 3 / 4 号炉	泊発電所 3号炉	相違理由
<p>面形状の凹凸による伝熱面積の増加により、溶融炉心の冷却は促進されるが、解析上は、これらの現象を取り扱っていない保守的なモデルとなっており、発熱体を平板状と模擬し、Kutateladze の相関式によって伝热量を評価したモデルとなっている。</p> <p>3項において、水一溶融炉心間の熱流束の影響を考慮した条件も組み合わせて感度解析を実施する。</p> <p>③ コンクリートの侵食過程</p> <p>溶融炉心とコンクリートの伝熱については、実現象としては、溶融炉心の表面形状により発熱体とコンクリートの接触面積の不確かさが存在するが、解析上は、平板状の発熱体がコンクリートと密着した保守的なモデルになっている。</p> <p>また、溶融炉心からの伝熱によるコンクリート侵食量については、コンクリートの組成、融点等の物性値が把握されていることから、評価上の不確かさは存在しない。さらに、コンクリート溶融により発生する水蒸気等のガスの全量が、溶融炉心に侵入するように保守的なモデルとなっており、溶融炉心内におけるガスと金属との化学反応による水素発生量を化学平衡計算により評価している。</p> <p>3. 追加水素発生による影響評価</p> <p>格納容器破損モード「水素燃焼」における評価事故シーケンス「大破断 LOCA 時に低圧注入機能及び高圧注入機能が喪失する事故 (AEI)」は、原子炉下部キャビティ水位が高く、かつ、水温が低くキャビティ水の密度が大きいことから、溶融炉心の冷却が促進され、MCCI の観点では厳しくならない。</p> <p>一方、MCCI の観点で厳しい評価事故シーケンスは、「大破断 LOCA 時に低圧注入機能、高圧注入機能及び格納容器スプレイ機能が喪失する事故 (AED)」である。</p> <p>このため、水素濃度をより厳しい条件で評価する観点から、表 1 のとおり、AED において原子炉下部キャビティ床面での溶融炉心の拡がりが小さく、局的に溶融炉心が堆積するような極端な条件で感度解析を実施し、そこで得られた水素発生量を AEI による水素濃度評価に足し合わせることで原子炉格納容器内水素濃度評価を実施した。なお、MAAP コードによる解析で考慮しているコンクリート含有成分及びその比率は、表 2 に示すとおりである。</p> <p>感度解析の結果を図 1、図 2 及び図 3 に示す。約 17cm のコンクリート侵食が生じ、水素が生成されるが、コンクリート侵食の停止に伴い水素の発生が停止している。水素発生量は表 3 のとおり、ジルコニウムに起因するものであり、全炉心内のジルコニウム量の約 6% が反応している。</p> <p>この MCCI による追加水素発生量を加えた場合においても、図 4 に示すとおり、静的触媒式水素再結合装置及び原子炉格納容器水素燃焼装置によりドライ条件に換算した水素濃度は 13vol% を下回ることを確認した。</p> <p style="text-align: right;">以上</p>	<p>が生じることによるクラストへの浸水及びクラストの表面形状の凹凸による伝熱面積の増加により、溶融炉心の冷却は促進されるが、解析上は、これらの現象を取り扱っていない保守的なモデルとなっており、発熱体を平板状と模擬し、Kutateladze の相関式によって伝热量を評価したモデルとなっている。</p> <p>3項において、水一溶融炉心間の熱流束の影響を考慮した条件も組み合わせて感度解析を実施する。</p> <p>③ コンクリートの侵食過程</p> <p>コンクリートの侵食により、追加水素の発生量に影響が生じる。</p> <p>溶融炉心とコンクリートの伝熱については、実現象としては、溶融炉心の表面形状により発熱体とコンクリートの接触面積の不確かさが存在するが、解析上は、平板状の発熱体がコンクリートと密着した保守的なモデルになっている。</p> <p>また、溶融炉心からの伝熱によるコンクリート侵食量については、コンクリートの組成、融点等の物性値が把握されていることから、評価上の不確かさは存在しない。さらに、コンクリート溶融により発生する水蒸気等のガスの全量が、溶融炉心に侵入するように保守的なモデルとなっており、溶融炉心内におけるガスと金属との化学反応による水素発生量を化学平衡計算により評価している。</p> <p>3. 追加水素発生による影響評価</p> <p>格納容器破損モード「水素燃焼」における評価事故シーケンス「大破断 LOCA 時に低圧注入機能及び高圧注入機能が喪失する事故 (AEI)」は、原子炉下部キャビティ水位が高く、かつ、水温が低くキャビティ水の密度が大きいことから、溶融炉心の冷却が促進され、MCCI の観点では厳しくならない。</p> <p>一方、MCCI の観点で厳しい評価事故シーケンスは、「大破断 LOCA 時に低圧注入機能、高圧注入機能及び格納容器スプレイ注入機能が喪失する事故 (AED)」である。</p> <p>このため、水素濃度をより厳しい条件で評価する観点から、表 1 のとおり、AED において原子炉下部キャビティ床面での溶融炉心の拡がりが小さく、局的に溶融炉心が堆積するような極端な条件で感度解析を実施し、そこで得られた水素発生量を AEI による水素濃度評価に足し合わせることで原子炉格納容器内水素濃度評価を実施した。なお、MAAP コードによる解析で考慮しているコンクリート含有成分及びその比率は、表 2 に示すとおりである。</p> <p>感度解析の結果を図 1、図 2 及び図 3 に示す。床面で約 18cm、壁面で約 18cm のコンクリート侵食が生じ、水素が生成されるが、コンクリート侵食の停止に伴い水素の発生が停止している。水素発生量は表 3 のとおり、ジルコニウムに起因するものであり、全炉心内のジルコニウム量の約 6% が反応している。</p> <p>この MCCI による追加水素発生量を加えた場合においても、図 4 に示すとおり、ドライ条件に換算した水素濃度は約 12.5vol% 以下となり、13vol% を下回ることを確認した。</p>	<p>解析結果の相違</p> <p>解析条件の相違 ・相違理由は P1 のとおり</p>

泊発電所3号炉 有効性評価 比較表

7.2.4. 水素燃焼 (添付資料 7.2.4.11 溶融炉心・コンクリート相互作用による水素の発生を考慮した場合の原子炉格納容器内水素濃度について)

赤字 : 設備、運用又は体制の相違 (設計方針の相違)
青字 : 記載箇所又は記載内容の相違 (記載方針の相違)
緑字 : 記載表現、設備名称の相違 (実質的な相違なし)

大飯発電所3／4号炉			泊発電所3号炉	相違理由																		
表1 感度ケースの解析条件																						
以上																						
項目	パラメータ	設定値	設定根拠																			
基本 ケース	格納容器代替 スプレイ作動	炉心溶融後 30 分	運転員操作余裕時間として設定																			
	エントレイン メント係数	■	当該変数推奨範囲の最確値																			
	溶融炉心の 拡がり面積	キャビティ 床面積の 1/1	キャビティ区画床全面とする																			
	Kutateladze 係数	0.1 (0.8 MW/m ² 相当 (注))	水による冷却を伴ったデブリと コンクリートの相互作用に関する 実験に基づく値																			
感度 ケース	格納容器代替 スプレイ作動	炉心溶融後 30 分	運転員操作余裕時間として設定																			
	エントレイン メント係数	■	当該変数推奨範囲の最大値																			
	溶融炉心の 拡がり面積	キャビティ床面積の約 1/10 から 落下量に応じて拡大	落下時に細粒化などにより冷却 が進む																			
	溶融物存在時 Kutateladze 係数	0.1 (0.8 MW/m ² 相当 (注)) 全体固化時 0.0625 (0.5 MW/m ² 相当 (注)) コンクリート 15%混入時 0.015625 (0.125 MW/m ² 相当 (注))	CCI 実験、SSWICS 実験に基 づく熱流束を設定																			
(注) 大気圧条件																						
表2 MAAP コードによる解析で考慮しているコンクリート含有成分及びその比率																						
<table border="1"> <thead> <tr> <th>成分</th><th>比率</th></tr> </thead> <tbody> <tr><td>SiO₂</td><td>0.67</td></tr> <tr><td>CaO</td><td>0.10</td></tr> <tr><td>Al₂O₃</td><td>0.06</td></tr> <tr><td>K₂O</td><td>0.04</td></tr> <tr><td>MgO, MnO, TiO₂</td><td>0.01</td></tr> <tr><td>Fe₂O₃</td><td>0.03</td></tr> <tr><td>H₂O</td><td>0.08</td></tr> <tr><td>CO₂</td><td>0.01</td></tr> </tbody> </table>					成分	比率	SiO ₂	0.67	CaO	0.10	Al ₂ O ₃	0.06	K ₂ O	0.04	MgO, MnO, TiO ₂	0.01	Fe ₂ O ₃	0.03	H ₂ O	0.08	CO ₂	0.01
成分	比率																					
SiO ₂	0.67																					
CaO	0.10																					
Al ₂ O ₃	0.06																					
K ₂ O	0.04																					
MgO, MnO, TiO ₂	0.01																					
Fe ₂ O ₃	0.03																					
H ₂ O	0.08																					
CO ₂	0.01																					
表3 MCCJ による水素発生量の推移																						
MCCI	時刻	RV 破損前	RV 破損後 30 分	RV 破損後後期																		
	1.4 時間	1.9 時間	10 時間																			
	ジルコニアム	0.0kg (0.0%)	49.2kg (4.5%)	66.4kg (6.1%)																		
	ステンレス	0.0kg (0.0%)	0.0kg (0.0%)	0.0kg (0.0%)																		
小計		0.0kg (0.0%)	49.2kg (4.5%)	66.4kg (6.1%)																		
※ () 内は全炉心ジルコニアム量の 100%が反応した場合の水素発生量に対する割合																						
枠囲いの内容は、機密に属しますので公開できません。																						
表1 感度ケースの解析条件																						
項目	パラメータ	設定値	設定根拠																			
基本 ケース	代替格納容器 スプレイ作動	炉心溶融後 30 分	運転員等操作余裕時間とし て設定																			
	エントレイン メント係数	■	当該変数推奨範囲の最確値																			
	溶融炉心の 拡がり面積	原子炉下部キャビティ床面積の 1/1	キャビティ区画床全面とする																			
	Kutateladze 係数	0.1 (0.8 MW/m ² 相当 (注))	水による冷却を伴ったデブ リとコンクリートの相互作用に 関する実験に基づく値																			
感度 ケース	代替格納容器 スプレイ作動	炉心溶融後 30 分	運転員等操作余裕時間とし て設定																			
	エントレイン メント係数	■	当該変数推奨範囲の最大値																			
	溶融炉心の 拡がり面積	原子炉下部キャビティ床面積の 約 1/10 から落下量に応じて拡大	落下時に細粒化などにより冷却 が進む																			
	Kutateladze 係数	溶融物存在時 0.1 (0.8 MW/m ² 相当 (注)) 全体固化時 0.0625 (0.5 MW/m ² 相当 (注)) コンクリート 15%混入時 0.015625 (0.125 MW/m ² 相当 (注))	CCI 実験、SSWICS 実験に基 づく熱流束を設定																			
(注) 大気圧条件																						
表2 MAAP コードによる解析で考慮している コンクリート含有成分及びその比率																						
成分	比率																					
SiO ₂	0.67																					
CaO	0.10																					
Al ₂ O ₃	0.06																					
K ₂ O	0.04																					
MgO, MnO, TiO ₂	0.01																					
Fe ₂ O ₃	0.03																					
H ₂ O	0.08																					
CO ₂	0.01																					
表3 MCCJ による水素発生量の推移																						
時刻		RV 破損前	RV 破損後 30 分	RV 破損後後期																		
MCCI	1.6 時間	2.1 時間	10 時間																			
	ジルコニアム	0.0kg (0.0%)	48.1kg (5.4%)	53.5kg (6.1%)																		
	ステンレス	0.0kg (0.0%)	0.0kg (0.0%)	0.0kg (0.0%)																		
	小計	0.0kg (0.0%)	48.1kg (5.4%)	53.5kg (6.1%)																		
※ () 内は全炉心ジルコニアム量の 100%が反応した場合の水素発生量 (約 882.6kg) に 対する割合																						
枠囲いの内容は機密情報に属しますので公開できません。																						

泊発電所 3号炉 有効性評価 比較表

7.2.4. 水素燃焼 (添付資料 7.2.4.11 溶融炉心・コンクリート相互作用による水素の発生を考慮した場合の原子炉格納容器内水素濃度について)

赤字 : 設備、運用又は体制の相違 (設計方針の相違)
青字 : 記載箇所又は記載内容の相違 (記載方針の相違)
緑字 : 記載表現、設備名称の相違 (実質的な相違なし)

大飯発電所 3 / 4 号炉	泊発電所 3号炉	相違理由

泊発電所 3号炉 有効性評価 比較表

7.2.4. 水素燃焼 (添付資料 7.2.4.11 溶融炉心・コンクリート相互作用による水素の発生を考慮した場合の原子炉格納容器内水素濃度について)

赤字	設備、運用又は体制の相違 (設計方針の相違)
青字	記載箇所又は記載内容の相違 (記載方針の相違)
緑字	記載表現、設備名称の相違 (実質的な相違なし)

大飯発電所3／4号炉	泊発電所3号炉	相違理由
<p>図3 非凝縮性ガスの濃度の推移 (MCCIの観点で厳しくなる感度解析ケース)</p>	<p>図3 非凝縮性ガスの濃度の推移 (MCCIの観点で厳しくなる感度ケース)</p>	<p>解析条件の相違 ・相違理由は PI のとおり</p>
		<p>※保守的に、MCCIによる追加発生分に対する水素処理は考慮していない。</p>

泊発電所3号炉 有効性評価 比較表

7.2.4. 水素燃焼 (添付資料 7.2.4.11 溶融炉心・コンクリート相互作用による水素の発生を考慮した場合の原子炉格納容器内水素濃度について)

赤字：設備、運用又は体制の相違（設計方針の相違）
 青字：記載箇所又は記載内容の相違（記載方針の相違）
 緑字：記載表現、設備名称の相違（実質的な相違なし）

大飯発電所3／4号炉	泊発電所3号炉	相違理由
<p>【参考までに女川のMCCIの感度解析に関する添付資料を掲載】</p> <p>添付資料3.5.3</p> <p>溶融炉心の崩壊熱及び溶融炉心からプール水への熱流束を保守的に考慮する場合 並びに格納容器下部床面での溶融炉心の拡がりを抑制した場合の コンクリート侵食量及び溶融炉心・コンクリート相互作用によって 発生する非凝縮性ガスの影響評価</p> <p>1. 評価の目的</p> <p>今回の申請において示した解析ケース（以下「ベースケース」という。）では、プラント損傷状態をT QUVとしており、溶融炉心から格納容器下部のプール水への熱流束は、その格納容器圧力への依存性を考慮している。これは、より厳しいプラント損傷状態を設定した上で、より現実的に溶融炉心からの除熱量を評価する観点で設定したものである。</p> <p>ベースケースの条件設定に対し、崩壊熱又は溶融炉心からプール水への熱流束についてコンクリート侵食量に対する感度を確認した。崩壊熱についての感度を確認した理由は、プラント損傷状態をLOCAとする場合はT QUVの場合よりも早く原子炉圧力容器が破損に至ることを確認したためである。</p> <p>溶融炉心からプール水への熱流束についての感度を確認した理由は、「付録3 重大事故等対策の有効性評価に係るシビアアクシデント解析コードについて 第5部 MAA P 添付3 溶融炉心とコンクリートの相互作用について」において、解析モデルの不確かさを整理し、感度解析対象として抽出し、その感度を確認したエントレインメント係数、溶融炉心からプール水への熱流束（上面熱流束）及び溶融プールークラスト間の熱伝達係数のうち、溶融炉心からプール水への熱流束がコンクリート侵食量に対して影響の大きいパラメータであることを確認したためである。また、原子炉格納容器下部に落下した溶融炉心について、ベースケースでは床面に一様に拡がる評価モデルとして扱っているが、その挙動には不確かさがあると考えられる。この溶融炉心が均一に拡がらない場合の影響を確認するため、溶融炉心の拡がりが抑制された場合について、評価を実施した。</p> <p>溶融炉心が格納容器下部に落下する場合には、格納容器下部注水により水位が形成されており、溶融炉心の冷却が促進し粘性が増加すること及び格納容器下部とドレンサンプ接続しているドレン配管は約10mの長さがあることから、格納容器下部に落下した溶融炉心がドレンサンプに流入する可能性は低いと考えられる。しかし、ドレンサンプ底面から原子炉格納容器バウンダリまでの距離及びドレンサンプ壁面から外側鋼板までの距離が小さいことから、コンクリートの侵食により原子炉格納容器のバウンダリ機能及び原子炉圧力容器の支持機能が損なわれるおそれがあることを考慮し、仮にドレンサンプへの溶融炉心の流入を考慮する場合の評価を実施した。</p>	<p>泊発電所3号炉</p> <p>別紙</p> <p>溶融炉心からプール水への熱流束を保守的に考慮する場合の コンクリート侵食量及び溶融炉心・コンクリート相互作用によって 発生する非凝縮性ガスの影響評価</p> <p>1.はじめに</p> <p>事前水張された原子炉下部キャビティのプール水中に落下する溶融炉心は、一部が細粒化し、残りは連続相として原子炉下部キャビティ床に堆積する。溶融炉心の細粒化の挙動は水深とジェット径に依存するが、スウェーデン王立工科大学（KTH）の解析研究により得られた凝集モードマップ^[1]に基づくと、実機条件では、ジェット径に比べて水深が浅いため、原子炉下部キャビティ床に到達した時点では、ほぼすべての溶融炉心が連続層として堆積（ケーキ状）する。</p> <p>一方、細粒化及び堆積挙動には不確かさがあることから、連続層表面に粒子状デブリが形成する可能性はある。粒子状デブリは連続層に比べて空隙が大きく、冷却材を浸透しやすいため、冷却の観点で有利と考えられるが、仮に空隙が小さいと、冷却材の浸透性が悪くなる恐れもある。</p> <p>以上を踏まえ、原子炉下部キャビティ床に溶融炉心が落下した時点から、連続層上部に粒子状ベッドが形成した条件にて影響を確認する。</p>	<p>※女川のMCCIの感度解析評価と比較し、追加で影響確認が必要と考える溶融炉心からプール水への熱流束を保守的に考慮する場合の影響評価について泊では追加した</p> <p>※女川の崩壊熱に関しては、泊では解析条件がLOCAであり崩壊熱も保守的に高めの値としていることから感度解析は不要（相違理由①）</p> <p>※女川のエントレインメント係数及び溶融プールークラスト間の熱伝達係数に関しては、泊でも影響が大きくなりことを確認済み</p> <p>※女川の溶融炉心の拡がりが抑制された場合については、泊では本添付資料にて影響を確認済み（相違理由②）</p> <p>※女川のドレン</p>

泊発電所 3号炉 有効性評価 比較表

7.2.4. 水素燃焼 (添付資料 7.2.4.11 溶融炉心・コンクリート相互作用による水素の発生を考慮した場合の原子炉格納容器内水素濃度について)

赤字	設備、運用又は体制の相違 (設計方針の相違)
青字	記載箇所又は記載内容の相違 (記載方針の相違)
緑字	記載表現、設備名称の相違 (実質的な相違なし)

大飯発電所 3 / 4号炉	泊発電所 3号炉	相違理由
<p>2. 評価条件</p> <p>ベースケースの評価条件に対する変更点は以下の通り。この他の評価条件は、ベースケースと同等である。</p> <p>(1) 格納容器下部の評価において溶融炉心の崩壊熱を保守的に考慮する場合</p> <ul style="list-style-type: none"> 起因事象の不確かさを保守的に評価するため、事故シーケンスを「大破断LOCA+HPCS失敗+低圧ECCS失敗+全交流動力電源喪失」とし、電源の有無に係らず本評価事故シーケンスの評価条件と同様に重大事故等対処設備による原子炉注水機能についても原子炉圧力容器破損まで使用できないものと仮定した。その場合、事象発生直後から原子炉冷却材が格納容器内に流出するため、原子炉圧力容器破損までの時間が約3.0時間となる。 <p>(2) 格納容器下部の評価において溶融炉心からプール水への熱流束を保守的に考慮する場合</p> <ul style="list-style-type: none"> 格納容器下部に落下した後の溶融炉心からプール水への熱流束をベースケースから変更し、800kW/m^2一定とした。これはKutateladze型の水平平板限界熱流束相関式において大気圧状態を想定した場合、溶融炉心からプール水への熱流束が800kW/m^2程度であることを考慮し、保守的に設定した値である。なお、ベースケースでは溶融炉心からプール水への熱流束を800kW/m^2（圧力依存有り）としている。ベースケースにおける原子炉圧力容器破損後の格納容器圧力は、約0.4MPa[abs]以上で制御されていることから、ベースケースにおける溶融炉心からプール水への熱流束は、約1400kW/m^2（格納容器圧力約0.4MPa[abs]において）以上となる。 <p>【女川の「付録3 重大事故等対策の有効性評価に係るシビアアクシデント解析コードについて 第5部 MAPP 添付3 溶融炉心とコンクリートの相互作用について」より抜粋】</p> <p><u>デブリから水への熱伝達</u></p>	<p>2. 評価条件</p> <p>基本ケースの評価条件に対する変更点を表1にまとめる。粒子状ベッドのドライアウト熱流束を評価する解析モデルがいくつか提案されているが、Lipinski 0-D モデル^{[2][3]}が広く使われている。ここでは、Lipinski 0-D モデルにより粒子状ベッドのドライアウト熱流束を保守的に評価し、その結果を参考に Kutateladze 係数を 0.05 と設定することで、保守的な評価条件とした。詳細は以下の通り。</p>	サンプへの溶融 炉心の流入を考慮する場合については、泊は溶融炉心がドレン配管内で凝固すること及び CV サンプから CV バウンダリまでの距離が十分確保されていることから影響確認は実施していない (添付資料 7.2.5.4 参照) (相違理由③) 相違理由① ※泊と女川で評価条件は異なるが、Lipinski 0-D モデルを用いてドライアウト熱流束を評価し保守的な設定で感度解析を行っている点では同様

泊発電所3号炉 有効性評価 比較表

7.2.4. 水素燃焼 (添付資料 7.2.4.11 溶融炉心・コンクリート相互作用による水素の発生を考慮した場合の原子炉格納容器内水素濃度について)

赤字：設備、運用又は体制の相違（設計方針の相違）
 青字：記載箇所又は記載内容の相違（記載方針の相違）
 緑字：記載表現、設備名称の相違（実質的な相違なし）

大飯発電所3／4号炉	泊発電所3号炉	相違理由
<p>デブリベッドから水への熱流束は、溶融炉心上面の性状により大きく影響されるため、大きな不確かさが想定される。</p> <p>評価モデル：溶融炉心上面から水への熱流束は、上部クラスト－水プール間の熱伝達モデルであるKutateladze型の水平平板限界熱流束相關式 (Kutateladze式) で与えられるが、係数 F_{chf} を調整することにより、溶融炉心上面の性状に応じた熱流束を設定することが可能である。これは、上面の性状に応じて水への熱流束が内部で計算されるモデルではなく、Kutateladze式による限界熱流束で与えるモデルとなっているためである。</p> <p>評価条件：事前水張り対策により溶融炉心の一部は粒子化して、デブリ上部に粒子状ベッドを形成し、下部には粒子化しなかった溶融炉心が溶融プールを形成すると想定される。これは、水中に溶融炉心を落下させた実験的知見^{[14][15][16]}（付録3参照）から、安定クラストは形成されず、粒子状ベッドが形成されていることから妥当と考えられる。なお、SSWICS実験では、コンクリートがデブリに含有されると上面熱流束が低下する結果が得られているが、これは火山型クラストが形成された場合の知見であり、粒子状ベッドに対する知見ではないと判断される。</p> <p>デブリ上面に粒子状ベッドが形成されることを想定し、粒子状ベッドから水への熱流束の不確かさを評価する。ここでは、Lipinski 0-Dモデル^[24]を使用し、主なパラメータである粒子径、ポロシティ、堆積高さ、圧力を変えた場合の粒子状ベッドのドライアウト熱流束の不確かさを評価した。以下のように各パラメータを想定した。</p> <ul style="list-style-type: none"> 粒子径は、これまでの実験等の知見により3～7mmと報告されているため^[33]、この範囲を不確かさの範囲と想定する。 ポロシティは、おおむね0.3以上が報告されているが^[33]、粒子の充填状態の幅を考慮して、0.26（面心立方格子、最稠密）、0.32（体心立方格子）、0.4（MAAP標準値）、0.48（単純立方格子）の範囲を想定する（図4-6参照）。 粒子状ベッドの堆積高さは、全炉心相当が落下した場合の堆積高さは1m以上となるが、破損口径の拡大を考慮しても33%以上の粒子化が想定されるため、0.3m以上とする。 圧力は、MCCIが発生する時間では格納容器圧力は0.4MPa[abs]以上となっているため（図4-7a及び図4-7b参照）、0.4MPa[abs]以上とする。 <p>Lipinski 0-Dモデルによる評価結果を以下に示す。</p> <ul style="list-style-type: none"> 図4-8aにドライアウト熱流束の圧力依存性を示す。上記のパラメータの範囲から、粒子径3mm、ポロシティ0.32の熱流束特性が、現実的な範囲内で保守側の特性と想定され、そのときの熱流束は、大気圧状態で800kW/m²程度となる。また、圧力が0.4MPa[abs]以上での下限値としては、ポロシティの最も小さい0.26のケースで800kW/m²程度のドライアウト熱流束となっている。 図4-8bにドライアウト熱流束の粒子径依存性を示す。粒子径が3mm以上での下限値としては、ポロシティの最も小さい0.26のケースで800kW/m²程度のドライアウト熱流束となっている。 図4-8cにドライアウト熱流束の粒子ベッド高さ依存性を示す。粒子ベッド高さが、0.3m以上 <p>Lipinski 0-Dモデルでは主なパラメータは粒子径、空隙率、堆積高さ、圧力があり、ドライアウト熱流束を保守的に予測する観点から、各パラメータを以下のように想定した。</p> <ul style="list-style-type: none"> 粒子径は、これまでの実験等の知見により3～7mmと報告されており^[4]、小さい方が保守的であるため3mmを想定する。 空隙率は、おおむね0.3以上が報告されているが^[4]、小さい方が保守的であるため、粒子の充填状態の幅を考慮して0.26（面心立方格子、最稠密）を想定する。 粒子状ベッドの堆積高さは、空隙率とデブリ総量に依存する。基本ケースにおいて、原子炉容器から溶融炉心の流出は約2.8時間で停止し、その時点での流出総量は約□tである。堆積高さは高いほど保守的であるため、ここでは全量の細粒化を想定し、上記で設定した空隙率を用いて堆積高さを□mと想定する。 圧力は、事象進展により変化することからパラメータとする。 <p>□枠の内容は機密情報に属しますので公開できません。</p>	<p>泊発電所3号炉</p>	<p>※ 泊では Lipinski 0-Dモデルの各パラメータを保守的に設定しているのに対して、女川では解析コードの資料でもあり不確かさの範囲を想定した上で有効性評価の設定値の妥当性を述べている</p>

泊発電所3号炉 有効性評価 比較表

7.2.4. 水素燃焼 (添付資料 7.2.4.11 溶融炉心・コンクリート相互作用による水素の発生を考慮した場合の原子炉格納容器内水素濃度について)

赤字 : 設備、運用又は体制の相違 (設計方針の相違)
青字 : 記載箇所又は記載内容の相違 (記載方針の相違)
緑字 : 記載表現、設備名称の相違 (実質的な相違なし)

大飯発電所3／4号炉	泊発電所3号炉	相違理由														
<p>ではドライアウト熱流束はほとんど変化がなく、下限値としては、ポロシティの最も小さい0.26のケースで800kW/m²程度のドライアウト熱流束となっている。</p> <p>以上の粒子状ベッドから水への熱流束の不確かさ評価結果より、有効性評価条件として、大気圧状態で800kW/m²で圧力依存性を考慮した上面熱流束を使用することは、妥当と判断される。これは、MAAPコードのKutateladze式の係数F_{cht}をデフォルトの0.1に設定することに相当する。また、デブリ上面熱流束の不確かさの下限値は、800kW/m²程度と考えられるため、粒子径、ポロシティ等の不確かさによる上面熱流束の不確かさの影響を確認するため、800kW/m²一定を仮定した感度解析を実施する。</p> <p>なお、MAAPコードのF_{cht}のデフォルト値0.1は、安定クラストが形成されたSWISS実験の知見を元に設定されたものであるが、SSWICS実験の知見より実機では溶融物上面に安定なハードクラストは形成されず、クラストに生じる亀裂から冷却水が内部に浸入することで、デブリの冷却は促進されるものと考えられる。</p> <p>表5-2 上面熱流束係数のベースケースと感度解析ケース</p> <table border="1"> <thead> <tr> <th>パラメータ</th><th>ベースケース (有効性評価)</th><th>感度解析ケース</th><th>根拠</th></tr> </thead> <tbody> <tr> <td>②上面熱流束係数(F_{cht})</td><td>F_{cht}=0.1 (default) 圧力依存性あり (大気圧状態で約800kW/m²)</td><td>800kW/m²一定</td><td>Lipinski 0-Dモデルによる評価において、圧力0.4MPa[abs]、粒子径3mm、ポロシティ0.26のドライアウト熱流束</td></tr> </tbody> </table> <p>図4-8a 圧力とドライアウト熱流束の関係 (Lipinski 0-Dモデル)</p> <p>上記の保守的な粒子状ベッド条件においてLipinski 0-Dモデルによりドライアウト熱流束を評価し、MAAPに適用されているKutateladze型の水平平板限界熱流束と比較した結果を図1に示す。Lipinski 0-Dモデルにより評価された保守的なドライアウト熱流束は、Kutateladze係数0.05～0.06に相当する。このため、本感度解析ではKutateladze係数を0.05と設定した。</p> <p>表1 上面熱流束係数の基本ケースと感度解析ケース</p> <table border="1"> <thead> <tr> <th>パラメータ</th><th>基本ケース</th><th>感度解析ケース</th><th>設定根拠</th></tr> </thead> <tbody> <tr> <td>Kutateladze係数(Ck)</td><td>0.1 (0.8 MW/m²相当^(注))</td><td>0.05 (0.4 MW/m²相当^(注))</td><td>Lipinski 0-Dモデルによる評価において、粒子径3mm、空隙率0.26、ベッド堆積高さ [] mとした場合のドライアウト熱流束よりも保守的な設定</td></tr> </tbody> </table> <p>(注) 大気圧条件</p> <p>図1 Lipinski 0-Dモデルによるドライアウト熱流束評価結果 (粒子径3mm、空隙率0.26、ベッド堆積高さ [] m)</p> <p>[] 案内みの内容は機密情報に属しますので公開できません。</p>	パラメータ	ベースケース (有効性評価)	感度解析ケース	根拠	②上面熱流束係数(F _{cht})	F _{cht} =0.1 (default) 圧力依存性あり (大気圧状態で約800kW/m ²)	800kW/m ² 一定	Lipinski 0-Dモデルによる評価において、圧力0.4MPa[abs]、粒子径3mm、ポロシティ0.26のドライアウト熱流束	パラメータ	基本ケース	感度解析ケース	設定根拠	Kutateladze係数(Ck)	0.1 (0.8 MW/m ² 相当 ^(注))	0.05 (0.4 MW/m ² 相当 ^(注))	Lipinski 0-Dモデルによる評価において、粒子径3mm、空隙率0.26、ベッド堆積高さ [] mとした場合のドライアウト熱流束よりも保守的な設定
パラメータ	ベースケース (有効性評価)	感度解析ケース	根拠													
②上面熱流束係数(F _{cht})	F _{cht} =0.1 (default) 圧力依存性あり (大気圧状態で約800kW/m ²)	800kW/m ² 一定	Lipinski 0-Dモデルによる評価において、圧力0.4MPa[abs]、粒子径3mm、ポロシティ0.26のドライアウト熱流束													
パラメータ	基本ケース	感度解析ケース	設定根拠													
Kutateladze係数(Ck)	0.1 (0.8 MW/m ² 相当 ^(注))	0.05 (0.4 MW/m ² 相当 ^(注))	Lipinski 0-Dモデルによる評価において、粒子径3mm、空隙率0.26、ベッド堆積高さ [] mとした場合のドライアウト熱流束よりも保守的な設定													

泊発電所 3号炉 有効性評価 比較表

7.2.4. 水素燃焼 (添付資料 7.2.4.11 溶融炉心・コンクリート相互作用による水素の発生を考慮した場合の原子炉格納容器内水素濃度について)

赤字 : 設備、運用又は体制の相違 (設計方針の相違)
青字 : 記載箇所又は記載内容の相違 (記載方針の相違)
緑字 : 記載表現、設備名称の相違 (実質的な相違なし)

大飯発電所 3 / 4号炉	泊発電所 3号炉	相違理由
<p>Lipinski 0-D モデル、圧力: 0.4 MPa(abs)、粒子状ベッド高さ: 0.5m</p> <p>図 4-8b 粒子径とドライアウト熱流束の関係 (Lipinski 0-D モデル)</p> <p>Lipinski 0-D モデル、圧力: 0.4 MPa(abs)、粒子径: 3 mm</p> <p>図 4-8c 粒子状ベッド高さとドライアウト熱流束の関係 (Lipinski 0-D モデル)</p> <p style="text-align: center;">【抜粋はここまで】</p>		

泊発電所3号炉 有効性評価 比較表

7.2.4. 水素燃焼 (添付資料 7.2.4.11 溶融炉心・コンクリート相互作用による水素の発生を考慮した場合の原子炉格納容器内水素濃度について)

赤字：設備、運用又は体制の相違（設計方針の相違）
 青字：記載箇所又は記載内容の相違（記載方針の相違）
 緑字：記載表現、設備名称の相違（実質的な相違なし）

大飯発電所3／4号炉	泊発電所3号炉	相違理由
<p>(3) 格納容器下部の評価において溶融炉心の拡がりを抑制する場合</p> <ul style="list-style-type: none"> ・溶融炉心が拡がらないことを想定した極端なケースとして、水中に落下した溶融炉心は水中で拡がらず、3.4m高さの円柱になるものとした。 ・評価体系(円柱)の上面及び壁面から水によって除熱されるものとした。水との伝熱面積について、拡がりを抑制した場合とベースケースの比較を行った。 <p>(4) ドレンサンプへの溶融炉心の流入を考慮する場合</p> <ul style="list-style-type: none"> ・MAAP コードでは、ドレンサンプのような直方体の形状を模擬できないため、床面積を実際の大きさに合わせた円柱で模擬した。 ・溶融炉心の堆積厚さは、格納容器下部と水頭圧が釣り合うところまで溶融炉心がドレンサンプに流入した場合を想定し、ドレンサンプ床から約 1.8m とした。 ・溶融炉心からプール水への熱流束は、圧力依存ありとした Kutatelandze の式から算出された値(約 1,500kW/m²)とする。 ・溶融炉心の崩壊熱を保守的に設定するため、(1)の評価と同様に溶融炉心の崩壊熱を事象発生から約 3.0 時間後の値とした。 		相違理由②
<p>3. 評価結果</p> <p>(1) 格納容器下部の評価において溶融炉心の崩壊熱を保守的に考慮する場合</p> <p>評価結果を図 1 に示す。評価の結果、コンクリート侵食量は床面で約 3 cm、壁面で約 3 cm に抑えられることから、原子炉圧力容器の支持機能を維持できることを確認した。コンクリート侵食量が僅かであることから、本評価における溶融炉心・コンクリート相互作用による可燃性ガスの発生量は格納容器内の気相濃度に影響を与えない。このため、溶融炉心・コンクリート相互作用に伴う可燃性ガスの発生による格納容器圧力への影響は無く、格納容器内の気相組成の推移はベースケース（「3.5.2(3) b. 評価項目等」参照）と同じとなる。なお、ベースケースにおける格納容器下部への溶融炉心落下後の水素濃度は、ウェット条件、ドライ条件ともに 13vol%を上回る。一方、ウェット条件における酸素濃度は、酸素の蓄積が最も進む事象発生から 7 日後においても約 2.1vol%であり、可燃限界を下回る。ドライ条件では、事象発生の約 7 時間後から約 23 時間までの間、ドライウェルにおける酸素濃度が可燃限界である 5vol%を上回る。この間、ウェット条件では、格納容器下部への溶融炉心落下に伴う水蒸気発生によって、ドライウェルに存在する非凝縮性ガスが水蒸気とともにサブレッショングレンバに送り込まれ、供給される水蒸気でドライウェル内が満たされたため、ドライウェル内のほぼ 100%が水蒸気となっている。そのため、この間のドライ条件でのドライウェル内の気体組成は、ほぼ水の放射線分解によって生じる水素及び酸素の割合となり、そのウェット条件での酸素濃度は 1 vol%未満（約 0.004vol%）である。また、ドライウェル内の非凝縮性ガス（水素、酸素及び窒素）の分圧の和は大気圧よりも低く、0.01MPa[abs]未満（水素及び酸素の分圧の和は 0.01MPa[abs]未満）である。この間のサブレッショングレンバ内のウェット条件での水蒸気の濃度は約 8.5vol%であり、サブレッショングレンバ内の全圧が 0.56MPa[abs]以上であることから、非凝縮性ガス（水素、酸素及び窒素）の分圧は少なくとも</p>	<p>3. 評価結果</p>	相違理由③
		相違理由①

泊発電所 3号炉 有効性評価 比較表

7.2.4. 水素燃焼 (添付資料 7.2.4.11 溶融炉心・コンクリート相互作用による水素の発生を考慮した場合の原子炉格納容器内水素濃度について)

赤字	設備、運用又は体制の相違（設計方針の相違）
青字	記載箇所又は記載内容の相違（記載方針の相違）
緑字	記載表現、設備名称の相違（実質的な相違なし）

大飯発電所3／4号炉	泊発電所 3号炉	相違理由
<p>0.51MPa[abs]以上である。このため、仮にドライウェル内の水蒸気が凝縮してドライウェル内の圧力が低下し、相対的に水素濃度及び酸素濃度が上昇しても、ドライウェル内の水素濃度及び酸素濃度が可燃限界を上回る前に、サプレッションチェンバから酸素濃度が 5.0vol%未満の気体が流入する。このため、この間においてドライウェルの酸素濃度が現実に可燃限界である 5vol%を上回ることはない。事象発生の約 23 時間後以降は、ドライ条件を仮定しても酸素濃度は 5.0vol%未満で推移し、事象発生から 7 日後の酸素濃度はドライウェルにおいて約 2.3vol%，サプレッションチェンバにおいて約 3.2vol%である。したがって、格納容器スプレイの誤動作等により水蒸気量が低下しても、可燃限界である 5vol%に達することはない。</p> <p>(2) 格納容器下部の評価において溶融炉心からプール水への熱流束を保守的に考慮する場合</p> <p>評価結果を図 2 に示す。評価の結果、コンクリート侵食量は床面で約 18cm、壁面で約 18cm に抑えられ、原子炉圧力容器の支持機能を維持できることを確認した。本感度解析ケースでは、溶融炉心・コンクリート相互作用によって約 124kg の可燃性ガス及びその他の非凝縮性ガスが発生するが、ベースケースでもジルコニウム-水反応によって約 487kg の水素が発生することを考慮すると、溶融炉心・コンクリート相互作用による可燃性ガス及びその他の非凝縮性ガスの発生が格納容器圧力に与える影響は小さい。</p> <p>溶融炉心・コンクリート相互作用による可燃性ガスの発生が、可燃性ガスの燃焼の可能性に及ぼす影響について、格納容器下部への溶融炉心落下後の格納容器内の水素濃度は、ベースケースにおいても、ウェット条件、ドライ条件とともに 13vol%を上回る。このことから、本感度解析ケースの溶融炉心・コンクリート相互作用に伴って発生する可燃性ガスをベースケースの結果に加えたとしても、格納容器内での可燃性ガスの燃焼の可能性には影響しない。</p> <p>なお、溶融炉心・コンクリート相互作用によって生じる約 124kg の気体の内訳は、可燃性ガスである水素が約 111kg、一酸化炭素が約 14kg、その他の非凝縮性ガスである二酸化炭素が約 1 kg 未満である。ジルコニウム-水反応によって発生する水素も考慮すると、格納容器内に存在する可燃性ガスとしては水素が支配的であり、一酸化炭素の影響は無視できる。</p> <p>一方、格納容器内の酸素濃度については、溶融炉心・コンクリート相互作用では酸素は発生しないため、溶融炉心・コンクリート相互作用による可燃性ガス及びその他の非凝縮性ガスは格納容器内の酸素濃度を下げる要因となる。このため、本感度解析ケースの溶融炉心・コンクリート相互作用に伴って発生する可燃性ガス及びその他の非凝縮性ガスをベースケースの結果に加える場合、格納容器内の酸素濃度はベースケース（「3.5.2(3) b. 評価項目等」）にて示した酸素濃度（事象発生から 7 日後においてウェット条件で約 2.1vol%，ドライ条件で約 3.2vol%）以下になるものと考えられる。このため、格納容器内での可燃性ガスの燃焼が発生するおそれは無い。</p> <p>(3) 格納容器下部の評価において溶融炉心の拡がりを抑制する場合</p> <p>格納容器下部の評価において溶融炉心の拡がりを抑制する場合については、「付録 3 重大事故等対策の有効性評価に係るシビアアクシデント解析コードについて 第 5 部 MAAP 添付 3 溶融炉心とコンクリートの相互作用について」にて、代表的な 1100MWe BWR-5 Mark- I 改相当のプラ</p>	<p>評価結果を図 2 に示す。感度解析では、基本ケースに比べて溶融炉心からキャビティ水への熱流束を制限していることから、溶融炉心が十分冷えるまでの時間が基本ケースに比べ長くなる。このため、本感度解析では、コンクリート侵食は大きくなるものの、原子炉下部キャビティ水により溶融炉心が冷却されることでコンクリート侵食は停止し、その値は、床面で約 1.4cm、壁面で約 1.4cm にとどまる。</p> <p>なお、コンクリート侵食に伴う水素発生量の増加は、長期的に原子炉格納容器圧力の上昇要因となるが、感度解析においても水素の追加発生に伴う水素濃度上昇はドライ条件換算で 0.2vol%程度にとどまる。</p> <p>以上のことから、溶融炉心からプール水への熱流束を保守的に考慮した場合でも、コンクリート侵食量及び MCCI によって発生する非凝縮性ガスの影響は小さい。</p>	相違理由②

泊発電所3号炉 有効性評価 比較表

7.2.4. 水素燃焼 (添付資料 7.2.4.11 溶融炉心・コンクリート相互作用による水素の発生を考慮した場合の原子炉格納容器内水素濃度について)

赤字：設備、運用又は体制の相違（設計方針の相違）
 青字：記載箇所又は記載内容の相違（記載方針の相違）
 緑字：記載表現、設備名称の相違（実質的な相違なし）

大飯発電所3／4号炉	泊発電所3号炉	相違理由
<p>ントに対して、均一堆積形状（円柱）と種々の不均一な堆積形状の場合の水への伝熱面積を比較しており、その中で拡がりを抑制した場合についても比較を行っている。その結果、ベースケースで想定している均一堆積形状（円柱）に比べ、拡がりを抑制した場合、水への伝熱面積が大きくなることから、格納容器下部床面及び壁面の侵食量はベースケース（「3.5.2(3) b. 評価項目等」）にて示した侵食量（格納容器下部の床面で約 2 cm、壁面で約 2 cm）以下になるものと考えられる。</p> <p>(4) ドレンサンプへの溶融炉心の流入を考慮する場合</p> <p>ドレンサンプにおけるコンクリート侵食量の推移を図 3 に示す。コンクリート侵食量は、床面で約 20cm、壁面で約 16cm に抑えられ、ドレンサンプと原子炉格納容器バウンダリまでの距離は約 0.8m であることから、原子炉格納容器バウンダリまで侵食は到達しないことを確認した。また、ドレンサンプ壁面のコンクリート侵食に対しては、コンクリート侵食が厚さ約 □ m のコンクリート部を貫通して外側鋼板まで到達しない限り、原子炉圧力容器の支持機能を維持できる。評価の結果、ドレンサンプ壁面のコンクリート侵食量は約 16cm に抑えられ、原子炉圧力容器の支持機能を維持できる。</p> <p>コンクリート侵食量が僅かであることから、本評価における溶融炉心・コンクリート相互作用による可燃性ガスの発生量は格納容器内の気相濃度に影響を与えない。このため、溶融炉心・コンクリート相互作用に伴う可燃性ガスの発生による格納容器圧力への影響は無く、格納容器内の気相組成の推移はベースケース（「3.5.2(3) b. 評価項目等」参照）と同じとなる。なお、ベースケースにおける格納容器下部への溶融炉心落下後の水素濃度は、ウェット条件、ドライ条件とともに 13vol% を上回る。一方、ウェット条件における酸素濃度は、酸素の蓄積が最も進む事象発生から 7 日後においても約 2.1vol% であり、可燃限界を下回る。ドライ条件では、事象発生の約 7 時間後から約 23 時間後までの間、ドライウェルにおける酸素濃度が可燃限界である 5vol% を上回る。この間、ウェット条件では、格納容器下部への溶融炉心落下に伴う水蒸気発生によって、ドライウェルに存在する非凝縮性ガスが水蒸気とともにサブレッショングレンバに送り込まれ、供給される水蒸気でドライウェル内が満たされたため、ドライウェル内のほぼ 100% が水蒸気となっている。そのため、この間のドライ条件でのドライウェル内の気体組成は、ほぼ水の放射線分解によって生じる水素及び酸素の割合となり、そのウェット条件での酸素濃度は 1vol% 未満（約 0.004vol%）である。また、ドライウェル内の非凝縮性ガス（水素、酸素及び窒素）の分圧の和は大気圧よりも低く、0.01MPa[abs] 未満（水素及び酸素の分圧の和は 0.01MPa[abs] 未満）である。この間のサブレーショングレンバ内のウェット条件での水蒸気の濃度は約 8.5vol% であり、サブレーショングレンバ内の全圧が 0.56MPa[abs] 以上であることから、非凝縮性ガス（水素、酸素及び窒素）の分圧は少なくとも 0.51MPa[abs] 以上である。このため、仮にドライウェル内の水蒸気が凝縮してドライウェル内の圧力が低下し、相対的に水素濃度及び酸素濃度が上昇しても、ドライウェル内の水素濃度及び酸素濃度が可燃限界を上回る前に、サブレーショングレンバから酸素濃度が 5.0vol% 未満の気体が流入する。このため、この間においてドライウェルの酸素濃度が現実に可燃限界である 5vol% を上回ることはない。事象発生の約 23 時間後以降は、ドライ条件を仮定しても酸素濃度は 5.0vol% 未満で推移し、事象発生から 7 日後の酸素濃度はドライウェルにおいて約 2.3vol%，</p>		相違理由③

泊発電所3号炉 有効性評価 比較表

7.2.4. 水素燃焼 (添付資料 7.2.4.11 溶融炉心・コンクリート相互作用による水素の発生を考慮した場合の原子炉格納容器内水素濃度について)

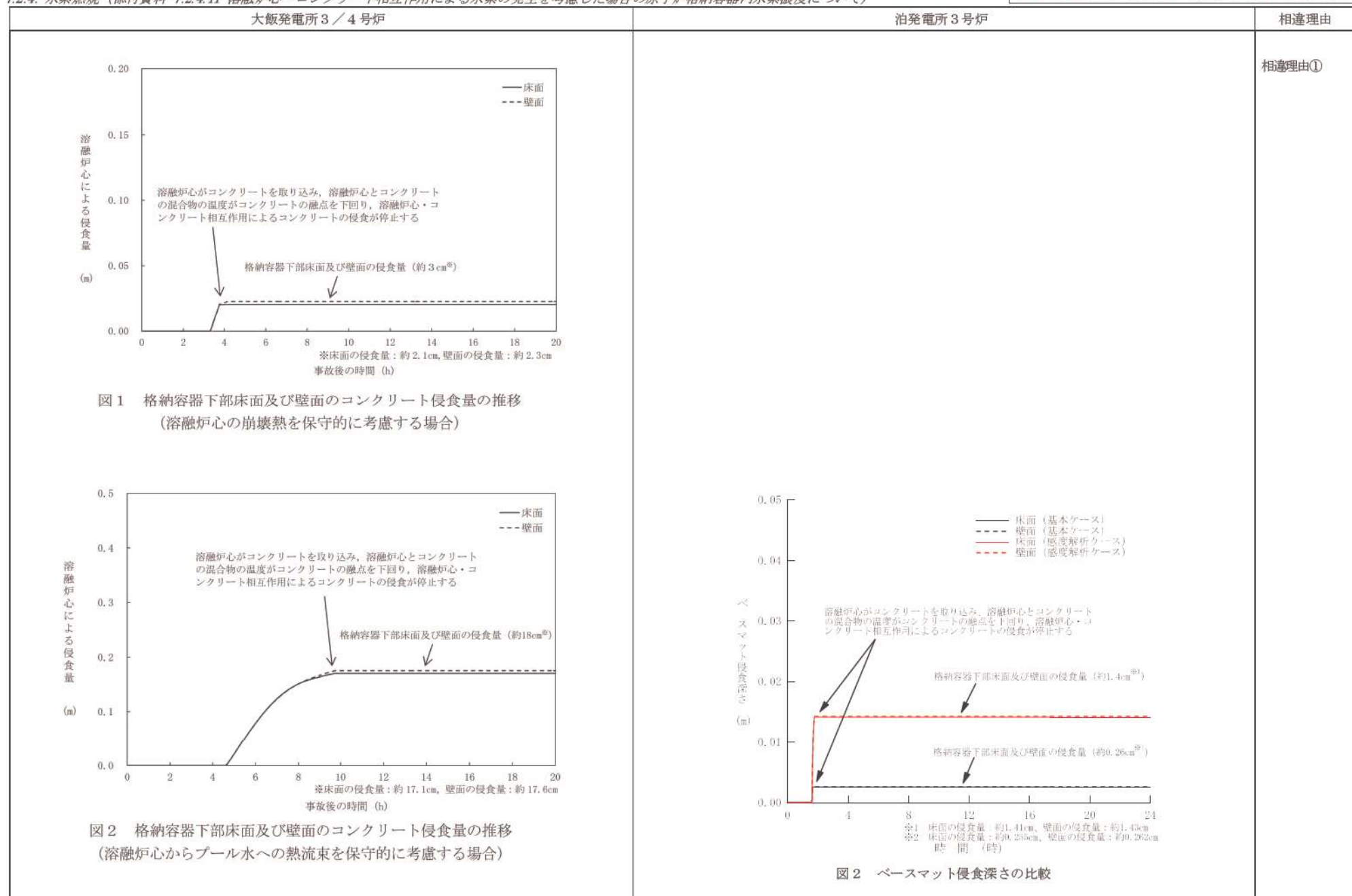
赤字：設備、運用又は体制の相違（設計方針の相違）
 青字：記載箇所又は記載内容の相違（記載方針の相違）
 緑字：記載表現、設備名称の相違（実質的な相違なし）

大飯発電所3／4号炉	泊発電所3号炉	相違理由
<p>サプレッションチャンバーにおいて約3.2vol%である。したがって、格納容器スプレイの誤動作等により水蒸気量が低下しても、可燃限界である5vol%に達することはない。</p> <p>4.まとめ 溶融炉心の落下時刻の不確かさの影響によって、格納容器下部のコンクリート侵食量が増大する場合の保守的な条件設定が評価結果に与える影響を確認した結果、評価項目となるコンクリート侵食量は、最もコンクリート侵食量が多い結果となった格納容器下部の評価において溶融炉心からプール水への熱流束を保守的に考慮した場合であっても格納容器下部の床面で約18cm、壁面で約18cmに抑えられ、原子炉圧力容器の支持機能を維持できることを確認した。また、仮にドレンサンプへの溶融炉心の流入を考慮する場合においてもドレンサンプの床面で約20cm、壁面で約16cmに抑えられ、原子炉格納容器バウンダリまで侵食は到達しないこと及び原子炉圧力容器の支持機能を維持できることを確認した。 なお、溶融炉心・コンクリート相互作用による可燃性ガスの発生を考慮しても格納容器圧力に与える影響は小さく、可燃性ガスの燃焼の観点でも燃焼のリスクを高めるものではないことを確認した。</p> <p>【女川の「付録3 重大事故等対策の有効性評価に係るシビアアクシデント解析コードについて 第5部 MAAP 添付3 溶融炉心とコンクリートの相互作用について」より抜粋】</p> <p>参考文献:</p> <ul style="list-style-type: none"> [14] D. Magallon, "Characteristics of corium debris bed generated in largescale fuel-coolant interaction experiments," Nucl. Eng. Design, 236 1998-2009 (2006). [15] M. Kato, H. Nagasaka, et al., "COTELS Fuel Coolant Interaction Tests under Ex-Vessel Conditions," JAERI-Conf 2000-015 (2000). [16] A. Karbojian, et al., "A scoping study of debris bed formation in the DEFOR test facility," Nucl. Eng. Design 239 1653-1659, (2009). [24] R. J. Lipinski, "A Model for Boiling and Dryout in Particle Beds," NUREG/CR-2646, SAND82-0765 (1982). [33] (財)原子力安全研究協会、「シビアアクシデント対策評価のための格納容器イベントツリーに関する検討」、平成13年7月 付録7-4 溶融炉心の粒子化割合、付録7-5 粒子状物質ベッドの冷却性 付録7-6 粒子状物質の粒子径 【抜粋はここまで】 <p>参考文献:</p> <ul style="list-style-type: none"> [1] P. Kudinov and M. Davydov "PREDICTION OF MASS FRACTION OF AGGLOMERATED DEBRIS IN A LWR SEVERE ACCIDENT", NURETH14-543 [2] R. J. Lipinski, "A Model for Boiling and Dryout in Particle Beds", NUREG/CR-2646, SAND82-0765, R7 (1982), Sandia National Laboratory. [3] R. J. Lipinski, "A Particle-Bed Dryout Model with Upward and Downward Boiling," Trans. Amer. Nucl. Soc., 35, 358 (1980). [4] (財)原子力安全研究協会、「シビアアクシデント対策評価のための格納容器イベントツリーに関する検討」、平成13年7月 		※女川は複数の感度解析を実施しているのに対し泊では溶融炉心からプール水への熱流束を保守的に考慮する場合のみの感度解析のため、まとめの記載はしていない。

泊発電所 3号炉 有効性評価 比較表

7.2.4. 水素燃焼 (添付資料 7.2.4.11 溶融炉心・コンクリート相互作用による水素の発生を考慮した場合の原子炉格納容器内水素濃度について)

赤字: 設備、運用又は体制の相違 (設計方針の相違)
青字: 記載箇所又は記載内容の相違 (記載方針の相違)
緑字: 記載表現、設備名称の相違 (実質的な相違なし)



7.2.4. 水素燃焼 (添付資料 7.2.4.11 溶融炉心・コンクリート相互作用による水素の発生を考慮した場合の原子炉格納容器内水素濃度について)

泊発電所 3号炉 有効性評価 比較表

赤字 : 設備、運用又は体制の相違（設計方針の相違）
青字 : 記載箇所又は記載内容の相違（記載方針の相違）
緑字 : 記載表現、設備名称の相違（実質的な相違なし）

大飯発電所3／4号炉	泊発電所3号炉	相違理由
		相違理由③

図3 ドレンサンプル床面及び壁面のコンクリート侵食量の推移
(ドレンサンプルへの溶融炉心の流入を考慮する場合)

泊発電所 3号炉 有効性評価 比較表

7.2.4. 水素燃焼 (添付資料 7.2.4.12 事象初期に全炉心内の 75% のジルコニウムー水反応が生じた場合のドライ水素濃度について)

赤字	設備、運用又は体制の相違（設計方針の相違）
青字	記載箇所又は記載内容の相違（記載方針の相違）
緑字	記載表現、設備名称の相違（実質的な相違なし）

大飯発電所 3 / 4 号炉	泊発電所 3号炉	相違理由
<p>添付資料 3.4.13</p> <p>事象初期に全炉心 75% のジルコニウムー水反応が生じた場合のドライ水素濃度について</p> <p>1. ドライ条件に換算した原子炉格納容器内水素濃度（以下、「ドライ水素濃度」という）の算出方法 事象初期に全炉心 75% が水と反応した場合の原子炉格納容器内のドライ換算水素濃度は、初期の水蒸気を考慮しないドライ雰囲気における原子炉格納容器内の空気量と、発生を想定する水素モル数を用いて以下の通り算出することができる。</p> <p>なお、原子炉格納容器内の空気については理想気体として取り扱っている。</p> $n_{air,0} = \frac{P_0 V_0}{RT_0}$ $C_{H2} = \frac{n_{H2}}{n_{air} + n_{H2}}$	<p>添付資料 7.2.4.12</p> <p>事象初期に全炉心内_内の 75% のジルコニウムー水反応が生じた場合のドライ水素濃度について</p> <p>水素燃焼に係る有効性評価においては、審査ガイドにおいて「全炉心内のジルコニウム量の 75% が水と反応するものとする」とされている。このため、MAAP の評価結果のジルコニウムー水反応による水素生成期間において、一定速度でジルコニウムー水反応量が増加すると仮定して全炉心内のジルコニウム量の 75% が水と反応するように補正し、GOTHIC にて原子炉格納容器内の水素混合気の挙動を計算している。</p> <p>ここでは、気体の状態方程式を用い、瞬時に全炉心内のジルコニウム量の 75% が水と反応した場合の原子炉格納容器内のドライ換算水素濃度を以下のとおり計算した。</p> <p>ジルコニウムの水による酸化反応は次の式で表される。</p> $Zr + 2H_2O \rightarrow ZrO_2 + 2H_2 \quad (1)$ <p>従って、ジルコニウムー水反応により生成される水素のモル数は次の式のとおりである。</p> $n_{H2} = 2m_{Zr} / M_{Zr} \quad (W_{H2}=2 n_{H2}) \quad (2)$ <p>ここで、</p> <ul style="list-style-type: none"> m_{Zr} : Zr 質量 約 15.15 t (全炉心ジルコニウム量の 75%) M_{Zr} : Zr 原子量 91.224 g/mol n_{H2} : 生成される水素のモル数 W_{H2} : 生成される水素の重量 <p>また、原子炉格納容器内の空気のモル数は空気を理想気体として扱うと次の式で表される。</p> $n_{air} = P_{cv}V_{cv} / RT_{cv} \quad (3)$ <p>ここで、</p> <ul style="list-style-type: none"> R : 気体定数 8.314 J / (K · mol) T_{cv} : 原子炉格納容器内温度 49°C (通常運転時の原子炉格納容器内温度の最大値を使用) P_{cv} : 原子炉格納容器内圧力 約 1.01×10^5 Pa (大気圧 : 1atm) V_{cv} : 原子炉格納容器自由体積 65,500 m³ n_{air} : 原子炉格納容器内の空気のモル数 <p>従って、保守的に水蒸気を考慮しない原子炉格納容器内ドライ換算水素濃度は(2)、(3)式の空気及び水素のモル数から次の式で表される。</p> $C_{H2,dry} = (n_{H2} / (n_{air} + n_{H2})) \times 100 = \text{約 } 11.82\text{ vol}\%$	<p>添付資料 7.2.4.12</p> <p>記載方針の相違 ・資料構成が異なるが、計算方法は同様であり、結果も同等 (川内と同様)</p>

泊発電所 3号炉 有効性評価 比較表

7.2.4. 水素燃焼 (添付資料 7.2.4.12 事象初期に全炉心内の 75% のジルコニウム-水反応が生じた場合のドライ水素濃度について)

赤字	設備、運用又は体制の相違（設計方針の相違）
青字	記載箇所又は記載内容の相違（記載方針の相違）
緑字	記載表現、設備名称の相違（実質的な相違なし）

大飯発電所 3 / 4 号炉	泊発電所 3号炉	相違理由															
<p>ここで、各パラメータについては以下の通り設定する。</p> <p> $n_{air,0}$: 初期の水蒸気を考慮しないドライ雰囲気における原子炉格納容器内空気モル数 (mol) P_0 : 初期の CV 内圧力 (Pa[abs]) V_0 : 初期の CV 自由体積 (m^3) R : 気体定数 (8.314J/mol·K) T_0 : 初期の CV 内温度 (K) n_{H2} : 発生を想定する水素モル数 (mol) C_{H2} : ドライ水素濃度 </p> <p>2. 評価条件 ジルコニウム-水反応によって発生する水素を考慮して原子炉格納容器内のドライ水素濃度を評価する。評価条件を表1に示す。</p> <p>表1. 評価条件</p> <table border="1"> <thead> <tr> <th>項目</th><th>値</th><th>備考</th></tr> </thead> <tbody> <tr> <td>全炉心ジルコニウム質量</td><td>24,800kg</td><td>装荷される燃料集合体の全ジルコニウム質量を保守的に高めに設定した値</td></tr> <tr> <td>初期の原子炉格納容器雰囲気温度 T_0</td><td>49°C (322.15K)</td><td>空気量が少なくなり同じ水素質量でも水素濃度が高くなる保守的に高めの値</td></tr> <tr> <td>初期原子炉格納容器圧力 P_0</td><td>大気圧 101,325Pa[abs]</td><td>空気量が少なくなり同じ水素質量でも水素濃度が高くなる保守的に高めの値</td></tr> <tr> <td>原子炉格納容器自由体積 V_0</td><td>72,900m^3</td><td>同じ水素質量でも水素濃度が高くなる保守的に高めの値 (最小自由体積)</td></tr> </tbody> </table> <p>3. 評価結果 全炉心内のジルコニウムの 75% が反応した場合の、原子炉格納容器内のドライ水素濃度は次の通り計算される。</p> $n_{air,0} = \frac{P_0 V_0}{R T_0} = \frac{101,325(\text{Pa[abs]}) \times 72900(\text{m}^3)}{8.314(\text{J/mol}\cdot\text{kg}) \times 322.15(\text{K})} \approx 2757.9(\text{kmol})$ $C_{H2} = \frac{n_{H2}}{n_{air,0} + n_{H2}} = \frac{\frac{24800(\text{kg}) \times 0.75}{91.224(\text{g/mol})} \times 2}{2757.9(\text{kmol}) + \frac{24800(\text{kg}) \times 0.75}{91.224(\text{g/mol})} \times 2} \times 100(\%) \approx 12.88(\%)$	項目	値	備考	全炉心ジルコニウム質量	24,800kg	装荷される燃料集合体の全ジルコニウム質量を保守的に高めに設定した値	初期の原子炉格納容器雰囲気温度 T_0	49°C (322.15K)	空気量が少なくなり同じ水素質量でも水素濃度が高くなる保守的に高めの値	初期原子炉格納容器圧力 P_0	大気圧 101,325Pa[abs]	空気量が少なくなり同じ水素質量でも水素濃度が高くなる保守的に高めの値	原子炉格納容器自由体積 V_0	72,900 m^3	同じ水素質量でも水素濃度が高くなる保守的に高めの値 (最小自由体積)	<p>ここで、</p> <p>$C_{H2,dry}$: 原子炉格納容器内 ドライ換算水素濃度</p>	
項目	値	備考															
全炉心ジルコニウム質量	24,800kg	装荷される燃料集合体の全ジルコニウム質量を保守的に高めに設定した値															
初期の原子炉格納容器雰囲気温度 T_0	49°C (322.15K)	空気量が少なくなり同じ水素質量でも水素濃度が高くなる保守的に高めの値															
初期原子炉格納容器圧力 P_0	大気圧 101,325Pa[abs]	空気量が少なくなり同じ水素質量でも水素濃度が高くなる保守的に高めの値															
原子炉格納容器自由体積 V_0	72,900 m^3	同じ水素質量でも水素濃度が高くなる保守的に高めの値 (最小自由体積)															

泊発電所 3号炉 有効性評価 比較表

7.2.4. 水素燃焼 (添付資料 7.2.4.12 事象初期に全炉心内の 75% のジルコニウム-水反応が生じた場合のドライ水素濃度について)

赤字 : 設備、運用又は体制の相違（設計方針の相違）
 青字 : 記載箇所又は記載内容の相違（記載方針の相違）
 緑字 : 記載表現、設備名称の相違（実質的な相違なし）

大飯発電所 3 / 4 号炉	泊発電所 3号炉	相違理由
<p>したがって、事象初期に全炉心内ジルコニウム量の 75% が水と反応した場合においても、水素爆薬の目安となる格納容器内ドライ換算水素濃度が 13% に到達することはない。</p> <p style="text-align: center;">以 上</p>	<p>以上のとおり、瞬時に全炉心内ジルコニウム量の 75% が水と反応した場合においても、水素爆薬の目安となる原子炉格納容器内ドライ換算水素濃度が 13vol% に到達することはない。なお、水の放射線分解等によって長期的に発生する水素については、原子炉格納容器内水素処理装置 (PAR) の効果により減少する。</p> <p style="text-align: center;">以 上</p>	

泊発電所 3 号炉 有効性評価 比較表

7.2.4. 水素燃焼 (添付資料 7.2.4.13 格納容器水素イグナイタの水素濃度低減効果について)

赤字 : 設備、運用又は体制の相違 (設計方針の相違)
青字 : 記載箇所又は記載内容の相違 (記載方針の相違)
緑字 : 記載表現、設備名称の相違 (実質的な相違なし)

大飯発電所 3 / 4 号炉	泊発電所 3 号炉	相違理由
<p>添付資料 3.4.14</p> <p>原子炉格納容器水素燃焼装置（イグナイタ）の水素濃度低減効果について</p> <p>炉心損傷時に全炉心内のジルコニウムの 75%が水と反応するとした場合の原子炉格納容器内の水素発生挙動解析 (MAAP/GOTHIC 解析) より、原子炉格納容器内の水素を 8vol% (ウェット換算) 程度に抑えることができることを確認している。</p> <p>図 1 にイグナイタを設置した場合の原子炉格納容器内のウェット換算した水素濃度の推移、図 2 にイグナイタを設置した場合の原子炉格納容器内のドライ換算した水素濃度の推移を示す。同図より、イグナイタにより初期に原子炉格納容器内に大量発生する水素濃度のピークを抑える効果のあることが確認できる。</p> <p>評価条件</p> <ul style="list-style-type: none"> ・全炉心 75%ジルコニウム-水反応を仮定、放射線水分解、金属腐食を考慮 ・大 LOCA+ECCS 注入失敗のケース ・PAR5 個、イグナイタ 13 個設置 ・水素濃度 8vol% (wet) で着火するとした。 <p>水素濃度が 8vol% に到達した区画から順次燃焼することで水素濃度のピークは抑えられている。</p> <p>長期的には PAR での再結合により水素濃度が低下している。</p> <p>図 1 原子炉格納容器内平均ウェット水素濃度</p> <p>図 2 原子炉格納容器内平均ドライ水素濃度</p>	<p>添付資料 7.2.4.13</p> <p>格納容器水素イグナイタの水素濃度低減効果について</p> <p>炉心損傷時に溶融炉心・コンクリート相互作用による水素発生の不確さを考慮し全炉心内のジルコニウムの 81%が水と反応するとした場合の原子炉格納容器内の水素発生挙動解析 (MAAP/GOTHIC 解析) より、原子炉格納容器内の水素濃度を 8 vol% (ウェット換算) 程度に抑えることができることを確認している。</p> <p>図 1 に格納容器水素イグナイタ (以下、「イグナイタ」という。) を設置した場合の原子炉格納容器内のウェット換算した水素濃度の推移、図 2 にイグナイタを設置した場合の原子炉格納容器内のドライ換算した水素濃度の推移を示す。同図より、イグナイタにより初期に原子炉格納容器内に大量発生する水素濃度のピークを抑える効果のあることが確認できる。</p> <p>【評価条件】</p> <ul style="list-style-type: none"> ・全炉心 81%ジルコニウム-水反応 (溶融炉心・コンクリート相互作用による水素発生の不確さを考慮) を仮定、水の放射線分解、金属腐食、ヒドラジンの放射線分解を考慮 ・大 LOCA+ECCS 注入失敗のケース ・原子炉格納容器内水素処理装置 5 個、イグナイタ 12 個設置 ・水素濃度 8 vol% (ウェット換算) で着火するとした。 <p>水素濃度が 8 vol% に到達した区画から順次燃焼することで水素濃度のピークは抑えられている。</p> <p>長期的に原子炉格納容器内水素処理装置での再結合により水素濃度が低下している。</p> <p>図 1 原子炉格納容器内平均ウェット水素濃度</p> <p>図 2 原子炉格納容器内平均ドライ水素濃度</p>	<p>添付資料 7.2.4.13</p> <p>設備名称の相違</p> <p>評価条件の相違 ・泊はMCCIの不確かさも考慮し最大限水素が発生する場合においてもイグナイタによりウェット 8 vol% に抑えられることを示している</p>

泊発電所 3 号炉 有効性評価 比較表

7.2.4. 水素燃焼 (添付資料 7.2.4.14 格納容器水素イグナイタの原子炉格納容器上部への追加設置)

赤字 : 設備、運用又は体制の相違 (設計方針の相違)
青字 : 記載箇所又は記載内容の相違 (記載方針の相違)
緑字 : 記載表現、設備名称の相違 (実質的な相違なし)

大飯発電所 3 / 4 号炉	泊発電所 3 号炉	相違理由																																		
<p>添付資料 3.4.15 イグナイタの原子炉格納容器上部への追加設置</p> <p>1. 原子炉格納容器内の水素混合について</p> <p>重大事故時に発生する原子炉格納容器内の水素の混合挙動については、原子炉格納容器内に発生する循環流によって原子炉格納容器内の水素濃度は均一化し、格納容器スプレイ等により水素の混合が促進されると考えている。</p> <p>格納容器スプレイが機能喪失した場合でも、原子炉格納容器内での水素の混合促進に寄与する対策として、①恒設代替低圧注水ポンプによる代替格納容器スプレイや②格納容器内自然対流冷却を整備(NUPEC 報告書^{*1}でも提言)しており、原子炉格納容器内の上下区画において水素の濃度差が生じる水素の成層化が起こる可能性は十分に低い。さらに、③静的触媒式水素再結合装置(以下、「PAR」)の発熱による流体の上昇流、④溶融炉心の下部キャビティ落下後の発生蒸気による上昇流、⑤蒸気発生器からの放熱等による上昇流により原子炉格納容器内全体での大きな循環流が形成されることにより、水素の濃度成層化が起こることはないと考える。(表1)</p> <p>表1 成層化に対する混合の効果</p> <table border="1"> <thead> <tr> <th>混合の要素</th><th>効果</th><th>備考</th></tr> </thead> <tbody> <tr> <td>①スプレイ</td><td>スプレイ又は格納容器内自然対流冷却の単独で格納容器全体が混合</td><td>NUPEC 報告(H15)^{*1}、 有効性評価 JNES 解析(H18)^{*2}</td></tr> <tr> <td>②格納容器内自然対流冷却</td><td></td><td></td></tr> <tr> <td>③PAR</td><td>混合に寄与</td><td></td></tr> <tr> <td>④蒸気流</td><td>加圧器気相部破断以外のケースでは、蒸気流によって格納容器全体が混合</td><td>NUPEC 報告(H15)^{*1}</td></tr> <tr> <td>⑤蒸気発生器からの放熱等</td><td>混合に寄与</td><td></td></tr> </tbody> </table> <p>*1 重要構造物安全評価(原子炉格納容器信頼性実証事業)に関する総括報告書(平成15年3月) *2 アクシデントマネジメント知識ベースに関する報告書(平成18年8月)</p> <p>2. 炉心損傷時に発生する水素への対応</p> <p>大飯3、4号機は、炉心の著しい損傷時の格納容器内の水素濃度低減を図るために、水素濃度制御設備として PAR 及びイグナイタの両者を原子炉格納容器内に設置している。</p> <p>PAR 及びイグナイタは、炉心損傷時に発生する水素が原子炉格納容器内で均一に混合するというこれまでの実証試験や解析の結果を踏まえ、水素の放出される位置や、主要な通過経路等を考慮した位置に設置し、原子炉格納容器内に発生した水素の効果的な除去ができるようにしている。</p> <p>その上で、さらなる安全性向上の観点から、万一、原子炉格納容器ドーム部に水素が滞留もしくは</p> <p>添付資料 7.2.4.14 格納容器水素イグナイタの原子炉格納容器上部への追加設置</p> <p>記載表現の相違</p> <p>設備名称の相違</p> <p>1. 原子炉格納容器内の水素混合について</p> <p>重大事故時に発生する原子炉格納容器内の水素の混合挙動については、原子炉格納容器内に発生する循環流によって原子炉格納容器内の水素濃度は均一化し、格納容器スプレイ等により水素の混合が促進されると考えている。</p> <p>格納容器スプレイが機能喪失した場合でも、原子炉格納容器内での水素の混合促進に寄与する対策として、①代替格納容器スプレイポンプによる代替格納容器スプレイや②格納容器内自然対流冷却を整備(NUPEC 報告書^{*1}でも提言)しており、原子炉格納容器内の上下区画において水素の濃度差が生じる水素の成層化が起こる可能性は十分に低い。さらに、③原子炉格納容器内水素処理装置(以下、「PAR」という。)の発熱による流体の上昇流、④溶融炉心の原子炉下部キャビティ落下後の発生蒸気による上昇流、⑤蒸気発生器からの放熱等による上昇流により原子炉格納容器内全体での大きな循環流が形成されることにより、水素の濃度成層化が起こることはないと考える(表1)。</p> <p>表1 成層化に対する混合の効果</p> <table border="1"> <thead> <tr> <th>混合の要素</th><th>効果</th><th>備考</th></tr> </thead> <tbody> <tr> <td>①スプレイ</td><td>スプレイ又は格納容器内自然対流冷却の単独で原子炉格納容器全体が混合</td><td>NUPEC 報告(H15)^{*1}、 有効性評価 JNES 解析(H18)^{*2}</td></tr> <tr> <td>②格納容器内自然対流冷却</td><td></td><td></td></tr> <tr> <td>③PAR</td><td>混合に寄与</td><td></td></tr> <tr> <td>④蒸気流</td><td>加圧器気相部破断以外のケースでは、蒸気流によって原子炉格納容器全体が混合</td><td>NUPEC 報告(H15)^{*1}</td></tr> <tr> <td>⑤蒸気発生器からの放熱等</td><td>混合に寄与</td><td></td></tr> </tbody> </table> <p>*1 重要構造物安全評価(原子炉格納容器信頼性実証事業)に関する総括報告書(平成15年3月) *2 アクシデントマネジメント知識ベースに関する報告書(平成18年8月)</p> <p>2. 炉心損傷時に発生する水素への対応</p> <p>泊3号炉は、炉心の著しい損傷時の原子炉格納容器内の水素濃度低減を図るために、水素濃度制御装置として PAR 及び格納容器水素イグナイタ(以下、「イグナイタ」という。)の両者を原子炉格納容器内に設置している。</p> <p>PAR 及びイグナイタは、炉心損傷時に発生する水素が原子炉格納容器内で均一に混合するというこれまでの実証試験や解析の結果を踏まえ、水素の放出される位置や、主要な通過経路等を考慮した位置に設置し、原子炉格納容器内に発生した水素の効果的な除去ができるようにしている。</p> <p>その上で、さらなる安全性向上の観点から、万一、原子炉格納容器ドーム部に水素が滞留もしくは</p>	混合の要素	効果	備考	①スプレイ	スプレイ又は格納容器内自然対流冷却の単独で格納容器全体が混合	NUPEC 報告(H15) ^{*1} 、 有効性評価 JNES 解析(H18) ^{*2}	②格納容器内自然対流冷却			③PAR	混合に寄与		④蒸気流	加圧器気相部破断以外のケースでは、蒸気流によって格納容器全体が混合	NUPEC 報告(H15) ^{*1}	⑤蒸気発生器からの放熱等	混合に寄与		混合の要素	効果	備考	①スプレイ	スプレイ又は格納容器内自然対流冷却の単独で原子炉格納容器全体が混合	NUPEC 報告(H15) ^{*1} 、 有効性評価 JNES 解析(H18) ^{*2}	②格納容器内自然対流冷却			③PAR	混合に寄与		④蒸気流	加圧器気相部破断以外のケースでは、蒸気流によって原子炉格納容器全体が混合	NUPEC 報告(H15) ^{*1}	⑤蒸気発生器からの放熱等	混合に寄与	
混合の要素	効果	備考																																		
①スプレイ	スプレイ又は格納容器内自然対流冷却の単独で格納容器全体が混合	NUPEC 報告(H15) ^{*1} 、 有効性評価 JNES 解析(H18) ^{*2}																																		
②格納容器内自然対流冷却																																				
③PAR	混合に寄与																																			
④蒸気流	加圧器気相部破断以外のケースでは、蒸気流によって格納容器全体が混合	NUPEC 報告(H15) ^{*1}																																		
⑤蒸気発生器からの放熱等	混合に寄与																																			
混合の要素	効果	備考																																		
①スプレイ	スプレイ又は格納容器内自然対流冷却の単独で原子炉格納容器全体が混合	NUPEC 報告(H15) ^{*1} 、 有効性評価 JNES 解析(H18) ^{*2}																																		
②格納容器内自然対流冷却																																				
③PAR	混合に寄与																																			
④蒸気流	加圧器気相部破断以外のケースでは、蒸気流によって原子炉格納容器全体が混合	NUPEC 報告(H15) ^{*1}																																		
⑤蒸気発生器からの放熱等	混合に寄与																																			

泊発電所 3 号炉 有効性評価 比較表

7.2.4. 水素燃焼 (添付資料 7.2.4.14 格納容器水素イグナイタの原子炉格納容器上部への追加設置)

赤字 : 設備、運用又は体制の相違 (設計方針の相違)
青字 : 記載箇所又は記載内容の相違 (記載方針の相違)
緑字 : 記載表現、設備名称の相違 (実質的な相違なし)

大飯発電所 3 / 4 号炉				泊発電所 3 号炉			相違理由
成層化した場合においても、確実に処理できるよう、原子炉格納容器ドーム部頂部付近にイグナイタ 2 個（うち予備 1 個）を追加設置する。				成層化した場合においても、確実に処理できるよう、今回、さらなる安全性の向上を目的にイグナイタを原子炉格納容器ドーム部頂部付近に 2 個（うち予備 1 個）を追加設置する。（図 1）			
<p>3. イグナイタの追加設置による効果について</p> <p>原子炉格納容器内ドーム部の水素成層化の可能性に対応するため、原子炉格納容器ドーム部の頂部付近に 2 個（うち予備 1 個）のイグナイタを追加設置する。</p> <p>具体的な設置位置は、原子炉格納容器のスプレーリングのサポートパッドを利用することから、原子炉格納容器ドーム部の最も高い位置から少し低い位置に設置する。（図 1）</p> <p>イグナイタはウェット水素濃度 8 vol%以下で水素を燃焼させる性能を有しており、一般的に水素燃焼時の火炎伝播は、水素濃度が約 4 vol%から 6 vol%では上方伝播のみ、約 6 vol%から 8 vol%では上方と水平方向に伝播、約 8 vol%以上で下方へも伝播するようになる。</p> <p>追加設置するイグナイタは、原子炉格納容器内ドーム部での水素の滞留、成層化を想定することから、できるだけ高いドーム部頂部付近とし、かつウェット水素濃度 8 vol%以下の低い水素濃度での燃焼による火炎の上方伝播によって成層化する水素を確実に処理できるよう最頂部から少し低い位置としている。</p> <p>なお、原子炉格納容器の健全性に影響を及ぼす水素爆発防止に対しては、今後も解析方法の不確定性や海外の技術動向も踏まえて、さらなる安全性向上のための継続的な改善検討に取り組んでいく。</p>			<p>3. イグナイタの追加設置による効果について</p> <p>原子炉格納容器内ドーム部の水素成層化の可能性に対応するため、原子炉格納容器ドーム部の頂部付近に 2 個（うち予備 1 個）のイグナイタを追加設置する。</p> <p>具体的な設置位置は、原子炉格納容器のスプレーリングのサポートパッドを利用することから、原子炉格納容器ドーム部の最も高い位置から少し低い位置に設置する（図 1）。</p> <p>イグナイタはウェット水素濃度 8 vol%以下で水素を燃焼させる性能を有しており、一般的に水素燃焼時の火炎伝播は、水素濃度が約 4 vol%から可燃領域に入り、約 4 vol%から 6 vol%では上方伝播のみ、約 6 vol%から 8 vol%では上方と水平方向に伝播、約 8 vol%以上で下方へも伝播するようになる。</p> <p>追加設置するイグナイタは、原子炉格納容器内ドーム部での水素の滞留、成層化を想定することから、できるだけ高いドーム部頂部付近とし、かつウェット水素濃度 8 vol%以下の低い水素濃度での燃焼による火炎の上方伝播によって成層化する水素を確実に処理できるよう最頂部から少し低い位置としている。</p> <p>なお、原子炉格納容器の健全性に影響を及ぼす水素爆発防止に対しては、今後も解析方法の不確定性や海外の技術動向も踏まえて、さらなる安全性向上のための継続的な改善検討に取り組んでいく。</p>				

イグナイタ設置場所	水素放出等の想定			設置個数
	放出 ^{#1}	隣接部 又は 通過経路 ^{#2}	想定事項	
加圧器逃がしタンク近傍	○		加圧器逃がしタンクラブチャーディスクからの水素放出	1
ループ基礎室外周部		○	加圧器逃がしタンク近傍からの水素の流入	3
加圧器室	○		加圧器室内の破断口からの水素放出	1
加圧器室外上部		○	加圧器室からの水素の流入 上部ドーム部への万一の水素蓄積	1
各ループ室	○		RCS 配管の破断口からの水素放出	4
炉内核計装シンブル配管室入口扉近傍	○	○	ICIS シンブル配管室入口扉からの水素放出 加圧器逃がしタンク近傍からの水素の流入	1
炉内核計装装置のシールテープ近傍	○		ICIS コンジット床面貫通部からの水素放出	1
原子炉格納容器ドーム部の頂部付近			仮に原子炉格納容器ドーム部頂部に水素が滞留もしくは成層化することを想定	2 ^{#3}

* : 「放出」については重大事故等の事象発生直後に水素が発生すると想定される箇所を示し、「隣接部又は通過経路」については水素発生以降時間が経過した後に水素が拡散すると想定される箇所を示す。

* : 2 個のうち 1 個予備

表 2 イグナイタの設置場所及び水素放出等の想定

イグナイタ設置場所	水素放出等の想定			設置個数
	放出 ^{#1}	隣接部又は 通過経路 ^{#1}	想定事項	
加圧器逃がしタンク近傍	○		加圧器逃がしタンクラブチャーディスクからの水素放出	1
ループ基礎室外周部		○	加圧器逃がしタンク近傍からの水素の流入	3
加圧器室	○		加圧器室内の破断口からの水素放出	1
加圧器室外上部		○	加圧器室からの水素の流入 上部ドーム部への万一の水素蓄積	1
各ループ室	○		RCS 配管の破断口からの水素放出	3
ICIS シンブル配管室入口扉近傍	○	○	ICIS シンブル配管室入口扉からの水素放出 加圧器逃がしタンク近傍からの水素の流入	1
ICIS シンブル配管のCV一般部から ICIS シンブル配管室への床貫通部	○		ICIS コンジット床面貫通部からの水素放出	1
原子炉格納容器ドーム部の頂部付近			仮に原子炉格納容器ドーム部頂部に水素が滞留もしくは成層化することを想定	2 ^{#2}

* 1 : 「放出」については重大事故等の事象発生直後に水素が発生すると想定される箇所を示し、「隣接部又は通過経路」については水素発生以降時間が経過した後に水素が拡散すると想定される箇所を示す。

* 2 : 2 個のうち 1 個予備

泊発電所 3 号炉 有効性評価 比較表

7.2.4. 水素燃焼 (添付資料 7.2.4.14 格納容器水素イグナイタの原子炉格納容器上部への追加設置)

赤字 : 設備、運用又は体制の相違（設計方針の相違）
 青字 : 記載箇所又は記載内容の相違（記載方針の相違）
 緑字 : 記載表現、設備名称の相違（実質的な相違なし）

大飯発電所 3 / 4 号炉	泊発電所 3 号炉	相違理由

図 1 大飯 3 号機 イグナイタ配置図

枠囲いの内容は、機密に属しますので公開できません。

□ : 枠囲いの内容は機密情報に属しますので公開できません。

泊発電所 3 号炉 有効性評価 比較表

7.2.4. 水素燃焼 (添付資料 7.2.4.15 解析コード及び解析条件の不確かさの影響評価について (水素燃焼))

赤字 : 設備、運用又は体制の相違（設計方針の相違）
 青字 : 記載箇所又は記載内容の相違（記載方針の相違）
 緑字 : 記載表現、設備名称の相違（実質的な相違なし）

大飯発電所 3 / 4 号炉	女川原子力発電所 2 号炉	泊発電所 3 号炉	相違理由
<p>添付資料 3.4.16 解析コード及び解析条件の不確かさの影響評価について (水素燃焼) 「水素燃焼」における解析コード及び解析条件の不確かさの影響評価を表 1 から表 3 に示す。 なお、枠囲みの範囲は機密に係る事項のため、公開することはできません。</p>	<p>添付資料 3.4.4 解析コード及び解析条件の不確かさの影響評価について (水素燃焼)</p>	<p>添付資料 7.2.4.15 解析コード及び解析条件の不確かさの影響評価について (水素燃焼) 評価事故シーケンス「大破断 LOCA 時に低圧注入機能及び高圧注入機能が喪失する事故」における解析コード及び解析条件の不確かさの影響評価を表 1 から表 3 に示す。</p>	

泊発電所 3号炉 有効性評価 比較表

7.2.4. 水素燃焼 (添付資料 7.2.4.15 解析コード及び解析条件の不確かさの影響評価について (水素燃焼))

赤字: 設備、運用又は体制の相違 (設計方針の相違)
青字: 記載箇所又は記載内容の相違 (記載方針の相違)
緑字: 記載表現、設備名称の相違 (実質的な相違なし)

表1 解析コードにおける重要現象の不確かさが運転員等身性時間及び評価項目となるパラメータに与える影響(1/3)(MAAP)

女川原子力発電所 2号炉

泊発電所 3号炉 有効性評価 比較表

7.2.4. 水素燃焼 (添付資料 7.2.4.15 解析コード及び解析条件の不確かさの影響評価について (水素燃焼))

赤字：設備、運用又は体制の相違（設計方針の相違）
青字：記載箇所又は記載内容の相違（記載方針の相違）
緑字：記載表現、設備名称の相違（実質的な相違なし）

表1 解析コードにおける重要現象の不確からしさが運用員等操作時間及び評価項目となるパラメータに与える影響(2/3)(MAAP)

表1 解析コードにおける重要現象の不確かさが遮蔽員等操作時間及び評価項目となるパラメータに与える影響(2/3)(MAP)

泊発電所 3号炉 有効性評価 比較表

7.2.4. 水素燃焼 (添付資料 7.2.4.15 解析コード及び解析条件の不確かさの影響評価について (水素燃焼))

表1 解析コードにおける重要現象の不確かさが運転員等操作時間及び評価項目となるパラメータに与える影響(3/3) (MAP)

分類	評価項目	結果モード	評価項目	結果モード
原子炉運転室	操作時間	操作モード	操作時間	操作モード
原子炉運転室 サブディスプレイ 表示モード	MFC(操作時間) 操作時間(操作時間に与える影響)	操作時間(操作時間に与える影響)	MFC(操作時間) 操作時間(操作時間に与える影響)	操作時間(操作時間に与える影響)
操作モード	操作時間(操作時間に与える影響)	操作時間(操作時間に与える影響)	操作時間(操作時間に与える影響)	操作時間(操作時間に与える影響)

女川原子力発電所2号炉

表1 解析コードにおける重要現象の不確かさが運転員等操作時間及び評価項目となるパラメータに与える影響(3/3) (MAP)

分類	評価項目	結果モード	評価項目	結果モード
原子炉運転室 サブディスプレイ 表示モード	操作時間	操作モード	操作時間	操作モード
操作モード	操作時間(操作時間に与える影響)	操作時間(操作時間に与える影響)	操作時間(操作時間に与える影響)	操作時間(操作時間に与える影響)
操作モード	操作時間(操作時間に与える影響)	操作時間(操作時間に与える影響)	操作時間(操作時間に与える影響)	操作時間(操作時間に与える影響)

泊発電所3号炉

相違理由

在於此，我們可以說，這就是「中國化」的「新儒學」。

赤字：設備、運用又は体制の相違（設計方針の相違）
青字：記載箇所又は記載内容の相違（記載方針の相違）
緑字：記載表現、設備名称の相違（実質的な相違なし）

泊発電所 3号炉 有効性評価 比較表

7.2.4. 水素燃焼 (添付資料 7.2.4.15 解析コード及び解析条件の不確かさの影響評価について (水素燃焼))

赤字: 設備、運用又は体制の相違（設計方針の相違）
青字: 記載箇所又は記載内容の相違（記載方針の相違）
緑字: 記載表現、設備名称の相違（実質的な相違なし）

解説コ-1「ビビッド表現の不思議」は、必ず御用紙にてお読みください。(GOTHIC)

分類	基準名	解説モデル	操作名	操作名等級(0.00~1.00)における参考値
操作	基準名	操作名モデル する機能を実現する機能	不適切な操作	操作名等級(0.00~1.00)における参考値
NHPCの輸入の輸送	NHPCの輸入の輸送	NHPCの輸入の輸送操作は、主に、水槽内に生息する魚種を販売するところの運送である。主に、本操作は、マーケット等に、水槽内に生息する魚種を販売するところの運送である。	港構造に最も近い位置において、不適切な操作として扱われる。	港構造に最も近い位置において、不適切な操作を行なう。
スキンシング スキン	スキンシング スキン	スキンシング操作は、本操作は、水槽内に生息する魚種を販売するところの運送である。	港構造に最も近い位置において、不適切な操作を行なう。	港構造に最も近い位置において、不適切な操作を行なう。
本操作モデル	本操作モデル	本操作モデルは、本操作は、水槽内に生息する魚種を販売するところの運送である。	港構造に最も近い位置において、不適切な操作を行なう。	港構造に最も近い位置において、不適切な操作を行なう。
スプリット合流	スプリット合流	スプリット合流操作は、本操作は、水槽内に生息する魚種を販売するところの運送である。	港構造に最も近い位置において、不適切な操作を行なう。	港構造に最も近い位置において、不適切な操作を行なう。
多相流モデル	多相流モデル	多相流モデルは、本操作は、水槽内に生息する魚種を販売するところの運送である。	港構造に最も近い位置において、不適切な操作を行なう。	港構造に最も近い位置において、不適切な操作を行なう。
操作の操作手筋	操作の操作手筋	操作の操作手筋は、主に、水槽内に生息する魚種を販売するところの運送である。	港構造に最も近い位置において、不適切な操作を行なう。	港構造に最も近い位置において、不適切な操作を行なう。

女川原子力発電所 2号炉

女川原子力発電所 2号炉

図表2 解析コードにおける重要現象の小節が選択肢と評価項目となるパラメータに与える影響 (GOTHIC)

泊発電所3号炉

相違理由

分類	申請年份	新規ニードル 新規ニードル	下塗ニードル 新規ニードル	新規ニードル用にかかる費用 新規ニードル用にかかる費用
既存機器の改修	2017年	新規ニードル 新規ニードル と並んで、既存機器の改修 と並んで、既存機器の改修 と並んで、既存機器の改修	既存機器の改修 既存機器の改修 既存機器の改修	既存機器の改修 既存機器の改修 既存機器の改修
新規機器の導入	2017年	新規ニードル 新規ニードル ニードルディスク等 ニードルディスク等	新規ニードル 新規ニードル ニードルディスク等 ニードルディスク等	新規ニードル 新規ニードル ニードルディスク等 ニードルディスク等
新規機器の導入	2017年	新規ニードル 新規ニードル 新規ニードル 新規ニードル	新規ニードル 新規ニードル 新規ニードル 新規ニードル	新規ニードル 新規ニードル 新規ニードル 新規ニードル
既存機器の改修	2017年	新規ニードル 新規ニードル 新規ニードル 新規ニードル	新規ニードル 新規ニードル 新規ニードル 新規ニードル	新規ニードル 新規ニードル 新規ニードル 新規ニードル

泊発電所3号炉 有効性評価 比較表

7.2.4. 水素燃焼 (添付資料 7.2.4.15 解析コード及び解析条件の不確かさの影響評価について (水素燃焼))

赤字: 設備、運用又は体制の相違 (設計方針の相違)
青字: 記載箇所又は記載内容の相違 (記載方針の相違)
緑字: 記載表現、設備名称の相違 (実質的な相違なし)

大飯発電所3／4号炉

女川原子力発電所2号炉

泊発電所3号炉

相違理由

項目	解説条件 解説条件(初期条件、事故条件)の 解説条件	運転員等操作時間 運転員等操作時間	運転員等操作時間に与える影響	評価項目となるパラメータに与える影響
出力挙動	100%出力 100%出力(1MW)=1.0G	100%出力(1MW)	運転員等操作時間と、運転員等操作時間に与える影響	運転員等操作時間に与える影響
1. 社合制御圧力	15.4(MPa)(初期)	15.4(MPa)(初期)	運転員等操作時間と、運転員等操作時間に与える影響	運転員等操作時間と、運転員等操作時間に与える影響
初期条件	300.3±2°C PWR運転時 PWR運転時 (ナウルトルクモニタ) (ナウルトルクモニタ)	300.3±2°C 300.3±2°C 運転員等操作時間	運転員等操作時間と、運転員等操作時間に与える影響	運転員等操作時間と、運転員等操作時間に与える影響
蒸気発生器 水素燃焼	運転員等操作時間 運転員等操作時間	運転員等操作時間 運転員等操作時間	運転員等操作時間と、運転員等操作時間に与える影響	運転員等操作時間と、運転員等操作時間に与える影響

表1 解析条件を最適条件とした場合の運転員等操作時間及び評価項目となるパラメータに与える影響 (水素燃焼)

項目	解析条件 (初期条件、事故条件) の 解析条件 解析条件	運転員等操作時間 運転員等操作時間	条件設定の考え方 条件設定の考え方	運転員等操作時間に与える影響 運転員等操作時間に与える影響	評価項目となるパラメータに与える影響 評価項目となるパラメータに与える影響
初期 瓶素濃度 条件	2.5%v/v 2.5%v/v以下	2.5%v/v以下	基準濃度として想定	運転員等操作時間と、運転員等操作時間に与える影響	運転員等操作時間と、運転員等操作時間に与える影響
事故 条件	瓶中のジルコニア水素発生 量による水素発生 量 反応による水素発生 量	水素：0.06分子/100eV 水素：0.03分子/100eV 水素：0.06分子/100eV 水素：0.03分子/100eV	考慮する 考慮する 考慮する 考慮する	運転員等操作時間と、運転員等操作時間に与える影響	運転員等操作時間と、運転員等操作時間に与える影響

表3 解析条件を最適条件とした場合の運転員等操作時間及び評価項目となるパラメータに与える影響 (1／4)

項目	解析条件 (初期条件、事故条件) の 解析条件 解析条件	運転員等操作時間 運転員等操作時間	条件設定の考え方 条件設定の考え方	運転員等操作時間に与える影響 運転員等操作時間に与える影響	評価項目となるパラメータに与える影響 評価項目となるパラメータに与える影響
反応熱	100%×2.652(MW) (初期)	100%×2.652(MW)	運転員等操作時間と、運転員等操作時間に与える影響	運転員等操作時間と、運転員等操作時間に与える影響	運転員等操作時間と、運転員等操作時間に与える影響
1. 余分熱出力	15.4(MPa) (初期)	300.6±2°C (初期)	運転員等操作時間 運転員等操作時間	運転員等操作時間と、運転員等操作時間に与える影響	運転員等操作時間と、運転員等操作時間に与える影響
2. 余分熱 水素燃焼	300.6±2°C (初期)	300.6±2°C (初期)	運転員等操作時間 運転員等操作時間	運転員等操作時間と、運転員等操作時間に与える影響	運転員等操作時間と、運転員等操作時間に与える影響

泊発電所 3号炉 有効性評価 比較表

7.2.4. 水素燃焼 (添付資料 7.2.4.15 解析コード及び解析条件の不確かさの影響評価について (水素燃焼))

赤字: 設備、運用又は体制の相違（設計方針の相違）
青字: 記載箇所又は記載内容の相違（記載方針の相違）
緑字: 記載表現、設備名称の相違（実質的な相違なし）

表3 解析条件を最適条件とした場合の運転等製作時間及び評価項目となるパラメータに与える影響(2/4)

項目	操作手順 （操作手順・操作条件）の手引き書	操作手順の書き方	操作手順の記載方	評議事項となるべき一票に立ち込む影響
操作手順	操作手順書	操作手順書	操作手順書	操作手順書による評議事項となるべき一票に立ち込む影響
操作手順書	操作手順書	操作手順書	操作手順書	操作手順書による評議事項となるべき一票に立ち込む影響
操作手順書	操作手順書	操作手順書	操作手順書	操作手順書による評議事項となるべき一票に立ち込む影響

女川原子力発電所 2号炉

泊発電所 3号炉 有効性評価 比較表

7.2.4. 水素燃焼 (添付資料 7.2.4.15 解析コード及び解析条件の不確かさの影響評価について (水素燃焼))

赤字：設備、運用又は体制の相違（設計方針の相違）
青字：記載箇所又は記載内容の相違（記載方針の相違）
緑字：記載表現、設備名称の相違（実質的な相違なし）

表3 解析条件を最適条件とした場合の運転回数と操作時間及び評価項目となるパラメータに与える影響(3/4)

大飯発電所3／4号炉			
項目	規格値(±標準偏差)の範囲	測定値	測定結果の考え方
酸素量 内筒上部	4.0±0.04mol/m ³ (±0.4%許容)	4.0±0.04mol/m ³ (±0.4%許容)	酸素量は規格値±標準偏差の範囲内である。
酸素量 内筒下部	26.0±0.1mol/m ³ (±0.4%許容)	26.0±0.1mol/m ³ (±0.4%許容)	酸素量は規格値±標準偏差の範囲内である。
炉内水温 内筒表面	143.4℃ (±範囲±1%) ±1.5%許容 (±0.7%) ±正0.70±0.05MPa±0.01	143.4℃ (±範囲±1%) ±1.5%許容 (±0.7%) ±正0.70±0.05MPa±0.01	炉内水温は規格値±標準偏差の範囲内である。
炉内水温 外筒表面	84.0℃ (±範囲±1%) ±1.5%許容 (±0.7%) ±正0.70±0.05MPa±0.01	84.0℃ (±範囲±1%) ±1.5%許容 (±0.7%) ±正0.70±0.05MPa±0.01	炉内水温は規格値±標準偏差の範囲内である。
炉内水温 内筒底部	84.0℃ (±範囲±1%) ±1.5%許容 (±0.7%) ±正0.70±0.05MPa±0.01	84.0℃ (±範囲±1%) ±1.5%許容 (±0.7%) ±正0.70±0.05MPa±0.01	炉内水温は規格値±標準偏差の範囲内である。
炉内水温 外筒底部	84.0℃ (±範囲±1%) ±1.5%許容 (±0.7%) ±正0.70±0.05MPa±0.01	84.0℃ (±範囲±1%) ±1.5%許容 (±0.7%) ±正0.70±0.05MPa±0.01	炉内水温は規格値±標準偏差の範囲内である。
炉内水温 内筒上部	84.0℃ (±範囲±1%) ±1.5%許容 (±0.7%) ±正0.70±0.05MPa±0.01	84.0℃ (±範囲±1%) ±1.5%許容 (±0.7%) ±正0.70±0.05MPa±0.01	炉内水温は規格値±標準偏差の範囲内である。
炉内水温 外筒上部	84.0℃ (±範囲±1%) ±1.5%許容 (±0.7%) ±正0.70±0.05MPa±0.01	84.0℃ (±範囲±1%) ±1.5%許容 (±0.7%) ±正0.70±0.05MPa±0.01	炉内水温は規格値±標準偏差の範囲内である。
炉内水温 内筒下部	84.0℃ (±範囲±1%) ±1.5%許容 (±0.7%) ±正0.70±0.05MPa±0.01	84.0℃ (±範囲±1%) ±1.5%許容 (±0.7%) ±正0.70±0.05MPa±0.01	炉内水温は規格値±標準偏差の範囲内である。
炉内水温 外筒下部	84.0℃ (±範囲±1%) ±1.5%許容 (±0.7%) ±正0.70±0.05MPa±0.01	84.0℃ (±範囲±1%) ±1.5%許容 (±0.7%) ±正0.70±0.05MPa±0.01	炉内水温は規格値±標準偏差の範囲内である。

女川原子力発電所 2号炉

泊発電所 3号炉 有効性評価 比較表

7.2.4. 水素燃焼 (添付資料 7.2.4.15 解析コード及び解析条件の不確かさの影響評価について (水素燃焼))

赤字: 設備、運用又は体制の相違（設計方針の相違）
青字: 記載箇所又は記載内容の相違（記載方針の相違）
緑字: 記載表現、設備名称の相違（実質的な相違なし）

表3 解析条件を最適条件とした場合の運転員等操作時間及び評価項目となるパラメータに与える影響(4/4)

特徴3)の範囲は技術に係る事項ですので公開することはできません。

発電所 3 号炉 有効性評価 比較表

7.2.4. 水素燃焼 (添付資料 7.2.4.15 解析コー

女川原子力発電所 2号炉

泊発電所3号炉

相違理由

図3 解析条件を最確条件とした場合の運転員等操作時間及び評価項目となるパラメータに与える影響 (4/4)

泊発電所3号炉 有効性評価 比較表

7.2.4 水素燃焼（添付資料3.4.1 格納容器スプレイ動作に伴う急減圧による原子炉格納容器への影響について）

赤字：設備、運用又は体制の相違（設計方針の相違）
 青字：記載箇所又は記載内容の相違（記載方針の相違）
 緑字：記載表現、設備名称の相違（実質的な相違なし）

大飯発電所3／4号炉	泊発電所3号炉	相違理由
<p>添付資料3.4.1 格納容器スプレイ動作に伴う急減圧による原子炉格納容器への影響について</p> <p>全炉心内のジルコニウム量の100%が水と反応して水素が発生すると仮定した場合、全ての水素が燃焼する際に消費される酸素の量は、最大でも原子炉格納容器内の非凝縮性気体の約10%である。その後、格納容器スプレイにより水蒸気が全て凝縮すると仮定すると、原子炉格納容器の内圧は初期値約0.101MPa[abs]から約0.091MPa[abs]に低下する。 (水素以外の非凝縮性気体の生成は考慮せず、原子炉格納容器雰囲気温度50°Cで評価。) 大飯3、4号機には真空破壊弁は設置されていないが、原子炉格納容器圧力が約█████Pa[abs]まで低下することが設計上許容されることから、格納容器スプレイ動作に伴う急減圧による原子炉格納容器の健全性への影響はないと考えられる。</p> <p style="text-align: right;">枠開きの内容は、機密に属しますので公開できません。</p>	<p>【該当資料無し】</p>	<p>※大飯ではCVに真空破壊弁が設置されていないため、CVスプレイ動作に伴う急減圧によるCVへの影響を考察しているが、泊では真空逃がし装置が設置されているため本資料は作成していない（伊方と同じ様）</p>

泊発電所 3号炉審査資料	
資料番号	SAE725-9 r. 10. 0
提出年月日	令和5年6月30日

泊発電所 3号炉
重大事故等対策の有効性評価
比較表

7.2.5 溶融炉心・コンクリート相互作用

令和5年6月
北海道電力株式会社

[REDACTED] 枠囲みの内容は機密情報に属しますので公開できません。

泊発電所3号炉 有効性評価 比較表

灰色：女川2号炉の記載のうち、BWR固有の設備や対応手段であり、泊3号炉と比較対象とならない記載内容

赤字：設備、運用又は体制の相違（設計方針の相違）
青字：記載箇所又は記載内容の相違（記載方針の相違）
緑字：記載表現、設備名称の相違（実質的な相違なし）

7.2.5 溶融炉心・コンクリート相互作用

大飯発電所3／4号炉	高浜発電所3／4号炉	女川原子力発電所2号炉	泊発電所3号炉	相違理由
------------	------------	-------------	---------	------

比較結果等をとりまとめた資料

1. 先行審査実績等を踏まえた泊3号炉まとめ資料の変更状況(2017年3月以降)

1-1) 設計方針・運用・体制などを変更し、まとめ資料を修正した箇所と理由

- a. 大飯3／4号炉まとめ資料と比較した結果、変更したもの：なし
- b. 女川2号炉まとめ資料と比較した結果、変更したもの：なし
- c. 他社審査会合の指摘事項等を確認した結果、変更したもの：なし
- d. 当社が自主的に変更したもの：なし

1-2) 設計方針・運用・体制を変更するものではないが、まとめ資料の記載の充実を行った箇所と理由

- a. 大飯3／4号炉まとめ資料と比較した結果、変更したもの：なし
- b. 女川2号炉まとめ資料と比較した結果、変更したもの：なし
- c. 他社審査会合の指摘事項等を確認した結果、変更したもの：なし
- d. 当社が自主的に変更したもの：なし

1-3) バックフィット関連事項

なし

2. 大飯3／4号炉・高浜3／4号炉まとめ資料との比較結果の概要

2-1) 比較表の構成について

- ・泊と大飯、高浜で記載が異なる箇所は右上凡例に従い色付けをし、「相違理由」欄に相違理由を記載しているプラントを【大飯】【高浜】と記載している

2-2) 泊3号炉の特徴について

- ・泊3号は他のPWR3ループプラントに比べて以下の特徴がある（添付資料6.5.8）
 - 補助給水流量が小さい：「全交流動力電源喪失」では、蒸気発生器保有水量の回復が遅くなる傾向がある
 - 余熱除去ポンプの注入特性（高圧時の注入流量が若干多い）：「ECCS注水機能喪失（2インチ破断）」では、燃料が露出せず終始冠水状態となる
 - CV関連パラメータ（CV自由体積が若干小さく、格納容器再循環ユニットの除熱特性も若干低い）：原子炉格納容器圧力及び原子炉格納容器雰囲気温度が高めに推移する傾向がある

2-3) 有効性評価の主な項目（1／2）

項目	大飯発電所3／4号炉	高浜発電所3／4号炉	泊発電所3号炉	相違理由
格納容器破損モードの特徴	LOCA、過渡事象又は全交流動力電源喪失時に格納容器スプレイ注入機能、ECCS再循環機能等の安全機能喪失が重畳して、原子炉容器内の溶融炉心が原子炉下部キャビティへ流出し、緩和措置がとられない場合には、溶融炉心からの崩壊熱や化学反応によって、原子炉下部キャビティのコンクリートが侵食され、原子炉格納容器の構造部材の支持機能が喪失し、原子炉格納容器の破損に至る。	LOCA、過渡事象又は全交流動力電源喪失時に格納容器スプレイ機能、ECCS再循環機能等の安全機能喪失が重畳して、原子炉容器内の溶融炉心が原子炉格納容器内の床上へ流出し、緩和措置がとられない場合には、溶融炉心からの崩壊熱や化学反応によって、原子炉格納容器床のコンクリートが侵食され、原子炉格納容器の構造部材の支持機能が喪失し、原子炉格納容器の破損に至る。	発電用原子炉の運転中に運転時の異常な過渡変化、原子炉冷却材喪失事故（LOCA）又は全交流動力電源喪失が発生するとともに、格納容器スプレイ注入機能、ECCS再循環機能等の安全機能の喪失が重畳する。このため、緩和措置が取られない場合には、原子炉容器内の溶融炉心が原子炉格納容器内へ流れ出し、溶融炉心からの崩壊熱や化学反応によって、原子炉下部キャビティのコンクリートが侵食され、原子炉格納容器の構造部材の支持機能を喪失し、原子炉格納容器の破損に至る。	相違なし (記載表現は異なるが、格納容器破損モードの特徴としては同等)

泊発電所3号炉 有効性評価 比較表

灰色：女川2号炉の記載のうち、BWR
固有の設備や対応手段であり、泊3
号炉と比較対象とならない記載内容

赤字：設備、運用又は体制の相違（設計方針の相違）
青字：記載箇所又は記載内容の相違（記載方針の相違）
緑字：記載表現、設備名称の相違（実質的な相違なし）

7.2.5 溶融炉心・コンクリート相互作用

大飯発電所3／4号炉	高浜発電所3／4号炉	女川原子力発電所2号炉	泊発電所3号炉	相違理由

2-3) 有効性評価の主な項目（2／2）

項目	大飯発電所3／4号炉	高浜発電所3／4号炉	泊発電所3号炉	相違理由
格納容器破損防止対策	<p>原子炉格納容器の破損を防止し、かつ、放射性物質が異常な水準で敷地外へ放出されることを防止するため、原子炉下部キャビティのコンクリート侵食及びこれに伴う非凝縮性ガスを抑制する観点から、恒設代替低圧注水ポンプを用いた代替格納容器スプレイにより原子炉下部キャビティへ注水する対策を整備する。</p> <p>また、その後の原子炉格納容器圧力及び温度の上昇を抑制する観点から、恒設代替低圧注水ポンプ及び可搬式代替低圧注水ポンプによる代替格納容器スプレイ、並びに格納容器再循環ユニットによる格納容器内自然対流冷却を整備する。</p>	<p>原子炉格納容器の破損を防止し、かつ、放射性物質が異常な水準で敷地外へ放出されることを防止するため、原子炉格納容器床のコンクリート侵食及びこれに伴う非凝縮性ガスを抑制する観点から、恒設代替低圧注水ポンプを用いた代替格納容器スプレイによって原子炉下部キャビティへ注水する対策を整備する。</p> <p>また、その後の原子炉格納容器圧力及び温度の上昇を抑制する観点から、恒設代替低圧注水ポンプ及び可搬式代替低圧注水ポンプによる代替格納容器スプレイ、並びに格納容器再循環ユニットによる格納容器内自然対流冷却を整備する。</p>	<p>原子炉格納容器の破損を防止し、かつ、放射性物質が異常な水準で敷地外へ放出されることを防止するため、原子炉下部キャビティのコンクリート侵食及びこれに伴う非凝縮性ガスの発生を抑制する観点から、代替格納容器スプレイポンプを用いた代替格納容器スプレイにより原子炉下部キャビティへ注水する対策を整備する。</p> <p>また、その後の原子炉格納容器圧力及び温度の上昇を抑制する観点から、代替格納容器スプレイポンプによる代替格納容器スプレイ及び格納容器再循環ユニットによる格納容器内自然対流冷却を整備する。</p>	<p>設計の相違</p> <ul style="list-style-type: none"> 代替格納容器スプレイに関しては、大飯、高浜は燃料取替用水タンク（ピット）と海水を水源とする2種類のポンプを使用するが、泊は燃料取替用水ピットを水源とする代替格納容器スプレイポンプを使用し、燃料取替用水ピットが枯渇する前までに海水を補給することでスプレイを継続する
評価事故シーケンス	「大破断LOCA時に低圧注入機能、高圧注入機能及び格納容器スプレイ注入機能が喪失する事故」			相違なし
有効性評価の結果 (評価項目等)	<p>ベースマット侵食深さ：代替格納容器スプレイにより原子炉下部キャビティに落下した溶融炉心を冷却することで、ベースマット侵食深さは約5mmにとどまることから、ベースマットに有意な侵食は発生していない。</p>	<p>ベースマット侵食深さ：代替格納容器スプレイによる原子炉下部キャビティに落下した溶融炉心を冷却することで、ベースマットに有意な侵食は発生していない。</p>	<p>ベースマット侵食深さ：代替格納容器スプレイにより原子炉下部キャビティに落下した溶融炉心を冷却することで、ベースマット侵食深さは床面で約3mm、壁面で約3mmにとどまることから、ベースマットに有意な侵食は発生していない。</p>	<p>解析結果の相違</p> <ul style="list-style-type: none"> 高浜は具体的な評価値は記載していないが同程度の侵食深さ 泊は女川同様壁面の侵食深さも記載

2-4) 主な相違

- 泊、大飯、高浜のプラント設備の相違以外で、上記2-3)に記載した事項以外の主な相違はない

2-5) 相違理由の省略

相違理由	大飯発電所3／4号炉	高浜発電所3／4号炉	泊発電所3号炉	相違が生じている理由
設備名称の相違	静的触媒式水素再結合装置	静的触媒式水素再結合装置	原子炉格納容器内水素処理装置	—
	原子炉格納容器水素燃焼装置	原子炉格納容器水素燃焼装置	格納容器水素イグナイタ	—
	恒設代替低圧注水ポンプ	恒設代替低圧注水ポンプ	代替格納容器スプレイポンプ	—
	大容量ポンプ	大容量ポンプ	可搬型大型送水ポンプ車	—
記載表現の相違	原子炉下部キャビティ	原子炉格納容器床	原子炉下部キャビティ	(大飯と同様)

泊発電所3号炉 有効性評価 比較表

灰色：女川2号炉の記載のうち、BWR固有の設備や対応手段であり、泊3号炉と比較対象とならない記載内容

赤字：設備、運用又は体制の相違（設計方針の相違）
青字：記載箇所又は記載内容の相違（記載方針の相違）
緑字：記載表現、設備名称の相違（実質的な相違なし）

7.2.5 溶融炉心・コンクリート相互作用

大飯発電所3／4号炉	高浜発電所3／4号炉	女川原子力発電所2号炉	泊発電所3号炉	相違理由
<p>3.5 溶融炉心・コンクリート相互作用</p> <p>3.5.1 格納容器破損モードの特徴、格納容器破損防止対策</p> <p>(1) 格納容器破損モード内のプラント損傷状態</p> <p>格納容器破損モード「溶融炉心・コンクリート相互作用」に至る可能性のあるプラント損傷状態は、「1.2 評価対象の整理及び評価項目の設定」に示すとおり、TEI、TED、SED、TEW、AEI、SEI、AED、SLI、SLW、AEW及びSEWがある。</p> <p>(2) 格納容器破損モードの特徴及び格納容器破損防止対策の基本的考え方</p> <p>格納容器破損モード「溶融炉心・コンクリート相互作用」では、LOCA、過渡事象又は全交流動力電源喪失時に格納容器スプレイ注入機能、ECCS再循環機能等の安全機能喪失が重畳して、原子炉容器内の溶融炉心が原子炉下部キャビティへ流出し、緩和措置がとられない場合には、溶融炉心からの崩壊熱や化学反応によって、原子炉下部キャビティのコンクリートが侵食され、原子炉格納容器の構造部材の支持機能が喪失し、原子炉格納容器の破損に至る。</p> <p>したがって、本格納容器破損モードでは、原子炉下部キャビティへ注水し原子炉下部キャビティに落下した溶融炉心を冷却することにより、原子炉格納容器の破損を防止する。</p>	<p>3.5 溶融炉心・コンクリート相互作用</p> <p>3.5.1 格納容器破損モードの特徴、格納容器破損防止対策</p> <p>(1) 格納容器破損モード内のプラント損傷状態</p> <p>格納容器破損モード「溶融炉心・コンクリート相互作用」に至る可能性のあるプラント損傷状態は、「1.2 評価対象の整理及び評価項目の設定」に示すとおり、TEI、TED、SED、TEW、AEI、SEI、AED、SLI、SLW、AEW及びSEWがある。</p> <p>(2) 格納容器破損モードの特徴及び格納容器破損防止対策の基本的考え方</p> <p>格納容器破損モード「溶融炉心・コンクリート相互作用」では、LOCA、過渡事象又は全交流動力電源喪失時に格納容器スプレイ機能、ECCS再循環機能等の安全機能喪失が重畳して、原子炉容器内の溶融炉心が原子炉格納容器内の床上へ流出し、緩和措置がとられない場合には、溶融炉心からの崩壊熱や化学反応によって、原子炉格納容器床のコンクリートが侵食され、原子炉格納容器の構造部材の支持機能が喪失し、原子炉格納容器の破損に至る。</p> <p>したがって、本格納容器破損モードでは、原子炉格納容器床へ注水し原子炉格納容器床に落下した溶融炉心を冷却することにより、原子炉格納容器の破損を防止する。</p>	<p>3.5 溶融炉心・コンクリート相互作用</p> <p>3.5.1 格納容器破損モードの特徴、格納容器破損防止対策</p> <p>(1) 格納容器破損モード内のプラント損傷状態</p> <p>格納容器破損モード「溶融炉心・コンクリート相互作用」に至る可能性のあるプラント損傷状態は、「1.2 評価対象の整理及び評価項目の設定」に示すとおり、TQUV、TQUX、長期TB、TBD、TBU、TBP、AE、S1E及びS2Eである。</p> <p>(2) 格納容器破損モードの特徴及び格納容器破損防止対策の基本的考え方</p> <p>格納容器破損モード「溶融炉心・コンクリート相互作用」では、発電用原子炉の運転中に運転時の異常な過渡変化、原子炉冷却材喪失事故（LOCA）又は全交流動力電源喪失が発生するとともに、ECCS等の安全機能の喪失が重畳する。このため、緩和措置がとられない場合には、原子炉圧力容器内の溶融炉心が格納容器内へ流れ出し、溶融炉心からの崩壊熱や化学反応によって、格納容器下部のコンクリートが侵食され、格納容器の構造材の支持機能を喪失し、格納容器の破損に至る。</p> <p>したがって、本格納容器破損モードでは、原子炉圧力容器の下部から溶融炉心が落下する時点で、格納容器下部に溶融炉心の冷却に必要な水位及び水量を確保し、かつ、溶融炉心の落下後は、原子炉格納容器下部注水系（常設）（復水移送ポンプ）によって溶融炉心を冷却することにより、格納容器の破損を防止する</p>	<p>7.2.5 溶融炉心・コンクリート相互作用</p> <p>7.2.5.1 格納容器破損モードの特徴、格納容器破損防止対策</p> <p>(1) 格納容器破損モード内のプラント損傷状態</p> <p>格納容器破損モード「溶融炉心・コンクリート相互作用」に至る可能性のあるプラント損傷状態は、「6.2 評価対象の整理及び評価項目の設定」に示すとおり、TEI、TED、SED、TEW、AED、AEI、SEI、SLW、AEW、SLI及びSEWがある。</p> <p>(2) 格納容器破損モードの特徴及び格納容器破損防止対策の基本的考え方</p> <p>格納容器破損モード「溶融炉心・コンクリート相互作用」では、発電用原子炉の運転中に運転時の異常な過渡変化、原子炉冷却材喪失事故（LOCA）又は全交流動力電源喪失が発生するとともに、格納容器スプレイ注入機能、ECCS再循環機能等の安全機能の喪失が重畳する。このため、緩和措置が取られない場合には、原子炉圧力容器内の溶融炉心が格納容器内へ流れ出し、溶融炉心からの崩壊熱や化学反応によって、格納容器下部のコンクリートが侵食され、格納容器の構造材の支持機能を喪失し、格納容器の破損に至る。</p> <p>したがって、本格納容器破損モードでは、原子炉容器の下部から溶融炉心が落下する時点で、原子炉下部キャビティに溶融炉心の冷却に必要な水位及び水量を確保し、かつ、溶融炉心の落下後は、代替格納容器スプレイによって溶融炉心を冷却することにより、原子炉格納容器の破損を防止するとともに、溶融炉心を冷却することにより、原子炉格納容器の破損を防止する</p>	<p>【大飯、高浜】記載順の相違</p> <p>【大飯、高浜】記載表現の相違（女川実績の反映）</p> <p>【大飯、高浜】記載方針の相違（女川実績の反映）</p>

泊発電所3号炉 有効性評価 比較表

灰色：女川2号炉の記載のうち、BWR固有の設備や対応手段であり、泊3号炉と比較対象とならない記載内容

赤字：設備、運用又は体制の相違（設計方針の相違）
青字：記載箇所又は記載内容の相違（記載方針の相違）
緑字：記載表現、設備名称の相違（実質的な相違なし）

7.2.5 溶融炉心・コンクリート相互作用

大飯発電所3／4号炉	高浜発電所3／4号炉	女川原子力発電所2号炉	泊発電所3号炉	相違理由
<p>また、その後の原子炉格納容器圧力及び温度が緩慢に上昇することから、原子炉格納容器雰囲気を冷却及び除熱し、原子炉格納容器圧力及び温度の上昇を抑制することにより、原子炉格納容器の破損を防止する。さらに、継続的に発生する水素を処理する。</p> <p>(3) 格納容器破損防止対策 格納容器破損モード「溶融炉心・コンクリート相互作用」で想定される事故シーケンスに対して、原子炉格納容器の破損を防止し、かつ、放射性物質が異常な水準で敷地外へ放出されることを防止するため、原子炉下部キャビティのコンクリート侵食及びこれに伴う非凝縮性</p>	<p>また、その後の原子炉格納容器圧力及び温度が緩慢に上昇することから、原子炉格納容器雰囲気を冷却及び除熱し、原子炉格納容器圧力及び温度の上昇を抑制することにより、原子炉格納容器の破損を防止する。さらに、継続的に発生する水素を処理する。</p> <p>(3) 格納容器破損防止対策 格納容器破損モード「溶融炉心・コンクリート相互作用」で想定される事故シーケンスに対して、原子炉格納容器の破損を防止し、かつ、放射性物質が異常な水準で敷地外へ放出されることを防止するため、原子炉下部キャビティのコンクリート侵食及びこれに伴う非凝縮性ガス</p>	<p>とともに、溶融炉心・コンクリート相互作用による水素発生を抑制する。また、溶融炉心の落下後は、原子炉格納容器下部注水系（常設）（復水移送ポンプ）によって溶融炉心を冷却するとともに、原子炉格納容器代替スプレイ冷却系（可搬型）による格納容器冷却を実施する。その後、代替循環冷却系又は原子炉格納容器フィルタベント系によって格納容器の圧力及び温度を低下させる。</p> <p>なお、本格納容器破損モードの有効性評価を実施する上では、原子炉圧力容器破損までは重大事故等対処設備による原子炉注水機能についても使用できないものと仮定し、原子炉圧力容器破損に至るものとする。一方、本格納容器破損モードに対しては、原子炉圧力容器破損後の格納容器破損防止のための重大事故等対策の有効性についても評価するため、原子炉圧力容器破損後は重大事故等対策に係る手順に基づきプラント状態を評価することとする。</p> <p>したがって、本評価では原子炉圧力容器破損後も原子炉圧力容器内に残存する放射性物質の冷却のために原子炉に注水する対策及び手順を整備することから、これを考慮した有効性評価を実施することとする。</p> <p>(3) 格納容器破損防止対策 格納容器破損モード「溶融炉心・コンクリート相互作用」で想定される事故シーケンスに対して、格納容器下部のコンクリートの侵食による原子炉圧力容器の支持機能喪失を防止するため、原子炉格納容器代替スプレイ冷却系（常設）及び原子炉格納容器下部注水系（常設）（復</p>	<p>心・コンクリート相互作用による水素発生を抑制する。また、溶融炉心の落下後は、代替格納容器スプレイによって溶融炉心を冷却する。</p> <p>また、その後の原子炉格納容器圧力及び温度が緩慢に上昇することから、代替格納容器スプレイポンプ及びC、D一格納容器再循環ユニットによって原子炉格納容器雰囲気を冷却及び除熱し、原子炉格納容器圧力及び温度の上昇を抑制することにより、原子炉格納容器の破損を防止する。さらに、原子炉格納容器内水素処理装置によって継続的に発生する水素を処理、低減させるとともに最終的な熱の逃がし場へ熱の輸送を行うことにより原子炉格納容器雰囲気の除熱を行う。</p> <p>(3) 格納容器破損防止対策 格納容器破損モード「溶融炉心・コンクリート相互作用」で想定される事故シーケンスに対して、原子炉格納容器の破損を防止し、かつ、放射性物質が異常な水準で敷地外へ放出されることを防止するため、原子炉下部キャビティのコンクリート侵食及びこれに伴う非凝縮性ガス</p>	<p>【大飯 高司】 記載方針の相違 ・女川に合わせて具体的な措置及び手段を記載</p> <p>【大飯 高司】 記載方針の相違 ・他事例に合わせてO&G熱に明して記載を追加（伊方と同様）</p>

泊発電所3号炉 有効性評価 比較表

灰色：女川2号炉の記載のうち、BWR固有の設備や対応手段であり、泊3号炉と比較対象とならない記載内容

赤字：設備、運用又は体制の相違（設計方針の相違）
青字：記載箇所又は記載内容の相違（記載方針の相違）
緑字：記載表現、設備名称の相違（実質的な相違なし）

7.2.5 溶融炉心・コンクリート相互作用

大飯発電所3／4号炉	高浜発電所3／4号炉	女川原子力発電所2号炉	泊発電所3号炉	相違理由
<p>ガスを抑制する観点から、恒設代替低圧注水ポンプを用いた代替格納容器スプレイにより原子炉下部キャビティへ注水する対策を整備する。</p> <p>また、その後の原子炉格納容器圧力及び温度の上昇を抑制する観点から、恒設代替低圧注水ポンプ及び可搬式代替低圧注水ポンプによる代替格納容器スプレイ、並びに格納容器再循環ユニットによる格納容器内自然対流冷却を整備する。</p> <p>さらに、継続的に発生する水素を処理するため、静的触媒式水素再結合装置を設置するとともに、より一層の水素濃度低減を図るために設備として原子炉格納容器水素燃焼装置を設置する。</p> <p>したがって、本格納容器破損モードに対応する手順及び重大事故等対策は「3.1.1 格納容器過圧破損」と同様である。</p>	<p>を抑制する観点から、恒設代替低圧注水ポンプを用いた代替格納容器スプレイによって原子炉下部キャビティへ注水する対策を整備する。</p> <p>また、その後の原子炉格納容器圧力及び温度の上昇を抑制する観点から、恒設代替低圧注水ポンプ及び可搬式代替低圧注水ポンプによる代替格納容器スプレイ、並びに格納容器再循環ユニットによる格納容器内自然対流冷却を整備する。</p> <p>さらに、継続的に発生する水素を処理するため、静的触媒式水素再結合装置を設置するとともに、より一層の水素濃度低減を図るために設備として原子炉格納容器水素燃焼装置を設置する。</p> <p>したがって、本格納容器破損モードに対応する手順及び重大事故等対策は「3.1.1 格納容器過圧破損」と同様である。</p>	<p>水移送ポンプ)による格納容器下部注水手段を整備する。</p> <p>また、その後の格納容器圧力及び温度の上昇を抑制する観点から、原子炉格納容器代替スプレイ冷却系(可搬型)による格納容器冷却手段及び代替循環冷却系による格納容器除熱手段又は原子炉格納容器フィルタベント系による格納容器除熱手段を整備する。</p> <p>なお、これらの原子炉圧力容器破損以降の格納容器過圧・過温に対応する手順及び重大事故等対策は「3.1 雰囲気圧力・温度による静的負荷(格納容器過圧・過温破損)」と同じである。</p> <p>本格納容器破損モードに至るまでの事象進展への対応、本格納容器破損モードによる格納容器の破損防止及び格納容器の破損を防止した以降の対応を含めた一連の重大事故等対策の概要は、「3.2 高圧溶融物放出／格納容器雰囲気直接加熱」の3.2.1(3)のa.からj.に示している。このうち、本格納容器破損モードに対する重大事故等対策は、「3.2 高圧溶融物放出／格納容器雰囲気直接加熱」の3.2.1(3)に示すf.からj.である。</p> <p>本格納容器破損モードに至るまでの事象進展への対応、本格納容器破損モードによる格納容器の破損防止及び格納容器の破損を防止した以降の対応を含めた一連の重大事故等対策の概略系統図は「3.2 高圧溶融物放出／格納容器雰囲気直接加熱」に示す第3.2.1図から第3.2.4図である。このうち、本格納容器破損モードに対する重大事故等対策の</p>	<p>ガスの発生を抑制する観点から、代替格納容器スプレイポンプを用いた代替格納容器スプレイにより原子炉下部キャビティへ注水する対策を整備する。</p> <p>また、その後の原子炉格納容器圧力及び温度の上昇を抑制する観点から、代替格納容器スプレイポンプによる代替格納容器スプレイ及び格納容器再循環ユニットによる格納容器内自然対流冷却を整備する。</p> <p>さらに、継続的に発生する水素を処理するため、原子炉格納容器内水素処理装置を設置するとともに、より一層の水素濃度低減を図るために設備として格納容器水素イグナイタを設置する。</p> <p>したがって、本格納容器破損モードに対応する手順及び重大事故等対策は「7.2.1.1 格納容器過圧破損」と同様である。</p>	<p>【大飯、高浜】 ・代替格納容器スプレイに関しては、大飯、高浜は燃料取替用水タップ(ピッカ)と海水を水源とする2種類のポンプを使用するが、泊は燃料取替用水ピットを水源とするポンプを使用するが、水ピットが枯渇する前まで海水を補給することアリを継続する(1台のポンプでスプレーを継続する点では伊方と同様)</p>

泊発電所 3 号炉 有効性評価 比較表

7.2.5 溶融炉心・コンクリート相互作用

灰色：女川 2 号炉の記載のうち、BWR
固有の設備や対応手段であり、泊 3
号炉と比較対象とならない記載内容

赤字：設備、運用又は体制の相違（設計方針の相違）
青字：記載箇所又は記載内容の相違（記載方針の相違）
緑字：記載表現、設備名称の相違（実質的な相違なし）

大飯発電所 3 / 4 号炉	高浜発電所 3 / 4 号炉	女川原子力発電所 2 号炉	泊発電所 3 号炉	相違理由
		<p>概略系統図は第 3.2.2 図及び第 3.2.4 図である。本格納容器破損モードに対応 する手順及び必要な要員と作業項目は 「3.2 高圧溶融物放出／格納容器雰囲 気直接加熱」と同じである。</p>		

泊発電所3号炉 有効性評価 比較表

灰色：女川2号炉の記載のうち、BWR固有の設備や対応手段であり、泊3号炉と比較対象とならない記載内容

赤字：設備、運用又は体制の相違（設計方針の相違）
青字：記載箇所又は記載内容の相違（記載方針の相違）
緑字：記載表現、設備名称の相違（実質的な相違なし）

7.2.5 溶融炉心・コンクリート相互作用

大飯発電所3／4号炉	高浜発電所3／4号炉	女川原子力発電所2号炉	泊発電所3号炉	相違理由
<p>3.5.2 格納容器破損防止対策の有効性評価</p> <p>(1) 有効性評価の方法</p> <p>プラント損傷状態の選定結果については、「1.2 評価対象の整理及び評価項目の設定」に示すとおり、本格納容器破損モードに含まれるプラント損傷状態のうち、破断規模の大きい「A**」が、事故進展が早く原子炉容器破損時の炉心崩壊熱が高いため、溶融炉心によるコンクリート侵食の発生の観点で厳しい。また、ECCS又は格納容器スプレイにより原子炉格納容器内へ注水されない「**D」が、コンクリート侵食が抑制されないという観点からより厳しい。したがって、本格納容器破損モードにおいて最も厳しいプラント損傷状態は、破断規模が大きく、ECCS注水機能及び格納容器スプレイ注入機能が喪失する「AED」である。</p> <p>このプラント損傷状態には、以下の事故シーケンスが想定される。</p> <ul style="list-style-type: none"> 大破断LOCA時に高圧注入機能、低圧注入機能及び格納容器スプレイ注入機能が喪失する事故 中破断LOCA時に高圧注入機能、低圧注入機能及び格納容器スプレイ注入機能が喪失する事故 <p>上記事故シーケンスのうち、評価事故シーケンスは中破断LOCAに比べ破断口径が大きく事象進展が早くなり原子炉容器破損時の炉心崩壊熱が高い大破断LOCAを起因とした「大破断LOCA時に高圧注入機能、低圧注入機能及び格納容器スプレイ注入機能が喪失する事故」である。</p> <p>なお、本評価事故シーケンスにおいては、恒設代替低圧注水ポンプ及び可搬式</p>	<p>3.5.2 格納容器破損防止対策の有効性評価</p> <p>(1) 有効性評価の方法</p> <p>プラント損傷状態の選定結果については、「1.2 評価対象の整理及び評価項目の設定」に示すとおり、本格納容器破損モードに含まれるプラント損傷状態のうち、破断規模の大きい「A**」が、事象進展が早く原子炉容器破損時の炉心崩壊熱が高いため、溶融炉心によるコンクリート侵食の発生の観点で厳しい。また、ECCS又は格納容器スプレイにより原子炉格納容器内へ注水されない「**D」が、コンクリート侵食が抑制されないという観点からより厳しい。したがって、本格納容器破損モードにおいて最も厳しいプラント損傷状態は、破断規模が大きく、ECCS注水機能喪失及び格納容器スプレイ注入機能が喪失する「AED」である。</p> <p>このプラント損傷状態には、以下の事故シーケンスが想定される。</p> <ul style="list-style-type: none"> 大破断LOCA時に低圧注入機能、高圧注入機能及び格納容器スプレイ注入機能が喪失する事故 中破断LOCA時に低圧注入機能、高圧注入機能及び格納容器スプレイ注入機能が喪失する事故 <p>上記事故シーケンスのうち、評価事故シーケンスは中破断LOCAに比べ破断口径が大きく事象進展が早くなり原子炉容器破損時の炉心崩壊熱が高い大破断LOCAを起因とした「大破断LOCA時に低圧注入機能、高圧注入機能及び格納容器スプレイ注入機能が喪失する事故」である。</p> <p>なお、本評価事故シーケンスにおいては、恒設代替低圧注水ポンプ及び可搬式</p>	<p>3.5.2 格納容器破損防止対策の有効性評価</p> <p>(1) 有効性評価の方法</p> <p>本格納容器破損モードを評価する上で選定した評価事故シーケンスは、「1.2 評価対象の整理及び評価項目の設定」に示すとおり、プラント損傷状態を TQUV とし、事象進展が早く炉心損傷までの時間余裕の観点で厳しい過渡事象を起因事象とし、逃がし安全弁再閉失敗を含まない「過渡事象+高圧注水失敗+低圧ECCS失敗+損傷炉心冷却失敗（+デブリ冷却失敗）」である。ここで、逃がし安全弁再閉失敗を含まない事故シーケンスとした理由は、プラント損傷状態がTQUVであるため、事故対応に及ぼす逃がし安全弁再閉の成否の影響は小さいと考え、発生頻度の観点で大きい事故シーケンスを選定したためである。</p> <p>また、「1.2.2.1(3) e. 溶融炉心・コンクリート相互作用」に示すとおり、プラント損傷状態の選定では、LOCAとTQUVを比較し、LOCAの場合は格納容器下部に原子炉冷却材が流入することで溶融炉心・コンクリート相互作用が緩和される可能性等を考慮し、より厳しいと考えられるTQUVを選定した。</p>	<p>7.2.5.2 格納容器破損防止対策の有効性評価</p> <p>(1) 有効性評価の方法</p> <p>プラント損傷状態の選定結果については、「6.2 評価対象の整理及び評価項目の設定」に示すとおり、本格納容器破損モードに含まれるプラント損傷状態のうち、破断規模の大きい「A**」が、事象進展が早く原子炉容器破損時の炉心崩壊熱が高いため、溶融炉心によるコンクリート損傷状態の中から評価事故シーケンスを選定する過程を記載する。また、ECCS又は格納容器スプレイにより原子炉格納容器内へ注水されない「**D」が、コンクリート侵食が抑制されないという観点からより厳しい。したがって、本格納容器破損モードにおいて最も厳しいプラント損傷状態は、破断規模が大きく、ECCS注水機能及び格納容器スプレイ注入機能が喪失する「AED」である。</p>	<p>【女川】 記載方針の相違 ・PWRは初めに厳しいプラント損傷状態を選定し、その後、選定されたプラント損傷状態の中から評価事故シーケンスを選定する過程を記載</p> <p>【高浜】 記載表現の相違</p>

泊発電所3号炉 有効性評価 比較表

灰色：女川2号炉の記載のうち、BWR固有の設備や対応手段であり、泊3号炉と比較対象とならない記載内容

赤字：設備、運用又は体制の相違（設計方針の相違）
青字：記載箇所又は記載内容の相違（記載方針の相違）
緑字：記載表現、設備名称の相違（実質的な相違なし）

7.2.5 溶融炉心・コンクリート相互作用

大飯発電所3／4号炉	高浜発電所3／4号炉	女川原子力発電所2号炉	泊発電所3号炉	相違理由
<p>代替低圧注水ポンプによる代替格納容器スプレイ、並びに大容量ポンプを用いた格納容器再循環ユニットへの海水通水による格納容器内自然対流冷却の有効性を確認する観点から、全交流動力電源喪失及び原子炉補機冷却機能喪失の重畠を考慮する。</p> <p>したがって、本評価事故シーケンスは「3.1.1 格納容器過圧破損」と同様のシーケンスとなる。</p> <p>本評価事故シーケンスにおいて、溶融炉心・コンクリート相互作用に係る重要な現象は以下のとおりである。</p> <ul style="list-style-type: none"> a. 炉心における重要現象 <ul style="list-style-type: none"> ・崩壊熱 ・燃料棒内温度変化 	<p>代替低圧注水ポンプによる代替格納容器スプレイ、並びに大容量ポンプを用いた格納容器再循環ユニットへの海水通水による格納容器内自然対流冷却の有効性を確認する観点から、全交流動力電源喪失及び原子炉補機冷却機能喪失の重畠を考慮する。</p> <p>したがって、本評価事故シーケンスは「3.1.1 格納容器過圧破損」と同様のシーケンスとなる。</p> <p>本評価事故シーケンスにおいて、溶融炉心・コンクリート相互作用に係る重要な現象は以下のとおりである。</p> <ul style="list-style-type: none"> a. 炉心における重要現象 <ul style="list-style-type: none"> ・崩壊熱 ・燃料棒内温度変化 	<p>なお、本評価事故シーケンスは、「3.2 高圧溶融物放出／格納容器雰囲気直接加熱」及び「3.3 原子炉圧力容器外の溶融燃料－冷却材相互作用」において有効性を評価したシーケンスと同様のシーケンスである。本格納容器破損モード及び「3.3 原子炉圧力容器外の溶融燃料－冷却材相互作用」ではプラント損傷状態をT Q U Vとし、「3.2 高圧溶融物放出／格納容器雰囲気直接加熱」ではプラント損傷状態をT Q U Xとしており、異なるプラント損傷状態を選定している。しかししながら、どちらのプラント損傷状態であっても原子炉水位が有効燃料棒底部から燃料棒有効長さの20%上の位置に到達した時点で逃がし安全弁（自動減圧機能）の手動開操作によって原子炉減圧する手順であり、原子炉減圧以降も、溶融炉心の挙動に従って一連の流れで生じる各格納容器破損モードを、定められた一連の手順に従って防止することとなる。このことから、これらの格納容器破損モードについては同様のシーケンスで評価する。</p> <p>本評価事故シーケンスでは、炉心における崩壊熱、燃料棒内温度変化、燃料棒表面熱伝達、燃料被覆管酸化、燃料被覆管変形、沸騰・ボイド率変化及び気液分離（水位変化）・対向流、炉心損傷後の原子炉圧力容器におけるリロケーション</p>	<p>代替格納容器スプレイ及び可搬型大型送水ポンプ車を用いた格納容器再循環ユニットへの海水通水による格納容器内自然対流冷却の有効性を確認する観点から、全交流動力電源喪失及び原子炉補機冷却機能喪失の重畠を考慮する。</p> <p>したがって、本評価事故シーケンスは、「7.2.1.1 格納容器過圧破損」において有効性を評価したシーケンスと同様のシーケンスである。</p> <p>本評価事故シーケンスにおいて、溶融炉心・コンクリート相互作用に係る重要な現象は以下のとおりである。</p> <ul style="list-style-type: none"> a. 炉心における重要現象 <ul style="list-style-type: none"> ・崩壊熱 ・燃料棒内温度変化 	<p>設計の相違 ・差異理由は前述どおり（3ページ参照）</p> <p>【大飯、高浜】記載表現の相違（女川実績の反映）</p> <p>【女川】記載方針の相違 ・PWRは炉心や原子炉容器などの分類の重要な現象を箇条書きにし</p>

泊発電所3号炉 有効性評価 比較表

灰色：女川2号炉の記載のうち、BWR固有の設備や対応手段であり、泊3号炉と比較対象とならない記載内容

赤字：設備、運用又は体制の相違（設計方針の相違）
青字：記載箇所又は記載内容の相違（記載方針の相違）
緑字：記載表現、設備名称の相違（実質的な相違なし）

7.2.5 溶融炉心・コンクリート相互作用

大飯発電所3／4号炉	高浜発電所3／4号炉	女川原子力発電所2号炉	泊発電所3号炉	相違理由
<ul style="list-style-type: none"> 燃料棒表面熱伝達 燃料被覆管酸化 燃料被覆管変形 沸騰・ボイド率変化 気液分離・対向流 <p>b. 原子炉容器、1次冷却系、加圧器及び蒸気発生器における重要現象</p> <ul style="list-style-type: none"> 炉心損傷後の原子炉容器におけるリロケーション 炉心損傷後の原子炉容器における下部プレナムでの溶融炉心の熱伝達 炉心損傷後の原子炉容器における原子炉容器破損・溶融 炉心損傷後の原子炉容器における1次系内核分裂生成物挙動 <p>c. 原子炉格納容器における重要現象</p> <ul style="list-style-type: none"> 区画間の流動 スプレイ冷却 水素濃度変化 炉心損傷後の原子炉容器外における溶融燃料－冷却材相互作用 炉心損傷後の原子炉下部キャビティ床面での溶融炉心の拡がり 炉心損傷後の溶融炉心と原子炉下部キャビティ水の伝熱 炉心損傷後の溶融炉心とコンクリートの伝熱 炉心損傷後のコンクリート分解及び非凝縮性ガス発生 炉心損傷後の原子炉格納容器内核分裂生成物挙動 <p>本評価事故シーケンスにおける有効性評価は、炉心損傷後のプラント挙動を適切に模擬することが目的であることから、これらの現象を適切に評価することが可能な、原子炉系、原子炉格納容器</p>	<ul style="list-style-type: none"> 燃料棒表面熱伝達 燃料被覆管酸化 燃料被覆管変形 沸騰・ボイド率変化 気液分離・対向流 <p>b. 原子炉容器、1次冷却系、加圧器及び蒸気発生器における重要現象</p> <ul style="list-style-type: none"> 炉心損傷後の原子炉容器におけるリロケーション 炉心損傷後の原子炉容器における下部プレナムでの溶融炉心の熱伝達 原子炉容器破損、溶融 炉心損傷後の原子炉容器における1次系内核分裂生成物挙動 <p>c. 原子炉格納容器における重要現象</p> <ul style="list-style-type: none"> 区画間・区画内の流動 スプレイ冷却 水素濃度 炉心損傷後の原子炉容器外における溶融燃料－冷却材相互作用 炉心損傷後の原子炉下部キャビティ床面での溶融炉心の拡がり 炉心損傷後の溶融炉心と原子炉下部キャビティ水の伝熱 炉心損傷後の溶融炉心とコンクリートの伝熱 炉心損傷後のコンクリート分解及び非凝縮性ガス発生 炉心損傷後の原子炉格納容器内核分裂生成物挙動 <p>本評価事故シーケンスにおける有効性評価は、炉心損傷後のプラント挙動を適切に模擬することが目的であることから、これらの現象を適切に評価することが可能な、原子炉系、原子炉格納容器</p>	<p>ン、構造材との熱伝達、下部プレナムでの溶融炉心の熱伝達、原子炉圧力容器破損及び原子炉圧力容器内F P挙動並びに炉心損傷後の原子炉格納容器における原子炉格納容器下部床面での溶融炉心の拡がり、原子炉圧力容器外FC I（溶融炉心細粒化）、原子炉圧力容器外FC I（デブリ粒子熱伝達）、溶融炉心と原子炉格納容器下部プール水との伝熱、溶融炉心とコンクリートの伝熱並びにコンクリート分解及び非凝縮性ガス発生が重要現象となる。</p> <p>よって、これらの現象を適切に評価することが可能であり、原子炉圧力容器内及び格納容器内の熱水力モデルを備え、かつ、炉心損傷後のシビアアクシデント特有の溶融炉心の挙動に関するモデル</p>	<ul style="list-style-type: none"> 燃料棒表面熱伝達 燃料被覆管酸化 燃料被覆管変形 沸騰・ボイド率変化 気液分離・対向流 <p>b. 原子炉容器、1次冷却系、加圧器及び蒸気発生器における重要現象</p> <ul style="list-style-type: none"> 炉心損傷後の原子炉容器におけるリロケーション 炉心損傷後の原子炉容器における下部プレナムでの溶融炉心の熱伝達 炉心損傷後の原子炉容器破損、溶融 炉心損傷後の原子炉容器における1次系内核分裂生成物挙動 <p>c. 原子炉格納容器における重要現象</p> <ul style="list-style-type: none"> 区画間の流動 スプレイ冷却 水素濃度変化 炉心損傷後の原子炉容器外における溶融燃料－冷却材相互作用 炉心損傷後の原子炉下部キャビティ床面での溶融炉心の拡がり 炉心損傷後の溶融炉心と原子炉下部キャビティ水の伝熱 炉心損傷後の溶融炉心とコンクリートの伝熱 炉心損傷後のコンクリート分解及び非凝縮性ガス発生 炉心損傷後の原子炉格納容器内核分裂生成物挙動 <p>本評価事故シーケンスにおける有効性評価は、炉心損傷後のプラント挙動を適切に模擬することが目的であることから、これらの現象を適切に評価することが可能であり、原子炉系及び原子炉格</p>	<p>ている</p> <p>【大飯、高浜】記載表現の相違</p> <p>【高浜】記載表現の相違</p>

泊発電所3号炉 有効性評価 比較表

灰色：女川2号炉の記載のうち、BWR固有の設備や対応手段であり、泊3号炉と比較対象とならない記載内容

赤字：設備、運用又は体制の相違（設計方針の相違）
青字：記載箇所又は記載内容の相違（記載方針の相違）
緑字：記載表現、設備名称の相違（実質的な相違なし）

7.2.5 溶融炉心・コンクリート相互作用

大飯発電所3／4号炉	高浜発電所3／4号炉	女川原子力発電所2号炉	泊発電所3号炉	相違理由
系の熱水力モデルを備え、かつ、炉心損傷後のシビアアクシデント特有の溶融炉心挙動に関するモデルを有する解析コードとしてMAAPを使用する。	系の熱水力モデルを備え、かつ、炉心損傷後のシビアアクシデント特有の溶融炉心挙動に関するモデルを有する解析コードとしてMAAPを使用する。	を有するシビアアクシデント総合解析コードMAAPにより格納容器下部の床面及び壁面のコンクリート侵食量等の過渡応答を求める。	納容器系の熱水力モデルを備え、かつ、炉心損傷後のシビアアクシデント特有の溶融炉心挙動に関するモデルを有するシビアアクシデント総合解析コードMAAPによりベースマット侵食深さ等の過渡応答を求める。	【大飯、高浜】記載方針の相違（女川実績の反映）
なお、MAAPは、大破断LOCA事象初期の原子炉格納容器雰囲気温度評価への適用性が低いことから、事象初期については設計基準事故時の評価結果により確認している。	なお、MAAPは、大破断LOCA事象初期の原子炉格納容器雰囲気温度評価への適用性が低いことから、事象初期については設計基準事故時の評価結果により確認している。	(添付資料2.7.3、3.1.1.4、3.1.1.5) また、解析コード及び解析条件の不確かさの影響評価の範囲として、本評価事故シーケンスにおける運転員等操作時間に与える影響、要員の配置による他の操作に与える影響、評価項目となるパラメータに与える影響及び操作時間余裕を評価する。	(添付資料2.7.3、3.1.1.4、3.1.1.5) また、解析コード及び解析条件の不確かさの影響評価の範囲として、本評価事故シーケンスにおける運転員等操作時間に与える影響、要員の配置による他の操作に与える影響、評価項目となるパラメータに与える影響及び操作時間余裕を評価する。	【大飯、高浜】記載表現の相違（女川実績の反映）
(添付資料2.7.3、3.1.1.4、3.1.1.5) また、解析コード及び解析条件の不確かさの影響評価の範囲として、本評価事故シーケンスにおける運転員等操作時間に与える影響、要員の配置による他の操作に与える影響、評価項目となるパラメータに与える影響及び操作時間余裕を評価する。	(添付資料2.7.3、3.1.1.4、3.1.1.5) また、解析コード及び解析条件の不確かさの影響評価の範囲として、本評価事故シーケンスにおける運転員等操作時間に与える影響、要員の配置による他の操作に与える影響、評価項目となるパラメータに与える影響及び操作時間余裕を評価する。	(添付資料2.7.3、3.1.1.4、3.1.1.5) また、解析コード及び解析条件の不確かさの影響評価の範囲として、本評価事故シーケンスにおける運転員等操作時間に与える影響、評価項目となるパラメータに与える影響及び操作時間余裕を評価する。	(添付資料2.7.3、3.1.1.4、3.1.1.5) また、解析コード及び解析条件の不確かさの影響評価の範囲として、本評価事故シーケンスにおける運転員等操作時間に与える影響、評価項目となるパラメータに与える影響及び操作時間余裕を評価する。	【大飯、高浜】記載方針の相違（女川実績の反映）
(2) 有効性評価の条件 本評価事故シーケンスの有効性評価の条件については、「3.1.1 格納容器過圧破損」の条件と同様である。なお、以下に示すとおり、本評価事故シーケンスに対する影響を考慮した条件となっており、初期条件も含めた主要な解析条件を第3.5.2.1表に示す。 (添付資料3.1.1.6)	(2) 有効性評価の条件 本評価事故シーケンスの有効性評価の条件については、「3.1.1 格納容器過圧破損」の条件と同様である。なお、以下に示すとおり、本評価事故シーケンスに対する影響を考慮した条件となっており、初期条件も含めた主要な解析条件を第3.5.2.1表に示す。 (添付資料3.1.1.6)	(2) 有効性評価の条件 本評価事故シーケンスの有効性評価の条件は、「3.2 高圧溶融物放出／格納容器雰囲気直接加熱」の条件と同じである。また、初期条件の酸素濃度並びに事故条件の水素及び酸素の発生については、「3.4 水素燃焼」と同じである。	(2) 有効性評価の条件 本評価事故シーケンスの有効性評価の条件は、「7.2.1.1 格納容器過圧破損」の条件と同様である。なお、以下に示すとおり、本評価事故シーケンスに対する影響を考慮した条件となっており、初期条件も含めた主要な解析条件を第7.2.5.1表に示す。 (添付資料7.2.1.1.6)	【大飯、高浜】評価方針の相違（女川実績の反映）
a. 重大事故等対策に関する機器条件 (a) 溶融炉心の原子炉下部キャビティ床面での拡がり 原子炉下部キャビティ床底面の全面に拡がるものとする。	a. 重大事故等対策に関する機器条件 (a) 溶融炉心の原子炉下部キャビティ床面での拡がり 原子炉下部キャビティ床底面の全面に拡がるものとする。	a. 重大事故等対策に関する機器条件 (a) 溶融炉心の原子炉下部キャビティ床面での拡がり 原子炉下部キャビティ床底面の全面に拡がるものとする。	a. 重大事故等対策に関する機器条件 (a) 溶融炉心の原子炉下部キャビティ床面での拡がり 原子炉下部キャビティ床底面の全面に拡がるものとする。	

泊発電所3号炉 有効性評価 比較表

灰色：女川2号炉の記載のうち、BWR固有の設備や対応手段であり、泊3号炉と比較対象とならない記載内容

赤字：設備、運用又は体制の相違（設計方針の相違）
青字：記載箇所又は記載内容の相違（記載方針の相違）
緑字：記載表現、設備名称の相違（実質的な相違なし）

7.2.5 溶融炉心・コンクリート相互作用

大飯発電所3／4号炉	高浜発電所3／4号炉	女川原子力発電所2号炉	泊発電所3号炉	相違理由
<p>(b) 溶融炉心から原子炉下部キャビティ水への熱流束の上限 大気圧条件で 0.8MW/m^2 相当とする。</p> <p>(c) 溶融炉心とコンクリートの伝熱 溶融炉心とコンクリートの伝熱抵抗を考慮せず、溶融炉心の表面温度とコンクリート表面温度が同等となるよう設定する。</p> <p>(3) 有効性評価の結果 本評価事故シーケンスの事象進展は、「3.1.1 格納容器過圧破損」の第3.1.1.4図及び第3.1.1.5図と同様である。溶融炉心・コンクリート相互作用における原子炉格納容器破損防止対策の有効性を評価するパラメータである原子炉下部キャビティ水量及びベースマット侵食深さの原子炉格納容器パラメータの変化を第3.5.1図及び第3.5.2図に示す。</p> <p>a. 事象進展 「3.1.1.2(4) 有効性評価の結果」に示すとおり、事象発生の約21分後に炉心溶融に至り、約51分後に恒設代替低圧注水ポンプによる代替格納容器スプレイを開始することで、原子炉下部キャビティに注水される。 その後、事象発生の約1.4時間後に原子炉容器破損に至り、溶融炉心が断続的に原子炉下部キャビティに落下</p>	<p>(b) 溶融炉心から原子炉下部キャビティ水への熱流束の上限 大気圧条件で 0.8MW/m^2 相当とする。</p> <p>(c) 溶融炉心とコンクリートの伝熱 溶融炉心とコンクリートの伝熱抵抗を考慮せず、溶融炉心の表面温度とコンクリート表面温度が同等となるよう設定する。</p> <p>(3) 有効性評価の結果 本評価事故シーケンスの事象進展は、「3.1.1.2(4) 有効性評価の結果」に示すとおり、事象発生の約19分後に炉心溶融に至り、約49分後に恒設代替低圧注水ポンプによる代替格納容器スプレイを開始することで、原子炉下部キャビティに注水される。 その後、事象発生の約1.5時間後に原子炉容器破損に至り、溶融炉心が断続的に原子炉下部キャビティに落下</p>	<p>(3) 有効性評価の結果 本評価事故シーケンスにおける原子炉圧力及び原子炉水位（シュラウド内外水位）の推移を第3.5.1図及び第3.5.2図に、格納容器圧力、格納容器温度、ドライウェル及びサブレッシュションチャンバの気相濃度（ウェット条件、ドライ条件）、サブレッシュションプール水位、サブレッシュションプール水温、格納容器下部水位並びに溶融炉心・コンクリート相互作用による格納容器下部床面及び壁面のコンクリート侵食量の推移を第3.5.3図から第3.5.12図に示す。</p> <p>a. 事象進展 事象進展は「3.2 高圧溶融物放出／格納容器雰囲気直接加熱」と同じである。</p>	<p>(b) 溶融炉心から原子炉下部キャビティ水への熱流束の上限 大気圧条件で 0.8MW/m^2 相当とする。</p> <p>(c) 溶融炉心とコンクリートの伝熱 溶融炉心とコンクリートの伝熱抵抗を考慮せず、溶融炉心の表面温度とコンクリート表面温度が同等となるよう設定する。</p> <p>(3) 有効性評価の結果 本評価事故シーケンスの事象進展は、「7.2.1.1.2(4) 有効性評価の結果」に示すとおり、事象発生の約19分後に炉心溶融に至り、約49分後に恒設代替格納容器スプレイによる代替格納容器スプレイを開始することで、原子炉下部キャビティに注水される。 その後、事象発生の約1.6時間後に原子炉容器破損に至り、溶融炉心が断続的に原子炉下部キャビティに落下</p> <p>a. 事象進展 「7.2.1.1.2(4) 有効性評価の結果」に示すとおり、事象発生の約19分後に炉心溶融に至り、約49分後に恒設代替格納容器スプレイによる代替格納容器スプレイを開始することで、原子炉下部キャビティに注水される。 その後、事象発生の約1.6時間後に原子炉容器破損に至り、溶融炉心が断続的に原子炉下部キャビティに落下</p>	<p>灰色：女川2号炉の記載のうち、BWR固有の設備や対応手段であり、泊3号炉と比較対象とならない記載内容</p> <p>赤字：設備、運用又は体制の相違（設計方針の相違） 青字：記載箇所又は記載内容の相違（記載方針の相違） 緑字：記載表現、設備名称の相違（実質的な相違なし）</p> <p>【大飯、高浜】記載表現の相違</p>

泊発電所3号炉 有効性評価 比較表

灰色：女川2号炉の記載のうち、BWR固有の設備や対応手段であり、泊3号炉と比較対象とならない記載内容

赤字：設備、運用又は体制の相違（設計方針の相違）
青字：記載箇所又は記載内容の相違（記載方針の相違）
緑字：記載表現、設備名称の相違（実質的な相違なし）

7.2.5 溶融炉心・コンクリート相互作用

大飯発電所3／4号炉	高浜発電所3／4号炉	女川原子力発電所2号炉	泊発電所3号炉	相違理由
<p>することで、原子炉下部キャビティ水位が変動する。溶融炉心が原子炉下部キャビティに落下する時点では原子炉下部キャビティには十分な水量が確保されており、溶融炉心からの崩壊熱は除去され、ベースマットに有意な侵食は発生しない。</p> <p>(添付資料 3.1.1.14、3.5.1)</p> <p>b. 評価項目等</p> <p>ベースマット侵食深さは第3.5.2図に示すとおり、代替格納容器スプレイにより原子炉下部キャビティに落下した溶融炉心を冷却することで、ベースマット侵食深さは約5mmにとどまることから、ベースマットに有意な侵食は発生していない。</p>	<p>することで、原子炉下部キャビティ水位が変動する。溶融炉心が原子炉下部キャビティに落下する時点では原子炉下部キャビティには十分な水量が確保されており、溶融炉心からの崩壊熱は除去され、ベースマットに有意な侵食は発生しない。</p> <p>(添付資料 3.1.1.14、3.5.1)</p> <p>b. 評価項目等</p> <p>ベースマット侵食深さは第3.5.2.2図に示すとおり、代替格納容器スプレイによる原子炉下部キャビティに落下した溶融炉心を冷却することで、ベースマットに有意な侵食は発生していない。</p>	<p>溶融炉心落下前の格納容器下部への水張り及び溶融炉心落下後の格納容器下部への注水の継続によって、コンクリート侵食量は格納容器下部の床面で約2cm、壁面で約2cmに抑えられ、格納容器下部の溶融炉心は適切に冷却される。</p> <p>格納容器下部壁面のコンクリート侵食に対しては、コンクリート侵食が内側鋼板及び厚さ約1.7mのコンクリート部を貫通して外側鋼板まで到達しない限り、原子炉圧力容器の支持機能を維持できる。評価の結果、格納容器下部壁面のコンクリート侵食量は約2cmに抑えられ、原子炉圧力容器の支持機能を維持できる。</p> <p>格納容器下部床面コンクリート侵食に対しては、格納容器下部の床面以下のコンクリート厚さが約4.3mであり、格納容器下部床面のコンクリート侵食量が約2cmであるため、原子炉圧力容器の支持機能を維持できる。</p> <p>また、溶融炉心・コンクリート相互作用による可燃性ガスの発生は、格納容器下部についてはコンクリート侵食量が約2cmであるため、約11kgの可燃性ガス及びその他の非凝縮性ガ</p>	<p>することで、原子炉下部キャビティ水位が変動する。溶融炉心が原子炉下部キャビティに落下する時点では原子炉下部キャビティには十分な水量が確保されており、溶融炉心からの崩壊熱は除去され、ベースマットに有意な侵食は発生しない。</p> <p>(添付資料7.2.1.1.13、7.2.5.1)</p> <p>b. 評価項目等</p> <p>ベースマット侵食深さは第7.2.5.2図に示すとおり、代替格納容器スプレイにより原子炉下部キャビティに落下した溶融炉心を冷却することで、ベースマット侵食深さは床面で約3mm、壁面で約3mmにとどまることから、ベースマットに有意な侵食は発生していない。</p>	<p>間が早くなっている</p> <p>・原子炉容器破損時間に関しては、泊の蒸気冷却が小さいため水位の低下が遅く、その後の事象進展も遅くなり、結果として原子炉容器破損時間が遅くなっている</p> <p>【高浜】</p> <p>記載方針の相違</p> <p>【大飯、高浜】</p> <p>解析結果の相違</p> <p>・高浜は具体的な評価値は記載していない</p> <p>・泊は女川同様壁面の侵食深さも記載</p>

泊発電所3号炉 有効性評価 比較表

灰色：女川2号炉の記載のうち、BWR
固有の設備や対応手段であり、泊3
号炉と比較対象とならない記載内容

赤字：設備、運用又は体制の相違（設計方針の相違）
青字：記載箇所又は記載内容の相違（記載方針の相違）
緑字：記載表現、設備名称の相違（実質的な相違なし）

7.2.5 溶融炉心・コンクリート相互作用

大飯発電所3／4号炉	高浜発電所3／4号炉	女川原子力発電所2号炉	泊発電所3号炉	相違理由
		<p>スが発生するが、ジルコニウム－水反応によって約487kgの水素が発生することを考慮すると、溶融炉心・コンクリート相互作用による可燃性ガス及びその他の非凝縮性ガスの発生が格納容器圧力に与える影響は小さい。このため、溶融炉心・コンクリート相互作用による可燃性ガスの発生が格納容器圧力に与える影響は小さい。</p> <p>なお、格納容器下部への溶融炉心落下後の本評価における水素濃度は、ウェット条件、ドライ条件とともに13vol%を上回る。一方、ウェット条件における酸素濃度は、酸素の蓄積が最も進む事象発生から7日後においても約2.1vol%であり、可燃限界を下回る。ドライ条件では、事象発生の約7時間後から約23時間後までの間、ドライウェルにおける酸素濃度が可燃限界である5vol%を上回る。この間、ウェット条件では、格納容器下部への溶融炉心落下に伴う水蒸気発生によって、ドライウェルに存在する非凝縮性ガスが水蒸気とともにサブレッシュ・エンパンパに送り込まれ、供給される水蒸気でドライウェル内が満たされるため、ドライウェル内のほぼ100%が水蒸気となっている。そのため、この間のドライ条件でのドライウェル内の気体組成は、ほぼ水の放射線分解によって生じる水素及び酸素の割合となり、そのウェット条件での酸素濃度は1vol%未満（約0.004vol%）である。また、ドライウェル内の非凝縮性ガス（水素、酸素及び窒素）の分圧の和は大気圧よりも低く、0.01MPa[abs]未満（水素及び酸素の分</p>		

泊発電所3号炉 有効性評価 比較表

灰色：女川2号炉の記載のうち、BWR
固有の設備や対応手段であり、泊3
号炉と比較対象とならない記載内容

赤字：設備、運用又は体制の相違（設計方針の相違）
青字：記載箇所又は記載内容の相違（記載方針の相違）
緑字：記載表現、設備名称の相違（実質的な相違なし）

7.2.5 溶融炉心・コンクリート相互作用

大飯発電所3／4号炉	高浜発電所3／4号炉	女川原子力発電所2号炉	泊発電所3号炉	相違理由
		<p>圧の和は 0.01MPa[abs]未満) である。 この間のサプレッションチャンバ内のウェット条件での水蒸気の濃度は約 8.5vol%であり、サプレッションチャンバ内の全圧が 0.56MPa[abs]以上であることから、非凝縮性ガス(水素、酸素及び窒素)の分圧は少なくとも 0.51MPa[abs]以上である。このため、仮にドライウェル内の水蒸気が凝縮してドライウェル内の圧力が低下し、相対的に水素濃度及び酸素濃度が上昇しても、ドライウェル内の水素濃度及び酸素濃度が可燃限界を上回る前に、サプレッションチャンバから酸素濃度が 5.0vol%未満の気体が流入する。このため、この間においてドライウェルの酸素濃度が現実に可燃限界である 5 vol%を上回ることはない。 事象発生の約 23 時間後以降は、ドライ条件を仮定しても酸素濃度は 5.0vol%未満で推移し、事象発生から 7 日後の酸素濃度はドライウェルにおいて約 2.3vol%，サプレッションチャンバにおいて約 3.2vol%である。したがって、格納容器スプレイの誤動作等により水蒸気量が低下しても、可燃限界である 5 vol%に達することはない。</p> <p>その後は、格納容器下部に 50m³/h の注水を行い、また、代替循環冷却系による格納容器除熱を継続して行うことで、安定状態を維持できる。</p> <p>(添付資料 3.5.1)</p> <p>本評価では、「1.2.2.2 有効性を確認するための評価項目の設定」に示す(8)の評価項目について、格納容器下部床面及び壁面のコンクリート侵食</p> <p>本評価では、「6.2.2.2 有効性を確認するための評価項目の設定」に示す(8)の評価項目について、原子炉下部キャビティ床面及び壁面のベースマ</p>	<p>【大飯、高浜】 記載方針の相違(女川実績の反映)</p>	

泊発電所3号炉 有効性評価 比較表

灰色：女川2号炉の記載のうち、BWR固有の設備や対応手段であり、泊3号炉と比較対象とならない記載内容

赤字：設備、運用又は体制の相違（設計方針の相違）
青字：記載箇所又は記載内容の相違（記載方針の相違）
緑字：記載表現、設備名称の相違（実質的な相違なし）

7.2.5 溶融炉心・コンクリート相互作用

大飯発電所3／4号炉	高浜発電所3／4号炉	女川原子力発電所2号炉	泊発電所3号炉	相違理由
<p>「1.2.2.2 有効性を確認するための評価項目の設定」の(1)、(2)、(3)、(4)、(5)及び(7)に示す評価項目については、「3.1.1 格納容器過圧破損」と「3.3 原子炉圧力容器外の溶融燃料一冷却材相互作用」の評価事故シーケンスと同一であることから、それぞれにおいて、評価項目を満足することを確認する。</p> <p>（添付資料 3.5.2）</p>	<p>「1.2.2.2(2) 有効性を確認するための評価項目の設定」の a., b., c., d., e. 及び g. に示す評価項目について、 「3.1.1 格納容器過圧破損」及び「3.3 原子炉圧力容器外の溶融燃料一冷却材相互作用」の評価事故シーケンスと同一であることから、それぞれにおいて、評価項目を満足することを確認する。</p> <p>f. に示す評価項目については、格納容器スプレイが作動することで本シーケンスよりも水蒸気が凝縮され水素濃度が高くなり、また、全炉心内のジルコニウム量の 75%が水と反応して水素が発生することを想定した「3.4 水素燃焼」において評価項目を満足することを確認する。</p>	<p>量^{※1}をパラメータとして対策の有効性を確認した。</p> <p>なお、「1.2.2.2 有効性を確認するための評価項目の設定」に示す(4)及び(5)の評価項目の評価結果については「3.2 高圧溶融物放出／格納容器雰囲気直接加熱」及び「3.3 原子炉圧力容器外の溶融燃料一冷却材相互作用」にて評価項目を満足することを確認している。</p> <p>※1 溶融炉心が適切に冷却されることについても、格納容器の構造部材の支持機能が維持される範囲で格納容器下部床面及び壁面のコンクリートの侵食が停止することで確認した。</p> <p>なお、「1.2.2.2 有効性を確認するための評価項目の設定」に示す(6)の評価項目については「3.4 水素燃焼」において、(7)の評価項目については「3.1 雰囲気圧力・温度による静的負荷（格納容器過圧・過温破損）」において、それぞれ選定された評価事故シーケンスに対して対策の有効性を確認しているが、溶融炉心が格納容器下部に落下した場合については、本評価において、「1.2.2.2 有効性を確認するための評価項目の設定」に示す(6)及び(7)の評価項目について対策の有効性を確認できる。</p>	<p>ソト侵食深さをパラメータとして対策の有効性を確認した。</p> <p>「1.2.2.2 有効性を確認するための評価項目の設定」に示す(1), (2), (3), (4), (5)及び(7)の評価項目については、「7.2.1.1 格納容器過圧破損」と「7.2.3 原子炉圧力容器外の溶融燃料一冷却材相互作用」の評価事故シーケンスと同一であることから、それぞれにおいて、評価項目を満足することを確認している。</p> <p>「6.2.2.2 有効性を確認するための評価項目の設定」に示す(6)の評価項目については、格納容器スプレイが作動することで本シーケンスよりも水蒸気が凝縮され水素濃度が高くなり、また、全炉心内のジルコニウム量の 75%が水と反応して水素が発生することを想定した「7.2.4 水素燃焼」において評価項目を満足することを確認している。</p>	<p>【大飯、高浜】 記載表現の相違（女川実績の反映）</p> <p>【高浜】 記載表現の相違</p> <p>【大飯】 添付資料の相違 ・大飯のCVはPCCV であり、鋼製CV である泊、高浜とはMCCIによる影響、対策が異なるため添付資料が追加となっている</p>

泊発電所3号炉 有効性評価 比較表

灰色：女川2号炉の記載のうち、BWR固有の設備や対応手段であり、泊3号炉と比較対象とならない記載内容

赤字：設備、運用又は体制の相違（設計方針の相違）
青字：記載箇所又は記載内容の相違（記載方針の相違）
緑字：記載表現、設備名称の相違（実質的な相違なし）

7.2.5 溶融炉心・コンクリート相互作用

大飯発電所3／4号炉	高浜発電所3／4号炉	女川原子力発電所2号炉	泊発電所3号炉	相違理由
<p>3.5.3 解析コード及び解析条件の不確かさの影響評価</p> <p>解析コード及び解析条件の不確かさの影響評価の範囲として、運転員等操作時間に与える影響、評価項目となるパラメータに与える影響及び要員の配置による他の操作に与える影響及び操作時間余裕を評価する。</p> <p>本評価事故シーケンスは、事象進展が緩やかであり、運転員等操作である恒設代替低圧注水ポンプを用いた代替格納容器スプレイにより、原子炉格納容器内部に注水することで溶融炉心によるコンクリート侵食を抑制することが特徴である。</p> <p>また、不確かさの影響を確認する運転員等操作は、炉心損傷を起点とする恒設代替低圧注水ポンプによる代替格納容器スプレイの開始操作とする。</p>	<p>3.5.3 解析コード及び解析条件の不確かさの影響評価</p> <p>解析コード及び解析条件の不確かさの影響評価の範囲として、運転員等操作時間に与える影響、評価項目となるパラメータに与える影響及び要員の配置による他の操作に与える影響及び操作時間余裕を評価する。</p> <p>本評価事故シーケンスは、事象進展が緩やかであり、運転員等操作である恒設代替低圧注水ポンプを用いた代替格納容器スプレイにより、原子炉格納容器内部に注水することで溶融炉心によるコンクリート侵食を抑制することが特徴である。</p> <p>また、不確かさの影響を確認する運転員等操作は、炉心損傷を起点とする恒設代替低圧注水ポンプによる代替格納容器スプレイの開始操作とする。</p>	<p>3.5.3 解析コード及び解析条件の不確かさの影響評価</p> <p>解析コード及び解析条件の不確かさの影響評価の範囲として、運転員等操作時間に与える影響、評価項目となるパラメータに与える影響及び操作時間余裕を評価するものとする。</p> <p>格納容器破損モード「溶融炉心・コンクリート相互作用」では、重大事故等対処設備を含む全ての原子炉注水機能が喪失して炉心損傷及び原子炉圧力容器の破損に至り、溶融炉心が格納容器下部へ落下してコンクリートを侵食することが特徴である。</p> <p>また、不確かさの影響を確認する運転員等操作は、事象発生から12時間程度までの短時間に期待する操作及び事象進展に有意な影響を与えると考えられる操作として、溶融炉心落下前の原子炉格納容器代替スプレイ冷却系（常設）による水張り操作及び溶融炉心落下後の原子炉格納容器下部注水系（常設）（復水移送ポンプ）による格納容器下部への注水操作とする。</p> <p>本評価事故シーケンスの有効性評価における現象の不確かさとしては、溶融炉心の粒子化、溶融炉心の拡がり、デブリから水への熱伝達及びコンクリート種類が挙げられる。</p> <p>本評価事故シーケンスの評価では、水による拡がり抑制に対して溶融炉心の拡がりを抑制した場合及びデブリ上面の性状に対して上面熱流束を変化させた場合の影響評価を実施する。</p> <p>なお、溶融炉心の粒子化の不確かさに対してエントレインメント係数を変化させた場合及びコンクリート種類に対して壁</p>	<p>7.2.5.3 解析コード及び解析条件の不確かさの影響評価</p> <p>解析コード及び解析条件の不確かさの影響評価の範囲として、運転員等操作時間に与える影響、評価項目となるパラメータに与える影響及び操作時間余裕を評価するものとする。</p> <p>格納容器破損モード「溶融炉心・コンクリート相互作用」では、格納容器スプレイ注入機能、ECCS再循環機能等の安全機能が喪失して炉心損傷及び原子炉容器の破損に至り、溶融炉心が原子炉下部キャビティへ落下してコンクリートを侵食することが特徴である。</p> <p>また、不確かさの影響を確認する運転員等操作は、事象発生から12時間程度までの短時間に期待する操作及び事象進展に有意な影響を与えると考えられる操作として、炉心損傷を起点とする代替格納容器スプレイポンプによる代替格納容器スプレイの開始操作とする。</p>	<p>【大飯、高浜】評価方針の相違（女川実績の反映）</p> <p>【大飯、高浜】記載方針の相違（女川実績の反映）</p> <p>・操作の特徴ではなく事故の特徴について記載</p> <p>【大飯、高浜】記載方針の相違（女川実績の反映）</p>

泊発電所3号炉 有効性評価 比較表

灰色：女川2号炉の記載のうち、BWR固有の設備や対応手段であり、泊3号炉と比較対象とならない記載内容

赤字：設備、運用又は体制の相違（設計方針の相違）
青字：記載箇所又は記載内容の相違（記載方針の相違）
緑字：記載表現、設備名称の相違（実質的な相違なし）

7.2.5 溶融炉心・コンクリート相互作用

大飯発電所3／4号炉	高浜発電所3／4号炉	女川原子力発電所2号炉	泊発電所3号炉	相違理由
<p>(1) 解析コードにおける重要現象の不確かさの影響評価 本評価事故シーケンスにおいて不確かさの影響評価を行う重要現象とは、「1.7 解析コード及び解析条件の不確かさの影響評価方針」に示すとおりであり、それらの不確かさの影響評価は以下のとおりである。</p> <p>a. 運転員等操作時間に与える影響 炉心における燃料棒内温度変化、燃料棒表面熱伝達、燃料被覆管酸化及び燃料被覆管変形に係る解析コードの炉心ヒートアップモデルは、TMI事故</p>	<p>(1) 解析コードにおける重要現象の不確かさの影響評価 本評価事故シーケンスにおいて不確かさの影響評価を行う重要現象とは、「1.7 解析コード及び解析条件の不確かさの影響評価方針」に示すとおりであり、それらの不確かさの影響評価は以下のとおりである。</p> <p>a. 運転員等操作時間に与える影響 炉心における燃料棒内温度変化、燃料棒表面熱伝達、燃料被覆管酸化及び燃料被覆管変形に係る解析コードの炉心ヒートアップモデルは、TMI事故</p>	<p>方向と床方向の熱分配を変化させた場合の本格納容器破損モードに対する影響は小さいことを確認している。これらの影響評価に加え、溶融炉心落下時の崩壊熱の影響を確認する観点から原子炉圧力容器破損時の崩壊熱が大きくなるよう起因事象を大破断LOCAとした場合の影響評価を実施する。</p> <p>これらの影響評価の結果、運転員等操作時間に与える影響ではなく、評価項目となるパラメータに与える影響として、原子炉圧力容器の支持機能を維持できることを確認している。</p> <p>また、原子炉圧力容器下鏡部温度を監視し、300°Cに到達した時点（事象発生から約2.5時間後）で格納容器下部への初期水張りを行い、格納容器下部への溶融炉心の落下に対しては、ドライウェル水位を監視することによって、ドライウェル水位が0.02mまで低下したことを確認し、格納容器下部への注水を行うといった対応によって、溶融炉心を確実に冷却できることを確認している。</p>	<p>(1) 解析コードにおける重要現象の不確かさの影響評価 本評価事故シーケンスにおいて不確かさの影響評価を行う重要現象とは、「1.7 解析コード及び解析条件の不確かさの影響評価方針」に示すとおりであり、それらの不確かさの影響評価は以下のとおりである。</p> <p>a. 運転員等操作時間に与える影響 炉心における燃料棒内温度変化、燃料棒表面熱伝達、燃料被覆管酸化及び燃料被覆管変形の不確かさとして、炉心ヒートアップに関するモデルは、T</p>	

泊発電所3号炉 有効性評価 比較表

灰色：女川2号炉の記載のうち、BWR固有の設備や対応手段であり、泊3号炉と比較対象とならない記載内容

赤字：設備、運用又は体制の相違（設計方針の相違）
青字：記載箇所又は記載内容の相違（記載方針の相違）
緑字：記載表現、設備名称の相違（実質的な相違なし）

7.2.5 溶融炉心・コンクリート相互作用

大飯発電所3／4号炉	高浜発電所3／4号炉	女川原子力発電所2号炉	泊発電所3号炉	相違理由
<p>故についての再現性が確認されており、炉心ヒートアップに係る感度解析では、炉心溶融時間に対する感度は小さく、また、炉心がヒートアップする状態では炉心出口温度の上昇が急峻であることから、炉心溶融開始の30分後に開始するものとしている恒設代替低圧注水ポンプによる代替格納容器スプレイ操作に与える影響は小さい。</p> <p>原子炉格納容器における区画間の流動の不確かさとして、原子炉格納容器の形状に基づく静水頭による流動が主であるが、原子炉格納容器圧力及び温度を起点とする運転員等操作はないことから、運転員等操作時間に与える影響はない。</p>	<p>についての再現性が確認されており、炉心ヒートアップに係る感度解析では、炉心溶融時間に対する感度は小さく、また、炉心がヒートアップする状態では炉心出口温度の上昇が急峻であることから、炉心溶融開始の30分後に開始するものとしている恒設代替低圧注水ポンプによる代替格納容器スプレイ操作に与える影響は小さい。</p> <p>原子炉格納容器における区画間・区内の流動の不確かさとして、原子炉格納容器の形状に基づく静水頭による流動が主であるが、原子炉格納容器圧力及び温度を起点とする運転員等操作はないことから、運転員等操作時間に与える影響はない。</p>	<p>M1事故についての再現性及びCO RA実験についての再現性を確認している。炉心ヒートアップの感度解析（ジルコニウム-水反応速度の係数についての感度解析）では、炉心溶融開始時間及び炉心下部ブレナムへの溶融炉心移行の開始時間に対する感度は数分程度であり、影響は小さいことを確認している。本評価事故シケンでは、原子炉圧力容器下鏡部温度が300°Cに到達した時点で格納容器下部への初期水張り操作及び原子炉圧力容器破損後、ドライウェル水位が0.02mまで低下を確認した時点で格納容器下部への注水を実施するが、炉心下部ブレナムへの溶融炉心移行の開始時間の不確かさは小さく、炉心下部ブレナムへ溶融炉心が移行した際の原子炉圧力容器下鏡部温度の上昇は急峻であること及び原子炉圧力容器破損時間の不確かさは小さいことから、原子炉圧力容器下鏡部温度及び原子炉圧力容器破損後のドライウェル水位を操作開始の起点としている格納容器下部への初期水張り操作及び原子炉圧力容器破損時の格納容器下部への注水操作に係る運転員等操作時間に与える影響は小さい。</p> <p>炉心における沸騰・ボイド率変化及び気液分離（水位変化）・対向流の不確かさとして、炉心モデル（炉心水位計算モデル）は原子炉水位挙動について原子炉圧力容器内のモデルが精緻である解析コードSAFE-Rの評価結果との比較により、水位低下幅は解析コードMAPの評価結果の方が大きく、解析コードSAFE-Rに対し</p>	<p>についての再現性が確認されており、炉心ヒートアップに係る感度解析では、炉心溶融時間に対する感度は小さく、また、炉心がヒートアップする状態では炉心出口温度の上昇が急峻であることから、炉心溶融開始の30分後に開始するものとしている代替格納容器スプレイポンプによる代替格納容器スプレイ操作に与える影響は小さい。</p> <p>原子炉格納容器における区画間の流動の不確かさとして、原子炉格納容器の形状に基づく静水頭による流動が主であるが、原子炉格納容器圧力及び温度を起点とする運転員等操作はないことから、運転員等操作時間に与える影響はない。</p>	<p>【高浜】 記載表現の相違</p>

泊発電所3号炉 有効性評価 比較表

灰色：女川2号炉の記載のうち、BWR固有の設備や対応手段であり、泊3号炉と比較対象とならない記載内容

赤字：設備、運用又は体制の相違（設計方針の相違）
青字：記載箇所又は記載内容の相違（記載方針の相違）
緑字：記載表現、設備名称の相違（実質的な相違なし）

7.2.5 溶融炉心・コンクリート相互作用

大飯発電所3／4号炉	高浜発電所3／4号炉	女川原子力発電所2号炉	泊発電所3号炉	相違理由
炉心損傷後の原子炉容器におけるリロケーションに係る解析コードの溶融炉心挙動モデルは、TMI事故についての再現性が確認されており、炉心崩壊に至る温度の感度解析により、原子炉容器破損がわずかに早まる場合があることが確認されているが、原子炉容器破損を起点とする運転員等操作はないことから、運転員等操作時間に与える影響はない。	炉心損傷後の原子炉容器におけるリロケーションに係る解析コードの溶融炉心挙動モデルは、TMI事故についての再現性が確認されており、炉心崩壊に至る温度の感度解析により、原子炉容器破損がわずかに早まる場合があることが確認されているが、原子炉容器破損を起点とする運転員等操作はないことから、運転員等操作時間に与える影響はない。	<p>て保守的であるものの、その差異は小さいことを確認していることから、運転員等操作時間に与える影響は小さい。</p> <p>炉心損傷後の原子炉圧力容器におけるリロケーション及び構造材との熱伝達の不確かさとして、溶融炉心の挙動モデルはTMI事故についての再現性を確認している。また、炉心ノード崩壊のパラメータを低下させた感度解析により原子炉圧力容器破損時間に与える影響は小さいことを確認している。リロケーションの影響を受ける可能性がある操作としては、原子炉圧力容器下鏡部温度が300°Cに到達した時点で格納容器下部への初期水張り操作があるが、炉心下部プレナムへの溶融炉心移行の開始時間の不確かさは小さく、炉心下部プレナムへ溶融炉心が移行した際の原子炉圧力容器下鏡部温度の上昇は急峻であることから、原子炉圧力容器下鏡部温度を操作開始の起点としている格納容器下部への初期水張り操作に係る運転員等操作時間に与える影響は小さい。原子炉圧力容器の破損の影響を受ける可能性がある操作としては、溶融炉心落下後の格納容器下部への注水操作があるが、原子炉圧力容器破損時間の不確かさは小さいことから、原子炉圧力容器破損後のドライウェル水位を起点としている格納容器下部への注水操作に係る運転員等操作時間に与える影響は小さい。</p> <p>炉心損傷後の原子炉圧力容器における炉心下部プレナムでの溶融炉心の熱伝達の不確かさとして、溶融炉心</p>	炉心損傷後の原子炉容器におけるリロケーションに係る解析コードの溶融炉心挙動モデルは、TMI事故についての再現性が確認されており、炉心崩壊に至る温度の感度解析により、原子炉容器破損がわずかに早まる場合があることが確認されているが、原子炉容器破損を起点とする運転員等操作はないことから、運転員等操作時間に与える影響はない。	
炉心損傷後の原子炉容器における下部プレナムでの溶融炉心の熱伝達に係る解析コードの溶融炉心挙動モ	炉心損傷後の原子炉容器における下部プレナムでの溶融炉心の熱伝達に係る解析コードの溶融炉心挙動モ		炉心損傷後の原子炉容器における下部プレナムでの溶融炉心の熱伝達に係る解析コードの溶融炉心挙動モ	

泊発電所3号炉 有効性評価 比較表

灰色：女川2号炉の記載のうち、BWR固有の設備や対応手段であり、泊3号炉と比較対象とならない記載内容

赤字：設備、運用又は体制の相違（設計方針の相違）
青字：記載箇所又は記載内容の相違（記載方針の相違）
緑字：記載表現、設備名称の相違（実質的な相違なし）

7.2.5 溶融炉心・コンクリート相互作用

大飯発電所3／4号炉	高浜発電所3／4号炉	女川原子力発電所2号炉	泊発電所3号炉	相違理由
<p>デルは、TMI事故についての再現性が確認されており、下部プレナムでの溶融炉心の熱伝達に係る感度解析により、原子炉容器破損時間に対する感度が小さいことが確認されていること、また、原子炉容器破損を起点とする運転員等操作はないことから、運転員等操作時間に与える影響はない。</p> <p>炉心損傷後の原子炉容器における原子炉容器破損・溶融に係る解析コードの溶融炉心挙動モデルは、原子炉容器破損の判定に用いる計装用案内管溶接部の最大歪みを低下させた条件における感度解析により、原子炉容器破損がわずかに早まることが確認されているが、原子炉容器破損を起点とする運転員等操作はないことから、運転員等操作時間に与える影響はない。</p>	<p>デルは、TMI事故についての再現性が確認されており、下部プレナムでの溶融炉心の熱伝達に係る感度解析により、原子炉容器破損時間に対する感度が小さいことが確認されていること、また、原子炉容器破損を起点とする運転員等操作はないことから、運転員等操作時間に与える影響はない。</p> <p>炉心損傷後の原子炉容器破損及び溶融に係る解析コードの溶融炉心挙動モデルは、原子炉容器破損の判定に用いる計装用案内管溶接部の最大歪みを低下させた条件における感度解析により、原子炉容器破損がわずかに早まることが確認されているが、原子炉容器破損を起点とする運転員等操作はないことから、運転員等操作時間に与える影響はない。</p>	<p>の挙動モデルはTMI事故についての再現性を確認している。また、炉心下部プレナムと溶融炉心の熱伝達に関する感度解析により原子炉圧力容器破損時間に与える影響は小さいことを確認している。炉心下部プレナムでの溶融炉心の熱伝達の不確かさの影響を受ける可能性がある操作としては、原子炉圧力容器下鏡部温度が300°Cに到達した時点で格納容器下部への初期水張り操作があるが、炉心下部プレナムでの溶融炉心の熱伝達の不確かさは小さいことから、原子炉圧力容器下鏡部温度を操作開始の起点としている格納容器下部への初期水張り操作に係る運転員等操作時間に与える影響は小さい。原子炉圧力容器破損の影響を受ける可能性がある操作としては、溶融炉心落下後の格納容器下部への注水操作があるが、原子炉圧力容器破損時間の不確かさは小さいことから、原子炉圧力容器破損後のドライウェル水位を起点としている格納容器下部への注水操作に係る運転員等操作時間に与える影響は小さい。</p> <p>炉心損傷後の原子炉圧力容器における原子炉圧力容器破損の不確かさとして、制御棒駆動機構ハウジング溶接部の破損判定に用いる最大ひずみ（しきい値）に関する感度解析により最大ひずみを低下させた場合に原子炉圧力容器破損時間が早まることが確認しているが、原子炉圧力容器破損（事象発生から約4.3時間後）に対して、十数分早まる程度であり、格納容器下部への注水は中央制御室から速</p>	<p>デルは、TMI事故についての再現性が確認されており、下部プレナムでの溶融炉心の熱伝達に係る感度解析により、原子炉容器破損時間に対する感度が小さいことが確認されていること、また、原子炉容器破損を起点とする運転員等操作はないことから、運転員等操作時間に与える影響はない。</p> <p>炉心損傷後の原子炉容器破損及び溶融に係る解析コードの溶融炉心挙動モデルは、原子炉容器破損の判定に用いる計装用案内管溶接部の最大歪みを低下させた条件における感度解析により、原子炉容器破損がわずかに早まることが確認されているが、原子炉容器破損を起点とする運転員等操作はないことから、運転員等操作時間に与える影響はない。</p>	<p>【大飯】記載表現の相違</p>

泊発電所3号炉 有効性評価 比較表

灰色：女川2号炉の記載のうち、BWR固有の設備や対応手段であり、泊3号炉と比較対象とならない記載内容

赤字：設備、運用又は体制の相違（設計方針の相違）
青字：記載箇所又は記載内容の相違（記載方針の相違）
緑字：記載表現、設備名称の相違（実質的な相違なし）

7.2.5 溶融炉心・コンクリート相互作用

大飯発電所3／4号炉	高浜発電所3／4号炉	女川原子力発電所2号炉	泊発電所3号炉	相違理由
炉心損傷後の原子炉容器外の溶融燃料－冷却材相互作用に係る解析コードの溶融炉心挙動モデルは、原子炉下部キャビティ水深等の感度解析により、原子炉容器外の溶融燃料－冷却材相互作用による圧力スパイクに対する感度が小さいことが確認されていること、また、原子炉容器外の溶融燃料－冷却材相互作用に対する運転員等操作はないとから、運転員等操作時間に与える影響はない。	炉心損傷後の原子炉容器外の溶融燃料－冷却材相互作用に係る解析コードの溶融炉心挙動モデルは、原子炉下部キャビティ水深等の感度解析により、原子炉容器外の溶融燃料－冷却材相互作用による圧力スパイクに対する感度が小さいことが確認されていること、また、原子炉容器外の溶融燃料－冷却材相互作用に対する運転員等操作はないとから、運転員等操作時間に与える影響はない。	<p>やかに実施可能な操作であることから、原子炉圧力容器破損後のドライウェル水位を操作開始の起点としている格納容器下部への注水操作に係る運転員等操作時間に与える影響は小さい。</p> <p>炉心損傷後の原子炉圧力容器における原子炉圧力容器内FP挙動の不確かさとして、核分裂生成物(FP)挙動モデルは、PHEBUS-FP実験解析により原子炉圧力容器内へのFP放出の開始時間を適切に再現できることを確認している。PHEBUS-FP実験解析では、燃料被覆管破裂後のFP放出について実験結果より急激な放出を示す結果が確認されたが、小規模体系の模擬性が原因と推測され、実機の大規模な体系においてこの種の不確かさは小さくなると推定される。本評価事故シーケンスでは、炉心損傷後の原子炉圧力容器内FP放出を操作開始の起点としている運転員等操作はないとから、運転員等操作時間に与える影響はない。</p> <p>炉心損傷後の原子炉格納容器における溶融燃料－冷却材相互作用の不確かさとして、溶融炉心の細粒化モデルにおけるエントレインメント係数及びデブリ粒子径の感度解析により、原子炉圧力容器外の溶融燃料－冷却材相互作用による圧力スパイクに与える影響は小さいことを確認している。本評価事故シーケンスでは、原子炉圧力容器外の溶融燃料－冷却材相互作用による圧力スパイクを起点とした運転員等操作はないとから、運転員等操作時間に与える影響はない。</p>	<p>炉心損傷後の原子炉容器における1次系内核分裂生成物挙動に係るFP挙動モデルは、PHEBUS-FP実験解析により、ギャップ放出のタイミングが適切に模擬されていることを確認している。PHEBUS-FP実験解析では、燃料被覆管破裂後のFP放出について実験結果より急激な放出を示す結果が確認されたが、小規模体系の模擬性が原因と推測され、実機の大規模な体系においてこの種の不確かさは小さくなると推定される。本評価事故シーケンスでは、炉心損傷後の1次系内核分裂生成物挙動を操作開始の起点としている運転員等操作はないとから、運転員等操作時間に与える影響はない。</p> <p>炉心損傷後の原子炉容器外の溶融燃料－冷却材相互作用に係る解析コードの溶融炉心挙動モデルは、原子炉下部キャビティ水深等の感度解析により、原子炉容器外の溶融燃料－冷却材相互作用による圧力スパイクに対する感度が小さいことが確認されていること、また、原子炉容器外の溶融燃料－冷却材相互作用に対する運転員等操作はないとから、運転員等操作時間に与える影響はない。</p>	<p>【大飯 高浜】 記載内容の相違(女川実験反映)</p>

泊発電所3号炉 有効性評価 比較表

灰色：女川2号炉の記載のうち、BWR固有の設備や対応手段であり、泊3号炉と比較対象とならない記載内容

赤字：設備、運用又は体制の相違（設計方針の相違）
青字：記載箇所又は記載内容の相違（記載方針の相違）
緑字：記載表現、設備名称の相違（実質的な相違なし）

7.2.5 溶融炉心・コンクリート相互作用

大飯発電所3／4号炉	高浜発電所3／4号炉	女川原子力発電所2号炉	泊発電所3号炉	相違理由
<p>炉心損傷後の原子炉下部キャビティ床面での溶融炉心の拡がり及び溶融炉心と原子炉下部キャビティ水の伝熱に係る解析コードの溶融炉心挙動モデルは、溶融炉心と原子炉下部キャビティ水の伝熱と原子炉下部キャビティ床面での溶融炉心の拡がりに係る感度解析により、感度解析ケースの組合せのうち、原子炉下部キャビティ床面での溶融炉心の拡がりを小さくした場合に、有意なコンクリート侵食が発生することが確認されているが、原子炉下部キャビティ床面での溶融炉心の拡がり又は溶融炉心と原子炉下部キャビティ水の伝熱に対する運転員等操作はないことから、運転員等操作時間に与える影響はない。</p> <p>炉心損傷後の溶融炉心とコンクリートの伝熱及びコンクリート分解及び非凝縮性ガス発生に係る解析コードの溶融炉心挙動モデルは、ACE及びSURC実験解析により溶融炉心のコンクリートの伝熱及びそれに伴うコンクリート侵食挙動について妥当に評価できることが確認されていること、また、溶融炉心とコンクリートの伝熱及び非凝縮性ガス発生に対する運転員等操作はないことから、運転員等操作時間に与える影響はない。</p> <p>b. 評価項目となるパラメータに与える影響</p> <p>炉心における燃料棒内温度変化、燃料棒表面熱伝達、燃料被覆管酸化及び燃料被覆管変形に係る解析コードの炉心ヒートアップモデルは、TMI事故についての再現性が確認されており、炉心ヒートアップに係る感度解析</p>	<p>炉心損傷後の原子炉下部キャビティ床面での溶融炉心の拡がり及び溶融炉心と原子炉下部キャビティ水の伝熱に係る解析コードの溶融炉心挙動モデルは、溶融炉心と原子炉下部キャビティ水の伝熱と原子炉下部キャビティ床面での溶融炉心の拡がりに係る感度解析により、感度解析ケースの組合せのうち、原子炉下部キャビティ床面での溶融炉心の拡がりを小さくした場合に、有意なコンクリート侵食が発生することが確認されているが、原子炉下部キャビティ床面での溶融炉心の拡がり又は溶融炉心と原子炉下部キャビティ水の伝熱に対する運転員等操作はないことから、運転員等操作時間に与える影響はない。</p> <p>炉心損傷後の溶融炉心とコンクリートの伝熱及びコンクリート分解及び非凝縮性ガス発生に係る解析コードの溶融炉心挙動モデルは、ACE及びSURC実験解析により溶融炉心のコンクリートの伝熱及びそれに伴うコンクリート侵食挙動について妥当に評価できることが確認されていること、また、溶融炉心とコンクリートの伝熱及び非凝縮性ガス発生に対する運転員等操作はないことから、運転員等操作時間に与える影響はない。</p> <p>b. 評価項目となるパラメータに与える影響</p> <p>炉心における燃料棒内温度変化、燃料棒表面熱伝達、燃料被覆管酸化及び燃料被覆管変形に係る解析コードの炉心ヒートアップモデルは、TMI事故についての再現性及びCO₂A実験についての再現性を確認し</p>	<p>炉心損傷後の原子炉格納容器における格納容器下部床面での溶融炉心の拡がり及び溶融炉心と格納容器下部のプール水の伝熱の不確かさとして、エントレインメント係数、溶融炉心からプール水への熱流束及び溶融プールクラスト間の熱伝達係数がコンクリート侵食量に影響を与えることを確認している。本評価事故シーケンスでは、コンクリート侵食を操作開始の起点としている運転員等操作はないことから、運転員等操作時間に与える影響はない。</p> <p>炉心損傷後の原子炉格納容器における溶融炉心とコンクリート伝熱、コンクリート分解及び非凝縮性ガス発生の不確かさとして、実験解析によりコンクリート侵食量を適切に評価できることを確認している。本評価事故シーケンスでは、コンクリート侵食量を操作開始の起点としている運転員等操作はないことから、運転員等操作時間に与える影響はない。 (添付資料3.5.2)</p> <p>b. 評価項目となるパラメータに与える影響</p> <p>炉心における燃料棒内温度変化、燃料棒表面熱伝達、燃料被覆管酸化及び燃料被覆管変形の不確かさとして、炉心ヒートアップに関するモデルは、TMI事故についての再現性及びCO₂A実験についての再現性を確認し</p>	<p>炉心損傷後の原子炉下部キャビティ床面での溶融炉心の拡がり及び溶融炉心と原子炉下部キャビティ水の伝熱に係る解析コードの溶融炉心挙動モデルは、溶融炉心と原子炉下部キャビティ水の伝熱と原子炉下部キャビティ床面での溶融炉心の拡がりに係る感度解析により、感度解析ケースの組合せのうち、原子炉下部キャビティ床面での溶融炉心の拡がりを小さくした場合に、有意なコンクリート侵食が発生することが確認されているが、原子炉下部キャビティ床面での溶融炉心の拡がり又は溶融炉心と原子炉下部キャビティ水の伝熱に対する運転員等操作はないことから、運転員等操作時間に与える影響はない。</p> <p>炉心損傷後の溶融炉心とコンクリートの伝熱及びコンクリート分解及び非凝縮性ガス発生に係る解析コードの溶融炉心挙動モデルは、ACE及びSURC実験解析により溶融炉心のコンクリートの伝熱及びそれに伴うコンクリート侵食挙動について妥当に評価できることが確認されていること、また、溶融炉心とコンクリートの伝熱及び非凝縮性ガス発生に対する運転員等操作はないことから、運転員等操作時間に与える影響はない。</p> <p>b. 評価項目となるパラメータに与える影響</p> <p>炉心における燃料棒内温度変化、燃料棒表面熱伝達、燃料被覆管酸化及び燃料被覆管変形に係る解析コードの炉心ヒートアップモデルは、TMI事故についての再現性が確認されており、炉心ヒートアップに係る感度解析で</p>	

泊発電所3号炉 有効性評価 比較表

灰色：女川2号炉の記載のうち、BWR固有の設備や対応手段であり、泊3号炉と比較対象とならない記載内容

赤字：設備、運用又は体制の相違（設計方針の相違）
青字：記載箇所又は記載内容の相違（記載方針の相違）
緑字：記載表現、設備名称の相違（実質的な相違なし）

7.2.5 溶融炉心・コンクリート相互作用

大飯発電所3／4号炉	高浜発電所3／4号炉	女川原子力発電所2号炉	泊発電所3号炉	相違理由
<p>では、下部プレナムへのリロケーション開始時間が30秒程度早まるが、原子炉容器破損時点で原子炉下部キャビティに十分に注水されていることから、解析コードの不確かさが評価項目となるパラメータに与える影響は小さい。</p> <p>原子炉格納容器における区画間の流動の不確かさとして、原子炉格納容器の形状に基づく静水頭による流動が主であることから、評価項目となるパラメータに与える影響は小さい。</p>	<p>は、下部プレナムへのリロケーション開始時間が30秒程度早まるが、原子炉容器破損時点で原子炉下部キャビティに十分に注水されていることから、解析コードの不確かさが評価項目となるパラメータに与える影響は小さい。</p> <p>原子炉格納容器における区画間・区間内の流動の不確かさとして、原子炉格納容器の形状に基づく静水頭による流動が主であることから、評価項目となるパラメータに与える影響は小さい。</p>	<p>ている。炉心ヒートアップの感度解析（ジルコニウム-水反応速度の係数についての感度解析）では、炉心溶融開始時間及び炉心下部プレナムへの溶融炉心移行の開始時間に対する感度は数分程度であり、影響は小さいことを確認している。本評価事故シーケンスでは、原子炉圧力容器破損時点で格納容器下部に初期水張りが実施されていることから、評価項目となるパラメータに与える影響は小さい。</p> <p>炉心における沸騰・ポイド率変化及び気液分離（水位変化）・対向流の不確かさとして、炉心モデル（炉心水位計算モデル）は原子炉水位挙動について原子炉圧力容器内のモデルが精緻である解析コードSAFERの評価結果との比較により、水位低下幅は解析コードMAPの評価結果の方が大きく、解析コードSAFERに対して保守的であるものの、その差異は小さいことを確認している。また、原子炉圧力容器破損時点で格納容器下部に初期水張りが実施されていることから、評価項目となるパラメータに与える影響は小さい。</p> <p>炉心損傷後の原子炉容器におけるリロケーションに係る解析コードにおける溶融炉心挙動モデルは、TMI事故についての再現性が確認されており、炉心崩壊に至る温度の感度解析により、原子炉容器破損がわずかに早まる場合があることが確認されているが、原子炉下部キャビティに十分に注水されており、解析コードの不確かさが評価項目となるパラメータに与える影響は小さい。</p>	<p>は、下部プレナムへのリロケーション開始時間が30秒程度早まるが、原子炉容器破損時点で原子炉下部キャビティに十分に注水されていることから、解析コードの不確かさが評価項目となるパラメータに与える影響は小さい。</p> <p>原子炉格納容器における区画間の流動の不確かさとして、原子炉格納容器の形状に基づく静水頭による流動が主であることから、評価項目となるパラメータに与える影響は小さい。</p>	<p>【高浜】記載表現の相違</p>
<p>炉心損傷後の原子炉容器におけるリロケーションに係る解析コードにおける溶融炉心挙動モデルは、TMI事故についての再現性が確認されており、炉心崩壊に至る温度の感度解析により、原子炉容器破損がわずかに早まる場合があることが確認されているが、原子炉下部キャビティに十分に注水されており、解析コードの不確かさが評価項目となるパラメータに与える影響は小さい。</p>	<p>炉心損傷後の原子炉容器におけるリロケーションに係る解析コードにおける溶融炉心挙動モデルは、TMI事故についての再現性が確認されており、炉心崩壊に至る温度の感度解析により、原子炉容器破損がわずかに早まる場合があることが確認されているが、原子炉下部キャビティに十分に注水されており、解析コードの不確かさが評価項目となるパラメータに与える影響は小さい。</p>	<p>炉心損傷後の原子炉容器におけるリロケーションに係る解析コードにおける溶融炉心挙動モデルは、TMI事故についての再現性が確認されており、炉心崩壊に至る温度の感度解析により、原子炉容器破損がわずかに早まる場合があることが確認されているが、原子炉下部キャビティに十分に注水されており、解析コードの不確かさが評価項目となるパラメータに与える影響は小さい。</p>		

泊発電所3号炉 有効性評価 比較表

灰色：女川2号炉の記載のうち、BWR固有の設備や対応手段であり、泊3号炉と比較対象とならない記載内容

赤字：設備、運用又は体制の相違（設計方針の相違）
青字：記載箇所又は記載内容の相違（記載方針の相違）
緑字：記載表現、設備名称の相違（実質的な相違なし）

7.2.5 溶融炉心・コンクリート相互作用

大飯発電所3／4号炉	高浜発電所3／4号炉	女川原子力発電所2号炉	泊発電所3号炉	相違理由
<p>炉心損傷後の原子炉容器における下部プレナムでの溶融炉心の熱伝達に係る解析コードの溶融炉心挙動モデルは、TMI事故についての再現性が確認されており、下部プレナムでの溶融炉心の熱伝達に係る感度解析により、原子炉容器破損時間に対する感度が小さいことが確認されていることから、評価項目となるパラメータに与える影響は小さい。</p> <p>炉心損傷後の原子炉容器における原子炉容器破損・溶融に係る解析コードの溶融炉心挙動モデルは、原子炉容器破損の判定に用いる計装用案内管溶接部の最大歪みを低下させた条件における感度解析により、原子炉容器破損がわずかに早まることが確認されているが、原子炉容器破損時点で原子炉下部キャビティに十分に注水されており、解析コードの不確かさが評価項目となるパラメータに与える影響は小さい。</p> <p>炉心損傷後の原子炉容器外における</p>	<p>炉心損傷後の原子炉容器における下部プレナムでの溶融炉心の熱伝達に係る解析コードの溶融炉心挙動モデルは、TMI事故についての再現性が確認されており、下部プレナムでの溶融炉心の熱伝達に係る感度解析により、原子炉容器破損時間に対する感度が小さいことが確認されていることから、評価項目となるパラメータに与える影響は小さい。</p> <p>炉心損傷後の原子炉容器破損及び溶融に係る解析コードの溶融炉心挙動モデルは、原子炉容器破損の判定に用いる計装用案内管溶接部の最大歪みを低下させた条件における感度解析により、原子炉容器破損がわずかに早まることが確認されているが、原子炉容器破損時点で原子炉下部キャビティに十分に注水されており、解析コードの不確かさが評価項目となるパラメータに与える影響は小さい。</p> <p>炉心損傷後の原子炉容器外における</p>	<p>ことから、評価項目となるパラメータに与える影響は小さい。</p> <p>炉心損傷後の原子炉圧力容器における炉心下部プレナムでの溶融炉心の熱伝達の不確かさとして、溶融炉心の挙動モデルはTMI事故についての再現性を確認している。また、炉心下部プレナムと溶融炉心の熱伝達に関する感度解析により、原子炉圧力容器破損時間に与える影響は小さいことを確認している。本評価事故シケンでは、原子炉圧力容器破損時点で格納容器下部に初期水張りが実施されていることから、評価項目となるパラメータに与える影響は小さい。</p> <p>炉心損傷後の原子炉圧力容器における原子炉圧力容器破損の不確かさとして、制御棒駆動機構ハウジング溶接部の破損判定に用いる最大ひずみ（しきい値）に関する感度解析により最大ひずみを低下させた場合に原子炉圧力容器破損時間が早まることが確認しているが、原子炉圧力容器破損（事象発生から約4.3時間後）に対して、早まる時間は僅かであり、破損時間が僅かに早まった場合においても、格納容器下部に初期水張りが実施されていることから、評価項目となるパラメータに与える影響は小さい。</p> <p>炉心損傷後の原子炉圧力容器における原子炉圧力容器内FP挙動の不確かさとして、原子炉圧力容器内FP挙動と溶融炉心・コンクリート相互作用による侵食量に関連はないことから、評価項目となるパラメータに与える影響はない。</p> <p>炉心損傷後の原子炉格納容器におけ</p>	<p>炉心損傷後の原子炉容器における下部プレナムでの溶融炉心の熱伝達に係る解析コードの溶融炉心挙動モデルは、TMI事故についての再現性が確認されており、下部プレナムでの溶融炉心の熱伝達に係る感度解析により、原子炉容器破損時間に対する感度が小さいことが確認されていることから、評価項目となるパラメータに与える影響は小さい。</p> <p>炉心損傷後の原子炉容器破損及び溶融に係る解析コードの溶融炉心挙動モデルは、原子炉容器破損の判定に用いる計装用案内管溶接部の最大歪みを低下させた条件における感度解析により、原子炉容器破損がわずかに早まることが確認されているが、原子炉容器破損時点で原子炉下部キャビティに十分に注水されており、解析コードの不確かさが評価項目となるパラメータに与える影響は小さい。</p> <p>炉心損傷後の原子炉容器における1次系内核分裂生成物挙動の不確かさとして、1次系内核分裂生成物挙動と溶融炉心・コンクリート相互作用による侵食量に関連はないことから、評価項目となるパラメータに与える影響はない。</p> <p>炉心損傷後の原子炉容器外における</p>	<p>【大飯】記載表現の相違</p> <p>【大飯】泊3号炉の記載方針の相違</p>

泊発電所3号炉 有効性評価 比較表

灰色：女川2号炉の記載のうち、BWR固有の設備や対応手段であり、泊3号炉と比較対象とならない記載内容

赤字：設備、運用又は体制の相違（設計方針の相違）
青字：記載箇所又は記載内容の相違（記載方針の相違）
緑字：記載表現、設備名称の相違（実質的な相違なし）

7.2.5 溶融炉心・コンクリート相互作用

大飯発電所3／4号炉	高浜発電所3／4号炉	女川原子力発電所2号炉	泊発電所3号炉	相違理由
<p>る溶融燃料－冷却材相互作用の不確かさとして、原子炉下部キャビティ水深等の感度解析により、細粒化された溶融炉心の冷却状態のコンクリート侵食に対する感度が小さいことが確認されていることから、解析コードの不確かさが評価項目となるパラメータに与える影響は小さい。</p> <p>炉心損傷後の原子炉下部キャビティ床面での溶融炉心の拡がり及び溶融炉心と原子炉下部キャビティ水の伝熱の不確かさとして、溶融炉心と原子炉下部キャビティ水の伝熱と原子炉下部キャビティ床面での溶融炉心の拡がりの感度解析を踏まえ、不確かさに関する感度解析パラメータを組合せたケースについて感度解析を行った。なお、水中での溶融物の拡がり挙動は、知見も少なく複雑であることから、解析条件として極端な設定とした。</p> <p>落下時に細粒化などにより溶融炉心の冷却が進み、原子炉下部キャビティ床面での溶融炉心の拡がりが小さい場合の感度解析では約 17cm のコンクリート侵食が発生するが、その後は原子炉下部キャビティ水により冷却されることでコンクリート侵食は停止し、原子炉下部キャビティ床面のコンクリート厚さと比較して侵食深さは十分小さい。コンクリート侵食により発生する水素は、すべてジルコニウムに起因するものであり、反応割合は全炉心内のジルコニウム量の約 6%である。また、溶融炉心の拡がりが小さい場合の拡がり面積は約 14.5m²となり、原子炉容器破損位置が原子炉下部</p>	<p>る溶融燃料－冷却材相互作用の不確かさとして、原子炉下部キャビティ水深等の感度解析により、細粒化された溶融炉心の冷却状態のコンクリート侵食に対する感度が小さいことが確認されていることから、解析コードの不確かさが評価項目となるパラメータに与える影響は小さい。</p> <p>炉心損傷後の原子炉下部キャビティ床面での溶融炉心の拡がり及び溶融炉心と原子炉下部キャビティ水の伝熱の不確かさとして、溶融炉心と原子炉下部キャビティ水の伝熱と原子炉下部キャビティ床面での溶融炉心の拡がりの感度解析を踏まえ、不確かさに関する感度解析パラメータを組合せたケースについて感度解析を行った。なお、水中での溶融物の拡がり挙動は、知見も少なく複雑であることから、解析条件として極端な設定とした。</p> <p>落下時に細粒化などにより溶融炉心の冷却が進み、原子炉下部キャビティ床面での溶融炉心の拡がりが小さい場合の感度解析では約 19cm のコンクリート侵食が発生するが、その後は原子炉下部キャビティ水により冷却されることでコンクリート侵食は停止し、原子炉下部キャビティ床面のコンクリート厚さと比較して侵食深さは十分小さい。コンクリート侵食により発生する水素は、すべてジルコニウムに起因するものであり、反応割合は全炉心内のジルコニウム量の約 6%である。また、溶融炉心の拡がりが小さい場合の拡がり面積は約 11m²となり、原子炉容器破損位置が原子炉下部</p>	<p>ける溶融燃料－冷却材相互作用の不確かさとして、エントレインメント係数の感度解析により溶融炉心の細粒化割合がコンクリート侵食に与える感度は小さいことを確認していることから、評価項目となるパラメータに与える影響は小さい。</p> <p>炉心損傷後の原子炉格納容器における格納容器下部床面での溶融炉心の拡がりについて、「付録3 重大事故等対策の有効性評価に係るシニアアクシデント解析コードについて 第5部 MAAP 添付3 溶融炉心とコンクリートの相互作用について」において、代表的な 1100MWe BWR-5 Mahr-I 改相当のプラントに対して、均一堆積形状（円柱）と種々の不均一な堆積形状の場合の水への伝熱面積を比較している。その結果、ベースケースで想定している均一堆積形状（円柱）が、最も水への伝熱面積が小さいことを確認している。格納容器下部床面での溶融炉心の拡がりを抑制する場合、ベースケースより除熱量が大きくなりコンクリート侵食量は小さくなることから、評価項目となるパラメータに対する余裕は大きくなる。</p> <p>また、溶融炉心と格納容器下部のプール水の伝熱の不確かさとして、エントレインメント係数、溶融炉心からプール水への熱流束及び溶融プールクラスト間の熱伝達係数の感度解析を踏まえ、コンクリート侵食量について支配的な溶融炉心からプール水への熱流束についての感度解析を実施</p>	<p>る溶融燃料－冷却材相互作用の不確かさとして、原子炉下部キャビティ水深等の感度解析により、細粒化された溶融炉心の冷却状態のコンクリート侵食に対する感度が小さいことが確認されていることから、解析コードの不確かさが評価項目となるパラメータに与える影響は小さい。</p> <p>炉心損傷後の原子炉下部キャビティ床面での溶融炉心の拡がり及び溶融炉心と原子炉下部キャビティ水の伝熱の不確かさとして、溶融炉心と原子炉下部キャビティ床面での溶融炉心の拡がりの感度解析を踏まえ、不確かさに関する感度解析パラメータを組合せたケースについて感度解析を行った。なお、水中での溶融物の拡がり挙動は、知見も少なく複雑であることから、解析条件として極端な設定とした。</p> <p>落下時に細粒化などにより溶融炉心の冷却が進み、原子炉下部キャビティ床面での溶融炉心の拡がりが小さい場合の感度解析では約 18cm のコンクリート侵食が発生するが、その後は原子炉下部キャビティ水により冷却されることでコンクリート侵食は停止し、原子炉下部キャビティ床面のコンクリート厚さと比較して侵食深さは十分小さい。コンクリート侵食により発生する水素は、すべてジルコニウムに起因するものであり、反応割合は全炉心内のジルコニウム量の約 6%である。また、溶融炉心の拡がりが小さい場合の拡がり面積は約 11m²となり、原子炉容器破損位置が原子炉下部</p>	<p>【大飯、高浜】 解析結果の相違</p> <p>【大飯】 解析結果の相違</p>

泊発電所3号炉 有効性評価 比較表

灰色：女川2号炉の記載のうち、BWR固有の設備や対応手段であり、泊3号炉と比較対象とならない記載内容

赤字：設備、運用又は体制の相違（設計方針の相違）
青字：記載箇所又は記載内容の相違（記載方針の相違）
緑字：記載表現、設備名称の相違（実質的な相違なし）

7.2.5 溶融炉心・コンクリート相互作用

大飯発電所3／4号炉	高浜発電所3／4号炉	女川原子力発電所2号炉	泊発電所3号炉	相違理由
<p>キャビティ側面に近いと、溶融炉心が原子炉下部キャビティ側面に接触する場合がある。解析上では、側面クラスト全体がコンクリートと接触するよう取り扱っているため、原子炉下部キャビティ側面は約17cmのコンクリート侵食が発生するが、コンクリート厚さより小さい。</p> <p>(添付資料3.4.12)</p> <p>一方、落下時に冷却されず、高温のまま床に到達する場合の感度解析では、溶融炉心は原子炉下部キャビティ床全面に拡がると考えられるため、基本ケースと同様に有意なコンクリート侵食は発生しない。</p> <p>なお、上記の場合を想定した炉心損傷後の原子炉容器外における溶融燃料－冷却材相互作用の不確かさ及び溶融炉心と原子炉下部キャビティ水の伝熱の不確かさに関する感度解析パラメータを組み合わせた感度解析では有意なコンクリート侵食が発生しないことが確認されている。</p> <p>いずれのケースにおいても、実機では溶融炉心が拡がる過程で先端から冷却が進むこと、実験等の知見において、側面コンクリートが侵食されてギャップが形成されたことで溶融物の冷却が促進し、コンクリート侵食が抑制されることから、原子炉下部キャビティ側面への侵食はさらに小さく抑えられると考えられる。</p> <p>以上のことから、コンクリート侵食が原子炉格納容器の構造部材の支持機能に影響を与えることはない。</p> <p>炉心損傷後の原子炉格納容器にお</p>	<p>キャビティ側面に近いと、溶融炉心が原子炉下部キャビティ側面に接触する場合がある。解析上では、側面クラスト全体がコンクリートと接触するよう取り扱っているため、原子炉下部キャビティ側面は約19cmのコンクリート侵食が発生するが、コンクリート厚さより小さい。</p> <p>(添付資料3.4.10)</p> <p>一方、落下時に冷却されず、高温のまま床に到達する場合の感度解析では、溶融炉心は原子炉下部キャビティ床全面に拡がると考えられるため、原子炉下部キャビティ床面、側面とも、約4mmのコンクリート侵食が発生する。</p> <p>いずれのケースにおいても実機では溶融炉心が拡がる過程で先端から冷却が進むこと、実験等の知見において、側面コンクリートが侵食されてギャップが形成されたことで溶融物の冷却が促進し、コンクリート侵食が抑制されることから、原子炉下部キャビティ側面への侵食はさらに小さく抑えられると考えられる。</p> <p>以上のことから、コンクリート侵食が原子炉格納容器の構造部材の支持機能に影響を与えることはない。</p> <p>炉心損傷後の原子炉格納容器にお</p>	<p>した。感度解析の結果、第3.5.13図に示すとおり、コンクリート侵食量は格納容器下部の床面で約18cm、壁面で約18cmに抑えられ、原子炉圧力容器の支持機能を維持できる。</p> <p>なお、本感度解析では、格納容器下部での溶融炉心・コンクリート相互作用によって約124kgの可燃性ガス及びその他の非凝縮性ガスが発生するが、本評価においてもジルコニウム－水反応によって約487kgの水素が発生することを考慮すると、溶融炉心・コンクリート相互作用による可燃性ガス及びその他の非凝縮性ガスの発生が格納容器圧力に与える影響は小さい。</p> <p>溶融炉心・コンクリート相互作用による可燃性ガスの発生が、可燃性ガスの燃焼の可能性に及ぼす影響について、本評価における格納容器下部への溶融炉心落下後の格納容器内の水素濃度は、ウェット条件、ドライ条件とともに13vol%を上回る。このことから、本感度解析の溶融炉心・コンクリート相互作用に伴って発生する可燃性ガスの発生量を、本評価の結果に加えて気相濃度を評価しても、格納容器内の可燃性ガスの燃焼の可能性には影響しない。</p> <p>なお、溶融炉心・コンクリート相互作用によって生じる約124kgの気体の内訳は、可燃性ガスである水素が約111kg、一酸化炭素が約14kg、その他非凝縮性ガスである二酸化炭素が1kg未満である。ジルコニウム－水反応によって発生する水素も考慮すると、格納容器内に存在する可燃性ガスとしては水素が支配的であり、一酸化</p>	<p>キャビティ壁面に近いと、溶融炉心が原子炉下部キャビティ壁面に接触する場合がある。解析上では、壁面クラスト全体がコンクリートと接触するよう取り扱っているため、原子炉下部キャビティ壁面は約18cmのコンクリート侵食が発生するが、コンクリート厚さより小さい。</p> <p>(添付資料7.2.4.11)</p> <p>一方、落下時に冷却されず、高温のまま床に到達する場合の感度解析では、溶融炉心は原子炉下部キャビティ床全面に拡がると考えられるため、基本ケースと同様に有意なコンクリート侵食は発生しない。</p> <p>なお、上記の場合を想定した炉心損傷後の原子炉容器外における溶融燃料－冷却材相互作用の不確かさ及び溶融炉心と原子炉下部キャビティ水の伝熱の不確かさに関する感度解析パラメータを組み合わせた感度解析では有意なコンクリート侵食が発生しないことが確認されている。</p> <p>いずれのケースにおいても実機では溶融炉心が拡がる過程で先端から冷却が進むこと、実験等の知見において、壁面コンクリートが侵食されてギャップが形成されたことで溶融物の冷却が促進し、コンクリート侵食が抑制されることから、原子炉下部キャビティ壁面への侵食はさらに小さく抑えられると考えられる。</p> <p>以上のことから、コンクリート侵食が原子炉格納容器の構造部材の支持機能に影響を与えることはない。</p> <p>炉心損傷後の原子炉格納容器にお</p>	<p>【大飯、高浜】 解説結果の相違</p> <p>【高浜】 記載表現の相違</p> <p>【高浜】 記載方針の相違</p>

泊発電所3号炉 有効性評価 比較表

灰色：女川2号炉の記載のうち、BWR固有の設備や対応手段であり、泊3号炉と比較対象とならない記載内容

赤字：設備、運用又は体制の相違（設計方針の相違）
青字：記載箇所又は記載内容の相違（記載方針の相違）
緑字：記載表現、設備名称の相違（実質的な相違なし）

7.2.5 溶融炉心・コンクリート相互作用

大飯発電所3／4号炉	高浜発電所3／4号炉	女川原子力発電所2号炉	泊発電所3号炉	相違理由
<p>ける溶融炉心とコンクリートの伝熱及びコンクリート分解及び非凝縮性ガス発生に係る解析コードの溶融炉心挙動モデルは、ACE及びSURC実験解析より溶融炉心とコンクリートの伝熱及びそれに伴うコンクリート侵食挙動について妥当に評価できることが確認されていることから、解析コードの不確かさが評価項目となるパラメータに与える影響はない。</p> <p>(2) 解析条件の不確かさの影響評価 a. 初期条件、事故条件及び重大事故等対策に関連する機器条件 初期条件、事故条件及び重大事故等対策に関連する機器条件は、第3.5.1表に示すとおりであり、それらの条件設定を設計値等、最確値とした場合の影響を評価する。また、解析条件の設定にあたっては、原則、評価項目となるパラメータに対する余裕が小さくなるような設定としていることから、その中で有意な影響を与えると考えられる炉心崩壊熱及び1次冷却材の流出流量に関する影響評価の結果を以下に示す。</p>	<p>ける溶融炉心とコンクリートの伝熱及びコンクリート分解及び非凝縮性ガス発生に係る解析コードの溶融炉心挙動モデルは、ACE及びSURC実験解析より溶融炉心とコンクリートの伝熱及びそれに伴うコンクリート侵食挙動について妥当に評価できることが確認されていることから、解析コードの不確かさが評価項目となるパラメータに与える影響はない。</p> <p>(2) 解析条件の不確かさの影響評価 a. 初期条件、事故条件及び重大事故等対策に関連する機器条件 初期条件、事故条件及び重大事故等対策に関連する機器条件は、第3.5.2.1表に示すとおりであり、それらの条件設定を設計値等、最確値とした場合の影響を評価する。また、解析条件の設定にあたっては、原則、評価項目となるパラメータに対する余裕が小さくなるような設定としていることから、その中で有意な影響を与えると考えられる炉心崩壊熱（標準値）及び1次冷却材の流出流量、並びに標準値として設定しているヒートシンク、蒸気発生器2次側保有水量及び格</p>	<p>炭素の影響は無視できる。 一方、格納容器内の酸素濃度については、溶融炉心・コンクリート相互作用では酸素は発生しないため、溶融炉心・コンクリート相互作用により発生する可燃性ガス及びその他の非凝縮性ガスを考慮することは格納容器内の酸素濃度を下げる要因となる。このため、本感度解析ケースの溶融炉心・コンクリート相互作用に伴って発生する可燃性ガス及びその他の非凝縮性ガスの発生量を本評価の結果に加えて気相濃度を評価する場合、格納容器内の酸素濃度は「3.5.2(3) b. 評価項目等」にて示した酸素濃度（事象発生から7日後においてウェット条件で約2.1vol%，ドライ条件で約3.2vol%）以下になるものと考えられる。このため、格納容器内での可燃性ガスの燃焼が発生するおそれはない。 (添付資料3.5.2, 3.5.3)</p> <p>(2) 解析条件の不確かさの影響評価 a. 初期条件、事故条件及び重大事故等対策に関連する機器条件 初期条件、事故条件及び重大事故等対策に関連する機器条件は、第3.2.2表に示すとおりであり、それらの条件設定を設計値等、最確条件とした場合の影響を評価する。また、解析条件の設定にあたっては、評価項目となるパラメータに対する余裕が小さくなるような設定があることから、その中で事象進展に有意な影響を与えると考えられる項目に関する影響評価の結果を以下に示す。</p>	<p>ける溶融炉心とコンクリートの伝熱及びコンクリート分解及び非凝縮性ガス発生に係る解析コードの溶融炉心挙動モデルは、ACE及びSURC実験解析より溶融炉心とコンクリートの伝熱及びそれに伴うコンクリート侵食挙動について妥当に評価できることが確認されていることから、解析コードの不確かさが評価項目となるパラメータに与える影響はない。</p> <p>(2) 解析条件の不確かさの影響評価 a. 初期条件、事故条件及び重大事故等対策に関連する機器条件 初期条件、事故条件及び重大事故等対策に関連する機器条件は、第7.2.5.1表に示すとおりであり、それらの条件設定を設計値等、最確条件とした場合の影響を評価する。また、解析条件の設定にあたっては、評価項目となるパラメータに対する余裕が小さくなるような設定があることから、その中で事象進展に有意な影響を与えると考えられる炉心崩壊熱及び1次冷却材の流出流量に関する影響評価の結果を以下に示す。</p>	<p>【大飯】 記載表現の相違（女川実績の反映）</p> <p>【高浜】 記載内容の相違 ・泊は個別解析のため、標準値に係る記</p>

泊発電所3号炉 有効性評価 比較表

灰色：女川2号炉の記載のうち、BWR固有の設備や対応手段であり、泊3号炉と比較対象とならない記載内容

赤字：設備、運用又は体制の相違（設計方針の相違）
青字：記載箇所又は記載内容の相違（記載方針の相違）
緑字：記載表現、設備名称の相違（実質的な相違なし）

7.2.5 溶融炉心・コンクリート相互作用

大飯発電所3／4号炉	高浜発電所3／4号炉	女川原子力発電所2号炉	泊発電所3号炉	相違理由
<p>(a) 運転員等操作時間に与える影響 炉心崩壊熱を最確値とした場合、解析条件で設定している炉心崩壊熱より小さくなるため、炉心損傷開始が遅くなり、炉心損傷を起点とする恒設代替低圧注水ポンプによる代替格納容器スプレイ操作の開始が遅くなる。</p> <p>また、炉心崩壊熱を最確値とした場合、解析条件で設定している炉心崩壊熱より小さくなるため、原子炉格納容器への放出エネルギーが小さくなり、原子炉格納容器の圧力上昇が緩和される。しかしながら、原子炉格納容器圧力を起点とする運転員等操作はなく、運転員等操作時間に与える影響はない。</p>	<p>納容器再循環ユニットの除熱特性に関する影響評価の結果を以下に示す。 (a) 運転員等操作時間に与える影響 炉心崩壊熱を最確値とした場合、解析条件で設定している炉心崩壊熱より小さくなるため、炉心損傷開始が遅くなり、炉心損傷を起点とする恒設代替低圧注水ポンプによる代替格納容器スプレイ操作の開始が遅くなる。</p> <p>また、炉心崩壊熱を最確値とした場合、解析条件で設定している炉心崩壊熱より小さくなるため、原子炉格納容器への放出エネルギーが小さくなり、さらに、ヒートシンクを最確値とした場合、解析条件で設定しているヒートシンクより大きくなるため、原子炉格納容器の圧力上昇が緩和される。しかしながら、原子炉格納容器圧力を起点とする運転員等操作はなく、運転員等操作時間に与える影響はない。</p> <p>蒸気発生器2次側保有水量を最確値とした場合、解析条件で設定している保有水量より多くなるが、本評価事故シーケンスは大破断LOCAを想定しており、2次系からの冷却効果はわずかであることから、運転員等操作時間に与える影響は小さい。</p>	<p>(a) 運転員等操作時間に与える影響 初期条件の原子炉停止後の崩壊熱は、解析条件の燃焼度33GWd/tに対応したものとしており、その最確条件は平均的燃焼度約31GWd/tであり、解析条件の不確かさとして、最確条件とした場合は、解析条件で設定している崩壊熱よりも小さくなるため、発生する蒸気量は少なくなり、原子炉圧力容器の破損に至るまでの事象進展は緩和されるが、操作手順（原子炉圧力容器下鏡部温度に応じて格納容器下部への初期水張り操作を実施すること及び原子炉圧力容器破損後のドライウェル水位に応じて格納容器下部への注水操作を開始すること）に変わりはないことから、運転員等操作時間に与える影響はない。</p> <p>初期条件の溶融炉心からプール水への熱流束は、解析条件の800kW/m²相当（圧力依存あり）に対して最確条件は解析条件の800kW/m²相当（圧力依存あり）であり、最確条件とした場合は、解析条件と同様であるため、事象進展に与える影響はないことから、運転員等操作時間に与える影響はない。</p> <p>初期条件のコンクリート以外の構造材の扱いは、解析条件の内側鋼板、外側鋼板及びリブ鋼板は考慮しないことに対して最確条件はコンクリート以外の構造材を考慮することであり、解析条件の不確かさとして、最確条件とした場合は、コン</p>	<p>(a) 運転員等操作時間に与える影響 初期条件の原子炉停止後の炉心崩壊熱を最確条件とした場合、解析条件で設定している炉心崩壊熱より小さくなるため、炉心損傷開始が遅くなり、炉心損傷を起点とする代替格納容器スプレイポンプによる代替格納容器スプレイ操作の開始が遅くなるが、操作手順（炉心損傷の判断後、準備が完了した段階でスプレイ実施）に変わりはないことから、運転員等操作時間に与える影響について詳細に記載</p> <p>また、炉心崩壊熱を最確条件とした場合、解析条件で設定している炉心崩壊熱より小さくなるため、原子炉格納容器への放出エネルギーが小さくなり、原子炉格納容器の圧力上昇が緩和される。しかしながら、原子炉格納容器圧力を起点とする運転員等操作はなく、運転員等操作時間に与える影響はない。</p> <p>初期条件の溶融炉心からプール水への熱流束は、解析条件の800kW/m²相当（圧力依存あり）に対して最確条件は解析条件の800kW/m²相当（圧力依存あり）であり、最確条件とした場合は、解析条件と同様であるため、事象進展に与える影響はないことから、運転員等操作時間に与える影響はない。</p> <p>初期条件のコンクリート以外の構造材の扱いは、解析条件の内側鋼板、外側鋼板及びリブ鋼板は考慮しないことに対して最確条件はコンクリート以外の構造材を考慮することであり、解析条件の不確かさとして、最確条件とした場合は、コン</p>	<p>載をしない（大飯と同様）</p> <p>【大飯、高浜】 記載方針の相違 ・運転員等操作時間に与える影響について詳細に記載</p> <p>【高浜】 評価方針の相違 ・泊は個別解析のため不確かさの影響評価の対象外（大飯と同様）</p> <p>【高浜】 評価方針の相違 ・同上</p>

泊発電所3号炉 有効性評価 比較表

灰色：女川2号炉の記載のうち、BWR
固有の設備や対応手段であり、泊3
号炉と比較対象とならない記載内容

赤字：設備、運用又は体制の相違（設計方針の相違）
青字：記載箇所又は記載内容の相違（記載方針の相違）
緑字：記載表現、設備名称の相違（実質的な相違なし）

7.2.5 溶融炉心・コンクリート相互作用

大飯発電所3／4号炉	高浜発電所3／4号炉	女川原子力発電所2号炉	泊発電所3号炉	相違理由
地震により Excess LOCA が発生した場合、1次冷却材の流出流量の増加により、炉心損傷が早まる。その結果、炉心溶融開始の30分後に開始するものとしている恒設代替低圧注水ポンプによる代替格納容器スプレイの開始は早まる	地震により Excess LOCA が発生した場合、1次冷却材の流出流量の増加により、炉心損傷が早まる。その結果、炉心溶融開始の30分後に開始するものとしている恒設代替低圧注水ポンプによる代替格納容器スプレイの開始は早まるが、解析条	<p>クリートより融点が高い内側鋼板、外側鋼板及びリップ鋼板の耐熱の効果により、溶融炉心・コンクリート相互作用によるコンクリート侵食が抑制されるが、コンクリート侵食量を操作開始の起点としている運転員等操作はないことから、運転員等操作時間に与える影響はない。</p> <p>初期条件の原子炉圧力容器下部の構造物の扱いは、解析条件の格納容器下部に落下する溶融物とは扱わないことに対して、最確条件は部分的な溶融が生じ、格納容器下部に落下する可能性があり、解析条件の不確かさとして、最確条件とした場合は、溶融物の発熱密度が下がるため、溶融炉心・コンクリート相互作用によるコンクリート侵食は抑制されるが、コンクリート侵食量を操作開始の起点としている運転員等操作はないことから、運転員等操作時間に与える影響はない。</p> <p>初期条件の原子炉水位、炉心流量、サブレッシュンプール水位及び格納容器圧力は、解析条件の不確かさとして、ゆらぎにより解析条件に対して変動を与え得るが、事象進展に与える影響は小さいことから、運転員等操作時間に与える影響は小さい。</p> <p>事故条件の起因事象は、原子炉圧力容器への給水はできないものとして給水流量の全喪失を設定しているが、起因事象の違いによって操作手順（原子炉圧力容器下鏡部温度に応じて格納容器下部への初期水張り操作を実施すること及び原子</p>	事故条件の起因事象は、解析条件の不確かさとして、地震により Excess LOCA が発生した場合、1次冷却材の流出流量の増加により、炉心損傷が早まる。その結果、炉心溶融開始の30分後に開始するものとしている代替格納容器スプレイボ	

泊発電所3号炉 有効性評価 比較表

灰色：女川2号炉の記載のうち、BWR固有の設備や対応手段であり、泊3号炉と比較対象とならない記載内容

赤字：設備、運用又は体制の相違（設計方針の相違）
青字：記載箇所又は記載内容の相違（記載方針の相違）
緑字：記載表現、設備名称の相違（実質的な相違なし）

7.2.5 溶融炉心・コンクリート相互作用

大飯発電所3／4号炉	高浜発電所3／4号炉	女川原子力発電所2号炉	泊発電所3号炉	相違理由
<p>が、解析条件と同様に事象発生の約51分後に代替格納容器スプレイを開始したとしても、評価項目となるパラメータに与える影響は小さいことを「3.5.3(2)a. (b) 評価項目となるパラメータに与える影響」におけるExcess LOCAの感度解析により確認していることから、操作時間を早める必要はなく、運転員等操作時間に与える影響はない。</p> <p>(b) 評価項目となるパラメータに与える影響 炉心崩壊熱を最確値とした場合、解析条件で設定している炉心崩壊熱より小さくなるため、溶融炉心のもつエネルギーが小さくなり、原子炉容器破損が遅くなることから、溶融炉心の原子炉下部キャビティ落下時点での原子炉下部キャビティ</p>	<p>件と同様に事象発生の約49分後に代替格納容器スプレイを開始したとしても、評価項目となるパラメータに与える影響は小さいことを「(b) 評価項目となるパラメータに与える影響」におけるExcess LOCAの感度解析により確認していることから、運転員等操作時間に与える影響はない。</p> <p>格納容器再循環ユニットの除熱特性を最確値とした場合、解析条件で設定している除熱特性より高くなるため、原子炉格納容器圧力及び温度の上昇が遅くなるが、格納容器内自然対流冷却の開始後に原子炉格納容器圧力を起点とする運転員等操作はなく、運転員等操作時間に与える影響はない。また、原子炉格納容器内に水素が存在する場合、除熱性能が低下するため、原子炉格納容器圧力はわずかに高く推移するが、格納容器内自然対流冷却の開始後に原子炉格納容器圧力を起点とする運転員等操作はなく、運転員等操作時間に与える影響はない。</p> <p>(b) 評価項目となるパラメータに与える影響 炉心崩壊熱を最確値とした場合、解析条件で設定している炉心崩壊熱より小さくなるため、溶融炉心のもつエネルギーが小さくなり、原子炉容器破損が遅くなることから、溶融炉心の原子炉下部キャビティ落下時点での原子炉下部キャビティ</p>	<p>炉圧力容器破損後のドライウェル水位に応じて格納容器下部への注水操作を開始すること)に変わりはないことから、運転員等操作時間に与える影響はない。 (添付資料3.5.2)</p> <p>(b) 評価項目となるパラメータに与える影響 初期条件の原子炉停止後の崩壊熱は、解析条件の燃焼度33GWd/tに対応したものとしており、その最確条件は平均的燃焼度約31GWd/tであり、解析条件の不確かさとして、最確条件とした場合は、解析条件で設定している崩壊熱よりも小さく</p>	<p>ンプによる代替格納容器スプレイの開始は早まるが、解析条件と同様に事象発生の約49分後に代替格納容器スプレイを開始したとしても、評価項目となるパラメータに与える影響は小さいことを「7.2.5.3(2)a. (b) 評価項目となるパラメータに与える影響」におけるExcess LOCAの感度解析により確認していることから、操作時間を早める必要はなく、運転員等操作時間に与える影響はない。</p> <p>(b) 評価項目となるパラメータに与える影響 初期条件の原子炉停止後の炉心崩壊熱を最確条件とした場合、解析条件で設定している炉心崩壊熱より小さくなるため、溶融炉心のもつエネルギーが小さくなり、原子炉容器破損が遅くなることから、溶融炉心の原子炉下部キャビティ落下時</p>	<p>【大飯】 評価結果の相違</p> <p>【高浜】 記載方針の相違</p> <p>【高浜】 評価方針の相違 ・泊は個別解析のため不確かさの影響評価の対象外（大飯と同様）</p>

泊発電所3号炉 有効性評価 比較表

灰色：女川2号炉の記載のうち、BWR固有の設備や対応手段であり、泊3号炉と比較対象とならない記載内容

赤字：設備、運用又は体制の相違（設計方針の相違）
青字：記載箇所又は記載内容の相違（記載方針の相違）
緑字：記載表現、設備名称の相違（実質的な相違なし）

7.2.5 溶融炉心・コンクリート相互作用

大飯発電所3／4号炉	高浜発電所3／4号炉	女川原子力発電所2号炉	泊発電所3号炉	相違理由
水量は多くなり、落下した溶融炉心の熱量も小さくなるため、評価項目となるパラメータに対する余裕は大きくなる。	<p>水量は多くなり、落下した溶融炉心の熱量も小さくなるため、評価項目となるパラメータに対する余裕は大きくなる。</p> <p>ヒートシンクを最確値とした場合、解析条件で設定しているヒートシンクより大きくなるため、原子炉格納容器圧力及び温度上昇が緩和されるが、原子炉容器破損時点での原子炉下部キャビティ水量に影響しないため、評価項目となるパラメータに与える影響はない。</p> <p>蒸気発生器2次側保有水量を最確値とした場合、解析条件で設定している保有水量より多くなるが、本評価事故シーケンスは大破断LOCAを想定しており、2次系からの冷却効果はわずかであることから、評価項目となるパラメータに与える影響は小さい。</p>	<p>なるため、溶融炉心の持つエネルギーが小さくなることから、評価項目となるパラメータに対する余裕は大きくなる。</p> <p>初期条件の溶融炉心からプール水への熱流束は、解析条件の800kW/m²相当（圧力依存あり）に対して最確条件は800kW/m²相当（圧力依存あり）であり、最確条件とした場合は、解析条件と同様であるため、事象進展に影響はないことから、評価項目となるパラメータに与える影響はない。コンクリート侵食量に対しては、実験で確認されている侵食面における侵食の不均一性等の影響を確認する観点から、コンクリート侵食量への影響が最も大きい溶融炉心からプール水への熱流束について、感度解析を実施した。感度解析の結果、第3.5.13図に示すとおり、コンクリート侵食量は格納容器下部の床面で約18cm、壁面で約18cmに抑えられることから、原子炉圧力容器の支持機能を維持できる。</p> <p>なお、本感度解析では、格納容器下部での溶融炉心・コンクリート相互作用によって約124kgの可燃性ガス及びその他の非凝縮性ガスが発生するが、本評価においてもジルコニアム-水反応によって約487kgの水素が発生することを考慮すると、溶融炉心・コンクリート相互作用による可燃性ガス及びその他の非凝縮性ガスの発生が格納容器圧力に与える影響は小さい。</p> <p>溶融炉心・コンクリート相互作用</p>	<p>点での原子炉下部キャビティ水量は多くなり、落下した溶融炉心の熱量も小さくなるため、評価項目となるパラメータに対する余裕は大きくなる。</p>	<p>【高浜】 評価方針の相違 ・泊は個別解析のため不確かさの影響評価の対象外（大飯と同様）</p> <p>【高浜】 評価方針の相違 ・同上</p>

泊発電所3号炉 有効性評価 比較表

灰色：女川2号炉の記載のうち、BWR
固有の設備や対応手段であり、泊3
号炉と比較対象とならない記載内容

赤字：設備、運用又は体制の相違（設計方針の相違）
青字：記載箇所又は記載内容の相違（記載方針の相違）
緑字：記載表現、設備名称の相違（実質的な相違なし）

7.2.5 溶融炉心・コンクリート相互作用

大飯発電所3／4号炉	高浜発電所3／4号炉	女川原子力発電所2号炉	泊発電所3号炉	相違理由
		<p>による可燃性ガスの発生が、可燃性ガスの燃焼の可能性に及ぼす影響について、本評価における格納容器下部への溶融炉心落下後の格納容器内の水素濃度は、ウェット条件、ドライ条件ともに 13vol%を上回る。このことから、本感度解析の溶融炉心・コンクリート相互作用によって発生する可燃性ガスの発生量を、本評価の結果に加えて格納容器内の気相濃度を評価しても、格納容器内での可燃性ガスの燃焼の可能性には影響しない。</p> <p>なお、溶融炉心・コンクリート相互作用によって生じる約 124kg の気体の内訳は、可燃性ガスである水素が約 111kg、一酸化炭素が約 14kg、その他の非凝縮性ガスである二酸化炭素が 1 kg 未満である。ジルコニアウム-水反応によって発生する水素も考慮すると、格納容器内に存在する可燃性ガスとしては水素が支配的であり、一酸化炭素の影響は無視できる。</p> <p>一方、格納容器内の酸素濃度については、溶融炉心・コンクリート相互作用では酸素は発生しないため、溶融炉心・コンクリート相互作用により発生する可燃性ガス及びその他の非凝縮性ガスを考慮することによって格納容器内の酸素濃度を下げる要因となる。このため、本感度解析の溶融炉心・コンクリート相互作用によって発生する可燃性ガス及びその他の非凝縮性ガスの発生量を、本評価の結果に加えて気相濃度を評価する場合、格納容器内の酸素濃度</p>		

泊発電所3号炉 有効性評価 比較表

灰色：女川2号炉の記載のうち、BWR
固有の設備や対応手段であり、泊3
号炉と比較対象とならない記載内容

赤字：設備、運用又は体制の相違（設計方針の相違）
青字：記載箇所又は記載内容の相違（記載方針の相違）
緑字：記載表現、設備名称の相違（実質的な相違なし）

7.2.5 溶融炉心・コンクリート相互作用

大飯発電所3／4号炉	高浜発電所3／4号炉	女川原子力発電所2号炉	泊発電所3号炉	相違理由
		<p>度は「3.5.2(3) b. 評価項目等」にて示した酸素濃度（事象発生から7日後においてウェット条件で約2.1vol %, ドライ条件で約3.2vol%）以下となる。このため、格納容器内での可燃性ガスの燃焼が発生するおそれはない。</p> <p>初期条件のコンクリート以外の構造材の扱いは、解析条件の内側鋼板、外側鋼板及びリブ鋼板は考慮しないことに対して最確条件はコンクリート以外の構造材を考慮することであり、解析条件の不確かさとして、最確条件とした場合は、コンクリートより融点が高い内側鋼板、外側鋼板及びリブ鋼板の耐熱の効果により、溶融炉心・コンクリート相互作用によるコンクリート侵食が抑制されることから、評価項目となるパラメータに対する余裕は大きくなる。侵食は内側鋼板内に抑えられ、外側鋼板に影響はないことがら、原子炉圧力容器の支持機能を維持できる。</p> <p>初期条件の原子炉圧力容器下部の構造物の扱いは、解析条件の格納容器下部に落下する溶融物とは扱わないことに対して最確条件は部分的な溶融が生じ、格納容器下部に落下する可能性があり、解析条件の不確かさとして、最確条件とした場合は、溶融物の発熱密度が下がるため、溶融炉心・コンクリート相互作用によるコンクリート侵食が抑制されることから、評価項目となるパラメータに対する余裕は大きくなる。</p>		

泊発電所3号炉 有効性評価 比較表

灰色：女川2号炉の記載のうち、BWR固有の設備や対応手段であり、泊3号炉と比較対象とならない記載内容

赤字：設備、運用又は体制の相違（設計方針の相違）
青字：記載箇所又は記載内容の相違（記載方針の相違）
緑字：記載表現、設備名称の相違（実質的な相違なし）

7.2.5 溶融炉心・コンクリート相互作用

大飯発電所3／4号炉	高浜発電所3／4号炉	女川原子力発電所2号炉	泊発電所3号炉	相違理由
<p>地震により Excess LOCA が発生した場合、1次冷却材の流出流量の増加により炉心及び原子炉格納容器への影響が考えられることから、破断規模及び破断箇所について以下のケースの感度解析を実施した。</p> <ul style="list-style-type: none"> ・1次冷却材高温側配管全ループ破断 ・1次冷却材低温側配管全ループ破断 ・原子炉容器下端における破損 (開口面積: 高温側配管両端破断相当) <p>いずれの感度ケースも恒設代替低圧注水ポンプによる代替格納容器スプレイの開始時間は基本ケースである大破断LOCA時と同様に事象発生の約 51 分後とした。その結果、第3.5.3図から第3.5.8図に示すとおり、各ケースともに原子炉下部キャビティへの溶融炉心落下時点で原子炉下部キャビティ水が十分存在するため、ベースマットに有意な侵食は発生せず、評価項目となるパラメータに与える影響は小さいことを確認した。</p> <p>(添付資料 3.1.1.19)</p>	<p>地震により Excess LOCA が発生した場合、1次冷却材の流出流量の増加により炉心及び原子炉格納容器への影響が考えられることから、破断規模及び破断箇所について以下のケースの感度解析を実施した。</p> <ul style="list-style-type: none"> ・1次冷却材高温側配管 全ループ破断 ・1次冷却材低温側配管 全ループ破断 ・原子炉容器下端における破損 (開口面積: 高温側配管両端破断相当) <p>いずれの感度ケースも恒設代替低圧注水ポンプによる代替格納容器スプレイ開始時間は基本ケースである大破断 LOCA 時と同様に事象発生の約 49 分後とした。その結果、第3.5.3.1図から第3.5.3.6図に示すとおり、各ケースともに原子炉下部キャビティへの溶融炉心落下時点で原子炉下部キャビティ水が十分存在するため、ベースマットに有意な侵食は発生せず、評価項目となるパラメータに与える影響は小さいことを確認した。</p> <p>(添付資料 3.1.1.19)</p>	<p>初期条件の原子炉水位、炉心流量、サプレッションプール水位及び格納容器圧力は、解析条件の不確さとして、ゆらぎにより解析条件に対して変動を与えるが、事象進展に与える影響は小さいことから、評価項目となるパラメータに与える影響は小さい。</p> <p>事故条件について、溶融炉心・コンクリート相互作用によるコンクリート侵食量を評価するに当たり、溶融炉心落下時の崩壊熱の影響を確認する観点から感度解析を実施した。感度解析は、原子炉水位の以下の観点でより厳しい事象である LOCA 等の原子炉冷却材圧力バウンダリ喪失を仮定し、事故シーケンスを「大破断 LOCA + HPCS 失敗 + 低圧 ECCS 失敗 + 全交流動力電源喪失」とし、本評価事故シーケンスの評価条件と同様、電源の有無に係らず重大事故等対処設備による原子炉注水機能についても原子炉圧力容器破損まで使用できないものと仮定した。その場合、原子炉水位の低下が早く、原子炉圧力容器破損までの時間が約 3.0 時間となる。その結果、第 3.5.14 図に示すとおり、コンクリート侵食量は床面で約 3 cm、壁面では約 3 cm に抑えられ、原子炉圧力容器の支持機能を維持できる。また、同様に原子炉圧力容器破損までの時間を約 3.0 時間とし、仮に溶融炉心のドレンサンプへの流入を考慮した場合の感度解析を実施した。その結果、第 3.5.15 図に示すとおり、ドレンサン</p>	<p>事故条件の起因事象は、解析条件の不確さとして、地震により Excess LOCA が発生した場合、1次冷却材の流出流量の増加により炉心及び原子炉格納容器への影響が考えられることから、破断規模及び破断箇所について以下のケースの感度解析を実施した。</p> <ul style="list-style-type: none"> ・1次冷却材高温側配管 全ループ破断 ・1次冷却材低温側配管 全ループ破断 ・原子炉容器下端における破損 (開口面積: 高温側配管両端破断相当) <p>いずれの感度ケースも代替格納容器スプレイポンプによる代替格納容器スプレイ開始時間は基本ケースである大破断 LOCA 時と同様に事象発生の約 49 分後とした。その結果、第 7.2.5.3 図から第 7.2.5.11 図に示すとおり、各ケースともに原子炉下部キャビティへの溶融炉心落下時点で原子炉下部キャビティ水が十分存在するため、ベースマットに有意な侵食は発生せず、評価項目となるパラメータに与える影響は小さいことを確認した。</p> <p>(添付資料 7.2.1.1.19)</p>	<p>【大飯】 解析結果の相違</p>

泊発電所3号炉 有効性評価 比較表

灰色：女川2号炉の記載のうち、BWR固有の設備や対応手段であり、泊3号炉と比較対象とならない記載内容

赤字：設備、運用又は体制の相違（設計方針の相違）
青字：記載箇所又は記載内容の相違（記載方針の相違）
緑字：記載表現、設備名称の相違（実質的な相違なし）

7.2.5 溶融炉心・コンクリート相互作用

大飯発電所3／4号炉	高浜発電所3／4号炉	女川原子力発電所2号炉	泊発電所3号炉	相違理由
	<p>格納容器再循環ユニットの除熱特性を最確値とした場合、解析条件で設定している除熱特性より高くなるため、原子炉格納容器圧力及び温度の上昇は遅くなるが、原子炉容器破損時点での原子炉下部キャビティ水量には影響しないため、評価項目となるパラメータに与える影響はない。</p>	<p>シップのコンクリート侵食量は、床面で約20cm、壁面で約16cmに抑えられ、原子炉格納容器バウンダリ機能及び原子炉圧力容器の支持機能を維持できる。いずれの場合においてもコンクリート侵食量が僅かであることから、本評価における溶融炉心・コンクリート相互作用による可燃性ガスの発生量は格納容器内の気相濃度に影響を与えない。このため、溶融炉心・コンクリート相互作用による可燃性ガスの蓄積及び燃焼による格納容器圧力への影響は無く、格納容器内の気体組成の推移は「3.5.2(3) b. 評価項目等」と同じとなる。</p> <p>なお、ベースケースにおける格納容器下部への溶融炉心落下後の水素濃度は、ウェット条件、ドライ条件とともに13vol%を上回る。一方、ウェット条件における酸素濃度は、酸素の蓄積が最も進む事象発生から7日後においても約2.1vol%であり、可燃限界を下回る。ドライ条件では、事象発生の約7時間後から約23時間までの間、ドライウェルにおける酸素濃度が可燃限界である5vol%を上回る。この間、ウェット条件では、格納容器下部への溶融炉心落下に伴う水蒸気発生によって、ドライウェルに存在する非凝縮性ガスが水蒸気とともにサブレッショングレンバに送り込まれ、供給される水蒸気でドライウェル内が満たされたため、ドライウェル内のほぼ100%が水蒸気となってい</p> <p>る。そのため、この間のドライ条件</p>		<p>【高浜】 評価方針の相違 ・泊は個別解析のため不確かさの影響評価の対象外（大飯と同様）</p>

泊発電所3号炉 有効性評価 比較表

灰色：女川2号炉の記載のうち、BWR
固有の設備や対応手段であり、泊3
号炉と比較対象とならない記載内容

赤字：設備、運用又は体制の相違（設計方針の相違）
青字：記載箇所又は記載内容の相違（記載方針の相違）
緑字：記載表現、設備名称の相違（実質的な相違なし）

7.2.5 溶融炉心・コンクリート相互作用

大飯発電所3／4号炉	高浜発電所3／4号炉	女川原子力発電所2号炉	泊発電所3号炉	相違理由
		<p>でのドライウェル内の気体組成は、 ほぼ水の放射線分解によって生じ る水素及び酸素の割合となり、その ウェット条件での酸素濃度は1 vol%未満（約0.004vol%）である。 また、ドライウェル内の非凝縮性ガ ス（水素、酸素及び窒素）の分圧の 和は大気圧よりも低く、 0.01MPa[abs]未満（水素及び酸素の 分圧の和は0.01MPa[abs]未満）であ る。この間のサブレッションチャン バ内のウェット条件での水蒸気の 濃度は約8.5vol%であり、サブレッ ションチャンバ内の全圧が 0.56MPa[abs]以上であることから、 非凝縮性ガス（水素、酸素及び窒素） の分圧は少なくとも0.51MPa[abs] 以上である。このため、仮にドライ ウェル内の水蒸気が凝縮してドライ ウェル内の圧力が低下し、相対的 に水素濃度及び酸素濃度が上昇し ても、ドライウェル内の水素濃度及 び酸素濃度が可燃限界を上回る前 に、サブレッションチャンバから酸 素濃度が5.0vol%未満の気体が流 入する。このため、この間において ドライウェルの酸素濃度が現実に 可燃限界である5vol%を上回るこ とはない。事象発生の約23時間後 以降は、ドライ条件を仮定しても酸 素濃度は5.0vol%未満で推移し、事 象発生から7日後の酸素濃度はド ライウェルにおいて約2.3vol%，サ ブルッションチャンバにおいて約 3.2vol%である。したがって、格納 容器スプレイの誤動作等により水 蒸気量が低下しても、可燃限界であ</p>		

泊発電所3号炉 有効性評価 比較表

灰色：女川2号炉の記載のうち、BWR固有の設備や対応手段であり、泊3号炉と比較対象とならない記載内容

赤字：設備、運用又は体制の相違（設計方針の相違）
青字：記載箇所又は記載内容の相違（記載方針の相違）
緑字：記載表現、設備名称の相違（実質的な相違なし）

7.2.5 溶融炉心・コンクリート相互作用

大飯発電所3／4号炉	高浜発電所3／4号炉	女川原子力発電所2号炉	泊発電所3号炉	相違理由
<p>b. 操作条件</p> <p>操作条件の不確かさとして、解析コード及び解析条件の不確かさが運転員等操作時間に与える影響、並びに解析上の操作開始時間と実際に見込まれる操作開始時間等の操作時間の変動を考慮して、要員の配置による他の操作に与える影響及び評価項目となるパラメータに与える影響を評価する。</p> <p>(a) 要員の配置による他の操作に与える影響 本評価事故シーケンスの要員の配置による他の操作に与える影響については、「3.1.1 格納容器過圧破損」と同様である。</p>	<p>b. 操作条件</p> <p>操作条件の不確かさとして、解析コード及び解析条件の不確かさが運転員等操作時間に与える影響、並びに解析上の操作開始時間と実際に見込まれる操作開始時間等の操作時間の変動を考慮して、要員の配置による他の操作に与える影響及び評価項目となるパラメータに与える影響を評価する。</p> <p>(a) 要員の配置による他の操作に与える影響 本評価事故シーケンスの要員の配置による他の操作に与える影響については、「3.1.1 格納容器過圧破損」と同様である。</p>	<p>る5 vol%に達することはない。 (添付資料 3.5.2, 3.5.3)</p> <p>b. 操作条件</p> <p>操作条件の不確かさとして、操作の不確かさを「認知」、「要員配置」、「移動」、「操作所要時間」、「他の並列操作有無」及び「操作の確実さ」の6要因に分類し、これらの要因が、運転員等操作時間に与える影響を評価する。また、運転員等操作時間に与える影響が評価項目となるパラメータに与える影響を評価し、評価結果を以下に示す。</p> <p>(a) 運転員等操作時間に与える影響</p> <p>操作条件の溶融炉心落下前の原子炉格納容器代替スプレイ冷却系（常設）による水張り操作は、解析上の操作時間として原子炉圧力容器下鏡部温度が300°Cに到達した時点を設定している。運転員等操作時間に与える影響として、原子炉圧力容器下鏡部温度が300°Cに到達するまでには事象発生から約2.5時間の時間余裕があり、原子炉格納容器代替スプレイ冷却系（常設）による格納容器下部への注水操作は、原子炉圧力容器下鏡部温度を監視しながら溶融炉心の炉心下部ブレナムへの移行を判断し、水張り操作を実施するため、実態の操作開始時間は解析上の設定とほぼ同等であり、操作開始時間に与える影響は小さいことから、運転員等操作時間に与える影響も小さい。当該操作は、解析コード及び解析条件（操作条件を除く）の不確かさにより操作開始時間</p>	<p>b. 操作条件</p> <p>操作条件の不確かさとして、操作の不確かさを「認知」、「要員配置」、「移動」、「操作所要時間」、「他の並列操作有無」及び「操作の確実さ」の6要因に分類し、これらの要因が運転員等操作時間に与える影響を評価する。また、運転員等操作時間に与える影響が評価項目となるパラメータに与える影響を評価し、評価結果を以下に示す。</p> <p>(a) 運転員等操作時間に与える影響 本評価事故シーケンスの運転員等操作時間に与える影響について は、「7.2.1.1 格納容器過圧破損」と同様である。</p>	<p>【大飯、高浜】 評価方針の相違（女川実績の反映）</p> <p>【大飯、高浜】 評価方針の相違（女川実績の反映） 【女川】 記載方針の相違 ・泊、大飯、高浜 は格納容器過圧破損シーケンスと同様であるため記載を省略しているが、女川は他の事故シーケンス同様ではないため解析条件の不確かさの影響評価を記載している</p>

泊発電所3号炉 有効性評価 比較表

灰色：女川2号炉の記載のうち、BWR
固有の設備や対応手段であり、泊3
号炉と比較対象とならない記載内容

赤字：設備、運用又は体制の相違（設計方針の相違）
青字：記載箇所又は記載内容の相違（記載方針の相違）
緑字：記載表現、設備名称の相違（実質的な相違なし）

7.2.5 溶融炉心・コンクリート相互作用

大飯発電所3／4号炉	高浜発電所3／4号炉	女川原子力発電所2号炉	泊発電所3号炉	相違理由
<p>(b) 評価項目となるパラメータに与える影響 炉心損傷を起点とする恒設代替低圧注水ポンプによる代替格納容器スプレイは、炉心崩壊熱を最確値とした場合、解析条件で設定している炉心崩壊熱より小さくなるため、炉心損傷開始が遅くなることで操</p>	<p>(b) 評価項目となるパラメータに与える影響 炉心損傷を起点とする恒設代替低圧注水ポンプによる代替格納容器スプレイ操作は、炉心崩壊熱を最確値とした場合、解析条件で設定している炉心崩壊熱より小さくなるため、炉心損傷開始が遅くなること</p>	<p>は遅れる可能性があるが、中央制御室で行う操作であり、他の操作との重複もないことから、他の操作に与える影響はない。 操作条件の原子炉格納容器下部注水系（常設）（復水移送ポンプ）による溶融炉心落下後の格納容器下部への注水操作は、解析上の操作時間として原子炉圧力容器破損後、ドライウェル水位が0.02mまで低下した時点（事象発生から約6.2時間後）を設定している。運転員等操作時間に与える影響として、原子炉圧力容器破損後、ドライウェル水位が0.02mに低下するまで事象発生から約6.2時間の時間余裕があり、また、溶融炉心落下後に格納容器下部注水が行われなかった場合でも、溶融炉心落下前に張られた水が蒸発するまでには約0.8時間の時間余裕がある。溶融炉心落下後の格納容器下部への注水操作はドライウェル水位を監視しながらあらかじめ準備が可能であり、実態の操作開始時間は解析上の設定とほぼ同等であるため、操作開始時間に与える影響は小さいことから、運転員等操作時間に与える影響も小さい。 (添付資料3.5.2)</p> <p>(b) 評価項目となるパラメータに与える影響 操作条件の溶融炉心落下前の原子炉格納容器代替スプレイ冷却系（常設）による水張り操作は、運転員等操作時間に与える影響として、実態の操作開始時間は解析上の設定とほぼ同等であることから、評価</p>	<p>(b) 評価項目となるパラメータに与える影響 操作条件の炉心損傷を起点とする代替格納容器スプレイポンプによる代替格納容器スプレイ操作は、運転員等操作時間に与える影響として、炉心崩壊熱を最確条件とした場合、解析条件で設定している炉心</p>	

泊発電所3号炉 有効性評価 比較表

灰色：女川2号炉の記載のうち、BWR固有の設備や対応手段であり、泊3号炉と比較対象とならない記載内容

赤字：設備、運用又は体制の相違（設計方針の相違）
青字：記載箇所又は記載内容の相違（記載方針の相違）
緑字：記載表現、設備名称の相違（実質的な相違なし）

7.2.5 溶融炉心・コンクリート相互作用

大飯発電所3／4号炉	高浜発電所3／4号炉	女川原子力発電所2号炉	泊発電所3号炉	相違理由
<p>作開始が遅くなるが、炉心崩壊熱の減少により原子炉容器破損時間も同様に遅くなる。このため、「2.5.3(3) 操作時間余裕の把握」において、事象発生の60分後に代替格納容器スプレイを開始した場合の感度解析により操作時間余裕を確認しており、同程度の遅れに対して評価項目となるパラメータに与える影響は小さい。</p> <p>(3) 操作時間余裕の把握 操作遅れによる影響度合いを把握する観点から、評価項目となるパラメータに対して、対策の有効性が確認できる範囲内での操作時間余裕を評価する。</p> <p>恒設代替低圧注水ポンプによる代替格納容器スプレイの操作の時間余裕を確認するため、解析上の開始時間は事象発生の約51分後であるのに対し、事象発生の60分後に開始する場合について、感度解析結果を第3.5.9図及び第3.5.10図に示す。その結果、原子炉容器破損時の原子炉下部キャビティ水位は約0.9mであり、コンクリート侵食を防止できていることから、事象発生から60分以上の操作時間余裕があることを確認した。</p> <p>(添付資料3.1.1.21)</p>	<p>操作開始が遅くなるが、炉心崩壊熱の減少により原子炉容器破損時間も同様に遅くなる。このため、「(3) 操作時間余裕の把握」において、事象発生の60分後に代替格納容器スプレイを開始した場合の感度解析により操作時間余裕を確認しており、同程度の遅れに対して評価項目となるパラメータに与える影響は小さい。</p> <p>(3) 操作時間余裕の把握 操作遅れによる影響度合いを把握する観点から、評価項目となるパラメータに対して、対策の有効性が確認できる範囲内での操作時間余裕を評価する。</p> <p>恒設代替低圧注水ポンプによる代替格納容器スプレイの操作の操作余裕時間を確認するため、解析上の開始時間は事象発生の約49分後であるのに対し、事象発生の60分後に開始する場合について、感度解析結果を第3.5.3.7図及び第3.5.3.8図に示す。その結果、原子炉容器破損時の原子炉下部キャビティ水位は約1.0mであり、コンクリート侵食を防止できていることから、60分以上の操作時間余裕があることを確認した。</p> <p>(添付資料3.1.1.21)</p>	<p>項目となるパラメータに与える影響は小さい。 操作条件の溶融炉心落下後の格納容器下部への原子炉格納容器下部注水系（常設）（復水移送ポンプ）による注水操作は、運転員等操作時間に与える影響として、実態の操作開始時間は解析上の設定とほぼ同等であることから、評価項目となるパラメータに与える影響は小さい。（添付資料3.5.2）</p> <p>(3) 操作時間余裕の把握 操作開始時間の遅れによる影響度合いを把握する観点から、評価項目となるパラメータに対して、対策の有効性が確認できる範囲内での操作時間余裕を確認し、その結果を以下に示す。 操作条件の溶融炉心落下前の原子炉格納容器代替スプレイ冷却系（常設）による水張り操作については、原子炉圧力容器下鏡部温度が300°Cに到達するまでに事象発生から約2.5時間の時間余裕があり、格納容器下部注水操作は、原子炉圧力容器下鏡部温度の上昇傾向を監視しながらあらかじめ準備が可能であり、操作が遅れる可能性は小さい。また、原子炉圧力容器下鏡部温度300°C到達時点での中央制御室における格納容器下部への注水操作の操作時間は約10分間である。原子炉圧力容器破損までに格納容器下部に3.67m（ドライウェル水位0.02m）の水位が形成されれば評価項目を満足する結果となり、格納容器下部に3.67mの水位を形成するまで、原子炉格納容器代替スプレイ冷却系（常設）</p>	<p>崩壊熱より小さくなるため、炉心損傷開始が遅くなることで操作開始が遅くなるが、炉心崩壊熱の減少により原子炉容器破損時間も同様に遅くなる。このため、「2.5.3(3) 操作時間余裕の把握」において、事象発生の60分後に代替格納容器スプレイを開始した場合の感度解析により操作時間余裕を確認しており、同程度の遅れに対して評価項目となるパラメータに与える影響は小さい。</p> <p>(3) 操作時間余裕の把握 操作開始時間の遅れによる影響度合いを把握する観点から、評価項目となるパラメータに対して、対策の有効性が確認できる範囲内での操作時間余裕を確認し、その結果を以下に示す。 操作条件の代替格納容器スプレイポンプによる代替格納容器スプレイの操作の時間余裕を確認するため、解析上の開始時間は事象発生の約49分後であるのに対し、事象発生の60分後に開始する場合について、感度解析結果を第7.2.5.12図から第7.2.5.14図に示す。その結果、原子炉容器破損時の原子炉下部キャビティ水位は約1.4mであり、コンクリート侵食を防止できていることから、事象発生から60分以上の時間余裕がある。</p> <p>(添付資料7.2.1.1.21)</p>	<p>【大飯、高浜】記載表現の相違（女川実績の反映）</p> <p>【高浜】記載表現の相違</p> <p>【大飯、高浜】解説結果の相違</p> <p>【高浜】記載表現の相違</p>

泊発電所3号炉 有効性評価 比較表

灰色：女川2号炉の記載のうち、BWR
固有の設備や対応手段であり、泊3
号炉と比較対象とならない記載内容

赤字：設備、運用又は体制の相違（設計方針の相違）
青字：記載箇所又は記載内容の相違（記載方針の相違）
緑字：記載表現、設備名称の相違（実質的な相違なし）

7.2.5 溶融炉心・コンクリート相互作用

大飯発電所3／4号炉	高浜発電所3／4号炉	女川原子力発電所2号炉	泊発電所3号炉	相違理由
(4) まとめ 解析コード及び解析条件の不確かさの影響評価の範囲として、運転員等操作時間に与える影響、評価項目となるパラメータに与える影響及び要員の配置による他の操作に与える影響を確認した。その結果、炉心損傷後の原子炉格納容器における原子炉下部キャビティ床面での溶融炉心の拡がり、溶融炉心と原子炉下部キャビティ水の伝熱の不確かさとして、原子炉下部キャビティ床面での溶融炉心の拡がりを極端に小さくした場合にコンクリート侵食が発生したが、原子炉下部キャビティ床面のコンクリート厚さと比較して侵食深さは十分小さい。なお、本感度解析では解析条件とし	(4) まとめ 解析コード及び解析条件の不確かさの影響評価の範囲として、運転員等操作時間に与える影響、評価項目となるパラメータに与える影響及び要員の配置による他の操作に与える影響を確認した。その結果、炉心損傷後の原子炉格納容器における原子炉下部キャビティ床面での溶融炉心の拡がり、溶融炉心と原子炉下部キャビティ水の伝熱の不確かさとして、原子炉下部キャビティ床面での溶融炉心の拡がりを極端に小さくした場合にコンクリート侵食が発生したが、原子炉下部キャビティ床面のコンクリート厚さと比較して侵食深さは十分小さい。なお、本感度解析では解析条件とし	にて約1.2時間で注水可能であり、格納容器下部注水を事象発生から約2.5時間後に開始すると、事象発生から約3.7時間後に水位形成可能である。原子炉圧力容器破損までの時間は約4.3時間後であることから、格納容器下部への注水操作は操作遅れに対して0.6時間程度の時間余裕がある。 操作条件の溶融炉心落下後の格納容器下部への原子炉格納容器下部注水系（常設）（復水移送ポンプ）による注水操作については、原子炉圧力容器破損後、ドライウェル水位が0.02mに低下するまでの時間は事象発生から約6.2時間あり、また、溶融炉心落下後に格納容器下部注水が行われなかった場合でも、溶融炉心落下前に張られた水が溶融炉心の崩壊熱及びジルコニウム－水反応による発熱により蒸発するまでには約0.8時間の時間余裕がある。 (添付資料3.5.2)	(4) まとめ 解析コード及び解析条件の不確かさの影響評価の範囲として、運転員等操作時間に与える影響、評価項目となるパラメータに与える影響及び操作時間余裕を確認した。その結果、解析コード及び解析条件の不確かさが運転員等操作時間に与える影響等を考慮した場合においても、評価項目となるパラメータに与える影響は小さい。	(4) まとめ 解析コード及び解析条件の不確かさの影響評価の範囲として、運転員等操作時間に与える影響、評価項目となるパラメータに与える影響及び操作時間余裕を確認した。その結果、炉心損傷後の原子炉格納容器における原子炉下部キャビティ床面での溶融炉心の拡がり、溶融炉心と原子炉下部キャビティ水の伝熱の不確かさとして、原子炉下部キャビティ床面での溶融炉心の拡がりを極端に小さくした場合にコンクリート侵食が発生したが、原子炉下部キャビティ床面のコンクリート厚さと比較して侵食深さは十分小さい。なお、本感度解析では解析条件として極端な設定としており、 【大飯、高浜】評価方針の相違（女川実績の反映）

泊発電所3号炉 有効性評価 比較表

灰色：女川2号炉の記載のうち、BWR固有の設備や対応手段であり、泊3号炉と比較対象とならない記載内容

赤字：設備、運用又は体制の相違（設計方針の相違）
青字：記載箇所又は記載内容の相違（記載方針の相違）
緑字：記載表現、設備名称の相違（実質的な相違なし）

7.2.5 溶融炉心・コンクリート相互作用

大飯発電所3／4号炉	高浜発電所3／4号炉	女川原子力発電所2号炉	泊発電所3号炉	相違理由
<p>て極端な設定としており、また、溶融炉心は拡がる過程で先端から冷却が進むことや側面コンクリートのギャップにより溶融物の冷却が促進されると考えられることから、実際の侵食はさらに小さく抑えられると考えられる。以上のことから、原子炉格納容器の構造部材の支持機能には影響はない。</p> <p>その他の解析コード及び解析条件の不確かさ、並びにそれらが運転員等操作時間に与える影響を考慮した場合においても、運転員等による恒設代替低圧注水ポンプ及び可搬式代替低圧注水ポンプを用いた代替格納容器スプレイ、並びに格納容器再循環ユニットを用いた格納容器内自然対流冷却により、原子炉下部キャビティに落下した溶融炉心を冷却し、原子炉格納容器雰囲気の冷却及び除熱を行うことにより、評価項目となるパラメータに与える影響は小さいことを確認した。</p> <p>この他、評価項目となるパラメータに対して、対策の有効性が確認できる範囲内において操作時間余裕がある。また、要員の配置による他の操作に与える影響はない。</p> <p>(添付資料 3.5.3、3.5.4)</p>	<p>て極端な設定としており、また、溶融炉心は拡がる過程で先端から冷却が進むことや側面コンクリートのギャップにより溶融物の冷却が促進されると考えられることから、実際の侵食はさらに小さく抑えられると考えられる。以上のことから、原子炉格納容器の構造部材の支持機能には影響はない。</p> <p>その他の解析コード及び解析条件の不確かさ、並びにそれらが運転員等操作時間に与える影響を考慮した場合においても、運転員等による恒設代替低圧注水ポンプ及び可搬式代替低圧注水ポンプを用いた代替格納容器スプレイ、並びに格納容器再循環ユニットを用いた格納容器内自然対流冷却により、原子炉下部キャビティに落下した溶融炉心を冷却し、原子炉格納容器雰囲気の冷却及び除熱を行うことにより、評価項目となるパラメータに与える影響は小さいことを確認した。</p> <p>この他、評価項目となるパラメータに対して、対策の有効性が確認できる範囲内において操作時間余裕がある。また、要員の配置による他の操作に与える影響はない。</p> <p>(添付資料 3.5.2)</p>	<p>【再掲】</p> <p>解析コード及び解析条件の不確かさの影響評価の範囲として、運転員等操作時間に与える影響、評価項目となるパラメータに与える影響及び操作時間余裕を確認した。その結果、解析コード及び解析条件の不確かさが運転員等操作時間に与える影響等を考慮した場合においても、評価項目となるパラメータに与える影響は小さい。</p> <p>このほか、評価項目となるパラメータに対して、対策の有効性が確認できる範囲内において、操作時間には時間余裕がある。</p>	<p>また、溶融炉心は拡がる過程で先端から冷却が進むことや壁面コンクリートのギャップにより溶融物の冷却が促進されると考えられることから、実際の侵食はさらに小さく抑えられると考えられる。以上のことから、原子炉格納容器の構造部材の支持機能には影響はない。</p> <p>その他の解析コード及び解析条件の不確かさが運転員等操作時間に与える影響等を考慮した場合においても、運転員等による代替格納容器スプレイポンプを用いた代替格納容器スプレイ及び格納容器再循環ユニットを用いた格納容器内自然対流冷却により、原子炉下部キャビティに落下した溶融炉心を冷却し、原子炉格納容器雰囲気の冷却及び除熱を行うことにより、評価項目となるパラメータに与える影響は小さい。</p> <p>この他、評価項目となるパラメータに対して、対策の有効性が確認できる範囲内において、操作時間には時間余裕がある。</p> <p>(添付資料 7.2.5.2, 7.2.5.3, 7.2.5.4, 7.2.5.5, 7.2.5.6, 7.2.5.7)</p>	<p>【大飯、高浜】 設計の相違 ・差異理由は前述 どおり（3ページ 参照）</p> <p>【大飯、高浜】 評価方針の相違（女 川実績の反映）</p> <p>【大飯、高浜】 添付資料の相違 ・女川の補足説明資 料等を参考にデブ リの体積高さ等に 関する添付資料を 作成</p>

泊発電所3号炉 有効性評価 比較表

灰色：女川2号炉の記載のうち、BWR固有の設備や対応手段であり、泊3号炉と比較対象とならない記載内容

赤字：設備、運用又は体制の相違（設計方針の相違）
青字：記載箇所又は記載内容の相違（記載方針の相違）
緑字：記載表現、設備名称の相違（実質的な相違なし）

7.2.5 溶融炉心・コンクリート相互作用

大飯発電所3／4号炉	高浜発電所3／4号炉	女川原子力発電所2号炉	泊発電所3号炉	相違理由
3.5.4 必要な要員及び資源の評価	3.5.4 必要な要員及び資源の評価	<p>3.5.4 必要な要員及び資源の評価 本評価事故シーケンスは、「3.2 高圧溶融物放出／格納容器雰囲気直接加熱」と同じであることから、必要な要員及び資源の評価は「3.2.4 必要な要員及び資源の評価」と同じである。 【参考までに「3.2 高圧溶融物放出／格納容器雰囲気直接加熱」を記載】</p> <p>(1) 必要な要員の評価 格納容器破損モード「溶融炉心・コンクリート相互作用」において、3号炉及び4号炉同時の重大事故等対策時に必要な要員は、「3.1.1 格納容器過圧破損」と同様である。</p> <p>(2) 必要な資源の評価 格納容器破損モード「溶融炉心・コンクリート相互作用」において、必要な水源、燃料及び電源は、「3.1.1 格納容器過圧破損」と同様である。</p>	<p>7.2.5.4 必要な要員及び資源の評価</p> <p>(1) 必要な要員の評価 格納容器破損モード「高圧溶融物放出／格納容器雰囲気直接加熱」における重大事故等対策時における必要な要員は、「3.2.1(3) 格納容器破損防止対策」に示すとおり 30名である。「6.2 重大事故等対策時に必要な要員の評価結果」で説明している、中央制御室の運転員、発電所対策本部要員及び重大事故等対応要員の 30名で対処可能である。</p> <p>(2) 必要な資源の評価 格納容器破損モード「高圧溶融物放出／格納容器雰囲気直接加熱」において、必要な水源、燃料及び電源は、「6.1(2) 資源の評価条件」の条件にて評価している。その結果を以下に示す。 【ここまで「3.2 高圧溶融物放出／格納容器雰囲気直接加熱】</p>	

泊発電所3号炉 有効性評価 比較表

灰色：女川2号炉の記載のうち、BWR固有の設備や対応手段であり、泊3号炉と比較対象とならない記載内容

赤字：設備、運用又は体制の相違（設計方針の相違）
青字：記載箇所又は記載内容の相違（記載方針の相違）
緑字：記載表現、設備名称の相違（実質的な相違なし）

7.2.5 溶融炉心・コンクリート相互作用

大飯発電所3／4号炉	高浜発電所3／4号炉	女川原子力発電所2号炉	泊発電所3号炉	相違理由
<p>3.5.5 結論</p> <p>格納容器破損モード「溶融炉心・コンクリート相互作用」では、LOCA、過渡事象又は全交流動力電源喪失時に格納容器スプレイ注入機能、ECCS再循環機能等の安全機能が重畳して、原子炉容器内の溶融炉心が原子炉格納容器内の床上へ流出する。その結果、溶融炉心からの崩壊熱や化学反応によって、原子炉下部キャビティのコンクリートが侵食され、原子炉格納容器の構造部材の支持機能の喪失に至ることが特徴である。</p> <p>格納容器破損モード「溶融炉心・コンクリート相互作用」に対する格納容器破損防止対策としては、恒設代替低圧注水ポンプを用いた代替格納容器スプレイにより原子炉格納容器内部へ注水する対策を整備している。</p> <p>格納容器破損モード「溶融炉心・コンクリート相互作用」の評価事故シーケンス「大破断LOCA時に高圧注入機能、低圧注入機能及び格納容器スプレイ注入機能が喪失する事故」に全交流動力電源喪失及び原子炉補機冷却機能喪失の重畳を考慮して有効性評価を行った。</p> <p>上記の場合においても、運転員等操作である恒設代替低圧注水ポンプ及び可搬式代替低圧注水ポンプによる代替格納容器スプレイ、並びに格納容器再循環ユニットによる格納容器内自然対流冷却を実施することにより、原子炉下部キャビティに落下した溶融炉心の冷却、並びに原子炉格納容器雰囲気の冷却及び除熱が可能である。</p> <p>その結果、ベースマットに有意な侵食は発生せず、評価項目を満足していることを</p>	<p>3.5.5 結論</p> <p>格納容器破損モード「溶融炉心・コンクリート相互作用」では、LOCA、過渡事象又は全交流動力電源喪失時に格納容器スプレイ機能、ECCS再循環機能等の安全機能が重畳して、原子炉容器内の溶融炉心が原子炉格納容器内の床上へ流出する。その結果、溶融炉心からの崩壊熱や化学反応によって、原子炉格納容器床のコンクリートが侵食され、原子炉格納容器の構造部材の支持機能の喪失に至ることが特徴である。</p> <p>格納容器破損モード「溶融炉心・コンクリート相互作用」に対する格納容器破損防止対策としては、恒設代替低圧注水ポンプを用いた代替格納容器スプレイによって原子炉格納容器内部へ注水する対策を整備している。</p> <p>格納容器破損モード「溶融炉心・コンクリート相互作用」の評価事故シーケンス「大破断LOCA時に低圧注入機能、高圧注入機能及び格納容器スプレイ注入機能が喪失する事故」に全交流動力電源喪失及び原子炉補機冷却機能喪失の重畳を考慮して有効性評価を行った。</p> <p>上記の場合においても、原子炉格納容器代替スプレイ冷却系（常設）及び原子炉格納容器下部注水系（常設）（復水移送ポンプ）による格納容器下部注水手段を整備している。</p> <p>格納容器破損モード「溶融炉心・コンクリート相互作用」の評価事故シーケンス「過渡事象+高圧注水失敗+低圧ECCS失敗+損傷炉心冷却失敗（+デブリ冷却失敗）」について、有効性評価を行った。</p> <p>上記の場合においても、原子炉格納容器代替スプレイ冷却系（常設）及び原子炉格納容器下部注水系（常設）（復水移送ポンプ）による格納容器下部注水を実施することにより、溶融炉心の冷却が可能である。</p> <p>その結果、溶融炉心・コンクリート相互作用によってコンクリート侵食量は格納</p>	<p>3.5.5 結論</p> <p>格納容器破損モード「溶融炉心・コンクリート相互作用」では、運転時の異常な過渡変化、原子炉冷却材喪失事故（LOCA）又は全交流動力電源喪失が発生するとともに、ECCS等の安全機能の喪失が重畳する。このため、原子炉圧力容器内の溶融炉心が格納容器内へ流れ出し、溶融炉心からの崩壊熱や化学反応によって、格納容器下部のコンクリートが侵食され、格納容器の構造部材の支持機能を喪失し、格納容器の破損に至ることが特徴である。</p> <p>格納容器破損モード「溶融炉心・コンクリート相互作用」に対する格納容器破損防止対策としては、原子炉格納容器代替スプレイ冷却系（常設）及び原子炉格納容器下部注水系（常設）（復水移送ポンプ）による格納容器下部注水手段を整備している。</p> <p>格納容器破損モード「溶融炉心・コンクリート相互作用」の評価事故シーケンス「過渡事象+高圧注水失敗+低圧ECCS失敗+損傷炉心冷却失敗（+デブリ冷却失敗）」について、有効性評価を行った。</p> <p>上記の場合においても、運転員等操作である代替格納容器スプレイポンプによる代替格納容器スプレイ及び格納容器再循環ユニットによる格納容器内自然対流冷却を実施することにより、原子炉下部キャビティに落下した溶融炉心の冷却、並びに原子炉格納容器雰囲気の冷却及び除熱が可能である。</p> <p>その結果、溶融炉心・コンクリート相互作用によってベースマット侵食深さは原</p>	<p>7.2.5.5 結論</p> <p>格納容器破損モード「溶融炉心・コンクリート相互作用」では、運転時の異常な過渡変化、原子炉冷却材喪失事故（LOCA）又は全交流動力電源喪失が発生するとともに、格納容器スプレイ注入機能、ECCS再循環機能等の安全機能の喪失が重畳する。このため、原子炉容器内の溶融炉心が原子炉格納容器内へ流れ出し、溶融炉心からの崩壊熱や化学反応によって、原子炉下部キャビティのコンクリートが侵食され、原子炉格納容器の構造部材の支持機能を喪失し、原子炉格納容器の破損に至ることが特徴である。</p> <p>格納容器破損モード「溶融炉心・コンクリート相互作用」に対する格納容器破損防止対策としては、代替格納容器スプレイポンプを用いた代替格納容器スプレイにより原子炉格納容器内部へ注水する対策を整備している。</p> <p>格納容器破損モード「溶融炉心・コンクリート相互作用」の評価事故シーケンス「大破断LOCA時に低圧注入機能、高圧注入機能及び格納容器スプレイ注入機能が喪失する事故」に全交流動力電源喪失及び原子炉補機冷却機能喪失の重畳を考慮して有効性評価を行った。</p> <p>上記の場合においても、運転員等操作である代替格納容器スプレイポンプによる代替格納容器スプレイ及び格納容器再循環ユニットによる格納容器内自然対流冷却を実施することにより、原子炉下部キャビティに落下した溶融炉心の冷却、並びに原子炉格納容器雰囲気の冷却及び除熱が可能である。</p> <p>その結果、溶融炉心・コンクリート相互作用によってベースマット侵食深さは原</p>	<p>【大飯、高浜】記載表現の相違（女川実績の反映）</p> <p>【大飯、高浜】設計方針の相違（設計方針の相違）</p> <p>・差異理由は前述どおり（3ページ参照）</p> <p>【大飯、高浜】記載方針の相違（女川実績の反映）</p>

泊発電所3号炉 有効性評価 比較表

灰色：女川2号炉の記載のうち、BWR固有の設備や対応手段であり、泊3号炉と比較対象とならない記載内容

赤字：設備、運用又は体制の相違（設計方針の相違）
青字：記載箇所又は記載内容の相違（記載方針の相違）
緑字：記載表現、設備名称の相違（実質的な相違なし）

7.2.5 溶融炉心・コンクリート相互作用

大飯発電所3／4号炉	高浜発電所3／4号炉	女川原子力発電所2号炉	泊発電所3号炉	相違理由	
<p>確認した。長期的には、原子炉下部キャビティに落下した溶融炉心及び原子炉格納容器の安定状態を維持できる。</p> <p>また、原子炉格納容器圧力バウンダリにかかる圧力及び温度、放射性物質の総放出量、原子炉容器破損時の1次冷却材圧力、水素の蓄積を想定した場合の原子炉格納容器バウンダリにかかる圧力については「3.1.1 格納容器過圧破損」、原子炉容器外の溶融燃料－冷却材相互作用による熱的・機械的荷重については「3.3 原子炉圧力容器外の溶融燃料－冷却材相互作用」、原子炉格納容器内の水素濃度については「3.4 水素燃焼」において、それぞれ確認した。</p> <p>解析コードの不確かさのうち、原子炉下部キャビティ床面での溶融炉心の拡がりを極端に小さくした場合にコンクリート侵食が発生したが、原子炉下部キャビティ床面のコンクリート厚さと比較して侵食深さは十分小さい。なお、本感度解析では解析条件として極端な設定としており、また、溶融炉心は拡がる過程で先端から冷却が進むことや側面コンクリートのギャップにより溶融物の冷却が促進されると考えられることから、実際の侵食はさらに小さく抑えられると考えられる。以上のことから、原子炉格納容器の構造部材の支持機能には影響はない。</p> <p>その他の解析コード及び解析条件の不確かさ、並びにそれらが運転員等操作に与える影響を考慮しても、評価項目となるパラメータに与える影響は小さいことを確認した。</p> <p>また、対策の有効性が確認できる範囲内において、操作が遅れた場合でも操作時間</p>	<p>確認した。長期的には、原子炉下部キャビティに落下した溶融炉心及び原子炉格納容器の安定状態を維持できる。</p> <p>また、原子炉格納容器圧力バウンダリにかかる圧力及び温度、放射性物質の総放出量、原子炉容器破損時の1次冷却材圧力、水素の蓄積を想定した場合の原子炉格納容器バウンダリにかかる圧力については「3.1.1 格納容器過圧破損」、原子炉容器外の溶融燃料－冷却材相互作用による熱的・機械的荷重については「3.3 原子炉圧力容器外の溶融燃料－冷却材相互作用」、原子炉格納容器内の水素濃度については「3.4 水素燃焼」において、それぞれ確認した。</p> <p>解析コードの不確かさのうち、原子炉下部キャビティ床面での溶融炉心の拡がりを極端に小さくした場合にコンクリート侵食が発生したが、原子炉下部キャビティ床面のコンクリート厚さと比較して侵食深さは十分小さい。なお、本感度解析では解析条件として極端な設定としており、また、溶融炉心は拡がる過程で先端から冷却が進むことや側面コンクリートのギャップにより溶融物の冷却が促進されると考えられることから、実際の侵食はさらに小さく抑えられると考えられる。以上のことから、原子炉格納容器の構造部材の支持機能には影響はない。</p> <p>その他の解析コード及び解析条件の不確かさ、並びにそれらが運転員等操作に与える影響を考慮しても、評価項目となるパラメータに与える影響は小さいことを確認した。</p> <p>また、対策の有効性が確認できる範囲内において、操作が遅れた場合でも操作時間</p>	<p>容器下部の床面で約2cm、壁面で約2cmに抑えられ、原子炉圧力容器の支持機能を維持できる。また、安定状態を維持できる。 (添付資料 3.5.1)</p>	<p>子炉下部キャビティの床面で約3mm、壁面で約3mmに抑えられ、原子炉格納容器の構造部材の支持機能を維持できる。また、安定状態を維持できる。</p> <p>また、原子炉格納容器圧力バウンダリにかかる圧力及び温度、放射性物質の総放出量、原子炉容器破損時の1次冷却材圧力、水素の蓄積を想定した場合の原子炉格納容器バウンダリにかかる圧力については「7.2.1.1 格納容器過圧破損」、原子炉容器外の溶融燃料－冷却材相互作用による熱的・機械的荷重については「7.2.3 原子炉圧力容器外の溶融燃料－冷却材相互作用」、原子炉格納容器内の水素濃度については「7.2.4 水素燃焼」において、それぞれ確認した。</p> <p>解析コードの不確かさのうち、原子炉下部キャビティ床面での溶融炉心の拡がりを極端に小さくした場合にコンクリート侵食が発生したが、原子炉下部キャビティ床面のコンクリート厚さと比較して侵食深さは十分小さい。なお、本感度解析では解析条件として極端な設定としており、また、溶融炉心は拡がる過程で先端から冷却が進むことや壁面コンクリートのギャップにより溶融物の冷却が促進されると考えられることから、実際の侵食はさらに小さく抑えられると考えられる。以上のことから、原子炉格納容器の構造部材の支持機能には影響はない。</p> <p>その他の解析コード及び解析条件の不確かさについて確認した結果、運転員等操作に与える影響及び評価項目となるパラメータに与える影響は小さい。</p> <p>また、対策の有効性が確認できる範囲内において、操作時間余裕について確認した</p>	<p>子炉下部キャビティの床面で約3mm、壁面で約3mmに抑えられ、原子炉格納容器の構造部材の支持機能を維持できる。また、安定状態を維持できる。</p> <p>また、原子炉格納容器圧力バウンダリにかかる圧力及び温度、放射性物質の総放出量、原子炉容器破損時の1次冷却材圧力、水素の蓄積を想定した場合の原子炉格納容器バウンダリにかかる圧力については「7.2.1.1 格納容器過圧破損」、原子炉容器外の溶融燃料－冷却材相互作用による熱的・機械的荷重については「7.2.3 原子炉圧力容器外の溶融燃料－冷却材相互作用」、原子炉格納容器内の水素濃度については「7.2.4 水素燃焼」において、それ確認した。</p> <p>解析コードの不確かさのうち、原子炉下部キャビティ床面での溶融炉心の拡がりを極端に小さくした場合にコンクリート侵食が発生したが、原子炉下部キャビティ床面のコンクリート厚さと比較して侵食深さは十分小さい。なお、本感度解析では解析条件として極端な設定としており、また、溶融炉心は拡がる過程で先端から冷却が進むことや壁面コンクリートのギャップにより溶融物の冷却が促進されると考えられることから、実際の侵食はさらに小さく抑えられると考えられる。以上のことから、原子炉格納容器の構造部材の支持機能には影響はない。</p> <p>その他の解析コード及び解析条件の不確かさについて確認した結果、運転員等操作に与える影響及び評価項目となるパラメータに与える影響は小さい。</p> <p>また、対策の有効性が確認できる範囲内において、操作時間余裕について確認した</p>	<p>実績の反映</p> <p>実績の反映</p> <p>実績の反映</p> <p>実績の反映</p>

泊発電所3号炉 有効性評価 比較表

灰色：女川2号炉の記載のうち、BWR固有の設備や対応手段であり、泊3号炉と比較対象とならない記載内容

赤字：設備、運用又は体制の相違（設計方針の相違）
青字：記載箇所又は記載内容の相違（記載方針の相違）
緑字：記載表現、設備名称の相違（実質的な相違なし）

7.2.5 溶融炉心・コンクリート相互作用

大飯発電所3／4号炉	高浜発電所3／4号炉	女川原子力発電所2号炉	泊発電所3号炉	相違理由
<p>余裕があることを確認した。</p> <p>重大事故等対策要員は、本格納容器破損モードにおける重大事故等対策の実施に必要な要員を満足している。また、必要な水源、燃料及び電源については、全交流動力電源喪失時においても供給可能である。</p> <p>以上のことから、格納容器破損モード「溶融炉心・コンクリート相互作用」において、恒設代替低圧注水ポンプ及び可搬式代替低圧注水ポンプを用いた代替格納容器スプレイ、並びに格納容器再循環ユニットを用いた格納容器内自然対流冷却による格納容器破損防止対策は、選定した評価事故シーケンスに対して有効であり、格納容器破損モード「溶融炉心・コンクリート相互作用」に対して有効である。</p>	<p>余裕があることを確認した。</p> <p>重大事故等対策要員は、本格納容器破損モードにおける重大事故等対策の実施に必要な要員を満足している。また、必要な水源、燃料及び電源については、全交流動力電源喪失時においても供給可能である。</p> <p>以上のことから、格納容器破損モード「溶融炉心・コンクリート相互作用」において、恒設代替低圧注水ポンプ及び可搬式代替低圧注水ポンプを用いた代替格納容器スプレイ、並びに格納容器再循環ユニットを用いた格納容器内自然対流冷却による格納容器破損防止対策は、選定した評価事故シーケンスに対して有効であり、格納容器破損モード「溶融炉心・コンクリート相互作用」に対して有効である。</p>	<p>結果、操作が遅れた場合でも一定の余裕がある。</p> <p>重大事故等対策時に必要な要員は、中央制御室の運転員、発電所対策本部要員及び重大事故等対応要員にて確保可能である。また、必要な水源、燃料及び電源を供給可能である</p> <p>以上のことから、原子炉格納容器代替スプレイ冷却系（常設）及び原子炉格納容器下部注水系（常設）（復水移送ポンプ）による格納容器下部への注水の格納容器破損防止対策は、選定した評価事故シーケンスに対して有効であることが確認でき、格納容器破損モード「溶融炉心・コンクリート相互作用」に対して有効である。</p>	<p>結果、操作が遅れた場合でも一定の余裕がある。</p> <p>重大事故等対策時に必要な要員は、中央制御室の運転員、災害対策本部要員、災害対策要員及び災害対策要員（支援）にて確保可能である。また、必要な水源、燃料及び電源を供給可能である。</p> <p>以上のことから、代替格納容器スプレイポンプによる代替格納容器スプレイ及び格納容器再循環ユニットによる格納容器内自然対流冷却の格納容器破損防止対策は、選定した評価事故シーケンスに対して有効であることが確認でき、格納容器破損モード「溶融炉心・コンクリート相互作用」に対して有効である。</p>	<p>【大飯、高浜】記載表現の相違（女川実績の反映）</p> <p>【大飯、高浜】記載方針の相違（泊では文章内で重複する表現のため記載してない（伊方と同様））</p> <p>【大飯、高浜】設計の相違 ・差異理由は前述のとおり（3ページ参照）</p> <p>【大飯、高浜】記載表現の相違（女川実績の反映）</p>

泊発電所 3号炉 有効性評価 比較表

赤字	：設備、運用又は体制の相違（設計方針の相違）
青字	：記載箇所又は記載内容の相違（記載方針の相違）
緑字	：記載表現、設備名称の相違（実質的な相違なし）

7.2.5 溶融炉心・コンクリート相互作用

7.2.5 溶融炉心・コンクリート相互作用

泊発電所 3号炉 有効性評価 比較表

赤字：設備、運用又は体制の相違（設計方針の相違）
青字：記載箇所又は記載内容の相違（記載方針の相違）
緑字：記載表現、設備名称の相違（実質的な相違なし）

項目	主要解析条件 ・大破断 LOCA、 破裂位置 破裂口型 ・低圧注入機能及び格納容器スプレイ注入機能が喪失する事故） （2／4）	条件設定の考え方 ・原子炉内へ早期に炉心から蒸気が漏れ、炉心温度が高くなる場合、炉心から高圧蒸気管（ロジット 0.74m (29 インチ)）の完全両端崩壊
起因事象	低圧注入機能及び格納容器スプレイ注入機能が喪失する事故） （2／4）	低圧注入機能及び格納容器スプレイ注入機能が喪失する事故） （2／4）
安全機能の喪失に対する仮定	・外部電源 水素の発生	・外部電源 水素の発生
事故条件	外圧電源なし ・ジルコニウム-水反応を考慮	外圧電源なし ・ジルコニウム-水反応を考慮

項目	主要解析条件 ・大破断 LOCA、 破裂位置 破裂口型 ・低圧注入機能及び格納容器スプレイ注入機能が喪失する事故） （2／4）	条件設定の考え方 ・原子炉内へ早期に炉心から蒸気が漏れ、炉心温度が高くなる場合、炉心から高圧蒸気管（ロジット 0.74m (29 インチ)）の完全両端崩壊
起因事象	低圧注入機能及び格納容器スプレイ注入機能が喪失する事故） （2／4）	低圧注入機能及び格納容器スプレイ注入機能が喪失する事故） （2／4）
安全機能の喪失に対する仮定	・外部電源 水素の発生	・外部電源 水素の発生
事故条件	外圧電源なし ・ジルコニウム-水反応を考慮	外圧電源なし ・ジルコニウム-水反応を考慮

項目	主要解析条件 ・大破断 LOCA、 破裂位置 破裂口型 ・低圧注入機能及び格納容器スプレイ注入機能が喪失する事故） （2／4）	条件設定の考え方 ・原子炉内へ早期に炉心から蒸気が漏れ、炉心温度が高くなる場合、炉心から高圧蒸気管（ロジット 0.74m (29 インチ)）の完全両端崩壊
起因事象	低圧注入機能及び格納容器スプレイ注入機能が喪失する事故） （2／4）	低圧注入機能及び格納容器スプレイ注入機能が喪失する事故） （2／4）
安全機能の喪失に対する仮定	・外部電源 水素の発生	・外部電源 水素の発生
事故条件	外圧電源なし ・ジルコニウム-水反応を考慮	外圧電源なし ・ジルコニウム-水反応を考慮

【大飯、高浜】

設計の相違

- ・泊は個別解析であり、設備仕様も異なることから「主要解析条件」及び「条件設定の考え方」の記載が一部異なる

【大飯、高浜】

名称等の相違

泊発電所 3号炉 有効性評価 比較表

赤字	設備、運用又は体制の相違（設計方針の相違）
青字	記載箇所又は記載内容の相違（記載方針の相違）
緑字	記載表現、設備名称の相違（実質的な相違なし）

7.2.5 溶融炉心・コンクリート相互作用

7.2.5 溶融炉心・コンクリート相互作用

泊発電所 3 号炉 有効性評価 比較表

赤字：設備、運用又は体制の相違（設計方針の相違）
青字：記載箇所又は記載内容の相違（記載方針の相違）
緑字：記載表現、設備名称の相違（実質的な相違なし）

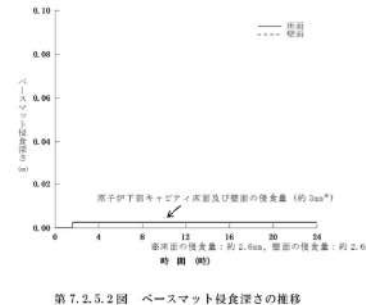
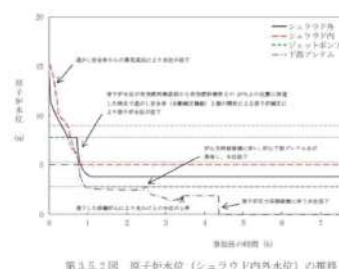
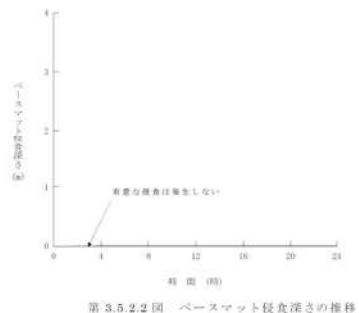
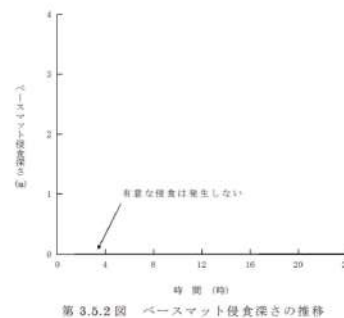
大飯発電所 3／4 号炉	高浜発電所 3／4 号炉	女川原子力発電所 2 号炉	泊発電所 3 号炉	相違理由																																			
<p>第 3.5.1 表 「溶融炉心・コンクリート相互作用」の主要解析条件 (大破断 LOCA 時に高压注入機能、低圧注入機能及び格納容器スプレイ注入機能が喪失する事故) (4 / 4)</p> <table border="1"> <thead> <tr> <th>項目</th><th>主要解析条件</th><th>条件設定の考え方</th></tr> </thead> <tbody> <tr> <td>代替低圧注入ポンプ作動</td><td>炉心溶融開始の 30 分後</td><td>運転員等操作時間と考慮して設定。</td></tr> <tr> <td>代替低圧注入ポンプ停止</td><td>事象発生の 24 時間後</td><td>格納容器内自然対流冷却の開始に伴い停止。</td></tr> <tr> <td>格納容器内液体ユニットによる格納容器内自然対流冷却開始</td><td>事象発生の 24 時間後</td><td>運転員等操作時間を考慮して設定。</td></tr> </tbody> </table>	項目	主要解析条件	条件設定の考え方	代替低圧注入ポンプ作動	炉心溶融開始の 30 分後	運転員等操作時間と考慮して設定。	代替低圧注入ポンプ停止	事象発生の 24 時間後	格納容器内自然対流冷却の開始に伴い停止。	格納容器内液体ユニットによる格納容器内自然対流冷却開始	事象発生の 24 時間後	運転員等操作時間を考慮して設定。	<p>第 3.5.2.1 表 「溶融炉心・コンクリート相互作用」の主要解析条件 (大破断 LOCA 時に低圧注入機能、高压注入機能及び格納容器スプレイ注入機能が喪失する事故) (4 / 4)</p> <table border="1"> <thead> <tr> <th>項目</th><th>主要解析条件</th><th>条件設定の考え方</th></tr> </thead> <tbody> <tr> <td>代替低圧注入ポンプ作動</td><td>炉心溶融開始の 30 分後</td><td>運転員操作時間として設定。</td></tr> <tr> <td>停止</td><td>事象発生の 24 時間後</td><td>格納容器内自然対流冷却開始に伴い停止。</td></tr> <tr> <td>格納容器内液体ユニットによる格納容器内自然対流冷却開始</td><td>事象発生の 24 時間後</td><td>要員の召集、運転操作等を考慮して設定。</td></tr> </tbody> </table>	項目	主要解析条件	条件設定の考え方	代替低圧注入ポンプ作動	炉心溶融開始の 30 分後	運転員操作時間として設定。	停止	事象発生の 24 時間後	格納容器内自然対流冷却開始に伴い停止。	格納容器内液体ユニットによる格納容器内自然対流冷却開始	事象発生の 24 時間後	要員の召集、運転操作等を考慮して設定。	<p>第 7.2.5.1 表 「溶融炉心・コンクリート相互作用」の主要解析条件 (大破断 LOCA 時に低圧注入機能、高压注入機能及び格納容器スプレイ注入機能が喪失する事故) (4 / 4)</p> <table border="1"> <thead> <tr> <th>項目</th><th>主要解析条件</th><th>条件設定の考え方</th></tr> </thead> <tbody> <tr> <td>代替格納容器スプレイポンプによる代替格納容器スプレイの開始</td><td>炉心溶融開始の 30 分後</td><td>運転員等操作時間を考慮して設定。</td></tr> <tr> <td>代替格納容器スプレイポンプによる代替格納容器スプレイの停止</td><td>事象発生の 24 時間後</td><td>格納容器内自然対流冷却開始に伴い停止。</td></tr> <tr> <td>格納容器内液体ユニットによる格納容器内自然対流冷却開始</td><td>事象発生の 24 時間後</td><td>運転員等操作時間を考慮して設定。</td></tr> </tbody> </table>	項目	主要解析条件	条件設定の考え方	代替格納容器スプレイポンプによる代替格納容器スプレイの開始	炉心溶融開始の 30 分後	運転員等操作時間を考慮して設定。	代替格納容器スプレイポンプによる代替格納容器スプレイの停止	事象発生の 24 時間後	格納容器内自然対流冷却開始に伴い停止。	格納容器内液体ユニットによる格納容器内自然対流冷却開始	事象発生の 24 時間後	運転員等操作時間を考慮して設定。	<p>【大飯、高浜】 設計の相違 ・泊は個別解析であり、設備仕様も異なることから「主要解析条件」及び「条件設定の考え方」の記載が一部異なる 【大飯、高浜】 名称等の相違</p>
項目	主要解析条件	条件設定の考え方																																					
代替低圧注入ポンプ作動	炉心溶融開始の 30 分後	運転員等操作時間と考慮して設定。																																					
代替低圧注入ポンプ停止	事象発生の 24 時間後	格納容器内自然対流冷却の開始に伴い停止。																																					
格納容器内液体ユニットによる格納容器内自然対流冷却開始	事象発生の 24 時間後	運転員等操作時間を考慮して設定。																																					
項目	主要解析条件	条件設定の考え方																																					
代替低圧注入ポンプ作動	炉心溶融開始の 30 分後	運転員操作時間として設定。																																					
停止	事象発生の 24 時間後	格納容器内自然対流冷却開始に伴い停止。																																					
格納容器内液体ユニットによる格納容器内自然対流冷却開始	事象発生の 24 時間後	要員の召集、運転操作等を考慮して設定。																																					
項目	主要解析条件	条件設定の考え方																																					
代替格納容器スプレイポンプによる代替格納容器スプレイの開始	炉心溶融開始の 30 分後	運転員等操作時間を考慮して設定。																																					
代替格納容器スプレイポンプによる代替格納容器スプレイの停止	事象発生の 24 時間後	格納容器内自然対流冷却開始に伴い停止。																																					
格納容器内液体ユニットによる格納容器内自然対流冷却開始	事象発生の 24 時間後	運転員等操作時間を考慮して設定。																																					

泊発電所 3号炉 有効性評価 比較表

赤字：設備、運用又は体制の相違（設計方針の相違）
青字：記載箇所又は記載内容の相違（記載方針の相違）
緑字：記載表現、設備名称の相違（実質的な相違なし）

7.2.5 溶融炉心・コンクリート相互作用

大飯発電所 3／4号炉	高浜発電所 3／4号炉	女川原子力発電所 2号炉	泊発電所 3号炉	相違理由
<p>第 3.5.1 図 原子炉下部キャビティ水量の推移</p>	<p>第 3.5.2.1 図 原子炉下部キャビティ水量の推移</p>	<p>(事象進展が異なるため、以下、事象進展図は比較のためではなく参考までに記載)</p> <p>第 3.5.1 図 原子炉下部キャビティ水圧の推移</p>	<p>第 3.5.2.1 図 原子炉下部キャビティ水量の推移</p>	<p>【大飯、高浜】 解説結果の相違 ・泊は原子炉下部キャビティに水が流入しやすい構造のため、事象初期の原子炉下部キャビティ室水量が多い</p>



【大飯、高浜】
解説結果の相違
【大飯、高浜】
記載方針の相違
・泊では女川同様に壁面の値も記載

泊発電所 3号炉 有効性評価 比較表

赤字 : 設備、運用又は体制の相違（設計方針の相違）
青字 : 記載箇所又は記載内容の相違（記載方針の相違）
緑字 : 記載表現、設備名称の相違（実質的な相違なし）

7.2.5 溶融炉心・コンクリート相互作用

大飯発電所 3／4号炉	高浜発電所 3／4号炉	女川原子力発電所 2号炉	泊発電所 3号炉	相違理由
<p>第 3.5.3 図 原子炉下部キャビティ水量の推移 (高圧側配管全ループ破断時の影響確認)</p>	<p>第 3.5.3.1 図 原子炉下部キャビティ水量の推移 (高圧側配管全ループ破断時の影響確認)</p>	<p>第 3.5.3.3 図 格納容器圧力の推移</p>	<p>第 7.2.5.3 図 原子炉下部キャビティ水量の推移 (高圧側配管全ループ破断時の影響確認)</p>	【大飯、高浜】 解析結果の相違 ・泊は原子炉下部キャビティに水が流入しやすい構造のため、事象初期の原子炉下部キャビティ水量が多い
<p>第 3.5.4 図 ベースマット浸食深さの推移 (高圧側配管全ループ破断時の影響確認)</p>	<p>第 3.5.3.2 図 ベースマット浸食深さの推移 (高圧側配管全ループ破断時の影響確認)</p>	<p>第 3.5.4.1 図 格納容器温度の推移</p>	<p>第 7.2.5.4 図 ベースマット浸食深さ（床面）の推移 (高圧側配管全ループ破断時の影響確認)</p>	【大飯、高浜】 解析結果の相違 ・泊では女川同様に壁面の値も記載
		<p>第 3.5.5 図 ドライウェルの気相湿度の推移（ウェット条件）</p>	<p>第 7.2.5.5 図 ベースマット浸食深さ（壁面）の推移 (高圧側配管全ループ破断時の影響確認)</p>	【大飯、高浜】 記載方針の相違 ・泊では女川同様に壁面の値も記載

泊発電所 3号炉 有効性評価 比較表

赤字：設備、運用又は体制の相違（設計方針の相違）
青字：記載箇所又は記載内容の相違（記載方針の相違）
緑字：記載表現、設備名称の相違（実質的な相違なし）

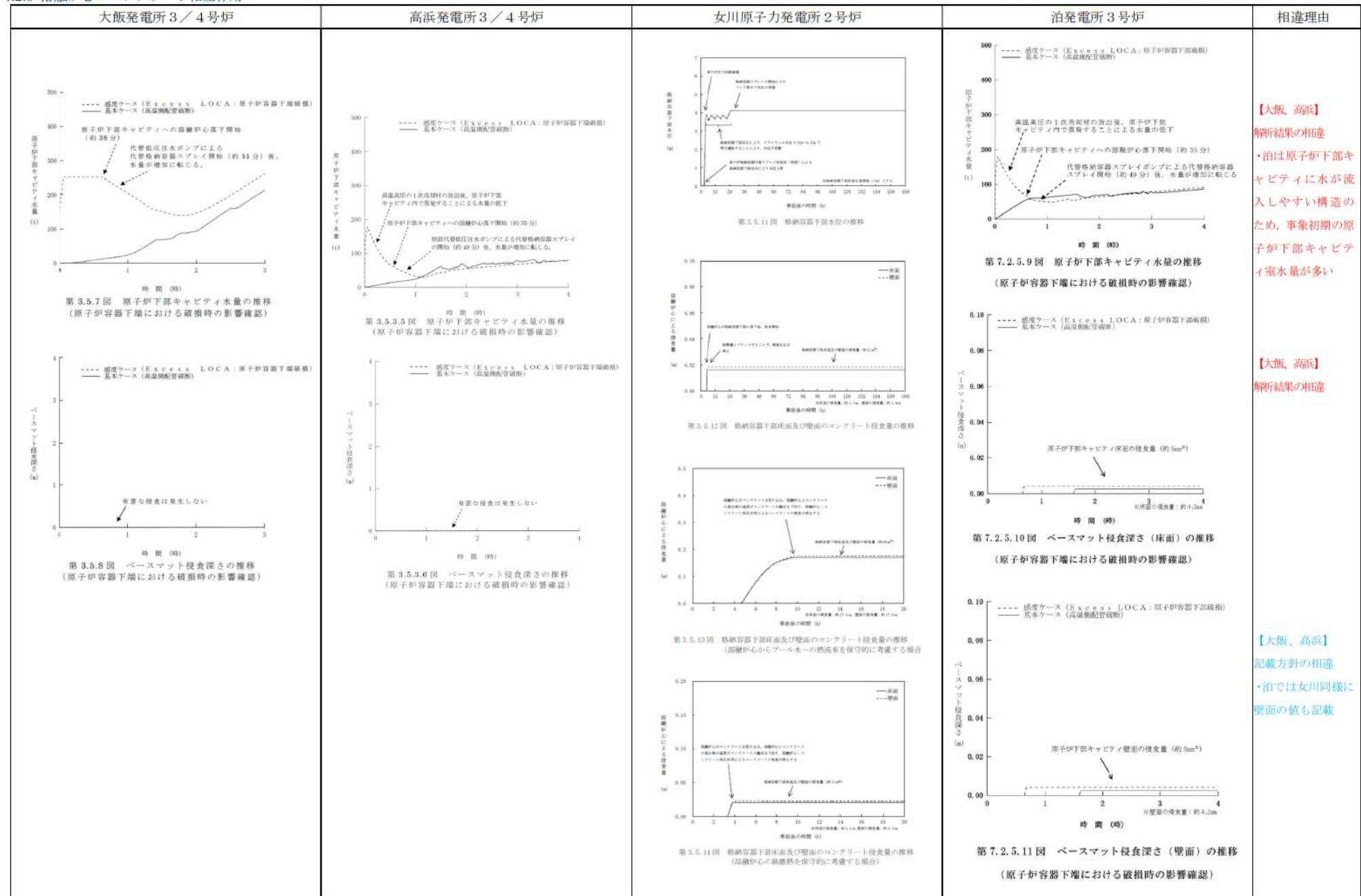
7.2.5 溶融炉心・コンクリート相互作用

大飯発電所 3／4号炉	高浜発電所 3／4号炉	女川原子力発電所 2号炉	泊発電所 3号炉	相違理由
<p>第 3.5.5 図 原子炉下部キャビティ水量の推移 (低温側配管全ループ破断時の影響確認)</p>	<p>第 3.5.3.3 図 原子炉下部キャビティ水量の推移 (低温側配管全ループ破断時の影響確認)</p>	<p>第 3.5.7 図 ドライウェルの気相濃度の推移 (ドライ条件)</p>	<p>第 7.2.5.6 図 原子炉下部キャビティ水量の推移 (低温側配管全ループ破断時の影響確認)</p>	<p>【大飯、高浜】 解析結果の相違 ・泊は原子炉下部キャビティに水が流れやすい構造のため、事象初期の原子炉下部キャビティ水量が多い</p>
<p>第 3.5.6 図 ベースマット浸食深さの推移 (低温側配管全ループ破断時の影響確認)</p>	<p>第 3.5.3.4 図 ベースマット浸食深さの推移 (低温側配管全ループ破断時の影響確認)</p>	<p>第 3.5.8 図 サブレッシュン・チャンバーの気相濃度の推移 (ドライ条件)</p>	<p>第 7.2.5.7 国 ベースマット浸食深さ (床面) の推移 (低温側配管全ループ破断時の影響確認)</p>	<p>【大飯、高浜】 解析結果の相違 ・泊は原子炉下部キャビティ床面の浸食量が大きい</p>
		<p>第 3.5.9 国 サブレッシュン・プール水位の推移</p>	<p>第 7.2.5.8 国 ベースマット浸食深さ (壁面) の推移 (低温側配管全ループ破断時の影響確認)</p>	<p>【大飯、高浜】 記載方針の相違 ・泊では女川同様に壁面の値も記載</p>

泊発電所 3号炉 有効性評価 比較表

赤字	：設備、運用又は体制の相違（設計方針の相違）
青字	：記載箇所又は記載内容の相違（記載方針の相違）
緑字	：記載表現、設備名称の相違（実質的な相違なし）

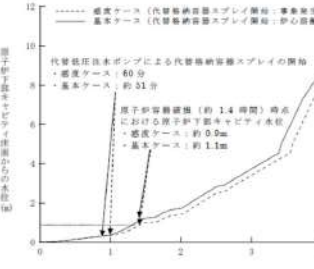
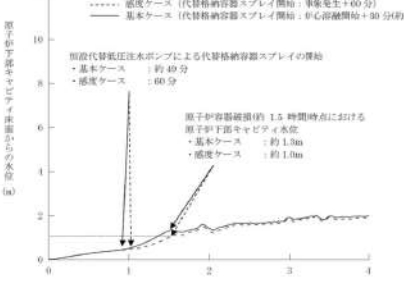
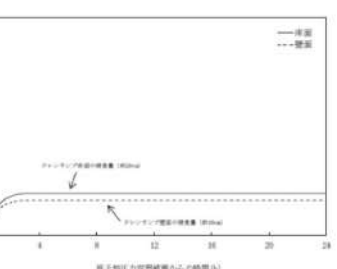
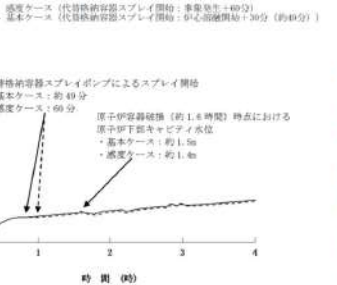
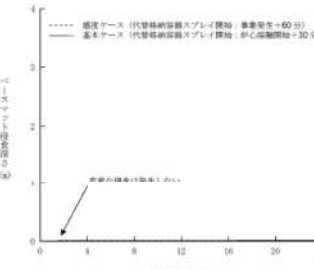
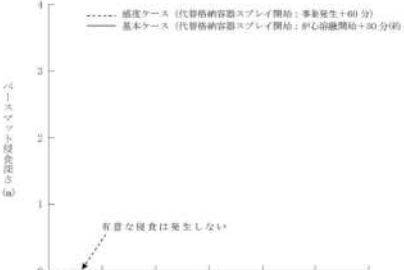
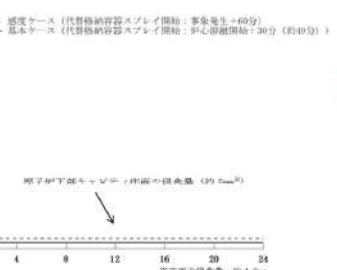
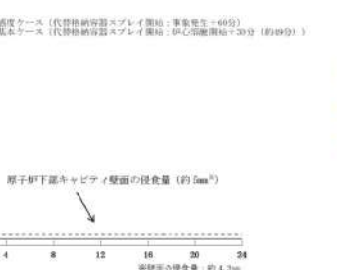
7.2.5 溶融炉心・コンクリート相互作用



泊発電所 3号炉 有効性評価 比較表

赤字：設備、運用又は体制の相違（設計方針の相違）
 青字：記載箇所又は記載内容の相違（記載方針の相違）
 緑字：記載表現、設備名称の相違（実質的な相違なし）

7.2.5 溶融炉心・コンクリート相互作用

大飯発電所 3／4号炉	高浜発電所 3／4号炉	女川原子力発電所 2号炉	泊発電所 3号炉	相違理由
 第 3.5.9 図 原子炉下部キャビティ床面からの水位の推移 (代替格納容器スプレイ操作時間余裕確認)	 第 3.5.3.7 図 原子炉下部キャビティ床面からの水位の推移 (代替格納容器スプレイ操作時間余裕確認)	 第 3.5.15 図 ドレンサンプル面及び壁面のコンクリート侵食量の推移 (ドレンサンプルへの溶融炉心の流入を考慮する場合)	 第 7.2.5.12 図 原子炉下部キャビティ床面からの水位の推移 (代替格納容器スプレイ操作時間余裕確認)	【大飯、高浜】 解析結果の相違 ・泊は原子炉下部キャビティに水が流れやすい構造のため、事象初期の原子炉下部キャビティ室水量が多い
 第 3.5.10 図 ベースマット浸食深さの推移 (代替格納容器スプレイ操作時間余裕確認)	 第 3.5.3.8 図 ベースマット浸食深さの推移 (代替格納容器スプレイ操作時間余裕確認)		 第 7.2.5.13 図 ベースマット浸食深さ（床面）の推移 (代替格納容器スプレイ操作時間余裕確認)	【大飯、高浜】 解析結果の相違 ・泊は原子炉下部キャビティ室水量が多い
			 第 7.2.5.14 図 ベースマット浸食深さ（壁面）の推移 (代替格納容器スプレイ操作時間余裕確認)	【大飯、高浜】 記載方針の相違 ・泊では女川同様に壁面の値も記載

泊発電所 3号炉 有効性評価 比較表

7.2.5 溶融炉心・コンクリート相互作用 (添付資料 7.2.5.1 格納容器破損防止対策の有効性評価における原子炉下部キャビティ水量及び水位について)

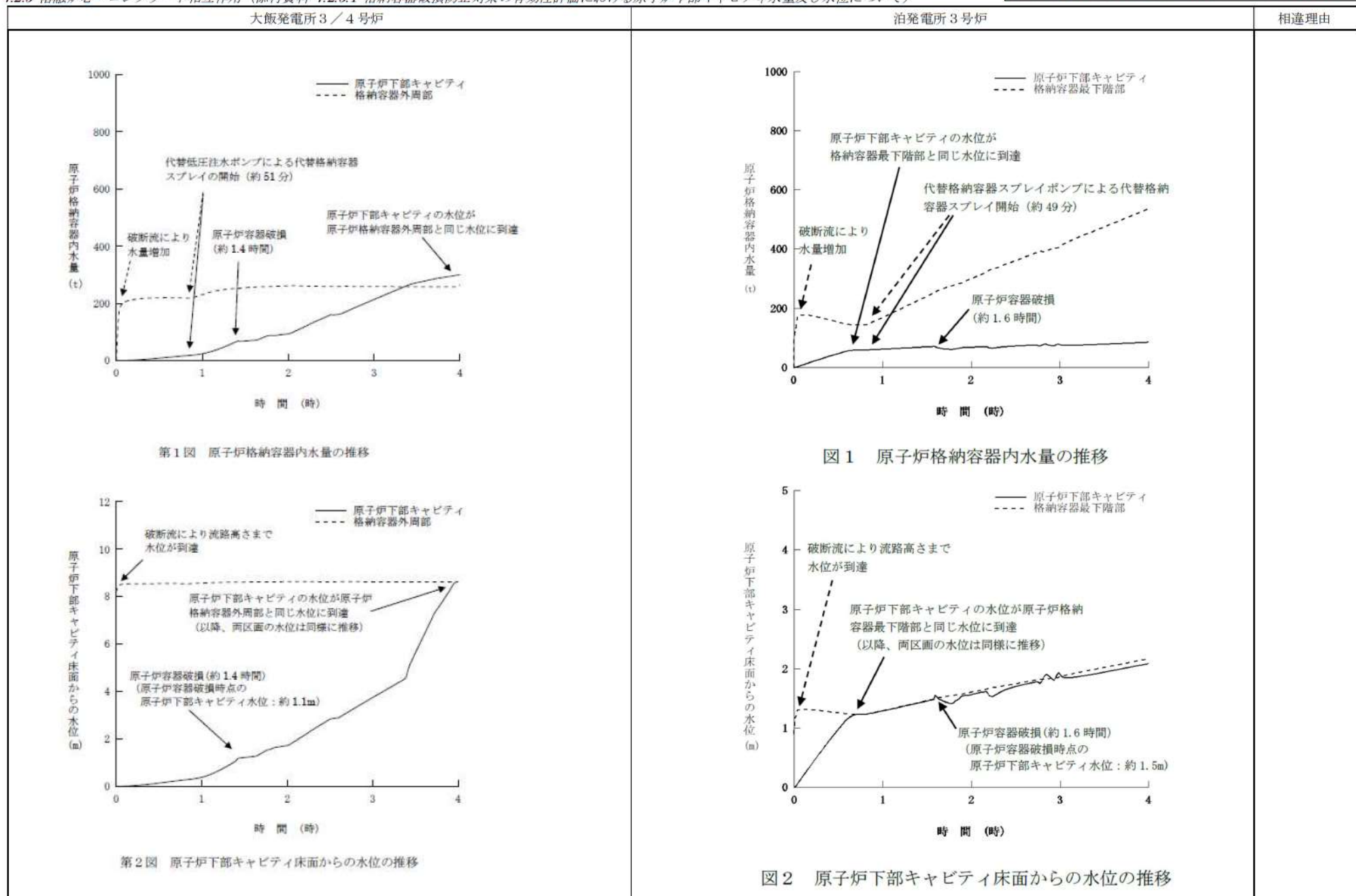
赤字 : 設備、運用又は体制の相違（設計方針の相違）
 青字 : 記載箇所又は記載内容の相違（記載方針の相違）
 緑字 : 記載表現、設備名称の相違（実質的な相違なし）

大飯発電所 3 / 4 号炉	泊発電所 3号炉	相違理由
<p>添付資料 3.5.1</p> <p>格納容器破損防止対策の有効性評価における原子炉下部キャビティ水量及び水位について</p> <p>(1) 大破断 LOCA 時に低圧注入機能、高圧注入機能及び格納容器スプレイ注入機能が喪失する事故 (格納容器過圧破損、原子炉容器外における溶融燃料一冷却材相互作用、溶融炉心・コンクリート相互作用)</p> <p>第 1 図～第 4 図にそれぞれの区画の保有水量、水位、原子炉下部キャビティ内水温及び原子炉下部キャビティ内蒸気質量の推移を示す。原子炉格納容器外周部については、事象発生直後から 1 次冷却材の破断水により水量は増加し、水位も同様に上昇する。一方、原子炉下部キャビティについては、外周部の水が開口部を経由して流入することにより徐々に水量が増加し、それに伴い水位も徐々に上昇する。</p> <p>約 51 分以降は代替低圧注水ポンプによる代替格納容器スプレイ注入により両区画の水量は増加し、開口部を経由して原子炉下部キャビティへ流入するため、スプレイ注入以降は原子炉下部キャビティの水位が上昇し、原子炉容器が破損する約 1.4 時間後における水位は約 1.1m となっている。</p>	<p>添付資料 7.2.5.1</p> <p>格納容器破損防止対策の有効性評価における原子炉下部キャビティ水量及び水位について</p> <p>(1) 大破断 LOCA 時に低圧注入機能、高圧注入機能及び格納容器スプレイ注入機能が喪失する事故 (格納容器過圧破損、原子炉圧力容器外における溶融燃料一冷却材相互作用、溶融炉心・コンクリート相互作用)</p> <p>図 1～図 4 にそれぞれの区画の保有水量、水位、原子炉下部キャビティ内水温及び原子炉下部キャビティ内蒸気質量の推移を示す。原子炉格納容器最下階部 (蒸気発生器下部基礎室及び圧力ヘッダー室) については、事象発生直後から 1 次冷却材の破断水により水量は増加し、水位も同様に上昇する。一方、原子炉下部キャビティについては、最下階部の水が開口部を経由して流入することにより徐々に水量が増加し、それに伴い水位も徐々に上昇する。</p> <p>約 49 分以降は代替格納容器スプレイポンプによる代替格納容器スプレイ注入により両区画の水量は増加し、開口部を経由して原子炉下部キャビティへ流入するため、スプレイ注入以降は原子炉下部キャビティの水位が上昇し、原子炉容器が破損する約 1.6 時間後における水位は約 1.5m となっている。</p>	<p>記載表現の相違</p> <ul style="list-style-type: none"> ・ 3ループと 4ループのモデルの相違 <p>解釈結果の相違</p>

泊発電所 3号炉 有効性評価 比較表

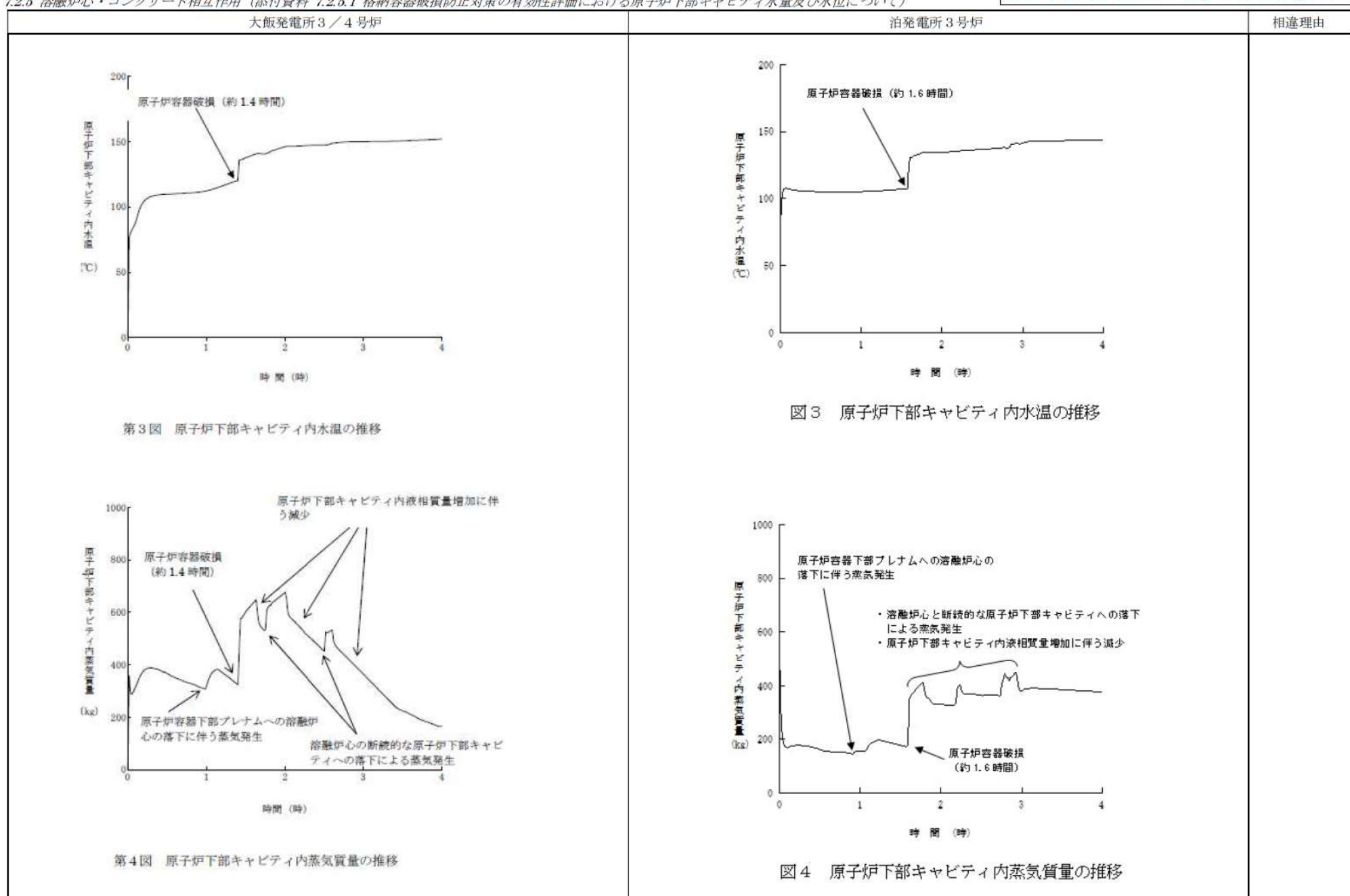
7.2.5 溶融炉心・コンクリート相互作用 (添付資料 7.2.5.1 格納容器破損防止対策の有効性評価における原子炉下部キャビティ水量及び水位について)

赤字 : 設備、運用又は体制の相違 (設計方針の相違)
青字 : 記載箇所又は記載内容の相違 (記載方針の相違)
緑字 : 記載表現、設備名称の相違 (実質的な相違なし)



泊発電所 3号炉 有効性評価 比較表
7.2.5 溶融炉心・コンクリート相互作用 (添付資料 7.2.5.1 格納容器破損防止対策の有効性評価における原子炉下部キャビティ水量及び水位について)

赤字 : 設備、運用又は体制の相違 (設計方針の相違)
青字 : 記載箇所又は記載内容の相違 (記載方針の相違)
緑字 : 記載表現、設備名称の相違 (実質的な相違なし)



泊発電所 3号炉 有効性評価 比較表

7.2.5 溶融炉心・コンクリート相互作用 (添付資料 7.2.5.1 格納容器破損防止対策の有効性評価における原子炉下部キャビティ水量及び水位について)

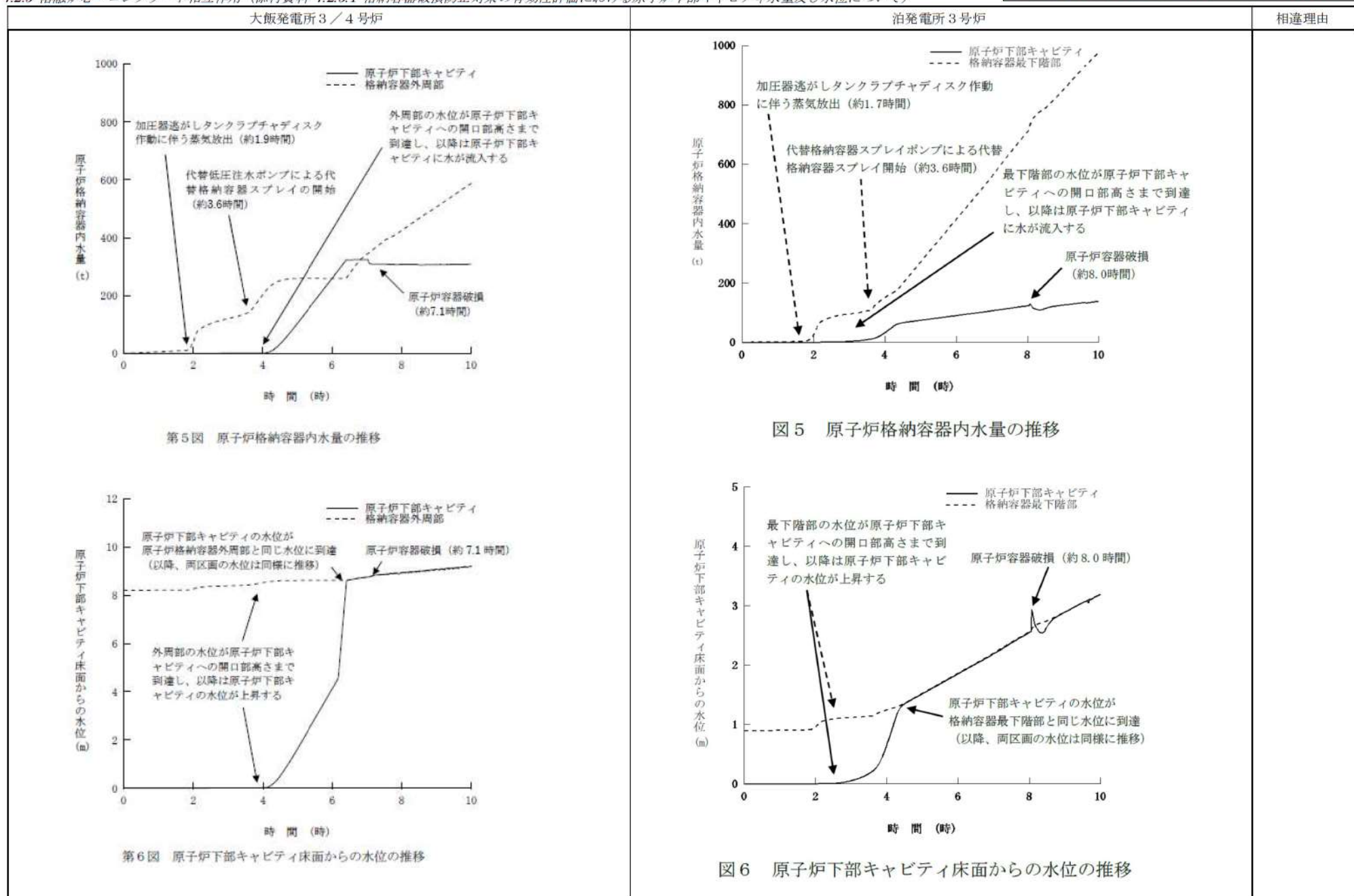
赤字：設備、運用又は体制の相違（設計方針の相違）
 青字：記載箇所又は記載内容の相違（記載方針の相違）
 緑字：記載表現、設備名称の相違（実質的な相違なし）

大飯発電所 3／4号炉	泊発電所 3号炉	相違理由
<p>(2) 外部電源喪失時に非常用所内交流電源が喪失し、補助給水機能が喪失する事故（格納容器過温破損、高圧溶融物放出／格納容器雰囲気直接加熱）</p> <p>第5図にそれぞれの区画の保有水量を、第6図に水位の推移を示す。原子炉格納容器外周部については、約1.9時間後に加圧器逃がしタンクのラブチャディスクが作動することに伴い水量が増加し、約3.6時間以降は代替低圧注水ポンプによる代替格納容器スプレイの効果によりさらに水量が増加する。この間、原子炉下部キャビティへは水の流入はないが、第6図に示すとおり、約4時間後に外周部の水位が原子炉下部キャビティへの開口部に到達することにより、以降は外周部からの水の流入により原子炉下部キャビティの水量が増加する。</p>	<p>(2) 外部電源喪失時に非常用所内交流電源が喪失し、補助給水機能が喪失する事故（格納容器過温破損、高圧溶融物放出／格納容器雰囲気直接加熱）</p> <p>図5にそれぞれの区画の保有水量を、図6に水位の推移を示す。原子炉格納容器最下階部(蒸気発生器下部基礎室及び圧力ヘッダー室)については、約1.7時間後に加圧器逃がしタンクのラブチャディスクが作動することに伴い水量が増加し、約3.6時間以降は代替格納容器スプレイポンプによる代替格納容器スプレイの効果によりさらに水量が増加する。また、図6に示すとおり、約2.5時間後に最下階部の水位が原子炉下部キャビティへの開口部に到達することにより、以降は最下階部からの水の流入により原子炉下部キャビティの水量が増加する。</p>	解説結果の相違

泊発電所 3号炉 有効性評価 比較表

7.2.5 溶融炉心・コンクリート相互作用 (添付資料 7.2.5.1 格納容器破損防止対策の有効性評価における原子炉下部キャビティ水量及び水位について)

赤字 : 設備、運用又は体制の相違 (設計方針の相違)
青字 : 記載箇所又は記載内容の相違 (記載方針の相違)
緑字 : 記載表現、設備名称の相違 (実質的な相違なし)



泊発電所 3 号炉 有効性評価 比較表

7.2.5 溶融炉心・コンクリート相互作用 (添付資料 7.2.5.2 解析コード及び解析条件の不確かさの影響評価について (溶融炉心・コンクリート相互作用))

赤字：設備、運用又は体制の相違（設計方針の相違）
 青字：記載箇所又は記載内容の相違（記載方針の相違）
 緑字：記載表現、設備名称の相違（実質的な相違なし）

大飯発電所 3 / 4 号炉	女川原子力発電所 2 号炉	泊発電所 3 号炉	相違理由
<p>添付資料 3.5.3 解析コード及び解析条件の不確かさの影響評価について (溶融炉心・コンクリート相互作用)</p> <p>「溶融炉心・コンクリート相互作用」における解析コード及び解析条件の不確かさの影響評価を表 1 から表 3 に示す。</p>	<p>添付資料 3.5.2 解析コード及び解析条件の不確かさの影響評価について (溶融炉心・コンクリート相互作用)</p>	<p>添付資料 7.2.5.2 解析コード及び解析条件の不確かさの影響評価について (溶融炉心・コンクリート相互作用)</p> <p>評価事故シーケンス「大破断 LOCA 時に低圧注入機能、高圧注入機能及び格納容器スプレイ注入機能が喪失する事故」における解析コード及び解析条件の不確かさの影響評価を表 1 から表 3 に示す。</p>	

泊発電所3号炉 有効性評価 比較表

7.2.5 溶融炉心・コンクリート相互作用 (添付資料 7.2.5.2 解析コード及び解析条件の不確かさの影響評価について (溶融炉心・コンクリート相互作用))

赤字: 設備、運用又は体制の相違 (設計方針の相違)
青字: 記載箇所又は記載内容の相違 (記載方針の相違)
緑字: 記載表現、設備名称の相違 (実質的な相違なし)

分類	並置現象	解析モデル	不確かさ	評価項目となるパラメータに与える影響	泊発電所3号炉	泊発電所3号炉	相違理由
燃料構内温度変化	燃熱	炉心モデル (炉心水位計算モデル)	入り組み	評価項目となるパラメータに与える影響	評価項目となるパラメータに与える影響	評価項目となるパラメータに与える影響	
燃料構内温度変化	燃熱	炉心モデル (炉心水位計算モデル)	入り組み	評価項目となるパラメータに与える影響	評価項目となるパラメータに与える影響	評価項目となるパラメータに与える影響	
燃料構内温度変化	燃心	炉心モデル (炉心水位計算モデル)	入り組み	評価項目となるパラメータに与える影響	評価項目となるパラメータに与える影響	評価項目となるパラメータに与える影響	
燃料構内温度変化	燃心	炉心モデル (炉心水位計算モデル)	入り組み	評価項目となるパラメータに与える影響	評価項目となるパラメータに与える影響	評価項目となるパラメータに与える影響	
表1 解析コードにおける重要な現象の不確かさが運転員等操作時間及び評価項目となるパラメータに与える影響 (1 / 3)							
[図1] 解析コードにおける重要な現象の不確かさが運転員等操作時間及び評価項目となるパラメータに与える影響 (2 / 3)							
表1 解析コードにおける重要な現象の不確かさが運転員等操作時間及び評価項目となるパラメータに与える影響 (3 / 3)							

7.2.5 溶融炉心・コンクリート相互作用（添付資料 7.2.5.2 解析コード及び解析条件の不確かさの影響評価について（溶融炉心・コンクリート相互作用））

7.2.5 溶劑

1

三

図 3.1 解析コードにおける重要な変数の不確実性が運用上直接的影響で評価項目となる「ナードル」に与える影響（信頼がん・コンタミネート相互作用）(2/2)

研究題名	研究者名	研究題名	研究者名
「政治的」暴力の構造化と「政治的」暴力の実行	吉田一郎・吉川義和	政治暴力の構造化と実行	吉川義和・吉田一郎
政治暴力の構造化と実行	吉川義和・吉田一郎	政治的暴力の構造化と「政治的」暴力の実行	吉田一郎・吉川義和
政治暴力の構造化と実行	吉川義和・吉田一郎	政治暴力の構造化と「政治的」暴力の実行	吉田一郎・吉川義和
政治暴力の構造化と実行	吉川義和・吉田一郎	政治暴力の構造化と「政治的」暴力の実行	吉田一郎・吉川義和

表1 解析コードにおける重要現象の不確かさが運転車両制御(荷物積下)及び評価項目となるパラメータに与える影響 (2/3)

赤字: 設備、運用又は体制の相違 (設計方針の相違)
青字: 記載箇所又は記載内容の相違 (記載方針の相違)
緑字: 記載表現、設備名称の相違 (実質的な相違なし)

緑字：記載表現、設備名称の相違（実質的な相違なし）

你」：記載式先、改留右音の相達（大鏡的家相達より）

添 7.2.5.2-3

2.5 溶融炉心・コンクリート相互作用（添付資料 7.2.5.2 解析コード及び解析条件の不確かさの影響評価について（溶融炉心・コンクリート相互作用））

赤字: 設備、運用又は体制の相違（設計方針の相違）
青字: 記載箇所又は記載内容の相違（記載方針の相違）
緑字: 記載表現、設備名称の相違（実質的な相違なし）

2.5 溶液

解説コ一ににおける重要実験の不確かさが測定等操作時間及び評価項目となるパラメータに与える影響 (3 / 3)

泊発電所 3号炉 有効性評価 比較表

女川原子力發電所 2号炉

泊発電所3号炉

相違理由

7.2.5 溶融炉心・コンクリート相互作用 (添付資料 7.2.5.2 解析コード及び解析条件の不確かさの影響評価について (溶融炉心・コンクリート相互作用))

赤字: 設備、運用又は体制の相違（設計方針の相違）
青字: 記載箇所又は記載内容の相違（記載方針の相違）
緑字: 記載表現、設備名称の相違（実質的な相違なし）

表 2 解析条件を最難条件とした場合の運転員等操作時間及び評価項目となるパラメータに与える影響(1/4)

泊発電所 3号炉 有効性評価 比較表

女川原子力発電所 2号炉

相違理由

7.2.5 溶融炉心・コンクリート相互作用 (添付資料 7.2.5.2 解析コード及び解析条件の不確かさの影響評価について (溶融炉心・コンクリート相互作用))

赤字	設備、運用又は体制の相違（設計方針の相違）
青字	記載箇所又は記載内容の相違（記載方針の相違）
緑字	記載表現、設備名称の相違（実質的な相違なし）

表2 解析条件を最悪条件とした場合の運転員等操作時間及び評価項目となるパラメータに与える影響(2/4)

表2 解析条件を示す。各条件の意味等を示す記号及び評価項目となるパラメータに与える影響（低重心・コングルート相手作用）(全／2)

表2 解析条件を最適条件とした場合の運転員等操作時間及び評価項目となるパラメータに与える影響(2/4)

泊発電所 3号炉 有効性評価 比較表

7.2.5 溶融炉心・コンクリート相互作用 (添付資料 7.2.5.2 解析コード及び解析条件の不確かさの影響評価について (溶融炉心・コンクリート相互作用))

赤字: 設備、運用又は体制の相違（設計方針の相違）
青字: 記載箇所又は記載内容の相違（記載方針の相違）
緑字: 記載表現、設備名称の相違（実質的な相違なし）

表2 解析条件を最適条件とした場合の運転員等操作時間及び評価項目となるパラメータに与える影響(3/4)

項目	種子生長調節剤に付ける必要性		調査項目(アラートマーク)
	発芽率	播種成績	
種子トリニティ トリニティ	1.0%水溶性シード リゲン(30.5%) (日本トリニティ)	1.0%水溶性シード リゲン(30.5%) (日本トリニティ)	新規種子に付けて、育苗用リゲンを付けて販売する場合 特に付けていない場合は、その点を記載する。
ホーリーバード ホーリーバード	等量混合のSGM中に 添加する。	等量混合のSGM中に 添加する。	新規種子に付けて、育苗用リゲンを付けて販売する場合 特に付けていない場合は、その点を記載する。
200ml/L 高濃度液体肥料	200ml/L 高濃度液体肥料	200ml/L 高濃度液体肥料	新規種子に付けて、育苗用リゲンを付けて販売する場合 特に付けていない場合は、その点を記載する。
アダプタジン (成長促進剤)	アダプタジン (成長促進剤)	アダプタジン (成長促進剤)	新規種子に付けて、育苗用リゲンを付けて販売する場合 特に付けていない場合は、その点を記載する。
ホーリーバード ホーリーバード	20ml/L(1.5%) (日本トリニティ)	20ml/L(1.5%) (日本トリニティ)	新規種子に付けて、育苗用リゲンを付けて販売する場合 特に付けていない場合は、その点を記載する。
新規種子に付ける アラートマーク	無	無	新規種子に付けて、育苗用リゲンを付けて販売する場合 特に付けていない場合は、その点を記載する。

表2 解析条件を最適条件とした場合の運転員等操作時間及び評価項目となるパラメータに与える影響(3/4)

泊発電所 3号炉 有効性評価 比較表

7.2.5 溶融炉心・コンクリート相互作用 (添付資料 7.2.5.2 解析コード及び解析条件の不確かさの影響評価について (溶融炉心・コンクリート相互作用))

赤字: 設備、運用又は体制の相違 (設計方針の相違)
青字: 記載箇所又は記載内容の相違 (記載方針の相違)
緑字: 記載表現、設備名称の相違 (実質的な相違なし)

表2 解析条件を最確条件とした場合の運転員等操作時間及び評価項目となるパラメータに与える影響 (4/4)

項目	解析条件 (標準条件) の不確かさ		運転員等操作時間に与える影響
	解析条件	標準条件	
溶融炉心の炉子炉下部キャビティ内壁面での熱流束	溶融炉心の炉子炉下部キャビティ内壁面での熱流束における不確かさ	米国の新規炉に対する規格ガイドラインでは、溶融炉心の炉子炉下部キャビティ内壁面での熱流束における不確かさにおいて、運転員等操作時間に与える影響はなく、評価項目となるパラメータに与える影響はない。	運転員等操作時間と評価項目が同様であることから、運転員等操作時間に与える影響はなく、評価項目となるパラメータに与える影響はない。
溶融炉心から炉子炉下部キャビティ内壁面までの距離	0.8MW/m ² 相当 (大気圧条件)	水による冷却材の供給による溶融炉心の冷却を考慮するため、溶融炉心から炉子炉下部キャビティ内壁面までの距離は、溶融炉心から炉子炉下部キャビティ内壁面までの距離に影響はない。	運転員等操作時間と評価項目が同様であることから、運転員等操作時間に与える影響はなく、評価項目となるパラメータに与える影響はない。
溶融炉心から炉子炉下部キャビティ内壁面までの距離	0.8MW/m ² 相当 (大気圧条件)	溶融炉心から炉子炉下部キャビティ内壁面までの距離は、溶融炉心から炉子炉下部キャビティ内壁面までの距離に影響はない。	運転員等操作時間と評価項目が同様であることから、運転員等操作時間に与える影響はなく、評価項目となるパラメータに与える影響はない。

女川原子力発電所 2号炉

泊発電所 3号炉

相違理由

表2 解析条件を最確条件とした場合の運転員等操作時間及び評価項目となるパラメータに与える影響 (4/4)

項目	解析条件 (標準条件) の不確かさ		条件設定の考え方	運転員等操作時間に与える影響
	解析条件	標準条件		
溶融炉心の炉子炉下部キャビティ内壁面での熱流束	溶融炉心の炉子炉下部キャビティ内壁面での熱流束	米国の新規炉に対する規格ガイドラインでは、溶融炉心の炉子炉下部キャビティ内壁面での熱流束における不確かさにおいて、運転員等操作時間に与える影響はなく、評価項目となるパラメータに与える影響はない。	運転員等操作時間に与える影響	運転員等操作時間に与える影響
溶融炉心から炉子炉下部キャビティ内壁面までの距離	0.8MW/m ² 相当 (大気圧条件)	水による冷却材の供給による溶融炉心の冷却を考慮するため、溶融炉心から炉子炉下部キャビティ内壁面までの距離は、溶融炉心から炉子炉下部キャビティ内壁面までの距離に影響はない。	運転員等操作時間に与える影響	運転員等操作時間に与える影響
溶融炉心から炉子炉下部キャビティ内壁面までの距離	0.8MW/m ² 相当 (大気圧条件)	溶融炉心から炉子炉下部キャビティ内壁面までの距離は、溶融炉心から炉子炉下部キャビティ内壁面までの距離に影響はない。	運転員等操作時間に与える影響	運転員等操作時間に与える影響

泊発電所 3号炉 有効性評価 比較表

7.2.5 溶融炉心・コンクリート相互作用（添付資料 7.2.5.2 解析コード及び解析条件の不確かさの影響評価について（溶融炉心・コンクリート相互作用））

赤字: 設備、運用又は体制の相違（設計方針の相違）
青字: 記載箇所又は記載内容の相違（記載方針の相違）
緑字: 記載表現、設備名称の相違（実質的な相違なし）

操作条件が要員の配置による他の操作に与える影響、評価項目となるパラメータに与える影響及び操作時間余裕

表3 連続品質評価指標に与える影響、評議項目となるパラメータに与える影響及び操作時間影響（前輪駆動車・コンクリート相互通用）(1/2)

項目	監視方法(監視対象)/監視の実施日	操作の不適切な箇所	操作の異常状況にともなう影響	操作の改善手順
監視方法 監視する箇所 監視の実施日	[監視] 機器の運転状況 本件の監視は、 監視する箇所 監視の実施日	[操作] 不適切な操作 操作の不適切な箇所 監視の実施日	[影響] 操作の異常状況にともなう影響 操作の異常状況にともなう影響 監視の実施日	[改善] 操作の改善手順 操作の改善手順 監視の実施日

表3 壓縮時間に応じて影響及U機時間に依存

卷之三、周易說述二三事

泊発電所3号炉 有効性評価 比較表

7.2.5 溶融炉心・コンクリート相互作用 (添付資料 7.2.5.2 解析コード及び解析条件の不確かさの影響評価について (溶融炉心・コンクリート相互作用))

赤字：設備、運用又は体制の相違（設計方針の相違）
青字：記載箇所又は記載内容の相違（記載方針の相違）
緑字：記載表現、設備名称の相違（実質的な相違なし）

大飯発電所3／4号炉	女川原子力発電所2号炉	泊発電所3号炉	相違理由										
	<table border="1"> <tr> <td>評価項目 評価項目と異なる影響、評価項目となるパラメータに与えられる影響（溶融炉心・コンクリート相互作用）(2) / 2)</td><td> <table border="1"> <tr> <td>評価項目となるパラメータに 与えられる影響</td><td>評価項目となるパラメータに 与えられる影響</td></tr> <tr> <td>評価項目となるパラメータに 与えられる影響</td><td>評価項目となるパラメータに 与えられる影響</td></tr> </table> </td><td> <table border="1"> <tr> <td>評価項目となるパラメータに 与えられる影響</td><td>評価項目となるパラメータに 与えられる影響</td></tr> <tr> <td>評価項目となるパラメータに 与えられる影響</td><td>評価項目となるパラメータに 与えられる影響</td></tr> </table> </td><td></td></tr> </table>	評価項目 評価項目と異なる影響、評価項目となるパラメータに与えられる影響（溶融炉心・コンクリート相互作用）(2) / 2)	<table border="1"> <tr> <td>評価項目となるパラメータに 与えられる影響</td><td>評価項目となるパラメータに 与えられる影響</td></tr> <tr> <td>評価項目となるパラメータに 与えられる影響</td><td>評価項目となるパラメータに 与えられる影響</td></tr> </table>	評価項目となるパラメータに 与えられる影響	評価項目となるパラメータに 与えられる影響	評価項目となるパラメータに 与えられる影響	評価項目となるパラメータに 与えられる影響	<table border="1"> <tr> <td>評価項目となるパラメータに 与えられる影響</td><td>評価項目となるパラメータに 与えられる影響</td></tr> <tr> <td>評価項目となるパラメータに 与えられる影響</td><td>評価項目となるパラメータに 与えられる影響</td></tr> </table>	評価項目となるパラメータに 与えられる影響	評価項目となるパラメータに 与えられる影響	評価項目となるパラメータに 与えられる影響	評価項目となるパラメータに 与えられる影響	
評価項目 評価項目と異なる影響、評価項目となるパラメータに与えられる影響（溶融炉心・コンクリート相互作用）(2) / 2)	<table border="1"> <tr> <td>評価項目となるパラメータに 与えられる影響</td><td>評価項目となるパラメータに 与えられる影響</td></tr> <tr> <td>評価項目となるパラメータに 与えられる影響</td><td>評価項目となるパラメータに 与えられる影響</td></tr> </table>	評価項目となるパラメータに 与えられる影響	評価項目となるパラメータに 与えられる影響	評価項目となるパラメータに 与えられる影響	評価項目となるパラメータに 与えられる影響	<table border="1"> <tr> <td>評価項目となるパラメータに 与えられる影響</td><td>評価項目となるパラメータに 与えられる影響</td></tr> <tr> <td>評価項目となるパラメータに 与えられる影響</td><td>評価項目となるパラメータに 与えられる影響</td></tr> </table>	評価項目となるパラメータに 与えられる影響	評価項目となるパラメータに 与えられる影響	評価項目となるパラメータに 与えられる影響	評価項目となるパラメータに 与えられる影響			
評価項目となるパラメータに 与えられる影響	評価項目となるパラメータに 与えられる影響												
評価項目となるパラメータに 与えられる影響	評価項目となるパラメータに 与えられる影響												
評価項目となるパラメータに 与えられる影響	評価項目となるパラメータに 与えられる影響												
評価項目となるパラメータに 与えられる影響	評価項目となるパラメータに 与えられる影響												

泊発電所 3号炉 有効性評価 比較表

7.2.5 溶融炉心・コンクリート相互作用 (添付資料 7.2.5.2 解析コード及び解析条件の不確かさの影響評価について (溶融炉心・コンクリート相互作用))

赤字: 設備、運用又は体制の相違 (設計方針の相違)
青字: 記載箇所又は記載内容の相違 (記載方針の相違)
緑字: 記載表現、設備名称の相違 (実質的な相違なし)

大飯発電所 3／4号炉	女川原子力発電所 2号炉	泊発電所 3号炉	相違理由
		<p>(別紙) ベースマットについて</p> <p>ベースマット (基礎版) の範囲は、以下のとおり。原子炉下部キャビティの底面及び壁面 (高さ約 2.6m) はベースマットで構成されている。</p>	<p>記載方針の相違 ・泊ではベースマットについて追記</p>

図 ベースマットの範囲

泊発電所3号炉 有効性評価 比較表

7.2.5 溶融炉心・コンクリート相互作用 (添付資料 7.2.5.3 コンクリート侵食の侵食異方性について)

赤字 : 設備、運用又は体制の相違 (設計方針の相違)
 青字 : 記載箇所又は記載内容の相違 (記載方針の相違)
 緑字 : 記載表現、設備名称の相違 (実質的な相違なし)

大飯発電所3／4号炉	泊発電所3号炉	相違理由
<p>添付資料 3.5.4 コンクリート侵食の侵食異方性について</p> <p>OECD/MCCI プログラムにおいて実施された CCI 実験の中で、2次元のコンクリート侵食挙動が模擬された。CCI 実験では、コンクリート侵食が発生した後にキャビティ注水が行われ、その後、溶融物の冷却、溶融物の加熱停止に至り、最終的なコンクリート侵食形状が測定されている。最終的なコンクリート侵食形状については、石灰岩系コンクリートを使用した CCI-2 実験では床面方向と側面方向が等方に侵食されているのに対して、玄武岩系コンクリートを使用した CCI-1 実験、CCI-3 実験では床面方向に比べて側面方向の侵食が大きくなる結果となっている。測定された侵食速度から評価すると、側面方向の熱流束は、床面方向の熱流束の 4 倍程度とされている^[1]。石灰岩系コンクリートと玄武岩系コンクリートの侵食の傾向の相違は、化学物質組成の相違、コンクリートのガス含有量の相違、溶融物とコンクリートの境界の状態の相違によって説明できるとされている^[1]が、その詳細については明らかではない。</p> <p>実機解析条件では、溶融炉心は冠水したキャビティに落下し、キャビティの水中を拡がって、キャビティ内に堆積することを想定しており、CCI 実験条件と実機解析条件は異なる。したがって、実機においてもコンクリートの侵食異方性が現れるか明確ではない。ここでは、実機条件において、コンクリートの侵食異方性があると想定して、その影響がどの程度になるかを検討する。</p> <p>前述のとおり、溶融炉心は冠水したキャビティの水中を拡がり、キャビティ床全面に到達すると考えられる。このとき、大飯 3/4 号機に対する MAAP 解析では床面方向の侵食深さは約 5mm、側面方向の侵食深さは約 5mm である。側面方向の侵食速度が 4 倍大きいと仮定すると、側面方向の侵食深さは約 2cm になるが、これは、大飯 3/4 号機に対する MCCI 事象における溶融炉心冷却モデルの不確かさを考慮した解析結果（側面方向の侵食深さ：約 17cm）で包絡される。</p> <p>次に熱流束の観点で考えると、MAAP 解析では側面方向の熱流束の積算値は $7.2 \times 10^4 \text{ kJ/m}^2$ であり、CCI 実験同様に側面方向の熱流束の積算値が床面方向の熱流束の積算値の 4 倍と仮定した場合でも、MCCI 事象における溶融炉心冷却モデルの不確かさを考慮した解析結果 ($8.6 \times 10^5 \text{ kJ/m}^2$) に包絡される。</p> <p>以上のことから、仮に侵食異方性が現れたとしても問題ないと考えられる。</p>	<p>添付資料 7.2.5.3 コンクリート侵食の侵食異方性について</p> <p>OECD/MCCI プログラムにおいて実施された CCI 実験の中で、2次元のコンクリート侵食挙動が模擬された。CCI 実験では、コンクリート侵食が発生した後にキャビティ注水が行われ、その後、溶融物の冷却、溶融物の加熱停止に至り、最終的なコンクリート侵食形状が測定されている。最終的なコンクリート侵食形状については、石灰岩系コンクリートを使用した CCI-2 実験では床面方向と壁面方向が等方に侵食されているのに対して、玄武岩系コンクリートを使用した CCI-1 実験、CCI-3 実験では床面方向に比べて壁面方向の侵食が大きくなる結果となっている。測定された侵食速度から評価すると、壁面方向の熱流束は、床面方向の熱流束の 4 倍程度とされている。石灰岩系コンクリートと玄武岩系コンクリートの侵食の傾向の相違は、化学物質組成の相違、コンクリートのガス含有量の相違、溶融物とコンクリートの境界の状態の相違によって説明できるとされている^[1]が、その詳細については明らかではない。</p> <p>実機解析条件では、溶融炉心は冠水した原子炉下部キャビティに落下し、キャビティの水中を拡がって、キャビティ内に堆積することを想定しており、CCI 実験条件と実機解析条件は異なる。したがって、実機においてもコンクリートの侵食異方性が現れるか明確ではない。ここでは、実機条件[*]において、コンクリートの侵食異方性があると想定して、その影響がどの程度になるかを検討する。</p> <p>前述のとおり、溶融炉心は冠水したキャビティの水中を拡がり、キャビティ床全面に到達すると考えられる。このとき、泊 3 号炉に対する MAAP 解析では床面方向の侵食深さは約 3mm、壁面方向の侵食深さは約 3mm である。壁面方向の侵食速度が 4 倍大きいと仮定すると、壁面方向の侵食深さは約 1.2cm になるが、これは、泊 3 号炉に対する MCCI 事象における溶融炉心冷却モデルの不確かさを考慮した解析結果（壁面方向の侵食深さ：約 18cm）で包絡される。</p> <p>次に熱流束の観点で考えると、MAAP 解析では壁面方向の熱流束の積算値は $5.4 \times 10^4 \text{ kJ/m}^2$ であり、CCI 実験同様に壁面方向の熱流束の積算値が床面方向の熱流束の積算値の 4 倍と仮定した場合でも、MCCI 事象における溶融炉心冷却モデルの不確かさを考慮した解析結果 ($9.2 \times 10^5 \text{ kJ/m}^2$) に包絡される。</p> <p>以上から、仮にコンクリートの侵食異方性があると想定しても評価項目となるパラメータに与える影響は小さいことを確認した。また、泊 3 号炉の原子炉下部キャビティの壁面は厚さ□程度のコンクリートで覆われているため、仮に侵食異方性が現れたとしても問題ないと考えられる。</p> <p>※ 泊 3 号炉の原子炉下部キャビティの床面は厚さ□程度、壁面は厚さ□程度（原子炉容器周りでは□以上、一番薄い箇所で□以上）のコンクリートで覆われている。 □枠囲みの内容は機密情報に属しますので公開できません。</p>	<p>解析結果の相違</p> <p>記載方針の相違</p>

[1] "OECD MCCI Project Final Report", OECD/MCCI-2005-TR06, February 28, 2006.

<参考資料>

なし

泊発電所3号炉 有効性評価 比較表

7.2.5 溶融炉心・コンクリート相互作用 (添付資料 7.2.5.4 溶融炉心・コンクリート相互作用に対する格納容器サンプの影響について)

女川原子力発電所2号炉	柏崎刈羽原子力発電所6号及び7号炉（抜粋）	泊発電所3号炉	相違理由
<p>20. 溶融炉心・コンクリート相互作用に対するドライウェル床ドレンサンプの影響について</p> <p>1. はじめに 女川2号炉において、ドライウェル内で発生した水を集め、ポンプによって格納容器外へ移送するためにドライウェル床ドレンサンプ(以下「ドレンサンプ」という。)が図1及び図2のとおり配置されている。また、格納容器下部とドレンサンプはドレン配管にて接続されている。 溶融炉心が格納容器下部に落下する場合には、格納容器下部注水により水位が形成されており、溶融炉心の冷却が促進し粘性が増加すること及びドレン配管は約10mの長さがあることから、格納容器下部に落下した溶融炉心がドレンサンプに入流する可能性は低いと考えられる。そのため、溶融炉心・コンクリート相互作用（以下「MCCI」という。）のベースケースにおいては、原子炉圧力容器破損によって格納容器下部へ落下した溶融炉心がドレンサンプへ流入することを考慮していないが、溶融炉心がドレンサンプへ流入することを考慮すると、ドレンサンプ底面から原子炉格納容器バウンダリまでの距離及びドレンサンプ壁面から外側鋼板までの距離が小さいことから、コンクリートの侵食により原子炉格納容器のバウンダリ機能及び原子炉圧力容器の支持機能が損なわれるおそれがある。 ここでは、溶融炉心の凝固評価により溶融炉心がドレン配管内で凝固することを確認する。また、仮に溶融炉心がドレンサンプに流入した場合を考慮し、MCCIによる侵食量及び原子炉格納容器バウンダリへの到達の有無を確認する。</p> <p>2. 溶融炉心の凝固評価 (1) EPRI/FAI試験の概要^[1] EPRI(Electric Power Research Institute)及びFAI(FAUSKE & ASSOCIATES, LLC)が、下部プレナムを模擬した試験体に模擬溶融炉心(Al_2O_3)を流入させる試験を行っている。同試験の試験体系が、比較的、女川2号炉のドレン配管(80A)に近い体系となっていることから、その試験結果に基づき、ドレン配管内での溶融炉心の凝固距離について評価を行う。 図3に試験装置概要を示す。Fe_2O_3とAlによるテルミット反応により、模擬溶融炉心である溶融したAl_2O_3が生成される。模擬溶融炉心はテルミットレシーバに流入し、密度差によりFeとAl_2O_3とで成層化が起こる。密度差からAl_2O_3はFeより上層にあることにより、Al_2O_3によりセメント製のキャップが溶融</p>	<p>37. ドライウェルサンプへの溶融炉心流入防止対策に期待した場合の溶融炉心・コンクリート相互作用の影響について</p> <p>(6) 機器ファンネルからサンプへの溶融炉心の流入について 7号炉原子炉格納容器下部床面には機器ファンネルが存在し、溶融炉心が原子炉格納容器下部床面に堆積した場合には、溶融炉心の堆積高さが機器ファンネル高さを超えることから、機器ファンネルに溶融炉心が流入する。機器ファンネルの位置及びドレン配管の敷設状況について図3-12に示す。 機器ファンネルからドライウェルサンプへと繋がるドレン配管は、最短でも約3.6m以上の配管長を有しており、かつ「b. ドレン配管内での溶融炉心の凝固距離について」及び別紙-2に示すとおり、ドレン配管内の溶融炉心の凝固距離は最大でも[]と、ドライウェルサンプに溶融炉心が流入することはない。しかしながら、ドレン配管内の溶融炉心の凝固挙動の不確さを考慮し、ドライウェルサンプまでのドレン配管長が5m以下の機器ファンネルについては、コンクリート等により閉止を行う。 なお、6号炉原子炉格納容器下部床面には機器ファンネルが存在しない。</p>  <p>図3-12 機器ファンネル配置及びドレン配管敷設状況（7号炉）</p> <p>a. EPRI/FAI試験の概要 図3-13に試験装置概要を示す。酸化鉄とアルミニウムによるテルミット反応により、模擬溶融炉心である溶融したAl_2O_3が生成される。模擬溶融炉心はテルミットレシーバに流入し、密度差によりFeとAl_2O_3とで成層化が起こる。密度差からAl_2O_3はFeより上層にあることにより、Al_2O_3によりセメント製のキャップが溶融</p>	<p>添付資料 7.2.5.4 原子炉下部キャビティから格納容器サンプへの溶融炉心の流入について</p> <p>1. はじめに 泊3号炉において、原子炉格納容器内で発生した水を集め、ポンプによって原子炉格納容器外へ移送するために格納容器サンプが図1及び図2のとおり配置されている。また、原子炉下部キャビティと格納容器サンプはドレン配管にて接続されている。 溶融炉心が原子炉下部キャビティに落下する場合には、代替格納容器スプレイにより水位が形成されており、溶融炉心の冷却が促進し粘性が増加すること及びドレン配管は約8mの長さがあることから、原子炉下部キャビティに落下した溶融炉心が格納容器サンプに流入する可能性は低いと考えられる。そのため、溶融炉心・コンクリート相互作用（以下「MCCI」という。）のベースケースにおいては、原子炉圧力容器破損によって原子炉下部キャビティへ落下した溶融炉心が格納容器サンプへ流入することは考慮していない。ただし、格納容器サンプ底面から原子炉格納容器バウンダリまでの距離及び格納容器サンプ壁面から原子炉下部キャビティ壁面までの距離が十分に確保されていることから、コンクリートの侵食により原子炉格納容器のバウンダリ機能及び原子炉容器の支持機能が損なわれるおそれは低いと考えられる。 ここでは、溶融炉心の凝固評価により溶融炉心がドレン配管内で凝固することを確認する。</p> <p>2. 溶融炉心の凝固評価 (1) EPRI/FAI試験の概要^[1] EPRI(Electric Power Research Institute)及びFAI(FAUSKE & ASSOCIATES, LLC)が、下部プレナムを模擬した試験体に模擬溶融炉心(Al_2O_3)を流入させる試験を行っている。同試験の試験体系が、比較的、泊3号炉のドレン配管(80A)に近い体系となっていることから、その試験結果に基づき、ドレン配管内での溶融炉心の凝固距離について評価を行う。 図3に試験装置概要を示す。Fe_2O_3とAlによるテルミット反応により、模擬溶融炉心である溶融したAl_2O_3が生成される。模擬溶融炉心はテルミットレシーバに流入し、密度差によりFeとAl_2O_3とで成層化が起こる。密度差からAl_2O_3はFeより上層にあることにより、Al_2O_3によりセメント製のキャップが溶融</p>	<p>※女川2号炉の資料をベースとしつつ、泊のドレン配管の配置形状に近いKK67号炉の資料も参考までに抜粋して記載</p> <p>手順の相違 設計の相違</p> <p>設計の相違 ・泊は格納容器サンプからCVバウンダリまでの距離が約1.4mであり、RVを支える1次遮蔽コンクリートの厚さもそれ以上あることから仮に格納容器サンプに溶融炉心が流入した場合でもバウンダリ機能及びRVの支持機能が喪失する可能性は極めて低い</p>

泊発電所3号炉 有効性評価 比較表

7.2.5 溶融炉心・コンクリート相互作用 (添付資料7.2.5.4 溶融炉心・コンクリート相互作用に対する格納容器サンプルの影響について)

女川原子力発電所2号炉	柏崎刈羽原子力発電所6号及び7号炉（抜粋）	泊発電所3号炉	相違理由
<p>し、Al_2O_3のみ Lower Chamber に移行する。このとき、Lower Chamber 及びドレン配管は水で満たされており、溶融炉心が格納容器下部へと落下してくる際の実機の条件と類似している。試験の結果、模擬溶融炉心の流動距離（凝固距離）は 0.79m であった。</p> <p>(2) ドレン配管内の溶融炉心の凝固距離について</p> <p>ドレン配管内の溶融炉心の溶融凝固特性は流入する溶融炉心の保有熱量と、配管外部への放熱量に依存するものと考えられる。そこで、ドレン配管体系について、溶融炉心の物性の違いも考慮して、溶融炉心の保有熱量及び配管外への放熱量（配管径に依存）の比率に基づき流動距離を推定する。</p> <p>表 1 に評価に使用する溶融炉心の物性値を示す。Al_2O_3 の溶融潜熱 ($h_{fs} = 1.16 \times 10^6 \text{ J/kg}$) に密度 ($\rho = 3800 \text{ kg/m}^3$) を乗じると、流動停止までの保有熱量は 4408 MJ/m^3 となる。一方、溶融炉心の流動停止までの保有熱量は顕熱と溶融潜熱の和として次式で表される。</p> $h_{ab} = \{ (T_{sh} + T_{liq} - T_{sol}) C_p + h_{fs} \}$ <p>ここで、h_{ab}：溶融炉心の流動停止までの顕熱と溶融潜熱の和 (J/kg)、T_{sh}：溶融炉心過熱度 (K)、T_{liq}：溶融炉心液相線温度 (K)、T_{sol}：溶融炉心固相線温度 (K)、C_p：溶融炉心比熱 (J/kg K)、h_{fs}：溶融炉心溶融潜熱 (J/kg) である。</p> <p>このとき、h_{ab} は約 $\square \text{ J/kg}$ となり、密度を乗じ、流動停止までの保有熱量とすると約 $\square \text{ MJ/m}^3$ となり、Al_2O_3 の約 \square 倍となる。</p> <p>また、ドレン配管 (80A) の配管直径 (d_f) を約 8cm と仮定すると、EPRI/FAI 試験のドレンラインの配管直径 (d_{tes}) は 5cm のため、配管直径の比は約 1.56 倍である。配管直径の比、保有熱量比を用いて、ドレン配管内の溶融炉心流動距離（凝固距離）を次の様に評価する。</p> $L = L_{tes} \times d_f/d_{tes} \times (h_{ab} \rho_{db}) / (h_{al} \rho_{al})$ <p>ここで、L：ドレン配管内の溶融炉心流動距離（凝固距離）、L_{tes}：EPRI/FAI 試験の流動距離、d_f/d_{tes}：配管直径比、$(h_{ab} \rho_{db}) / (h_{al} \rho_{al})$：流動停止までの保有熱量比である。</p> <p>EPRI/FAI 試験の流動距離 0.79m を基に、上記式によってドレン配管内の溶融炉心の凝固距離を評価すると、凝固距離は約 $\square \text{ m}$ となる。</p>	<p>ッパが溶融し、Al_2O_3のみ Lower Chamber に移行する。このとき、Lower Chamber 及びドレン配管は水で満たされており、溶融炉心が原子炉格納容器下部へと落下してくる際の実機の条件と類似している。試験の結果、模擬溶融炉心の流動距離（凝固距離）は 0.79m であった。</p> <p>b. ドレン配管内の溶融炉心の凝固距離について</p> <p>ドレン配管内の溶融炉心の溶融凝固特性は流入する溶融炉心の保有熱量と、配管外部への放熱量に依存するものと考えられる。そこで、ドレン配管体系について、溶融炉心の物性の違いも考慮して、溶融炉心の保有熱量及び配管外への放熱量（配管径に依存）の比率に基づき流動距離を推定する。</p> <p>表 3-6 に評価に使用する溶融炉心とコンクリートの物性値を示す。Al_2O_3 の溶融潜熱 ($h_{fs} = 1.16 \times 10^6 \text{ J/kg}$) に密度 ($\rho = 3800 \text{ kg/m}^3$) を乗じると、流動停止までの保有熱量は 4408 MJ/m^3 となる。一方、溶融炉心の流動停止までの保有熱量は顕熱と溶融潜熱の和として次式で表される。</p> $h_{ab} = \{ (T_d - T_{sol}) C_p + h_{fs} \}$ <p>ここで、h_{ab}：溶融炉心の流動停止までの顕熱と溶融潜熱の和 (J)、T_d：溶融炉心温度 ($^\circ\text{C}$)、T_{sol}：溶融炉心固相線温度 ($^\circ\text{C}$)、C_p：溶融炉心比熱 ($\text{J/kg}^\circ\text{C}$)、$h_{fs}$：溶融炉心溶融潜熱 ($\text{J/kg}$) である。</p> <p>このとき、$h_{ab}$ は約 \square となり、密度を乗じ、流動停止までの保有熱量とすると約 \square となり、Al_2O_3 の約 \square 倍となる。</p> <p>また、ドレン配管 (80A) の配管直径 (d_f) を 8cm と仮定すると、EPRI/FAI 試験のドレンライン d_{tes} (5cm) より、配管径の比は約 1.6 倍である。配管径の比、保有熱量比を用いて、ドレン配管内の溶融炉心流動距離（凝固距離）を次の様に評価する。</p> $L = L_{tes} \times d_f/d_{tes} \times (h_{ab} \rho_{db}) / (h_{al} \rho_{al})$ <p>ここで、L：ドレン配管内の溶融炉心流動距離（凝固距離）、L_{tes}：EPRI/FAI 試験の流動距離、d_f/d_{tes}：配管直径比、$(h_{ab} \rho_{db}) / (h_{al} \rho_{al})$：流動停止までの保有熱量比である。</p> <p>EPRI/FAI 試験の流動距離 0.79m を基に、上記式によってドレン配管内の溶融炉心の凝固距離を評価すると、凝固距離は \square となる。</p>	<p>し、Al_2O_3のみ Lower Chamber に移行する。このとき、Lower Chamber 及びドレン配管は水で満たされており、溶融炉心が原子炉格納容器下部へと落下してくる際の実機の条件と類似している。試験の結果、模擬溶融炉心の流動距離（凝固距離）は 0.79m であった。</p> <p>(2) ドレン配管内の溶融炉心の凝固距離について</p> <p>ドレン配管内の溶融炉心の溶融凝固特性は流入する溶融炉心の保有熱量と、配管外部への放熱量に依存するものと考えられる。そこで、ドレン配管体系について、溶融炉心の物性の違いも考慮して、溶融炉心の保有熱量及び配管外への放熱量（配管径に依存）の比率に基づき流動距離を推定する。</p> <p>表 1 に評価に使用する溶融炉心の物性値を示す。EPRI/FAI 試験の模擬溶融炉心である Al_2O_3 の溶融潜熱 ($h_{fs} = 1.16 \times 10^6 \text{ J/kg}$) に密度 ($\rho = 3,800 \text{ kg/m}^3$) を乗じると、流動停止までの保有熱量は $4,408 \text{ MJ/m}^3$ となる。一方、溶融炉心の流動停止までの保有熱量は顕熱と溶融潜熱の和として次式で表される。</p> $h_{ab} = \{ (T_{sh} + T_{liq} - T_{sol}) C_p + h_{fs} \}$ <p>ここで、h_{ab}：溶融炉心の流動停止までの顕熱と溶融潜熱の和 (J/kg)、T_{sh}：溶融炉心過熱度 (K)、T_{liq}：溶融炉心液相線温度 (K)、T_{sol}：溶融炉心固相線温度 (K)、C_p：溶融炉心比熱 (J/kg K)、h_{fs}：溶融炉心溶融潜熱 (J/kg) である。</p> <p>このとき、h_{ab} は約 $\square \text{ J/kg}$ となり、密度を乗じ、流動停止までの保有熱量とすると約 $\square \text{ MJ/m}^3$ となり、Al_2O_3 の約 \square 倍となる。</p> <p>また、ドレン配管の配管直径 (d_f) は $\square \text{ cm}$、EPRI/FAI 試験のドレンラインの配管直径 (d_{tes}) は 5cm のため、配管直径の比は \square 倍である。配管直径の比、保有熱量比を用いて、ドレン配管内の溶融炉心流動距離（凝固距離）を次式のように評価する。</p> $L = L_{tes} \times d_f/d_{tes} \times (h_{ab} \rho_{db}) / (h_{al} \rho_{al})$ <p>ここで、L：ドレン配管内の溶融炉心流動距離（凝固距離）、L_{tes}：EPRI/FAI 試験の流動距離、d_f/d_{tes}：配管直径比、$(h_{ab} \rho_{db}) / (h_{al} \rho_{al})$：流動停止までの保有熱量比である。</p> <p>EPRI/FAI 試験の流動距離 0.79m を基に、上記式によってドレン配管内の溶融炉心の凝固距離を評価すると、凝固距離は約 $\square \text{ m}$ となる。</p>	<p>※ (2) では、先行プラントの評価との比較のため、別紙 1 で考慮しているデブリの流速は考慮しない（デブリの流速を考慮していないのは女川、KK67 と同様）</p> <p>記載表現の相違</p> <p>設計の相違</p> <p>評価結果の相違 • 泊での評価結果と女川のコリウムシールド設置後の評価結果は同等</p>

泊発電所 3 号炉 有効性評価 比較表

7.2.5 溶融炉心・コンクリート相互作用（添付資料 7.2.5.4 溶融炉心・コンクリート相互作用に対する格納容器サンプの影響について）

女川原子力発電所 2号炉	柏崎刈羽原子力発電所 6号炉及び7号炉（抜粋）	泊発電所 3号炉	相違理由
<p>格納容器下部からドレンサンプまでのドレン配管長は、約 10m あることから、溶融炉心はドレン配管内で凝固するため、ドレンサンプ内に到達することはないと考えられる。</p> <p>なお、コリウムシールド設置後の凝固距離を評価した場合、コリウムシールド設置後の配管直径 (d_f') を約 □ cm と仮定すると、EPRI/FAI 試験との配管直径の比は約 □ 倍となり、凝固距離は約 □ m となる。</p> <p style="border: 1px solid black; padding: 2px;">□：枠囲みの内容は機密情報に属しますので公開できません。</p>	<p>機器ファンネルからドライウェルサンプまでのドレン配管長は、最短でも約 3.6m 以上であることから、機器ファンネルに流入した溶融炉心は、ドレン配管内で凝固するため、ドライウェルサンプ内に到達することはないと考えられる。</p>	<p>原子炉下部キャビティから格納容器サンプまでのドレン配管長は、約 8m あることから、溶融炉心はドレン配管内で凝固するため、格納容器サンプ内に到達することはないと考えられる。</p> <p>□：枠囲みの内容は機密情報に属しますので公開できません。</p>	設計の相違

泊発電所 3 号炉 有効性評価 比較表

7.2.5 溶融炉心・コンクリート相互作用（添付資料 7.2.5.4 溶融炉心・コンクリート相互作用に対する格納容器サンプの影響について）

女川原子力発電所 2 号炉	柏崎刈羽原子力発電所 6 号及び 7 号炉（抜粋）	泊発電所 3 号炉	相違理由
<p>3. ドレンサンプに溶融炉心が流入した場合の評価</p> <p>2. に示すとおり、格納容器下部へ落下した溶融炉心はドレン配管内で凝固することを確認した。しかし、ドレンサンプ底面から原子炉格納容器バウンダリまでの距離が小さいことから、サンプ底面コンクリートの侵食により原子炉格納容器のバウンダリ機能が損なわれるおそれがあることを考慮し、仮にドレンサンプに溶融炉心が流入した場合の評価を実施した。</p> <p>(1) 解析条件</p> <ul style="list-style-type: none"> ・溶融炉心の堆積厚さは、格納容器下部と水頭圧が釣り合うところまで溶融炉心がドレンサンプに流入した場合を想定して設定する。 ・溶融炉心からブル水への熱流束は、圧力依存ありとした Kutateladze の式から算出された値（約 1,500kW/m²）とする。 ・溶融炉心の崩壊熱を保守的に設定するため、溶融炉心の崩壊熱を事象発生から約 3.0 時間後※の値とした。 ・上記以外は、有効性評価（MCCI 評価）の条件と同じとする。 <p>※事故シーケンスを「大破断 LOCA+HPCS 失敗 + 低圧 ECCS 失敗 + 全交流動力電源喪失」とし、重大事故等対処設備による原子炉注水機能についても使用できないものと仮定する場合、溶融炉心が格納容器下部に全量落下するまでの時間が事象発生約 3.0 時間後となることから設定。</p> <p>(2) 解析体系</p> <ul style="list-style-type: none"> ・MAAP コードでは、サンプのような直方体の形状を模擬できないため、床面積を実際の大きさに合わせた円柱で模擬した。ドレンサンプ侵食量の解析体系を図 4 に示す。 ・溶融炉心の堆積厚さは、ドレンサンプ床から約 1.8m とした。 <p>(3) 解析結果</p> <p>ドレンサンプにおけるコンクリート侵食量の推移を図 5 に示す。コンクリート侵食量は、壁面約 0.16m、床面約 0.20m となった。ドレンサンプと格納容器バウンダリまでの距離は約 0.8m であり、格納容器バウンダリまで侵食は到達しない。また、ドレンサンプ壁面のコンクリート侵食に対しては、コンクリート侵食が厚さ約 □ m のコンクリート部を貫通して外側鋼板まで到達しない限り、原子炉圧力容器の支持機能を維持できる。評価の結果、ドレンサンプ壁面のコンクリート侵食量は約 16cm に抑えられ、原子炉圧力容器の支持機能を維持できる。</p> <p>枠囲みの内容は商業機密の観点から公開できません。</p>			評価結果の相違 ・相違理由は P1 に記載のとおり

泊発電所 3 号炉 有効性評価 比較表

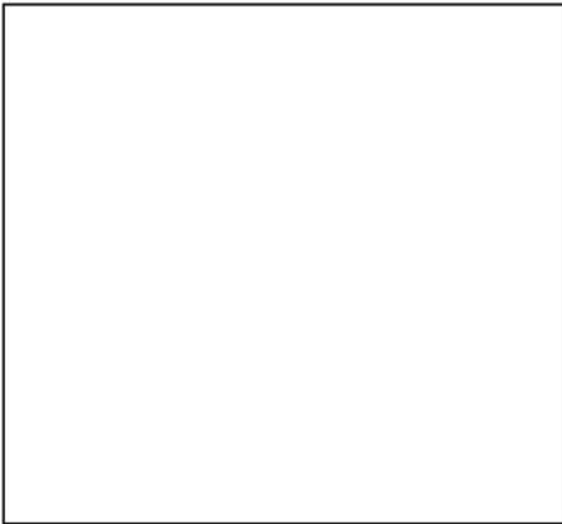
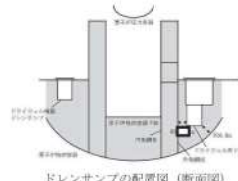
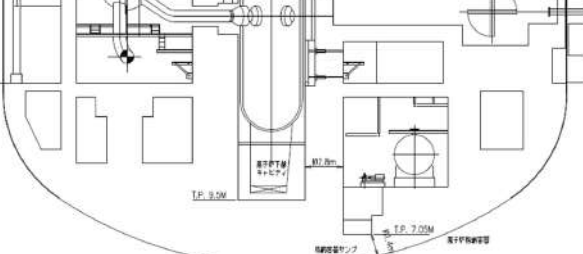
7.2.5 溶融炉心・コンクリート相互作用 (添付資料 7.2.5.4 溶融炉心・コンクリート相互作用に対する格納容器サンプの影響について)

女川原子力発電所 2号炉	柏崎刈羽原子力発電所 6号及び 7号炉 (抜粋)	泊発電所 3号炉	相違理由
<p>4. 結論</p> <p>2. に示すとおり、格納容器下部へ落下した溶融炉心はドレン配管内で凝固することを確認した。</p> <p>また、仮にドレンサンプに溶融炉心が流入した場合においても、ドレンサンプにおけるコンクリート侵食により格納容器バウンダリまで侵食は到達しないこと及び原子炉圧力容器の支持機能を維持できることを確認した。</p> <p>なお、女2号炉においては、ドレン配管にコリウム流入防止対策として、コリウムシールドを自主設備として設置することから、ドレンサンプへ溶融炉心が流入する可能性はさらに低減できるものと考える。コリウム流入防止対策の設備概要を参考に示す。</p> <p>[1] EPRI, Experiments to Address Lower Plenum Response Under Severe Accident Conditions, Volume 1, EPRI Technical Report TR-103389, 1994</p>	<p>【再掲】</p> <p>(6) 機器ファンネルからサンプへの溶融炉心の流入について 7号炉原子炉格納容器下部床面には機器ファンネルが存在し、溶融炉心が原子炉格納容器下部床面に堆積した場合には、溶融炉心の堆積高さが機器ファンネル高さを超えることから、機器ファンネルに溶融炉心が流入する。機器ファンネルの位置及びドレン配管の敷設状況について図 3-12 に示す。</p> <p>機器ファンネルからドライウェルサンプへと繋がるドレン配管は、最短でも約 3.6m 以上の配管長を有しており、かつ「b. ドレン配管内の溶融炉心の凝固距離について」及び別紙 - 2 に示すとおり、ドレン配管内の溶融炉心の凝固距離は最大でも [] と、ドライウェルサンプに溶融炉心が流入することはない。</p> <p>しかしながら、ドレン配管内の溶融炉心の凝固挙動の不確かさを考慮し、ドライウェルサンプまでのドレン配管長が 5m 以下の機器ファンネルについては、コンクリート等により閉止を行う。 なお、6号炉原子炉格納容器下部床面には機器ファンネルが存在しない。</p>	<p>3. 結論</p> <p>原子炉下部キャビティから格納容器サンプへと繋がるドレン配管は、全長約 8m (水平部分は約 6.2m) の配管長を有しており、かつ 2. 及び別紙 1 に示すとおり、ドレン配管内の溶融炉心の凝固距離は最大でも 2.6m と、格納容器サンプに溶融炉心が流入することはない。</p> <p>なお、仮に格納容器サンプに溶融炉心が流入した場合においても、格納容器サンプから原子炉格納容器バウンダリ及び格納容器サンプ壁面から原子炉下部キャビティ壁面まで十分な距離があることから、コンクリート侵食により原子炉格納容器バウンダリまで侵食は到達せず、原子炉容器の支持機能を維持できると考えられる。</p>	<p>記載方針の相違 ・泊はドレン配管の配置形状が KK67 と近いことから KK67 をベースに記載</p> <p>評価結果の相違 ・相違理由は P1 に記載のとおり</p>

赤字：設備、運用又は体制の相違（設計方針の相違）
 青字：記載箇所又は記載内容の相違（記載方針の相違）
 緑字：記載表現、設備名称の相違（実質的な相違なし）

泊発電所 3号炉 有効性評価 比較表

7.2.5 溶融炉心・コンクリート相互作用（添付資料 7.2.5.4 溶融炉心・コンクリート相互作用に対する格納容器サンプの影響について）

女川原子力発電所 2号炉	柏崎刈羽原子力発電所 6号炉及び7号炉（抜粋）	泊発電所 3号炉	相違理由
  図 1 格納容器の構造図 <div style="border: 1px solid black; padding: 2px; display: inline-block;"> 牡園みの内容は商業機密の観点から公開できません。 </div>		 図 1 原子炉格納容器の構造図	

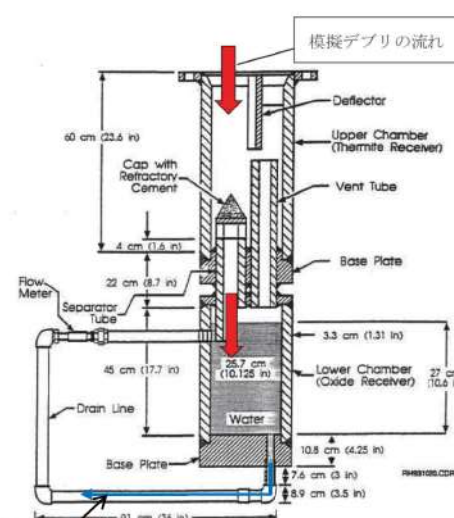
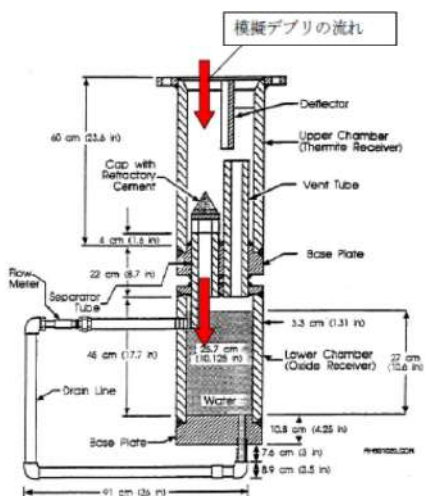
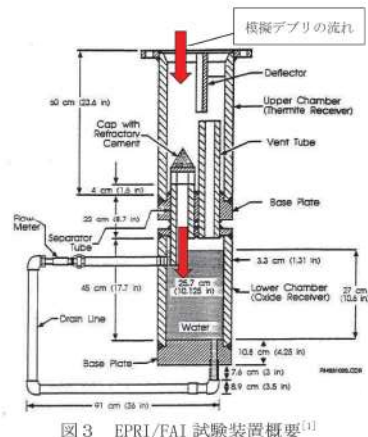
泊発電所 3号炉 有効性評価 比較表

赤字：設備、運用又は体制の相違（設計方針の相違）
青字：記載箇所又は記載内容の相違（記載方針の相違）
緑字：記載表現、設備名称の相違（実質的な相違なし）

7.2.5 溶融炉心・コンクリート相互作用（添付資料 7.2.5.4 溶融炉心・コンクリート相互作用に対する格納容器サンプの影響について）

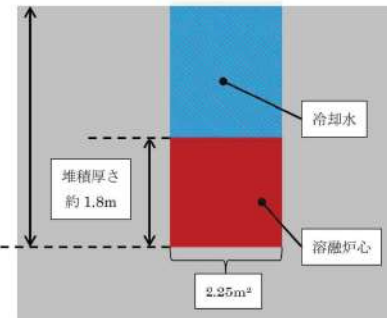
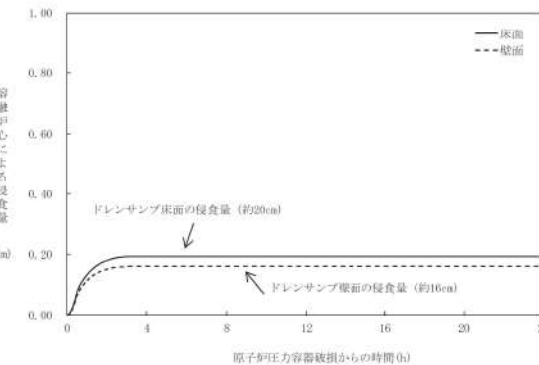
女川原子力発電所2号炉	柏崎刈羽原子力発電所6号及び7号炉（抜粋）	泊発電所3号炉	相違理由
<p>図2 ドライウェル床ドレンサンプの配置</p>		<p>図2 格納容器サンプの配置及びドレン配管形状</p>	

図2 ドライウェル床ドレンサンプの配置



泊発電所 3号炉 有効性評価 比較表

7.2.5 溶融炉心・コンクリート相互作用（添付資料 7.2.5.4 溶融炉心・コンクリート相互作用に対する格納容器サンプの影響について）

女川原子力発電所2号炉	柏崎刈羽原子力発電所6号及び7号炉（抜粋）	泊発電所3号炉	相違理由
 図4 ドレンサンプ侵食量の解析体系	 図5 ドレンサンプの床面及び壁面の侵食量の推移		評価内容の相違

泊発電所 3号炉 有効性評価 比較表

7.2.5 溶融炉心・コンクリート相互作用 (添付資料 7.2.5.4 溶融炉心・コンクリート相互作用に対する格納容器サンプの影響について)

女川原子力発電所 2号炉	柏崎刈羽原子力発電所 6号炉及び7号炉（抜粋）	泊発電所 3号炉	相違理由																											
<p>表1 評価に使用する溶融炉心物性値[※]</p> <table border="1"> <tr><td>溶融炉心過熱度</td><td></td></tr> <tr><td>溶融炉心液相線温度</td><td></td></tr> <tr><td>溶融炉心固相線温度</td><td></td></tr> <tr><td>溶融炉心比熱</td><td></td></tr> <tr><td>溶融炉心密度</td><td></td></tr> <tr><td>溶融炉心溶融潜熱</td><td></td></tr> </table> <p>※溶融炉心物性値については、MAAP 解析における、原子炉圧力容器破損直前の下部フレナム内の物性値を使用した。 また、コンクリート物性値については、原子炉格納容器のコンクリートの密度とし、また、既往の研究 (NUREG/CR-2263) より融点及び溶融潜熱を引用した。</p> <p>枠囲みの内容は商業機密の観点から公開できません。</p>	溶融炉心過熱度		溶融炉心液相線温度		溶融炉心固相線温度		溶融炉心比熱		溶融炉心密度		溶融炉心溶融潜熱		<p>表3-6 評価に使用する溶融炉心物性値及びコンクリート物性値[※]</p> <table border="1"> <tr><td></td></tr> </table>		<p>表1 評価に使用する溶融炉心物性値[※]</p> <table border="1"> <tr><td>項目</td><td>物性値</td></tr> <tr><td>溶融炉心過熱度</td><td></td></tr> <tr><td>溶融炉心液相線温度</td><td></td></tr> <tr><td>溶融炉心固相線温度</td><td></td></tr> <tr><td>溶融炉心比熱</td><td></td></tr> <tr><td>溶融炉心密度</td><td></td></tr> <tr><td>溶融炉心溶融潜熱</td><td></td></tr> </table> <p>※溶融炉心物性値については、MAAP 解析（格納容器過圧破損/FCI/MCCI）における原子炉容器破損直前の下部フレナム内溶融炉心の物性値を使用した。</p> <p>□：枠囲みの内容は機密情報に属しますので公開できません。</p>	項目	物性値	溶融炉心過熱度		溶融炉心液相線温度		溶融炉心固相線温度		溶融炉心比熱		溶融炉心密度		溶融炉心溶融潜熱		設計の相違
溶融炉心過熱度																														
溶融炉心液相線温度																														
溶融炉心固相線温度																														
溶融炉心比熱																														
溶融炉心密度																														
溶融炉心溶融潜熱																														
項目	物性値																													
溶融炉心過熱度																														
溶融炉心液相線温度																														
溶融炉心固相線温度																														
溶融炉心比熱																														
溶融炉心密度																														
溶融炉心溶融潜熱																														

泊発電所3号炉 有効性評価 比較表

7.2.5 溶融炉心・コンクリート相互作用 (添付資料7.2.5.4 溶融炉心・コンクリート相互作用に対する格納容器サンプの影響について)

女川原子力発電所2号炉	柏崎刈羽原子力発電所6号及び7号炉（抜粋）	泊発電所3号炉	相違理由
別紙1 ドレン配管内の凝固評価に関するEPRI/FAI試験の適用性について 1. EPRI/FAI試験と実機のドレン配管の体系の比較 EPRI/FAI試験の適用性を検討するにあたり、 女川2号炉 のドレン配管と体系を比較するため、溶融物条件を表1に、流路構造を表2に比較する。 表1の通り、EPRI/FAI試験で用いたアルミナと、MAAP解析結果に基づく溶融デブリの物性を比較すると、密度・熱伝導率が異なるものの、配管内での溶融物凝固・流動特性に影響する凝固までの蓄熱量、動粘度は近い値になっている。 表2に流路構造を比較する。EPRI/FAI試験の配管径50mmに対し、 女川2号炉 のドレン配管の口径は 78mm(80A) であり、配管断面積比は 女川2号炉 のドレン配管の方が 約2.44倍 大きい。そのため、単位長さ当たりの凝固までの蓄熱量比は、限界固相率1のとき 約0.92倍 、限界固相率0.64のとき 約0.55倍 となる。一方で、配管径が大きくなると単位長さ当たりの円管への伝熱面積（表面積）も増加するため、単位長さ当たりの伝熱面積は 女川2号炉 の方が 約1.56倍 大きい。また、コリウムシールド設置後の配管で評価した場合、コリウムシールド設置後の配管の口径は 約□mm であり、配管断面積比は 約□倍 となり、単位長さ当たりの凝固までの蓄熱量比は、限界固相率1のとき 約□倍 、限界固相率0.64のとき 約□倍 となる。単位長さ当たりの伝熱面積は 約□倍 となる。 デブリの堆積高さは、EPRI/FAI試験で約0.18m（試験後の観察結果）であり、 女川2号炉 では 約1.2m （MAAP結果）である。またEPRI/FAI試験においてベースプレートから配管水平部までの長さは約0.27mである。従って配管水平部までの堆積高さはEPRI/FAI試験で約0.45m、 女川2号炉 で 約1.2m である。このヘッドに基づき、ベルヌーイの式で配管入口流速を評価すると、EPRI/FAI試験で約3.0m/s、 女川2号炉 で 約4.9m/s となる。	別紙1 KK7下部D/W ドレン配管内の凝固評価に関するEPRI/FAI試験の適用性について 1. EPRI/FAI試験とKK7のファンネルの体系の比較 EPRI/FAI試験の適用性を検討するにあたり、KK7の下部D/Wサンプと体系を比較するため、溶融物条件を表別2-1に、流路構造を表別2-2に比較する。 表別2-1のとおりEPRI/FAI試験で用いたアルミナと、MAAP解析結果に基づく溶融デブリ平均の物性を比較すると、密度・熱伝導率が異なるものの、配管内での溶融物凝固・流動特性に影響する凝固までの蓄熱量、動粘性係数は近い値になっている。なお溶融デブリ酸化物溶融デブリ金属はEPRI/FAI試験との蓄熱量比が小さいことから、溶融デブリ平均について流動距離を評価する。 表別2-2に流路構造を比較する。EPRI/FAI試験の配管径50mmに対し、KK7のファンネルの口径は 78mm(80A) であり、配管断面積比はKK7の方が 約2.44倍 大きい。そのため、単位長さあたりの凝固までの蓄熱量比は、溶融デブリ（平均）のケースにおいて限界固相率1のとき 約2.63倍 、限界固相率0.64のとき 約1.72倍 となる。一方で配管径が大きくなると単位長さあたりの円管への伝熱面積（表面積）も増加するため単位長さあたりの伝熱面積はKK7の方が 約1.56倍 大きい。 デブリの堆積高さはEPRI/FAI試験で約0.18m（試験後の観察結果）でありKK7では 約0.56m （MAAP結果）である。またEPRI/FAI試験においてベースプレートから配管水平部までの長さは約0.27m、KK7ではペデスタル床面からドレン配管水平部までが最も深いケースで 約0.97m である。従って配管水平部までの堆積高さはEPRI/FAI試験で約0.45m、KK7で 約1.5m である。このヘッドに基づき、ベルヌーイの式で配管入口流速を評価するとEPRI/FAI試験で約3.0m/s、KK7で 約5.5m/s となる。	別紙1 ドレン配管内の凝固評価に関するEPRI/FAI試験の適用性について 1. EPRI/FAI試験と実機のドレン配管の体系の比較 EPRI/FAI試験の適用性を検討するにあたり、 泊3号炉 のドレン配管と体系を比較するため、溶融物条件を表1に、流路構造を表2に比較する。 表1の通り、EPRI/FAI試験で用いたアルミナと、MAAP解析結果に基づく溶融デブリの物性を比較すると、密度 及び動粘度 が異なるものの、 熱伝導率 、配管内での溶融物凝固 及び 流動特性に影響する凝固までの蓄熱量は近い値になっている。なお、密度は、凝固までの蓄熱量 及び 動粘性係数の計算に用いており、動粘性係数については、EPRI試験値よりも 泊3号炉 の値の方が大きいのため、 泊3号炉 の方が大きい摩擦応力が伝わりやすいと考えられる。 表2に流路構造を比較する。EPRI/FAI試験の配管径50mmに対し、 泊3号炉 のドレン配管の口径は 108mm であり、配管断面積比は 泊3号炉 のドレン配管の方が 約4.67倍 大きい。そのため、単位長さ当たりの凝固までの蓄熱量比は、限界固相率1のとき 約0.75倍 、限界固相率0.70のとき 約0.46倍 となる。一方で、配管径が大きくなると単位長さ当たりの円管への伝熱面積（表面積）も増加するため、単位長さ当たりの伝熱面積は 泊3号炉 の方が 約2.16倍 大きい。 デブリの堆積高さはEPRI/FAI試験で約0.18m（試験後の観察結果）であり、 泊3号炉 では 約0.25m （MAAP結果）である。またEPRI/FAI試験においてベースプレートから配管水平部までの長さは約0.27mである。従って配管水平部までの堆積高さはEPRI/FAI試験で約0.45m、 泊3号炉 で 約1.1m である。このヘッドに基づき、ベルヌーイの式で配管入口流速を評価すると、EPRI/FAI試験で約3.0m/s、 泊3号炉 で 約4.6m/s となる。	別紙1 記載内容の相違 ・泊におけるデブリ物性値等による相違
2. EPRI/FAI試験の適用性 EPRI/FAI試験を 女川2号炉 のドレン配管の体系に適用するにあたり、Flemingsモデルの式を参考に、両者の体系の違いから流動距離を評価する。	2. EPRI/FAI試験の適用性 EPRI/FAIの試験をKK7のファンネルの体系に適用するにあたりFlemingsモデルの式を参考に両者の体系の違いから流動距離を評価する。	2. EPRI/FAI試験の適用性 EPRI/FAI試験を 泊3号炉 のドレン配管の体系に適用するにあたり、Flemingsモデルの式を参考に、両者の体系の違いから流動距離を評価する。	設計の相違 ・泊ではコリウムシールドは設置しない
2. EPRI/FAI試験の適用性 EPRI/FAI試験を 女川2号炉 のドレン配管の体系に適用するにあたり、Flemingsモデルの式を参考に、両者の体系の違いから流動距離を評価する。	2. EPRI/FAI試験の適用性 Flemingsモデルではデブリの流動距離はデブリの保有熱量、デブリからの除熱量、デブリの流速の関係から計算されている。そのため、これらの要素についてEPRI/FAIの試験条件と 女川2号炉 での評価条件の比をとり、EPRI/FAIの試験結果をKK7のファンネルに適用した場合の評価を行う。	2. EPRI/FAI試験の適用性 Flemingsモデルではデブリの流動距離はデブリの保有熱量、デブリからの除熱量、デブリの流速の関係から計算されている。そのため、これらの要素についてEPRI/FAIの試験条件と 泊3号炉 での評価条件の比をとり、EPRI/FAIの試験結果を 泊3号炉 のドレン配管に適用した場合の評価を行う。	評価結果の相違 ・泊ではコリウムシールドは設置しない

泊発電所3号炉 有効性評価 比較表

7.2.5 溶融炉心・コンクリート相互作用（添付資料7.2.5.4 溶融炉心・コンクリート相互作用に対する格納容器サンプの影響について）

女川原子力発電所2号炉	柏崎刈羽原子力発電所6号及び7号炉（抜粋）	泊発電所3号炉	相違理由
<p>この場合、女川2号炉のドレン配管でのデブリの流動距離 (L_{02}) は次の式で表現できると考えられる。</p> $L_{02} = L_{FAI} \times \frac{d_{02}}{d_{FAI}} \times \frac{h_{02}\rho_{02}}{h_{FAI}\rho_{FAI}} \times \frac{v_{02}}{v_{FAI}}$ <p>ここで、</p> <ul style="list-style-type: none"> $\frac{d_{02}}{d_{FAI}}$: 配管直径比 $\frac{h_{02}\rho_{02}}{h_{FAI}\rho_{FAI}}$: 凝固までの蓄熱量比 $\frac{v_{02}}{v_{FAI}}$: デブリの速度比 <p>であり、上式に基づいてデブリの流動距離 (L_{02}) を求めると、</p> $L_{02} = 0.79 \times 1.56 \times 0.92 \times 2 = 2.3 \text{ (m)}$ <p>となる。また、コリウムシールド設置後の配管で評価した場合、凝固距離は約 □ m となる。</p> <p>ファンネル流入から停止までの時間が短いことから、本評価では流入中の崩壊熱は無視できるものとした。なお、この流動距離は流動限界固相率を 1 として評価している。固相率の上昇に伴い、粘性係数はある点で急激に上昇する傾向があり、固相率 0.64 程度で粘性係数が初期値の 1×10^6 倍になる等、流動限界固相率を考慮することで流動距離は更に低下するものと考えられる。</p> <p>EPRI/FAI 試験と女川2号炉で考慮した溶融物の条件では、溶融物の組成が EPRI/FAI 試験では単相、女川2号炉では混合物であり、条件が異なっている。凝固様式の違いとして、単相では凝固点まで温度が低下し、溶融潜熱が奪われた段階で凝固し、混合組成の場合は固相の割合が徐々に増加し、流動限界固相率が 1 の場合は固相線温度まで温度が低下した時点で凝固する。なお、現実には流動限界固相率は 1 よりも小さな値と考えられるが、上記の評価では保守的に 1 としている。水中を流動する場合は、単相では溶融潜熱が奪われるまでは凝固しないが、混合組成は固相割合が増加し流動限界固相率で凝固するため、保有熱量（凝固までの蓄熱量比）が同程度の場合、単相の方が流動距離は長くなる。よって、EPRI/FAI 試験での単層試験の結果得られた流動距離を女川2号炉のスケールに適用する評価は、流動距離を長く見積もる保守的な扱いとなると考える。</p> <p>以上より、本評価は EPRI/FAI 試験からデブリの保有熱量、デブリからの除熱量、デブリの流速を基に流動距離を求める際の最大値と考える。</p> <p style="text-align: center;">以上</p> <p>枠内の内容は商業機密の観点から公開できません。</p>	<p>この場合 KK7 のファンネルでのデブリの流動距離 L_{K7} は次の式で表現できると考えられる。</p> $L_{K7} = L_{FAI} \times \frac{d_{K7}}{d_{FAI}} \times \frac{h_{K7}\rho_{K7}}{h_{FAI}\rho_{FAI}} \times \frac{v_{K7}}{v_{FAI}}$ <p>ここで、</p> <ul style="list-style-type: none"> $\frac{d_{K7}}{d_{FAI}}$: 配管直径比 $\frac{h_{K7}\rho_{K7}}{h_{FAI}\rho_{FAI}}$: 凝固までの蓄熱量比 $\frac{v_{K7}}{v_{FAI}}$: デブリの速度比 <p>であり、上式に基づいてデブリの流動距離(L_{K7})を求めると、</p> $L_{K7} = 0.79 \times 1.56 \times 1.08 \times 2 = 2.7 \text{ (m)}$ <p>となる。</p> <p>ファンネル流入から停止までの時間が短いことから、本評価では流入中の崩壊熱は無視できるものとした。なお、この流動距離は流動限界固相率を 1 として評価している。固相率の上昇に伴い、粘性係数はある点で急激に上昇する傾向があり、固相率 0.64 程度で粘性係数が初期値の 1×10^6 倍になる等、流動限界固相率を考慮することで流動距離は更に低下するものと考えられる。</p> <p>EPRI/FAI 試験と泊3号炉で考慮した溶融物の条件では、溶融物の組成が EPRI/FAI 試験では単相、KK7 では混合物であり、条件が異なっている。凝固様式の違いとして、単相では凝固点まで温度が低下し、溶融潜熱が奪われた段階で凝固し、混合組成の場合は固相の割合が徐々に増加し、流動限界固相率が 1 の場合は固相線温度まで温度が低下した時点で凝固する。なお、現実には流動限界固相率は 1 よりも小さな値と考えられるが、上記の評価では保守的に 1 としている。水中を流動する場合は、単相では溶融潜熱が奪われるまでは凝固しないが、混合組成は固相割合が増加し流動限界固相率で凝固するため、保有熱量（凝固までの蓄熱量比）が同程度の場合、単相の方が流動距離は長くなる。よって、EPRI/FAI 試験での単層試験の結果得られた流動距離を KK7 のスケールに適用する評価は、流動距離を長く見積もる、保守的な扱いとなると考える。</p> <p>以上より、本評価は EPRI/FAI の試験からデブリの保有熱量、デブリからの除熱量、デブリの流速をもとに流動距離を求める際の最大値と考える。</p> <p style="text-align: center;">以上</p>	<p>この場合、泊3号炉のドレン配管でのデブリの流動距離 (L_{t3}) は次の式で表現できると考えられる。</p> $L_{t3} = L_{FAI} \times \frac{d_{t3}}{d_{FAI}} \times \frac{h_{t3}\rho_{t3}}{h_{FAI}\rho_{FAI}} \times \frac{v_{t3}}{v_{FAI}}$ <p>ここで、</p> <ul style="list-style-type: none"> $\frac{d_{t3}}{d_{FAI}}$: 配管直径比 $\frac{h_{t3}\rho_{t3}}{h_{FAI}\rho_{FAI}}$: 凝固までの蓄熱量比 $\frac{v_{t3}}{v_{FAI}}$: デブリの速度比 <p>であり、上式に基づいてデブリの流動距離(L_{t3})を求めると、</p> $L_{t3} = 0.79 \times 2.16 \times 0.75 \times 2 = 2.6 \text{ (m)}$ <p>となる。</p> <p>ドレン配管流入から停止までの時間が短いことから、本評価では流入中の崩壊熱は無視できるものとした。なお、この流動距離は流動限界固相率を 1 として評価している。固相率の上昇に伴い、粘性係数はある点で急激に上昇する傾向があり、固相率 0.70 程度で粘性係数が初期値の 1×10^6 倍になる等、流動限界固相率を考慮することで流動距離は更に低下するものと考えられる。</p> <p>EPRI/FAI 試験と泊3号炉で考慮した溶融物の条件では、溶融物の組成が EPRI/FAI 試験では単相、泊3号炉では混合物であり、条件が異なっている。凝固様式の違いとして、単相では凝固点まで温度が低下し、溶融潜熱が奪われた段階で凝固し、混合組成の場合は固相の割合が徐々に増加し、流動限界固相率が 1 の場合は固相線温度まで温度が低下した時点で凝固する。なお、現実には流動限界固相率は 1 よりも小さな値と考えられるが、上記の評価では保守的に 1 としている。水中を流動する場合は、単相では溶融潜熱が奪われるまでは凝固しないが、混合組成は固相割合が増加し流動限界固相率で凝固するため、保有熱量（凝固までの蓄熱量比）が同程度の場合、単相の方が流動距離は長くなる。よって、EPRI/FAI 試験での単層試験の結果得られた流動距離を泊3号炉のスケールに適用する評価は、流動距離を長く見積もる保守的な扱いとなると考える。</p> <p>以上より、本評価は EPRI/FAI 試験からデブリの保有熱量、デブリからの除熱量、デブリの流速を基に流動距離を求める際の最大値と考える。</p> <p>[2] C. Journeau, et al., "Ex-vessel corium spreading: results from the VULCANO spreading tests," Nuclear Engineering and Design vol.223 (2003) 75-102</p> <p style="text-align: center;">以上</p>	<p>評価結果の相違</p> <p>設計の相違</p> <p>記載内容の相違</p> <ul style="list-style-type: none"> ・泊では流動距離に関する知見に関して参考文献を元に記載 <p>記載内容の相違</p> <ul style="list-style-type: none"> ・同上

泊発電所3号炉 有効性評価 比較表

7.2.5 溶融炉心・コンクリート相互作用 (添付資料7.2.5.4 溶融炉心・コンクリート相互作用に対する格納容器サンプの影響について)

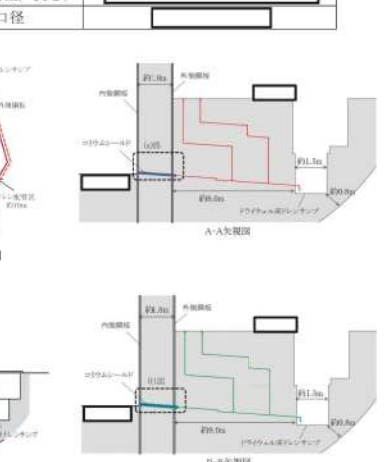
女川原子力発電所2号炉			柏崎刈羽原子力発電所6号及び7号炉(抜粋)			泊発電所3号炉			相違理由																																																																																																																											
表1 溶融物条件の比較					表別2-1 溶融物条件の比較																																																																																																																															
<table border="1"> <thead> <tr> <th>項目</th><th>EPRI/FAI 試験</th><th>女川12号炉</th></tr> </thead> <tbody> <tr> <td>溶融物</td><td>アルミナ</td><td>溶融デブリ</td></tr> <tr> <td>過熱度 (K)</td><td>100</td><td>-123</td></tr> <tr> <td>融点 (℃)</td><td>2047</td><td>液相線 固相線 2198 1548</td></tr> <tr> <td>密度 (kg/m³)</td><td>3800</td><td>8141</td></tr> <tr> <td>比熱 (kJ/kgK)</td><td>1.3</td><td>0.505</td></tr> <tr> <td>溶融潜熱 (kJ/kg)</td><td>1160</td><td>285</td></tr> <tr> <td>熱伝導率 (W/mK)</td><td>7.5</td><td>15</td></tr> <tr> <td>粘性係数 (Pa·s)</td><td>0.003</td><td>0.4</td></tr> <tr> <td>動粘性係数 (m²/s)</td><td>7.89×10^{-7}</td><td>4.91×10^{-5}</td></tr> <tr> <td>凝固までの蓄熱量 (MJ/m³)</td><td>4902</td><td>4487</td></tr> <tr> <td>(限界固相率=1.0)</td><td></td><td></td></tr> <tr> <td>凝固までの蓄熱量 (MJ/m³)</td><td>-</td><td>2690</td></tr> <tr> <td>(限界固相率=0.64)</td><td></td><td></td></tr> <tr> <td>凝固までの蓄熱量比 1 (限界固相率=1.0)</td><td>1</td><td>0.92</td></tr> <tr> <td>凝固までの蓄熱量比 2 (限界固相率=0.64)</td><td>-</td><td>0.55</td></tr> </tbody> </table>					項目				EPRI/FAI 試験	女川12号炉	溶融物	アルミナ	溶融デブリ	過熱度 (K)	100	-123	融点 (℃)	2047	液相線 固相線 2198 1548	密度 (kg/m³)	3800	8141	比熱 (kJ/kgK)	1.3	0.505	溶融潜熱 (kJ/kg)	1160	285	熱伝導率 (W/mK)	7.5	15	粘性係数 (Pa·s)	0.003	0.4	動粘性係数 (m²/s)	7.89×10^{-7}	4.91×10^{-5}	凝固までの蓄熱量 (MJ/m³)	4902	4487	(限界固相率=1.0)			凝固までの蓄熱量 (MJ/m³)	-	2690	(限界固相率=0.64)			凝固までの蓄熱量比 1 (限界固相率=1.0)	1	0.92	凝固までの蓄熱量比 2 (限界固相率=0.64)	-	0.55	<table border="1"> <thead> <tr> <th>項目</th><th>EPRI/FAI 試験</th><th>6-7</th><th>泊3号炉</th></tr> </thead> <tbody> <tr> <td>溶融物</td><td>アルミナ</td><td>溶融デブリ (平均)</td><td>溶融デブリ (酸化物)^{※1}</td><td>溶融デブリ (金属)^{※2}</td></tr> <tr> <td>過熱度 (K)</td><td>100</td><td>39</td><td>-60</td><td>164</td></tr> <tr> <td>融点 (℃)</td><td>2047</td><td>液相線 固相線 2200 1591</td><td>液相線 固相線 2312 1563</td><td>液相線 固相線 1482 1115</td></tr> <tr> <td>密度 (kg/m³)</td><td>3800</td><td>8062</td><td>8162</td><td>7723</td></tr> <tr> <td>比熱 (kJ/kgK)</td><td>1.3</td><td>0.54</td><td>0.51</td><td>0.482</td></tr> <tr> <td>溶融潜熱 (kJ/kg)</td><td>1160</td><td>303</td><td>310</td><td>290</td></tr> <tr> <td>熱伝導率 (W/mK)</td><td>7.5</td><td>14</td><td>8</td><td>35</td></tr> <tr> <td>粘性係数 (Pa·s)</td><td>0.003</td><td>$0.0033 \sim 0.0076$</td><td>$0.0033 \sim 0.0076$</td><td>$0.004 \sim 0.0062$</td></tr> <tr> <td>動粘性係数 (m²/s)</td><td>7.89×10^{-7}</td><td>$4.08 \times 10^{-7} \sim 9.40 \times 10^{-7}$</td><td>$4.01 \times 10^{-7} \sim 9.31 \times 10^{-7}$</td><td>$5.17 \times 10^{-7} \sim 8.02 \times 10^{-7}$</td></tr> <tr> <td>凝固までの蓄熱量 (MJ/m³)</td><td>4902</td><td>5277</td><td>3784</td><td>3980</td></tr> <tr> <td>(限界固相率=1.0)</td><td></td><td></td><td></td><td></td></tr> <tr> <td>凝固までの蓄熱量比 1 (限界固相率=1.0)</td><td>-</td><td>3138</td><td>2299</td><td>2474</td></tr> <tr> <td>凝固までの蓄熱量比 2 (限界固相率=0.64)</td><td>-</td><td>1.08</td><td>0.77</td><td>0.69</td></tr> <tr> <td>凝固までの蓄熱量比 1 (限界固相率=0.64)</td><td>-</td><td>0.71</td><td>0.47</td><td>0.51</td></tr> </tbody> </table>						項目	EPRI/FAI 試験	6-7	泊3号炉	溶融物	アルミナ	溶融デブリ (平均)	溶融デブリ (酸化物) ^{※1}	溶融デブリ (金属) ^{※2}	過熱度 (K)	100	39	-60	164	融点 (℃)	2047	液相線 固相線 2200 1591	液相線 固相線 2312 1563	液相線 固相線 1482 1115	密度 (kg/m³)	3800	8062	8162	7723	比熱 (kJ/kgK)	1.3	0.54	0.51	0.482	溶融潜熱 (kJ/kg)	1160	303	310	290	熱伝導率 (W/mK)	7.5	14	8	35	粘性係数 (Pa·s)	0.003	$0.0033 \sim 0.0076$	$0.0033 \sim 0.0076$	$0.004 \sim 0.0062$	動粘性係数 (m²/s)	7.89×10^{-7}	$4.08 \times 10^{-7} \sim 9.40 \times 10^{-7}$	$4.01 \times 10^{-7} \sim 9.31 \times 10^{-7}$	$5.17 \times 10^{-7} \sim 8.02 \times 10^{-7}$	凝固までの蓄熱量 (MJ/m³)	4902	5277	3784	3980	(限界固相率=1.0)					凝固までの蓄熱量比 1 (限界固相率=1.0)	-	3138	2299	2474	凝固までの蓄熱量比 2 (限界固相率=0.64)	-	1.08	0.77	0.69	凝固までの蓄熱量比 1 (限界固相率=0.64)	-
項目	EPRI/FAI 試験	女川12号炉																																																																																																																																		
溶融物	アルミナ	溶融デブリ																																																																																																																																		
過熱度 (K)	100	-123																																																																																																																																		
融点 (℃)	2047	液相線 固相線 2198 1548																																																																																																																																		
密度 (kg/m³)	3800	8141																																																																																																																																		
比熱 (kJ/kgK)	1.3	0.505																																																																																																																																		
溶融潜熱 (kJ/kg)	1160	285																																																																																																																																		
熱伝導率 (W/mK)	7.5	15																																																																																																																																		
粘性係数 (Pa·s)	0.003	0.4																																																																																																																																		
動粘性係数 (m²/s)	7.89×10^{-7}	4.91×10^{-5}																																																																																																																																		
凝固までの蓄熱量 (MJ/m³)	4902	4487																																																																																																																																		
(限界固相率=1.0)																																																																																																																																				
凝固までの蓄熱量 (MJ/m³)	-	2690																																																																																																																																		
(限界固相率=0.64)																																																																																																																																				
凝固までの蓄熱量比 1 (限界固相率=1.0)	1	0.92																																																																																																																																		
凝固までの蓄熱量比 2 (限界固相率=0.64)	-	0.55																																																																																																																																		
項目	EPRI/FAI 試験	6-7	泊3号炉																																																																																																																																	
溶融物	アルミナ	溶融デブリ (平均)	溶融デブリ (酸化物) ^{※1}	溶融デブリ (金属) ^{※2}																																																																																																																																
過熱度 (K)	100	39	-60	164																																																																																																																																
融点 (℃)	2047	液相線 固相線 2200 1591	液相線 固相線 2312 1563	液相線 固相線 1482 1115																																																																																																																																
密度 (kg/m³)	3800	8062	8162	7723																																																																																																																																
比熱 (kJ/kgK)	1.3	0.54	0.51	0.482																																																																																																																																
溶融潜熱 (kJ/kg)	1160	303	310	290																																																																																																																																
熱伝導率 (W/mK)	7.5	14	8	35																																																																																																																																
粘性係数 (Pa·s)	0.003	$0.0033 \sim 0.0076$	$0.0033 \sim 0.0076$	$0.004 \sim 0.0062$																																																																																																																																
動粘性係数 (m²/s)	7.89×10^{-7}	$4.08 \times 10^{-7} \sim 9.40 \times 10^{-7}$	$4.01 \times 10^{-7} \sim 9.31 \times 10^{-7}$	$5.17 \times 10^{-7} \sim 8.02 \times 10^{-7}$																																																																																																																																
凝固までの蓄熱量 (MJ/m³)	4902	5277	3784	3980																																																																																																																																
(限界固相率=1.0)																																																																																																																																				
凝固までの蓄熱量比 1 (限界固相率=1.0)	-	3138	2299	2474																																																																																																																																
凝固までの蓄熱量比 2 (限界固相率=0.64)	-	1.08	0.77	0.69																																																																																																																																
凝固までの蓄熱量比 1 (限界固相率=0.64)	-	0.71	0.47	0.51																																																																																																																																
※1 酸化物 : UO ₂ , Zr, ZrO ₂ ※2 金属: SUS 成分					表1 溶融物条件の比較																																																																																																																															
表2 流路構造の比較					表別2-2 流路構造の比較																																																																																																																															
<table border="1"> <thead> <tr> <th>項目</th><th>EPRI/FAI 試験</th><th>女川2号炉</th></tr> <tr> <th></th><th>コリウムシールド設置前</th><th>コリウムシールド設置後</th></tr> </thead> <tbody> <tr> <td>溶融物</td><td>アルミナ</td><td>溶融デブリ</td></tr> <tr> <td>流路構造比較</td><td>円管</td><td></td></tr> <tr> <td>流路内径 (m)</td><td>0.05 (50A)</td><td>0.078 (80A)</td></tr> <tr> <td>断面積比</td><td>1</td><td>2.44</td></tr> <tr> <td>単位長さ当たりの凝固までの蓄熱量比 1 (限界固相率=1)</td><td>1</td><td>2.23</td></tr> <tr> <td>単位長さ当たりの凝固までの蓄熱量比 2 (限界固相率=0.64)</td><td>1</td><td>1.34</td></tr> <tr> <td>単位長さ当たりの伝熱面積比</td><td>1</td><td>1.56</td></tr> <tr> <td>床面から配管水平部までの深さ (m)</td><td>0.273</td><td>0</td></tr> <tr> <td>デブリ堆積高さ (m)</td><td>0.18</td><td>1.2</td></tr> <tr> <td>ヘッドから計算される流速 (m/s)</td><td>2.99</td><td>4.9</td></tr> <tr> <td>流速の実測値 (m/s)</td><td>0.03 (平均) ~0.19 (最大)</td><td>-</td></tr> <tr> <td>デブリの流動距離 (m)</td><td>~0.79</td><td>2.3</td></tr> </tbody> </table>					項目	EPRI/FAI 試験	女川2号炉		コリウムシールド設置前	コリウムシールド設置後	溶融物	アルミナ	溶融デブリ	流路構造比較	円管		流路内径 (m)	0.05 (50A)	0.078 (80A)	断面積比	1	2.44	単位長さ当たりの凝固までの蓄熱量比 1 (限界固相率=1)	1	2.23	単位長さ当たりの凝固までの蓄熱量比 2 (限界固相率=0.64)	1	1.34	単位長さ当たりの伝熱面積比	1	1.56	床面から配管水平部までの深さ (m)	0.273	0	デブリ堆積高さ (m)	0.18	1.2	ヘッドから計算される流速 (m/s)	2.99	4.9	流速の実測値 (m/s)	0.03 (平均) ~0.19 (最大)	-	デブリの流動距離 (m)	~0.79	2.3	<table border="1"> <thead> <tr> <th>項目</th><th>EPRI/FAI 試験</th><th>K-T</th><th>泊3号炉</th></tr> </thead> <tbody> <tr> <td>溶融物</td><td>アルミナ</td><td>溶融デブリ (平均)</td><td>溶融デブリ (酸化物)</td></tr> <tr> <td>流路構造比較</td><td>円管</td><td></td><td></td></tr> <tr> <td>流路内径 (m)</td><td>0.05 (50A)</td><td></td><td>0.078 (80A)</td></tr> <tr> <td>断面積比</td><td>1</td><td></td><td>2.44</td></tr> <tr> <td>単位長さ当たりの凝固までの蓄熱量比 1 (限界固相率=1.0)</td><td>1</td><td>2.82</td><td>1.88</td></tr> <tr> <td>単位長さ当たりの凝固までの蓄熱量比 2 (限界固相率=0.64)</td><td>1</td><td>1.73</td><td>1.14</td></tr> <tr> <td>単位長さ当たりの伝熱面積比</td><td>1</td><td></td><td>1.56</td></tr> <tr> <td>床面から配管水平部までの深さ (m)</td><td>0.273</td><td></td><td>0.972</td></tr> <tr> <td>デブリ堆積高さ (m)</td><td>0.18</td><td></td><td>0.56</td></tr> <tr> <td>ヘッドから計算される流速 (m/s)</td><td>2.99</td><td></td><td>5.49</td></tr> <tr> <td>流速の実測値 (m/s)</td><td>0.03 (平均) ~0.19 (最大)</td><td></td><td>-</td></tr> <tr> <td>デブリの流動距離 (m)</td><td>~0.79</td><td></td><td>2.7</td></tr> </tbody> </table>						項目	EPRI/FAI 試験	K-T	泊3号炉	溶融物	アルミナ	溶融デブリ (平均)	溶融デブリ (酸化物)	流路構造比較	円管			流路内径 (m)	0.05 (50A)		0.078 (80A)	断面積比	1		2.44	単位長さ当たりの凝固までの蓄熱量比 1 (限界固相率=1.0)	1	2.82	1.88	単位長さ当たりの凝固までの蓄熱量比 2 (限界固相率=0.64)	1	1.73	1.14	単位長さ当たりの伝熱面積比	1		1.56	床面から配管水平部までの深さ (m)	0.273		0.972	デブリ堆積高さ (m)	0.18		0.56	ヘッドから計算される流速 (m/s)	2.99		5.49	流速の実測値 (m/s)	0.03 (平均) ~0.19 (最大)		-	デブリの流動距離 (m)	~0.79		2.7																												
項目	EPRI/FAI 試験	女川2号炉																																																																																																																																		
	コリウムシールド設置前	コリウムシールド設置後																																																																																																																																		
溶融物	アルミナ	溶融デブリ																																																																																																																																		
流路構造比較	円管																																																																																																																																			
流路内径 (m)	0.05 (50A)	0.078 (80A)																																																																																																																																		
断面積比	1	2.44																																																																																																																																		
単位長さ当たりの凝固までの蓄熱量比 1 (限界固相率=1)	1	2.23																																																																																																																																		
単位長さ当たりの凝固までの蓄熱量比 2 (限界固相率=0.64)	1	1.34																																																																																																																																		
単位長さ当たりの伝熱面積比	1	1.56																																																																																																																																		
床面から配管水平部までの深さ (m)	0.273	0																																																																																																																																		
デブリ堆積高さ (m)	0.18	1.2																																																																																																																																		
ヘッドから計算される流速 (m/s)	2.99	4.9																																																																																																																																		
流速の実測値 (m/s)	0.03 (平均) ~0.19 (最大)	-																																																																																																																																		
デブリの流動距離 (m)	~0.79	2.3																																																																																																																																		
項目	EPRI/FAI 試験	K-T	泊3号炉																																																																																																																																	
溶融物	アルミナ	溶融デブリ (平均)	溶融デブリ (酸化物)																																																																																																																																	
流路構造比較	円管																																																																																																																																			
流路内径 (m)	0.05 (50A)		0.078 (80A)																																																																																																																																	
断面積比	1		2.44																																																																																																																																	
単位長さ当たりの凝固までの蓄熱量比 1 (限界固相率=1.0)	1	2.82	1.88																																																																																																																																	
単位長さ当たりの凝固までの蓄熱量比 2 (限界固相率=0.64)	1	1.73	1.14																																																																																																																																	
単位長さ当たりの伝熱面積比	1		1.56																																																																																																																																	
床面から配管水平部までの深さ (m)	0.273		0.972																																																																																																																																	
デブリ堆積高さ (m)	0.18		0.56																																																																																																																																	
ヘッドから計算される流速 (m/s)	2.99		5.49																																																																																																																																	
流速の実測値 (m/s)	0.03 (平均) ~0.19 (最大)		-																																																																																																																																	
デブリの流動距離 (m)	~0.79		2.7																																																																																																																																	
枠囲みの内容は商業機密の観点から公開できません。					表2 流路構造の比較																																																																																																																															

泊発電所 3 号炉 有効性評価 比較表

7.2.5 溶融炉心・コンクリート相互作用 (添付資料 7.2.5.4 溶融炉心・コンクリート相互作用に対する格納容器サンプの影響について)

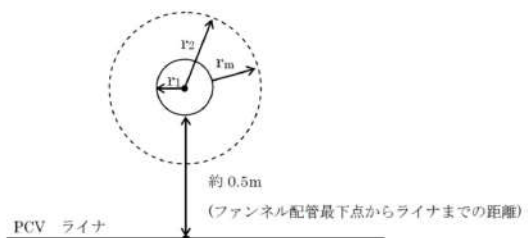
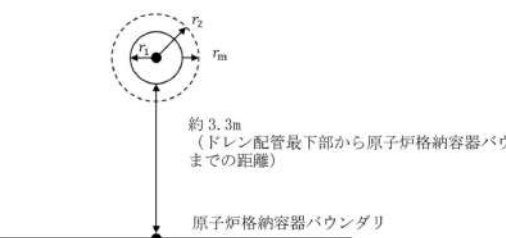
女川原子力発電所 2号炉 (参考) コリウム流入防止対策の設備概要	柏崎刈羽原子力発電所 6号及び 7号炉 (抜粋) 別紙 3	泊発電所 3号炉 別紙 2	相違理由
<p>1. 設備概要</p> <p>炉心損傷後に原子炉圧力容器底部が破損し、原子炉格納容器下部への溶融炉心の落下に至り、落下してきた溶融炉心がドライウェル床ドレンサンプ内に流入する場合、ドライウェル床ドレンサンプ底面から原子炉格納容器バウンダリまでの距離が短いことから、サンプ底面コンクリートの侵食により原子炉格納容器のバウンダリ機能が損なわれるおそれがある。溶融炉心は原子炉格納容器下部注水系による注水によって、原子炉格納容器下部からドライウェル床ドレンサンプに通じるドレン配管内で止まることを確認しているが、更なる安全性向上のため、自主対策設備としてコリウムシールドを設置する。</p> <p>コリウムシールドは、原子炉格納容器下部注水系と合わせて、ドライウェル床ドレンサンプへの溶融炉心の流入を防ぐことで、底面のコンクリートの侵食を抑制し、溶融炉心が原子炉格納容器バウンダリに接触することを防止することを目的に設置する。コリウムシールドは、原子炉格納容器下部からドライウェル床ドレンサンプに通じるドレン配管内に設置し、実効的な流路を小さくすることで冷却を促進し、溶融炉心を早期に固化・停止させるものである。</p> <p>表 1 にコリウムシールド仕様を、図 1 にコリウムシールド概要図を示す。なお、コリウムシールドの耐熱材には、高い融点(約 2,700°C) を有するジルコニアを用いる設計とする。</p>	<p>溶融炉心 ファンネル 流入後のドレン配管における管壁の侵食量評価 (7号炉のみ)</p> <p>格納容器下部の床面に ファンネル が設置されており、床下にドレン配管が設置されている号炉は 7号炉のみである。このため、7号炉を想定して以下の評価を実施した。なお、6号炉では床面にファンネルが無く、ドレンは格納容器下部壁面に設置された配管を通じてサンプにドレンが集められる構造となっていることから 7号炉と同様の評価は不要である。</p> <p>a. 評価体系</p> <ul style="list-style-type: none"> ファンネル内に流入した溶融炉心を円柱で模擬し、側面はコンクリートで囲まれているものとし、両端が水によって除熱されるものとした。 <p>b. 評価条件</p> <ul style="list-style-type: none"> 溶融炉心の流動距離（円柱の高さ）は、別紙 2 の評価結果を踏まえ、ファンネルからサンプまでの長さが最短の配管に合わせて 3.6m とした。 崩壊熱は事象発生から 6 時間後の値とした。 水への熱流束は 有効性評価における不確かさ評価において保守的な値として用いている 800kW/m²一定とした。 <p>c. 評価結果</p> <ul style="list-style-type: none"> 管壁の侵食量は約 0.08m となった。ドレン配管から格納容器バウンダリであるライナまでの最短距離が約 0.5m であることから、コンクリートの侵食がライナに到達することは無いことを確認した。(別図 3-1 参照) <p>d. 評価の保守性について</p> <p>本評価では、種々の不確かさを包絡する観点で b. の評価を実施したが、現実的には以下の効果に期待できるものと考えられ、b. の評価には保守性があるものと考える。なお、c. のとおり b. の保守的な評価条件であっても、コンクリートの侵食がライナに到達することは無い。(別図 3-2 参照)</p> <p>流入量、流入距離の観点</p> <p>流入量については別紙 2 に示すとおり、保守的に流動限界固相率を 1 とした場合の評価においても流動距離は約 2.7m であり、流動限界固相率を 0.64 (粘性係数が初期値の 1×10^6 倍になる値) として考慮すると流入量及び流入距離は更に低減されるものと考える。(別図 3-2 中③参照)</p> <p>流入経路の影響</p> <p>原子炉圧力容器下部から落下した溶融炉心がファンネルに流入する際にはファンネルの蓋を溶融させる必要があるが、蓋の裏面には初期水張りによる水が張られており蓋の表面からの熱伝達によって水が蒸発しても、蓋の裏面にはサンプ側から水が</p>	<p>溶融炉心流入後のドレン配管における管壁の侵食量評価</p> <p>原子炉下部キャビティの床面に目皿が設置されており、床下にドレン配管が設置されている。このため、以下の評価を実施した。</p> <p>a. 評価体系</p> <ul style="list-style-type: none"> ドレン配管内に流入した溶融炉心を円柱で模擬し、側面は熱伝導を考慮したコンクリートで囲まれているものとし、両端が水によって除熱されるものとした。 <p>b. 評価条件</p> <ul style="list-style-type: none"> 溶融炉心の流動距離（円柱の高さ）は、別紙 1 の評価結果を踏まえ、保守的に目皿から 3.0m とした。 <p>c. 評価結果</p> <ul style="list-style-type: none"> 管壁の侵食量は約 0.008m となった。ドレン配管から原子炉格納容器バウンダリまでの最短距離が約 3.3m であることから、コンクリートの侵食が原子炉格納容器バウンダリに到達することは無いことを確認した。(別図 2-1 参照) <p>d. 評価の保守性について</p> <p>本評価では、種々の不確かさを包絡する観点で b. の評価を実施したが、現実的には以下の効果に期待できるものと考えられ、b. の評価には保守性があるものと考える。なお、c. のとおり b. の保守的な評価条件であっても、コンクリートの侵食が原子炉格納容器バウンダリに到達することは無い。(別図 2-2 参照)</p> <p>流入量、流入距離の観点</p> <p>流入量については別紙 1 に示すとおり、保守的に流動限界固相率を 1 とした場合の評価においても流動距離は約 2.6m であり、流動限界固相率を $0.7^{[1]}$ として考慮すると流入量及び流入距離は更に低減されるものと考える。(別図 2-2 中②参照)</p> <p>流入経路の影響</p> <p>原子炉容器下部から落ちた溶融炉心がドレン配管に流入する際には目皿が流入を妨げる要因となりえるが、不確かさがあるものと考える。(別図 2-2 中①参照)</p>	<p>※女川はコリウム流入防止対策の設備概要について記載しており、泊ではコリウム流入防止対策を行わないことから、別紙 2 は KK67 と比較する</p> <p>※泊のドレン配管の配置形状が KK7 号炉と近いため新規に壁面の侵食量評価を実施</p> <p>設計の相違</p> <p>評価体系の相違</p> <p>評価条件の相違</p> <p>評価結果の相違</p> <p>設計の相違</p> <p>評価結果の相違</p> <p>設計の相違</p> <p>評価結果の相違</p> <p>設計の相違</p>

7.2.5 滲融炉心・コンクリート相互作用（添付資料7.2.5.4 滲融炉心・コンクリート相互作用に対する格納容器サンプルの影響について）

女川原子力発電所2号炉	柏崎刈羽原子力発電所6号炉及び7号炉（抜粋）	泊発電所3号炉	相違理由						
<p>表1 コリウムシールド仕様</p> <table border="1"> <tr> <td>耐熱材主成分</td><td>ジルコニア (ZrO_2)</td></tr> <tr> <td>耐熱材寸法（外径／内径／長さ）</td><td>130mm × 100mm × 1300mm</td></tr> <tr> <td>通水配管流路口径</td><td>100mm</td></tr> </table>  <p>図1 コリウムシールド概要図</p> <div style="border: 1px solid black; padding: 5px; margin-top: 10px;"> <p>枠内に記載の内容は商業機密の観点から公開できません。</p> </div>	耐熱材主成分	ジルコニア (ZrO_2)	耐熱材寸法（外径／内径／長さ）	130mm × 100mm × 1300mm	通水配管流路口径	100mm	<p>供給されることから、原子炉圧力容器下部からの溶融炉心の落下を仮定した上でも、ファンネルからの溶融炉心侵入の発生には不確かさがあるものと考える。（別図3-2中①参照）</p> <p>ドレン配管は、ファンネル流入口から数10cm程度垂直に落下した後、水平に曲がる構造となっており、さらに水平落下後も少なくとも数回屈曲していることから、配管の曲りによる抵抗により流入量、流入距離は低減されるものと考える。（図3-12、別図3-2中②参照）</p> <ul style="list-style-type: none"> 崩壊熱 <p>崩壊熱については事象発生から6時間後の崩壊熱を用いて評価したが、有効性評価のベースケースでの溶融炉心落下時刻は事象発生の7時間後であり、保守的な想定になっているものと考える。また、格納容器下部に落した溶融炉心が格納容器下部の端に到達し、ファンネルの蓋を溶融させ、ドレン配管に流入するまでの時間を考えると、崩壊熱については更に低減されるものと考える。（別図3-2中④参照）</p> <ul style="list-style-type: none"> 除熱の形態 <p>水への熱流束については、保守的に800kW/m²一定としているが、現実的には圧力依存性に期待できるものと考える。（別図3-2中⑤参照）</p> <p>また、ドレン配管に浸入した溶融炉心の両端からの除熱にのみ期待しているが、侵食が進展した場合、水平な配管の上部には空隙の多い領域が生じるものと考えられ、その領域への水の浸入を考慮すると更に除熱量が増大する。ドレン配管のサンプ側からは初期水張り及び溶融炉心落下後の原子炉格納容器下部への注水によって水が供給され続けるため、水が枯渇する状況は考えにくい。ドレン配管内での溶融炉心・コンクリート相互作用による非凝縮性ガスの発生及びドレン配管内への流出により、空隙部に水が侵入できない可能性が考えられるが、その場合は非凝縮性ガスによる溶融炉心からの除熱に期待できるものと考える。（別図3-2中⑥参照）</p> <ul style="list-style-type: none"> 更なる感度解析の確認結果 <p>格納容器下部床下に存在する最も長いファンネルからのドレン配管は約13.2mであるが、これが溶融炉心で満たされた、本評価よりも更に極端なモデルを仮定しても、管壁の侵食量は約0.25mに留まり、ライナまでの最短距離（約0.5m）には余裕があることを確認している。</p>	<p>泊発電所3号炉</p> <ul style="list-style-type: none"> 崩壊熱 <p>崩壊熱については事象発生から1.5時間後の崩壊熱を用いて評価したが、有効性評価のベースケースでの溶融炉心落下時刻は事象発生の約1.6時間後であり、保守的な想定になっているものと考える。また、原子炉下部キャビティに落した溶融炉心が目皿を介してドレン配管に流入するまでの時間を考えると、崩壊熱については更に低減されるものと考える。（別図2-2中③参照）</p> <ul style="list-style-type: none"> 除熱の形態 <p>水への熱流束については、保守的に800kW/m²一定としているが、現実的には圧力依存性に期待できるものと考える。（別図2-2中④参照）</p> <p>また、ドレン配管に侵入した溶融炉心の冷却材への伝熱は両端からの除熱にのみ期待しているが、侵食が進展した場合、水平な配管の上部には空隙の多い領域が生じるものと考えられ、その領域への水の浸入を考慮すると更に除熱量が増大する。ドレン配管の格納容器サンプ側からは代替格納容器スプレイにより溶融炉心落下後も水が供給されるため、水が枯渇する状況は考えにくい。ドレン配管内での溶融炉心・コンクリート相互作用による非凝縮性ガスの発生及びドレン配管内への流出により、空隙部に水が侵入できない可能性が考えられるが、その場合は非凝縮性ガスによる溶融炉心からの除熱に期待できるものと考える。（別図2-2中⑤参照）</p> <ul style="list-style-type: none"> 更なる感度解析の確認結果 <p>目皿からのドレン配管の全長は約8mであるが、これが溶融炉心で満たされた、本評価よりも更に極端なモデルを仮定しても、管壁の侵食量は約0.05mに留まり、原子炉格納容器バウンダリまでの最短距離（約3.3m）には余裕があることを確認している。</p>	<p>解説結果の相違</p> <p>設計の相違</p> <p>記載表現の相違</p> <p>設備名称の相違 運用の相違</p> <p>設計の相違</p> <p>評価結果の相違</p>
耐熱材主成分	ジルコニア (ZrO_2)								
耐熱材寸法（外径／内径／長さ）	130mm × 100mm × 1300mm								
通水配管流路口径	100mm								

泊発電所 3号炉 有効性評価 比較表

7.2.5 溶融炉心・コンクリート相互作用（添付資料 7.2.5.4 溶融炉心・コンクリート相互作用に対する格納容器サンプの影響について）

女川原子力発電所 2号炉	柏崎刈羽原子力発電所 6号及び 7号炉（抜粋）	泊発電所 3号炉	相違理由
2. コリウムシールドの周辺設備への悪影響の有無 コリウムシールドの設置により設計基準事故対処設備及び重大事故等対処設備に対し悪影響を及ぼす可能性があることから、コリウムシールドの設置による悪影響の有無について確認を行った。 (1) 原子炉格納容器への悪影響の有無について 原子炉格納容器への影響評価として、閉じ込め機能、原子炉格納容器下部注水機能の2つの観点から影響の有無について確認を行った。 確認の結果、閉じ込め機能については、原子炉格納容器の構造強度を要する箇所に設置するものではなく、コンクリート侵食及び非凝縮性ガスの発生を抑制することから、原子炉格納容器の機能である閉じ込め機能への悪影響はないとの判断。 原子炉格納容器下部注水機能については、原子炉格納容器下部注水設備とは独立しており、原子炉格納容器下部の空間に設置するものではないことから、原子炉格納容器下部注水機能への悪影響はないことを確認した。	 <p>別図3-1 下部ドライウェルファンネル配管評価のイメージ</p> <p>d. コンクリート侵食時に発生する非凝縮性ガスの挙動 • 管壁の侵食量が約 0.08m となるまでに侵食されるコンクリートの体積は、ドレン配管を 3.6m とした場合、</p> $3.6 \times (0.12^2 - 0.04^2) \times \pi = 0.14m^3$ <p>となる。この侵食によってコンクリートに含まれる CO₂ が全て気体として放出されると仮定すると、</p> <p>質量 : $0.14 \times 2300 \times 0.015 = \text{約 } 5\text{kg}$ 体積 : $5/44 \times 22.4 = \text{約 } 2.5\text{Nm}^3$</p> <p>となる。また、上記の体積のコンクリートに対して MCCI が生じた場合、約 3kg の水素が発生することとなる。管内に溶融炉心が流入した後は、管内の水による冷却や侵食に伴って空隙が発生すると考えると、発生した非凝縮性ガスは管壁に沿って排出されるものと考えられる。</p> <p>これらの非凝縮性ガスについては、有効性評価「3.5 溶融炉心・コンクリート相互作用」では、ジルコニウム-水反応によって約 1400kg の水素が発生することから、上記のコンクリート侵食の評価結果を踏まえて数 kg 程度の非凝縮性ガスの発生を考慮しても、格納容器圧力及び格納容器内の気体組成に有意な影響を及ぼすものではないと考える。</p> <p style="text-align: center;">以 上</p>	 <p>別図2-1 原子炉下部キャビティドレン配管評価のイメージ</p> <p>e. コンクリート侵食時に発生する非凝縮性ガスの挙動 • 管壁の侵食量が約 0.008m となるまでに侵食されるコンクリートの体積は、ドレン配管へのデブリ侵入距離を 3.0m とした場合、</p> $3.0 \times (0.062^2 - 0.054^2) \times \pi = 0.009 m^3$ <p>となる。この侵食によってコンクリートに含まれる CO₂ が全て気体として放出されると仮定すると、</p> <p>質量 : $0.009 \times \boxed{\quad} \times \boxed{\quad} = \text{約 } 0.24 \text{ kg}$ 体積 : $0.24 / 44 \times 22.4 = \text{約 } 0.12 \text{Nm}^3$</p> <p>となる。また、上記の体積のコンクリートに対して MCCI が生じた場合、約 0.17kg の水素が発生することとなる。管内に溶融炉心が流入した後は、管内の水による冷却や侵食に伴って空隙が発生すると考えると、発生した非凝縮性ガスは管壁に沿って排出されるものと考えられる。</p> <p>これらの非凝縮性ガスについては、MCCI 事象における溶融炉心冷却モデルの不確かさを考慮した解析では、ジルコニウム-水反応によって約 53.5kg の水素が発生することから、上記のコンクリート侵食の評価結果を踏まえて数百 g 程度の非凝縮性ガスの発生を考慮しても、MCCI 事象における溶融炉心冷却モデルの不確かさを考慮した解析結果に包絡されており、原子炉格納容器圧力及び原子炉格納容器内の気体組成に有意な影響を及ぼすものではないと考える。</p> <p style="text-align: right;">以 上</p> <p>参考文献 :</p> <p>[1] C. Journeau, et al., "Ex-vessel corium spreading: results from the VULCANO spreading tests," Nuclear Engineering and Design, vol. 223 (2003) 75-102</p> <p>枠囲みの内容は機密情報に属しますので公開できません。</p>	<p>設計の相違</p> <p>設備名称の相違</p> <p>評価結果の相違</p> <p>評価結果の相違</p> <p>解析結果の相違</p>

泊発電所3号炉 有効性評価 比較表

7.2.5 溶融炉心・コンクリート相互作用（添付資料 7.2.5.5 原子炉格納容器下部に落下する溶融デブリ評価条件と落下後の体積に関する考慮）

赤字：設備、運用又は体制の相違（設計方針の相違）
 青字：記載箇所又は記載内容の相違（記載方針の相違）
 緑字：記載表現、設備名称の相違（実質的な相違なし）

女川原子力発電所2号炉	泊発電所3号炉	相違理由
<p>【女川の補足説明資料から抜粋】</p> <p>19. 格納容器下部に落下する溶融デブリ評価条件と落下後の堆積に関する考慮</p> <p>1. 溶融デブリの評価条件 女川2号炉では、MCCIの評価にMAAPコードを用いている。MCCIの評価においては、全炉心に相当する量が溶融炉心として格納容器下部に落下するものとしており、この溶融炉心には炉内構造物等を考慮している。溶融炉心の拡がりに関する評価条件を表1に示す。</p> <p>2. 女川2号炉のMCCIの評価における溶融炉心の堆積高さ 女川2号炉のMCCIの評価では、落下した溶融炉心が格納容器下部に一様に拡がるものとしており、この場合、堆積高さは約1.2mとなる。格納容器下部に落下した溶融炉心と格納容器下部の構造の位置関係を図1に示す。図1に示すとおり、格納容器下部の側面の開口部であっても[]mの高さがあることから、仮に溶融炉心が全量落下しても格納容器下部以外に溶融炉心が拡がる恐れは無いと考える。</p> <p>3. 溶融炉心の堆積高さの不確かさ (1) 格納容器下部の構造物等の影響 格納容器下部には、様々な構造物が存在しており、その構造物が堆積したデブリにより溶融し、デブリ堆積高さが増加する可能性がある。 したがって、制御棒や炉心支持板等の炉内構造物も含めた全炉心相当のUO₂及びZr等のデブリ容積に加えて、格納容器下部の構造物等が溶融した場合のデブリ增加分を考慮した場合、原子炉圧力容器下部の構造物として、制御棒駆動機構ハウジング、中性子束計測ハウジング等、原子炉運転中に圧力容器ベデスタル内にある構造物として、CRD自動交換機プラットホーム等を想定した場合においても、デブリ堆積高さは約1.5mとなり、増加分は約0.3mであることから、ドライウェル床に溶融炉心が拡がることはないと考える。</p> <p>(2) 溶融炉心の粒子化に伴う影響 溶融炉心が格納容器下部に落下する場合、予め格納容器下部へ初期水張りを実施する手順をしていることから、溶融炉心の一部は水中で粒子化すると考えられる。この時、粒子化した溶融炉心の密度が低いと堆積高さが高くなる。</p> <p>[]枠固みの内容は商業機密の観点から公開することはできません。</p>	<p>泊発電所3号炉</p> <p>添付資料 7.2.5.5 原子炉格納容器下部に落下する溶融デブリ評価条件と落下後の堆積に関する考慮</p> <p>1. 溶融デブリの評価条件 泊3号炉では、MCCIの評価にMAAPコードを用いている。MCCIの評価においては、全炉心に相当する量が溶融炉心として原子炉下部キャビティに落下するものとしており、この溶融炉心には炉内構造物等を考慮している。溶融炉心の拡がりに関する評価条件を表1に示す。</p> <p>2. 泊3号炉のMCCIの評価における溶融炉心の堆積高さ 泊3号炉のMCCIの評価では、落下した溶融炉心が原子炉下部キャビティに一様に拡がるものとしており、この場合、堆積高さに[]mとなる。原子炉下部キャビティに落下した溶融炉心と原子炉下部キャビティの位置関係を図1に示す。図1に示すとおり、原子炉下部キャビティの開口部（連通管・小扉）までは、[]m以上あることから、仮に溶融炉心が全量落下しても原子炉下部キャビティ以外に溶融炉心が拡がる恐れはないと考える。</p> <p>3. 溶融炉心の堆積高さの不確かさ (1) 原子炉下部キャビティの構造物等の影響 原子炉下部キャビティには、様々な構造物が存在しており、その構造物が堆積したデブリにより溶融し、デブリ堆積高さが増加する可能性がある。 したがって、制御棒や炉心支持板等の炉内構造物も含めた全炉心相当のUO₂及びZr等のデブリ容積に加えて、原子炉下部キャビティの構造物等が溶融した場合のデブリ増加分を考慮した場合、原子炉下部キャビティの構造物として、原子炉容器下部の計装案内管及びサポート等を想定した場合においても、デブリ堆積高さは、[]mとなり、増加分は[]mであることから、原子炉下部キャビティ以外に溶融炉心が拡がる恐れはないと考える。</p> <p>(2) 溶融炉心の細粒化に伴う影響 溶融炉心が原子炉下部キャビティに落下する場合、予め原子炉下部キャビティへ水張りを実施する手順をしていることから、溶融炉心の一部は水中で細粒化すると考えられる。この時、細粒化した溶融炉心の密度が低いと堆積高さが高くなる。</p> <p>[]枠固みの内容は機密情報に属しますので公開できません。</p>	<p>※女川に倣い新規作成 記載表現の相違</p> <p>設計の相違 設計の相違</p> <p>設計の相違</p>

泊発電所3号炉 有効性評価 比較表

7.2.5 溶融炉心・コンクリート相互作用（添付資料 7.2.5.5 原子炉格納容器下部に落下する溶融デブリ評価条件と落下後の体積に関する考慮）

赤字：設備、運用又は体制の相違（設計方針の相違）
 青字：記載箇所又は記載内容の相違（記載方針の相違）
 緑字：記載表現、設備名称の相違（実質的な相違なし）

女川原子力発電所2号炉	泊発電所3号炉	相違理由
<p>もっとも厳しい条件として、全量が粒子化した際の堆積高さを評価する。例えば、ボロシティが最も大きな粒子の充填状態である、単純立方格子として堆積する場合を仮定すると、ボロシティは0.48であり、堆積高さは（1）で考慮した堆積高さ約1.5mに対し、デブリ堆積高さは約2.9mとなるが、格納容器下部の床面から格納容器下部の側面の開口部までの高さ□m以下であることから、粒子化に伴う堆積高さの増加を考慮しても格納容器下部以外に溶融炉心が拡がる恐れはないと考える。</p> <p>なお、溶融炉心落下前の格納容器下部への初期水張りは、ドライウェル水位0.23mの位置まで注水する運用としている。そのため、格納容器下部の側面の開口部から粒子化した溶融炉心が流れ出ることも懸念されるが、溶融炉心の比重は8程度であり、水に比べて非常に重く、粒子化した溶融炉心は水面に浮遊し格納容器下部から流出することはないと想定される。模擬溶融物（比重2.5～8.0）を水プールに落下させたDEFOR試験の溶融ジェットの様子を図3に示す。この実験結果においても、上面への溶融粒子の移行は確認されていない。</p> <p>(3) 溶融デブリの落下の位置及び拡がりの影響</p> <p>原子炉圧力容器下部から格納容器下部への溶融炉心の落下の経路については、制御棒駆動機構ハウジングの逸出に伴う開口部からの落下等が考えられる。原子炉圧力容器の構造からは、溶融炉心は原子炉圧力容器底部の中心に流れ込むと考えられ、原子炉圧力容器底部の中心近傍に開口部が発生し、溶融炉心が格納容器下部に落下する可能性が高いと推定されるが、開口部の発生箇所については不確かさがあると考える。</p> <p>ここで仮に溶融炉心が偏って堆積し、格納容器下部の側面の開口部の高さ□mに到達する条件を考えると、溶融炉心が直径約3mの円柱を形成する必要があるが、溶融炉心の厚さが均一化するまでの時間が2～3分程度であるという過去の知見^[1]があることに加え、MAAPの溶融物落下履歴として溶融デブリの全量が一度に落下していることを踏まえると、溶融炉心は落下と同時に格納容器下部床面を拡がり、堆積高さが均一化していくと考えられることから、溶融炉心が格納容器下部の側面の開口部の高さまで堆積する状況は考え難い。</p> <p style="text-align: center;">以上</p> <div style="border: 1px solid black; padding: 2px; display: inline-block;">枠囲みの内容は商業機密の観点から公開することはできません。</div>	<p>もっとも厳しい条件として、全量が細粒化した際の堆積高さを評価する。例えば、空隙率が最も大きな粒子の充填状態である、単純立方格子として堆積する場合を仮定すると、空隙率は0.48であり、堆積高さは（1）で考慮した堆積高さ□mに対し、デブリ堆積高さは□mとなるが、原子炉下部キャビティ床面から原子炉下部キャビティの開口部までは、□m以上あることから、細粒化に伴う堆積高さの増加を考慮しても原子炉下部キャビティ以外に溶融炉心が拡がる恐れはないと考える。</p> <p>なお、溶融炉心落下前の原子炉下部キャビティの水位は約1.5mである。そのため、原子炉下部キャビティの開口部（連通管・小扉）から細粒化した溶融炉心が流れ出ることも懸念されるが、代替格納容器スプレイは継続しており、また代替格納容器スプレイ停止時にも溶融炉心冷却により蒸散した冷却水を補うよう、開口部を通じて原子炉下部キャビティへ流入が続くことから、溶融炉心が流出することはないと考える。</p> <p>(3) 溶融デブリの落下の位置及び拡がりの影響</p> <p>原子炉容器から原子炉下部キャビティへの溶融炉心の落下の経路については、計装案内管破損に伴う開口部からの落下等が考えられる。原子炉容器の構造からは、原子炉容器底部の中心に流れ込むと考えられ、原子炉容器底部の中心近傍に開口部が発生し、溶融炉心が原子炉下部キャビティに落下する可能性が高いと推定されるが、開口部の発生箇所については不確かさがあると考える。</p> <p>泊3号炉では、図3に示すとおり、原子炉下部キャビティの開口部があるのは、原子炉容器下部ではないため、原子炉容器直下ではない場所に溶融炉心が偏って堆積し、溶融炉心が原子炉下部キャビティの側面の開口部の高さまで到達する状況は考え難い。一方、原子炉下部キャビティの入口扉は、原子炉下部キャビティの端に繋がる通路の奥にあるもの（図3）、原子炉下部キャビティの床には段差もないことから、溶融炉心が入口扉まで拡がる可能性はある。入口扉は金属製であり、溶融炉心の接触により損傷することも想定されるが、入口扉の先は上り階段になっており、階段の先の床上まで約2.6mの高さがあることから、原子炉下部キャビティ以外に溶融炉心が拡がる恐れはないと考える。</p> <p style="text-align: center;">以上</p> <div style="border: 1px solid black; padding: 2px; display: inline-block;">枠囲みの内容は機密情報に属しますので公開できません。</div>	<p>評価結果の相違 設計の相違</p> <p>記載内容の相違 ・女川はドライウェル水位0.23mの位置まで注水した後注水を停止するが、泊は注水し続けるため開口部から細粒化した溶融炉心が流出することはない</p> <p>設計の相違</p> <p>記載内容の相違 ・開口部と原子炉容器の位置関係の違いにより記載が異なる</p>

泊発電所3号炉 有効性評価 比較表

7.2.5 溶融炉心・コンクリート相互作用 (添付資料 7.2.5.5 原子炉格納容器下部に落下する溶融デブリ評価条件と落下後の体積に関する考慮)

赤字 : 設備、運用又は体制の相違 (設計方針の相違)
青字 : 記載箇所又は記載内容の相違 (記載方針の相違)
緑字 : 記載表現、設備名称の相違 (実質的な相違なし)

女川原子力発電所2号炉			泊発電所3号炉	相違理由
表1 溶融炉心に関する評価条件			表1 溶融炉心の 拡がり に関する評価条件	
項目	設定値	設定根拠	項目	設定値
溶融炉心落下割合	100%(約 220 t)	保守的に全炉心相当量が落下するものとして設定	溶融炉心落下割合	100% [] t)
溶融炉心の組成	図2参照	MAAP コードによる評価結果 (炉内構造物の組成・質量等を考慮)	溶融炉心の組成	図2参照 MAAP コードによる評価結果 (炉内構造物の組成・質量等を考慮)
格納容器下部床面積	約 24m ²	設計値	原子炉下部キャビティ床面積	[] m ² 設計値 [注]
(注) 通路部を除く			表2 原子炉下部キャビティにおいて溶融対象となる構造物の質量及び体積	
項目	質量／体積 ^(注1)	備考	項目	質量／体積 ^(注1)
燃料(UO ₂)	[]		燃料 (UO ₂)	[]
被覆管(Zr)	[]	標準長燃料棒、短尺燃料棒を考慮	被覆管 (Zr)	[]
チャンネルボックス／ ウォーターロッド／ スペーサ (Zr)	[]	チャンネルボックス [] ウォーターロッド [] スペーサ []	制御棒／BP 集合体／ シンプルプラグ (SUS)	[] 制御棒 (その他の金属) ^(注2)
CRD 関係(SUS)	[]	CR, CRD ハウジング, CRD ガイドチュープの合計	下部炉心支持板／ 炉内計装案内管／ 下部炉心支持柱 (SUS)	[] 下部炉心支持板 : [] 炉内計装案内管 : [] 下部炉心支持柱 : []
CR(B ₄ C)	[]	CR における B ₄ C の質量	原子炉下部キャビティの サポート等 (SUS)	[]
炉心支持板／ 燃料支持金具＋下部タイ プレート／ 上部タイプレート (SUS)	[]	炉心支持板 : [] 燃料支持金具＋下部タイプレート : [] 上部タイプレート : []	合計 ^(注3)	[]
合計 ^(注2)	[]	—	(注1) 重量から体積への換算は以下の密度(密度は温度によって変化するが、常温での値で代表)を用いているため、体積は参考値扱いである。	
(注2) MAAP では、Zr, SUS の酸化を考慮するため、圧力容器ペデスタルへの落下重量は約 220(ton) となる。			(注1) 質量から体積への換算は以下の密度(密度は温度によって変化するが、常温での値で代表)を用いているため、体積は参考値扱いである。	
(注3) MAAP における、原子炉下部キャビティへの落下量は約 [] であるが、評価では合計値より保守的に設定した数値を使用する。			(注2) 体積については、制御棒の SUS 以外の金属は割合の多い Ag で代表する。	
枠囲みの内容は商業機密の観点から公開できません。			(注3) MAAP における、原子炉下部キャビティへの落下量は約 [] であるが、評価では合計値より保守的に設定した数値を使用する。	

泊発電所 3号炉 有効性評価 比較表

7.2.5 溶融炉心・コンクリート相互作用 (添付資料 7.2.5.5 原子炉格納容器下部に落下する溶融デブリ評価条件と落下後の体積に関する考慮)

赤字 : 設備, 運用又は体制の相違 (設計方針の相違)
青字 : 記載箇所又は記載内容の相違 (記載方針の相違)
緑字 : 記載表現, 設備名称の相違 (実質的な相違なし)

女川原子力発電所 2号炉	泊発電所 3号炉	相違理由
<p>図1 格納容器下部堆積デブリ状況</p>	<p>図1 原子炉下部キャビティ堆積デブリ状況</p>	設計の相違
<p>図2 溶融炉心の組成の推移</p>	<p>図2 溶融炉心の組成の推移</p>	

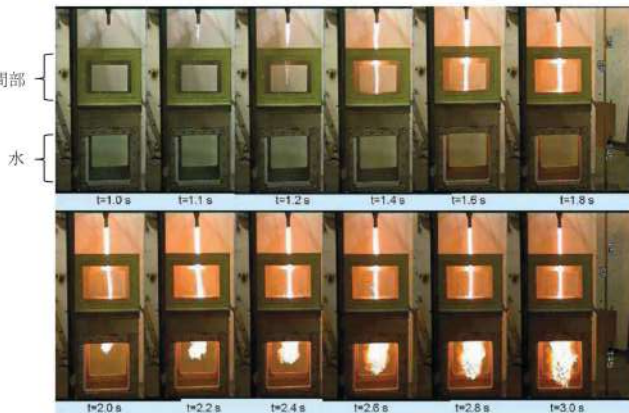
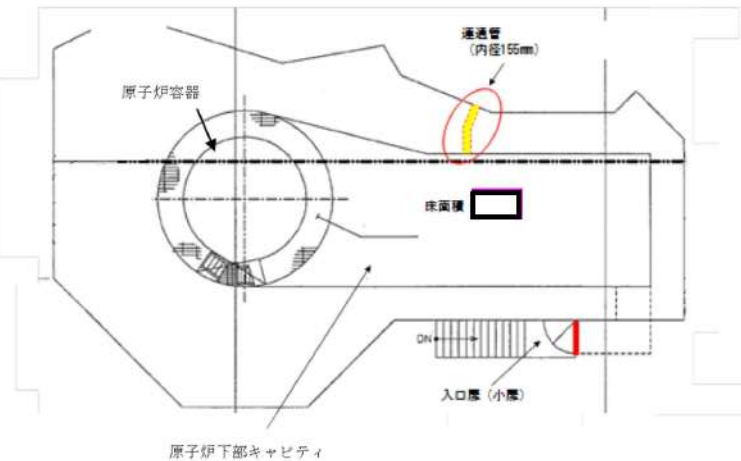
枠囲みの内容は商業機密の観点から公開できません。

枠囲みの内容は機密情報に属しますので公開できません。

泊発電所 3号炉 有効性評価 比較表

7.2.5 溶融炉心・コンクリート相互作用 (添付資料 7.2.5.5 原子炉格納容器下部に落下する溶融デブリ評価条件と落下後の体積に関する考慮)

赤字 : 設備, 運用又は体制の相違 (設計方針の相違)
青字 : 記載箇所又は記載内容の相違 (記載方針の相違)
緑字 : 記載表現, 設備名称の相違 (実質的な相違なし)

女川原子力発電所2号炉	泊発電所3号炉	相違理由
 <p>図3 DEFOR試験において模擬溶融物を水中に落下させた場合の粒子化の様子^[2]</p> <p>[1] J. D. Gabor, L. Baker, Jr., and J. C. Cassulo, (ANL), "Studies on Heat Removal and Bed Leveling of Induction-heated Materials Simulating Fuel Debris", SAND76-9008 (1976).</p> <p>[2] A. Karbojian, et al., "A scoping study of debris bed formation in the DEFOR test facility," Nucl. Eng. Design 239 1653–1659, 2009.</p>	 <p>図3 原子炉下部キャビティ内の連通管及び小扉の設置状況</p> <p>■ 案内図の内容は機密情報に属しますので公開できません。</p>	記載方針の相違

泊発電所3号炉 有効性評価 比較表

7.2.5 溶融炉心・コンクリート相互作用（添付資料 7.2.5.6 溶融炉心の堆積高さの評価に関する考え方について）

赤字：設備、運用又は体制の相違（設計方針の相違）
 青字：記載箇所又は記載内容の相違（記載方針の相違）
 緑字：記載表現、設備名称の相違（実質的な相違なし）

女川原子力発電所2号炉 【女川の補足説明資料から抜粋】	泊発電所3号炉 溶融炉心の堆積高さの評価に関する考え方について	添付資料 7.2.5.6 溶融炉心の堆積高さの評価に関する考え方について	相違理由 ※女川に倣い新規作成
<p>22. 溶融炉心の堆積高さの評価に関する考え方について</p> <p>溶融炉心の堆積高さの評価において、考慮した溶融物（コリウム）の考え方について以下に示す。</p> <p>○原子炉内 約 220 t 原子炉内に存在するコリウムの総量については、MAAP 解析結果をベースにした上で、核計装管及び制御棒駆動機構（以下、「CRD」という。）を考慮した（添付資料 1 参照）。</p> <ul style="list-style-type: none"> ・燃料集合体：560 体全て溶融すると想定 ・制御棒：137 本全て溶融すると想定 ・炉内構造物：炉心よりも下部に存在するものは全て溶融すると想定。CRD の炉内に存在する部分も全て溶融すると想定 ・炉内核計装管：全て溶融すると想定（約 □ t） <p>○原子炉外 原子炉外に存在する構造物（以下、「炉外構造物」という。）として、原子炉の直下でコリウムの想定流出経路上に存在する、CRD ハウジング、CRD 交換装置及び CRD 関連機器を考慮した。</p> <ul style="list-style-type: none"> ・CRD ハウジング：CRD ハウジングが 1 本破損した場合、その破損口径の溶融による広がりを考慮し、隣接する 4 本の CRD ハウジングを巻き込んだ、計 5 本の溶融を想定（約 □ t）（添付資料 2 参照）。 ・CRD 交換装置：全て溶融すると想定（約 □ t） ・CRD 関連機器：配管や支持金具は全て溶融すると想定（約 □ t） ・炉外核計装管：全て溶融すると想定（約 □ t） ・保温材関連：全て溶融すると想定（約 □ t） <p>上述の考え方に基づき、溶融炉心の堆積高さを算出した。</p> <p style="text-align: center;">以 上</p>	<p>溶融炉心の堆積高さの評価に関する考え方について</p> <p>溶融炉心の堆積高さの評価において、考慮した溶融物（コリウム）の考え方について以下に示す。</p> <p>○原子炉容器内 □ t 原子炉容器内に存在するコリウムの総量については、原子炉容器内に存在する以下の構造物を考慮した。</p> <ul style="list-style-type: none"> ・燃料集合体：157 体全て溶融すると想定 ・制御棒：48 体全て溶融すると想定 ・BP 集合体・シンプルプラグ：全て溶融すると想定 ・炉内構造物：炉心よりも下部に存在するものは全て溶融すると想定 <p>○原子炉容器外 原子炉容器外に存在する構造物として、原子炉下部キャビティに存在する炉内計装案内管及びサポート等を考慮した（別紙 1 参照）。</p> <ul style="list-style-type: none"> ・炉内計装案内管及びサポート等：全て溶融すると想定（約 □ t） <p>上述の考え方に基づき、溶融炉心の堆積高さを算出した。</p> <p style="text-align: center;">以 上</p>	<p>溶融炉心の堆積高さの評価に関する考え方について</p> <p>溶融炉心の堆積高さの評価において、考慮した溶融物（コリウム）の考え方について以下に示す。</p> <p>○原子炉容器内 □ t 原子炉容器内に存在するコリウムの総量については、原子炉容器内に存在する以下の構造物を考慮した。</p> <ul style="list-style-type: none"> ・燃料集合体：157 体全て溶融すると想定 ・制御棒：48 体全て溶融すると想定 ・BP 集合体・シンプルプラグ：全て溶融すると想定 ・炉内構造物：炉心よりも下部に存在するものは全て溶融すると想定 <p>○原子炉容器外 原子炉容器外に存在する構造物として、原子炉下部キャビティに存在する炉内計装案内管及びサポート等を考慮した（別紙 1 参照）。</p> <ul style="list-style-type: none"> ・炉内計装案内管及びサポート等：全て溶融すると想定（約 □ t） <p>上述の考え方に基づき、溶融炉心の堆積高さを算出した。</p> <p style="text-align: center;">以 上</p>	<p>設計の相違 評価条件の相違 ・泊では原子炉内外ではなく原子炉容器内外で堆積高さ評価で考慮する構造物を分けている</p> <p>設計の相違 評価条件の相違 ・泊では原子炉内外ではなく原子炉容器内外で堆積高さ評価で考慮する構造物を分けている</p>
<div style="border: 1px solid black; padding: 2px; display: inline-block;">枠囲みの内容は商業機密の観点から公開することはできません。</div>		<div style="border: 1px solid black; padding: 2px; display: inline-block;">□枠囲みの内容は機密情報に属しますので公開できません。</div>	

泊発電所3号炉 有効性評価 比較表

7.2.5 溶融炉心・コンクリート相互作用（添付資料 7.2.5.6 溶融炉心の堆積高さの評価に関する考え方について）

赤字：設備、運用又は体制の相違（設計方針の相違）
 青字：記載箇所又は記載内容の相違（記載方針の相違）
 緑字：記載表現、設備名称の相違（実質的な相違なし）

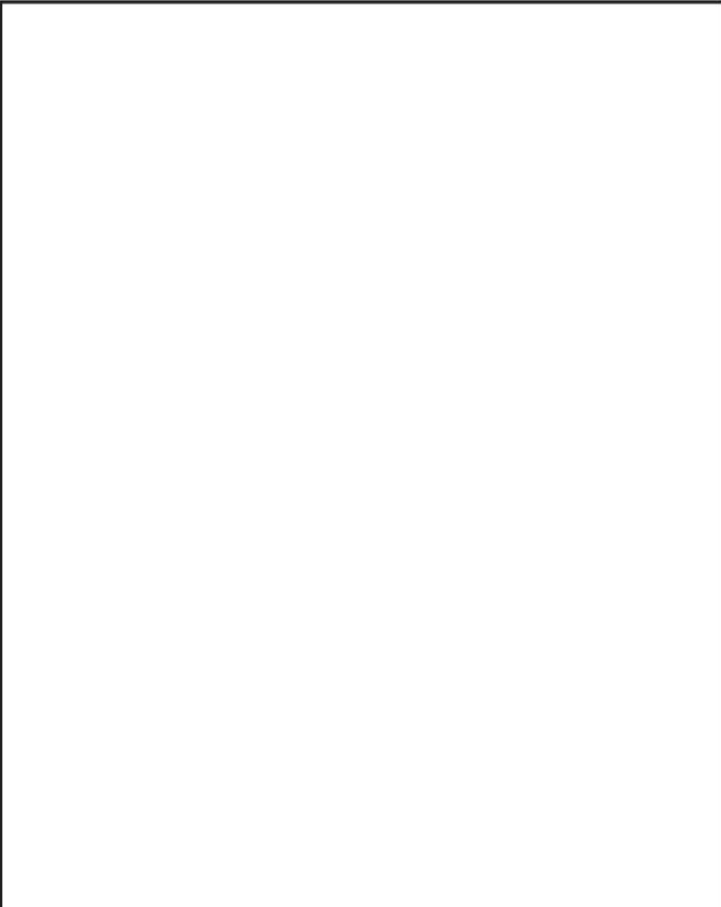
女川原子力発電所2号炉	泊発電所3号炉	相違理由
<p>添付資料 1 CRD の溶融想定箇所について</p> <p>溶融炉心の堆積高さを評価するにあたり、原子炉圧力容器から溶出したコリウムにより溶融されると推定される CRD の箇所について以下に示す（図1）。</p> 	<p>添付資料 1 原子炉下部キャビティ内の溶融対象となる構造物について</p> <p>溶融炉心の堆積高さを評価するにあたり、原子炉容器から溶出したコリウムにより溶融すると推定した原子炉下部キャビティの構造物について以下に示す（図1）。なお、原子炉下部キャビティ水位の計算においては、炉内計装案内管及びサポート等を考慮せず、原子炉下部キャビティ水量とキャビティ幾何形状から水位を算出している。</p> 	<p>別紙 1</p> <p>記載内容の相違 ・泊では原子炉下部キャビティ水位の算出方法について記載</p>

図1 CRD概要図

枠囲みの内容は商業機密の観点から公開できません。

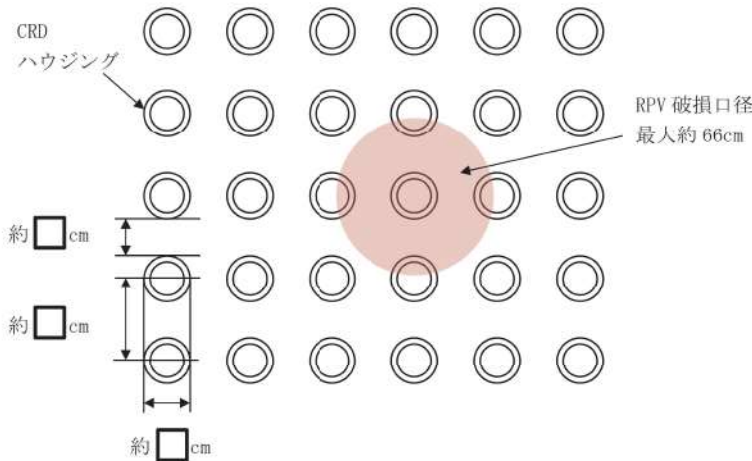
図1 原子炉下部キャビティの溶融対象となる構造物

枠囲みの内容は機密情報に属しますので公開できません。

泊発電所 3号炉 有効性評価 比較表

7.2.5 溶融炉心・コンクリート相互作用（添付資料 7.2.5.6 溶融炉心の堆積高さの評価に関する考え方について）

赤字：設備、運用又は体制の相違（設計方針の相違）
 青字：記載箇所又は記載内容の相違（記載方針の相違）
 緑字：記載表現、設備名称の相違（実質的な相違なし）

女川原子力発電所2号炉	泊発電所3号炉	相違理由
<p>添付資料2 溶融物量として考慮する CRD の設定について</p> <p>CRD および CRD ハウジングの破損本数としては、MAAP 解析において RPV 底部の破損後に破損口の溶融により広がる最大の破損口径：約 66cm に含まれる本数 5 本を考慮している（図 1）。</p>  <p>図 1 CRD 配置と RPV 破損口径の関係</p> <p>枠囲みの内容は商業機密の観点から公開できません。</p>	<p>【該当する資料無し】</p>	

泊発電所 3号炉 有効性評価 比較表

7.2.5 溶融炉心・コンクリート相互作用 (添付資料 7.2.5.7 原子炉下部キャビティの原子炉容器破損直後における溶融炉心の冠水評価)

赤字 : 設備、運用又は体制の相違 (設計方針の相違)
青字 : 記載箇所又は記載内容の相違 (記載方針の相違)
緑字 : 記載表現、設備名称の相違 (実質的な相違なし)

女川原子力発電所 2号炉	泊発電所 3号炉	相違理由
<p>【女川の添付資料 3.3.3 の別添を抜粋】</p> <p>別添</p> <p>格納容器下部の水位が 3.67m の場合における溶融炉心の冠水評価</p> <p>初期水張りの格納容器水位の下限である 3.67m の場合における溶融炉心の冠水評価を以下に示す。</p> <p>(1) 溶融炉心の堆積高さ</p> <p>溶融炉心の堆積形状を図 1 に示す。ポロシティを考慮したデブリ堆積高さ H_{corium} は式(1)で評価する。</p> $H_{corium} = (V_m * (1 - \phi_{ent}) + V_s + V_m * \phi_{ent} / (1 - \varepsilon)) / S_{pd} \quad (1)$ <p>ここで、</p> <ul style="list-style-type: none"> V_m : 溶融物体積 (約 27m³) V_s : 圧力容器ペデスタル内構造物物体積 (約 6m³) ϕ_{ent} : Ricou-Spalding 相関式に基づく粒子化割合 0.611 (別紙参照) ε : ポロシティ (0.5) (0.26 (面心立方格子) から 0.48 (単純立方格子) を包絡する値) S_{pd} : 圧力容器ペデスタル床面積 (約 24m²) <p>式(1)から溶融炉心堆積高さは、約 2.09m となる。</p> <p>(2) 溶融炉心堆積形状の不確かさ評価</p> <p>溶融炉心が均一に堆積しない場合の堆積高さについて評価する。</p> <p>PULiMS 実験において確認された溶融炉心堆積高さと拡がり距離のアスペクト比を適用し、溶融炉心堆積形状を山状と想定すると、均一化した場合と比較して堆積高さが高くなる。</p> <p>(1) の堆積高さに対して、アスペクト比を考慮した場合の溶融炉心の堆積形状として、図 2 のように、連続層については、円柱上に円錐が堆積した形状とし、その上に粒子状デブリが一様に堆積する形状を仮定する。ここで、アスペクト比は、PULiMS 試験で得られた 1 : 16 を想定する*。これを元に初期水張り 3.67m における堆積高さを計算した結果、堆積高さは約 2.32m となる。計算方法は以下のとおりである。</p> <ul style="list-style-type: none"> 連続層の円錐部分については、堆積高さが最大となるのは床全面に拡がった場合であることから、圧力容器ペデスタル直径 5.5m にアスペクト比を考慮すると、頂点部分の堆積高さは約 0.34m となる。 円柱部分については、連続層のうち、円錐部分の体積を除いたものとして求める。 	<p>添付資料 7.2.5.7</p> <p>原子炉下部キャビティの原子炉容器破損直後における溶融炉心の冠水評価</p> <p>原子炉容器破損直後の原子炉下部キャビティ水位における溶融炉心の冠水評価を以下に示す。</p> <p>(1) 溶融炉心の堆積高さ</p> <p>溶融炉心の堆積形状を図 1 に示す。空隙率を考慮したデブリ堆積高さは、H_{corium} は式(1)で評価する。</p> $H_{corium} = (V_m * (1 - \phi_{ent}) + V_s * \phi_{ent} / (1 - \varepsilon)) / S_{cv} \quad (1)$ <p>ここで、</p> <ul style="list-style-type: none"> V_m : 溶融物体積 (約 17m³) ϕ_{ent} : 細粒化割合 (約 0.68) (別紙参照) ε : 空隙率 (0.5) (0.26 (面心立方格子) から 0.48 (単純立方格子) を包絡する値) S_{cv} : 原子炉下部キャビティ床面積 [] m² <p>式(1)から溶融炉心体積高さは、[] m となる。原子炉容器破損直後の原子炉下部キャビティの水位は約 1.5m であるため、細粒化を考慮した場合においても冠水することが確認できた。</p> <p>(2) 溶融炉心堆積形状の不確かさ評価</p> <p>溶融炉心が均一に堆積しない場合の堆積高さについて評価する。</p> <p>PULiMS 実験において確認された溶融炉心堆積高さと拡がり距離のアスペクト比を適用し、溶融炉心堆積形状を山状と想定すると、均一化した場合と比較して堆積高さが高くなる。</p> <p>(1) の堆積高さに対して、アスペクト比を考慮した場合の溶融炉心の堆積形状として、図 2 のように連続層については、原子炉下部キャビティの原子炉容器直下の円形部に円柱上に円錐が堆積した形状とする。粒子状デブリは、連続層の上から堆積するものとし、原子炉下部キャビティ全面に一様に堆積する形状を仮定する。ここで、アスペクト比は、PULiMS 試験で得られた 1 : 16 を想定する*。これを元に、原子炉容器破損直後における溶融炉心の堆積高さを計算した結果、堆積高さは [] m となる。計算方法は以下のとおりである。</p> <ul style="list-style-type: none"> 連続層は、原子炉下部キャビティのうち原子炉容器直下の円形部分に堆積するものとする。 連続層の円錐部分については、堆積高さが最大となるのは円形部分全面に拡がった場合であることから、原子炉下部キャビティ円形部分の直径 [] m にアスペクト比を考慮すると、頂点部分の高さは [] m となる。 円柱部分については、連続層のうち、円錐部分の堆積を除いたものとして求める。 <p>[] 枠囲みの内容は機密情報に属しますので公開できません。</p>	<p>評価条件の相違 ・溶融炉心が落下する際の下部の水張り状態が女川と泊で異なる</p> <p>設計の相違</p> <p>記載方針の相違</p> <p>設計の相違 ・原子炉容器下部の構造の違いにより溶融炉心の仮定する形状が異なる</p>

泊発電所3号炉 有効性評価 比較表

7.2.5 溶融炉心・コンクリート相互作用 (添付資料 7.2.5.7 原子炉下部キャビティの原子炉容器破損直後における溶融炉心の冠水評価)

赤字：設備、運用又は体制の相違（設計方針の相違）
 青字：記載箇所又は記載内容の相違（記載方針の相違）
 緑字：記載表現、設備名称の相違（実質的な相違なし）

女川原子力発電所2号炉	泊発電所3号炉	相違理由
<ul style="list-style-type: none"> 粒子状デブリについては、連続層の上に一樣に堆積すると仮定して求める。 溶融炉心の堆積高さは上述の連続層と粒子状デブリの堆積高さの合計となる。 <p>なお、溶融炉心堆積形状が山状の場合、均一化した場合と比較して溶融炉心上部水プールとの伝熱面積が増加して、水位低下が早くなる可能性があるが、伝熱面積の增加分は1%未満である。したがって、伝熱面積の増加による格納容器下部水位変化への影響は小さく、溶融炉心露出までの時間への影響は小さい。</p> <p>※PULiMS 実験のうち、溶融物量が比較的大きいE4 実験において、平均堆積高さ41mmに対して、拡がり距離は740mm×560mmとなっている（表1、図3）。アスペクト比としては1:18～1:14程度となっており、おおよそ1:16程度の拡がり挙動を示している。デブリ堆積高さの評価としては、ポロシティや圧力容器ベデスタイル内構造物量等の保守的な設定をしているため、不確かさ評価として考慮するアスペクト比としては、実験結果に基づく平均的な値として1:16を適用し評価を行う。</p> <p>PULiMS 実験は溶融物を水中に落下した実験であり、連続層と粒子状デブリを含めたデブリ全体としての堆積高さに関する知見として適用できるものである。連続層と粒子状デブリを含めた全体をアスペクト比1:16とするため、本評価では円柱上に円錐が堆積した形状の連続層の上に粒子状デブリが一樣に堆積する形状を仮定する。</p>	<ul style="list-style-type: none"> 粒子状デブリについては、原子炉下部キャビティ床面に連続層の上から一樣に堆積すると仮定して求める。 溶融炉心の堆積高さは上述の連続層と粒子状デブリの堆積高さの合計となる。 <p>なお、溶融炉心堆積形状が山状の場合、均一化した場合と比較して溶融炉心上部水プールとの伝熱面積が増加して、水位低下が早くなる可能性があるが、伝熱面積の増加分は1%未満である。したがって、伝熱面積の増加による原子炉下部キャビティ水位変化への影響は小さく、溶融炉心露出までの時間への影響は小さい。</p> <p>※PULiMS 実験のうち、溶融物量が比較的大きいE4 実験において、平均堆積高さ41mmに対して、拡がり距離は740 mm×560 mmとなっている（表1、図3）。アスペクト比としては1:18～1:14程度となっており、おおよそ1:16程度の拡がり挙動を示している。デブリ堆積高さの評価としては、空隙率や炉内及び原子炉下部キャビティ内の構造物量等の保守的な設定をしているため、不確かさ評価として考慮するアスペクト比としては、実験結果に基づく平均的な値として1:16を適用し評価を行う。</p> <p>PULiMS 実験は溶融物を水中に落下した実験であり、連続層と粒子状デブリを含めたデブリ全体としての堆積高さに関する知見として適用できるものである。本評価では、デブリ堆積高さを高くするため、連続層は原子炉下部キャビティ床面のうち、原子炉容器直下の円形部に、円柱状の上にアスペクト比1:16の円錐が堆積し、その上に粒子状デブリが原子炉下部キャビティ床面全面に堆積する形状を仮定する。</p> <p>溶融炉心の堆積形状については不確かさが大きいため、粒子状デブリの堆積の偏りにより、溶融炉心の一部が露出する可能性は否定できない。また、溶融炉心が落下する際に原子炉容器下部にある計装案内管及びサポート等の構造物が溶融せずに、溶融炉心がこれらに堆積し一部が露出する可能性もある。</p> <p>しかしながら、本評価では原子炉容器破損直後の原子炉下部キャビティ水位（約1.5m）にて評価を実施しているが、代替格納容器スプレイは継続するため原子炉下部キャビティ水位は上昇し、仮に原子炉容器破損時に一部の溶融炉心が露出したとしても水没する。また、原子炉下部キャビティ水中に落下した溶融炉心により水蒸気が発生し、露出している溶融炉心は水蒸気により冷却される。このため、溶融炉心の一部が露出したとしても原子炉格納容器の健全性には影響はないと考えられる。</p>	記載内容の相違 ・泊では一部の溶融炉心が露出した場合においてもCVの健全性に影響を与えないと考えられる旨追記

泊発電所 3号炉 有効性評価 比較表

7.2.5 溶融炉心・コンクリート相互作用（添付資料 7.2.5.7 原子炉下部キャビティの原子炉容器破損直後における溶融炉心の冠水評価）

赤字：設備、運用又は体制の相違（設計方針の相違）
 青字：記載箇所又は記載内容の相違（記載方針の相違）
 緑字：記載表現、設備名称の相違（実質的な相違なし）

女川原子力発電所 2号炉	泊発電所 3号炉	相違理由
<p>(3)溶融炉心の冠水評価</p> <p>溶融炉心落下後に格納容器下部注水が行われなかった場合、溶融炉心落下前に張られた水が溶融炉心の崩壊熱及びジルコニウム-水反応による発熱により蒸発した際の水位低下量評価を行った。その結果、不確かさを考慮した溶融炉心の堆積高さ約 2.32mまで水位が低下するまでの時間は、RPV 破損から約 76 分後であり、RPV の破損を判断し、格納容器下部注水操作をするために十分な時間余裕があることを確認した。</p> <p>[1] A. Konovalenko, et al., "Experimental Results on Pouring and Underwater Liquid Melt Spreading and Energetic Melt-Coolant Interaction," Proceedings of NUTHOS-9, N9P0303, Taiwan (2012).</p>	<p>[1] A. Konovalenko, et al., "Experimental Results on Pouring and Underwater Liquid Melt Spreading and Energetic Melt coolant Interaction," Proceedings of NUTHOS-9, N9P0303, Taiwan (2012).</p>	<p>運用の相違 ・泊ではスプレーにより連続的に下部キャビティに水張を行うため、溶融炉心落下後に下部注水が行われなかった場合の記載は不要</p>

泊発電所 3号炉 有効性評価 比較表

7.2.5 溶融炉心・コンクリート相互作用 (添付資料 7.2.5.7 原子炉下部キャビティの原子炉容器破損直後における溶融炉心の冠水評価)

赤字 : 設備、運用又は体制の相違（設計方針の相違）
青字 : 記載箇所又は記載内容の相違（記載方針の相違）
緑字 : 記載表現、設備名称の相違（実質的な相違なし）

女川原子力発電所 2号炉	泊発電所 3号炉	相違理由
<p>図 1 溶融炉心堆積形状</p>	<p>A ↓</p> <p>断面図</p> <p>A ↓</p> <p>図 1 溶融炉心堆積形状</p>	設計の相違

泊発電所 3号炉 有効性評価 比較表

7.2.5 溶融炉心・コンクリート相互作用 (添付資料 7.2.5.7 原子炉下部キャビティの原子炉容器破損直後における溶融炉心の冠水評価)

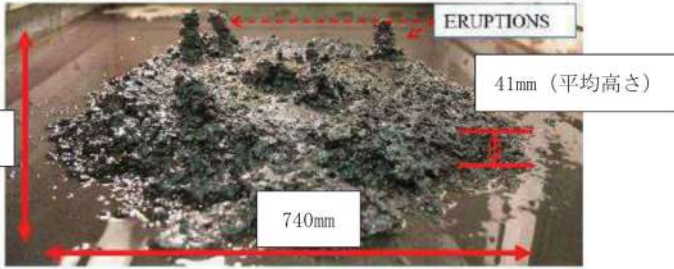
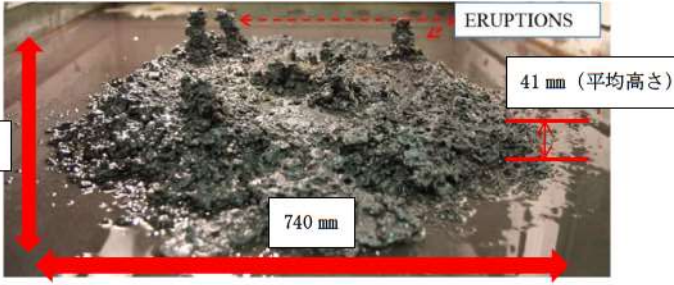
赤字 : 設備、運用又は体制の相違 (設計方針の相違)
青字 : 記載箇所又は記載内容の相違 (記載方針の相違)
緑字 : 記載表現、設備名称の相違 (実質的な相違なし)

女川原子力発電所 2号炉	泊発電所 3号炉	相違理由
<p>図 2 溶融炉心堆積形状 (不確かさ考慮)</p>	<p>断面図</p> <p>A - A</p> <p>図 2 溶融炉心堆積形状 (不確かさ考慮)</p>	<p>設計の相違</p>

泊発電所3号炉 有効性評価 比較表

7.2.5 溶融炉心・コンクリート相互作用 (添付資料 7.2.5.7 原子炉下部キャビティの原子炉容器破損直後における溶融炉心の冠水評価)

赤字 : 設備、運用又は体制の相違 (設計方針の相違)
青字 : 記載箇所又は記載内容の相違 (記載方針の相違)
緑字 : 記載表現、設備名称の相違 (実質的な相違なし)

女川原子力発電所2号炉	泊発電所3号炉	相違理由																																																																																																																																																																																																																																																																																																																																																																									
 <p>図3 PULiMS 実験結果 (E4) ^[1]</p> <p>表1 PULiMS 実験条件と結果^[1]</p> <p>Table 1. PULiMS-E test matrix with initial conditions.</p> <table border="1"> <thead> <tr> <th rowspan="2">Parameter</th> <th colspan="5">PULiMS tests</th> </tr> <tr> <th>E1</th> <th>E2</th> <th>E3</th> <th>E4</th> <th>E5</th> </tr> </thead> <tbody> <tr> <td>Melt material</td> <td>Bi₂O₃-WO₃</td> <td>B₂O₃-CaO</td> <td>Bi₂O₃-WO₃</td> <td>Bi₂O₃-WO₃</td> <td>ZrO₂-WO₃</td> </tr> <tr> <td>Melt mass composition, %</td> <td>42.64-57.36 eutectic</td> <td>30-70 non-eutectic</td> <td>42.64-57.36 eutectic</td> <td>42.64-57.36 eutectic</td> <td>15.74-84.26 eutectic</td> </tr> <tr> <td>Melt jet diameter, mm</td> <td>20</td> <td>20</td> <td>20</td> <td>20</td> <td>20</td> </tr> <tr> <td>Jet free fall height, mm</td> <td>400</td> <td>400</td> <td>400</td> <td>400</td> <td>400</td> </tr> <tr> <td>Initial melt volume, L</td> <td>3</td> <td>3</td> <td>10</td> <td>6</td> <td>6</td> </tr> <tr> <td>Initial melt mass, kg</td> <td>23.4</td> <td>7.5</td> <td>78.1</td> <td>46.9</td> <td>41.2</td> </tr> <tr> <td>T_{sol}, °C</td> <td>870</td> <td>1027</td> <td>870</td> <td>870</td> <td>1231</td> </tr> <tr> <td>T_{ice}, °C</td> <td>870</td> <td>1027</td> <td>870</td> <td>870</td> <td>1231</td> </tr> <tr> <td>Melt temperature in the funnel upon pouring, °C</td> <td>1006</td> <td>1350</td> <td>1076</td> <td>940</td> <td>1531</td> </tr> <tr> <td>Water pool depth, mm</td> <td>200</td> <td>200</td> <td>200</td> <td>200</td> <td>200</td> </tr> <tr> <td>Water temperature, °C</td> <td>79</td> <td>78</td> <td>75</td> <td>77</td> <td>72</td> </tr> </tbody> </table> <p>Table 2. Measured and estimated properties of the debris beds in PULiMS-E tests.</p> <p>Table 2. Measured and estimated properties of the debris beds in PULiMS-E tests.</p> <table border="1"> <thead> <tr> <th rowspan="2">Parameter</th> <th colspan="4">Exploratory PULiMS tests</th> </tr> <tr> <th>E1</th> <th>E3</th> <th>E4</th> <th>E5</th> </tr> </thead> <tbody> <tr> <td>Melt release time, (sec)</td> <td>10</td> <td>15</td> <td>12</td> <td>~8.7</td> </tr> <tr> <td>Total size x y, mm</td> <td>460x440</td> <td>~750x750</td> <td>740x560</td> <td>-</td> </tr> <tr> <td>Cake size x y, mm</td> <td>~430x320</td> <td>~750x750</td> <td>711x471</td> <td>~400x420</td> </tr> <tr> <td>Max debris height, mm</td> <td>93</td> <td>unknown</td> <td>106</td> <td>50</td> </tr> <tr> <td>Area averaged debris bed height, mm</td> <td>31</td> <td>~30</td> <td>30</td> <td>22</td> </tr> <tr> <td>Volume averaged debris bed height, mm</td> <td>50</td> <td>unknown</td> <td>41</td> <td>28</td> </tr> <tr> <td>Debris height under injection point, mm</td> <td>48</td> <td>unknown</td> <td>50</td> <td>39</td> </tr> <tr> <td>Total area occupied by cake, m²</td> <td>0.14</td> <td>~0.44</td> <td>0.30</td> <td>0.14</td> </tr> <tr> <td>Measured particulate debris mass, kg</td> <td>~4</td> <td>unknown</td> <td>2.9</td> <td>-</td> </tr> <tr> <td>Measured particulate debris mass fraction, %</td> <td>~20%</td> <td>unknown</td> <td>~6.8%</td> <td>-</td> </tr> <tr> <td>Solidified cake mass, kg</td> <td>~20</td> <td>unknown</td> <td>39.5</td> <td>13.6</td> </tr> <tr> <td>Measured debris bed volume, L</td> <td>~4.2</td> <td>unknown</td> <td>8.9</td> <td>~3.1</td> </tr> <tr> <td>Estimated total cake porosity</td> <td>0.29</td> <td>-</td> <td>0.36</td> <td>0.37</td> </tr> <tr> <td>Symmetry of the spread</td> <td>non-sym.</td> <td>unknown</td> <td>non-sym.</td> <td>symmetric</td> </tr> <tr> <td>Steam explosion</td> <td>no</td> <td>yes</td> <td>no</td> <td>yes</td> </tr> <tr> <td>Cake formation</td> <td>cake</td> <td>no cake</td> <td>cake</td> <td>cake</td> </tr> <tr> <td>Measured melt superheat, °C</td> <td>136</td> <td>206</td> <td>70</td> <td>300</td> </tr> <tr> <td>Measured melt superheat in the pool, °C</td> <td>121</td> <td>77</td> <td>48</td> <td>90</td> </tr> <tr> <td>Estimated loss of melt superheat due to jet interaction with coolant, °C</td> <td>15</td> <td>129</td> <td>22</td> <td>210</td> </tr> </tbody> </table>	Parameter	PULiMS tests					E1	E2	E3	E4	E5	Melt material	Bi ₂ O ₃ -WO ₃	B ₂ O ₃ -CaO	Bi ₂ O ₃ -WO ₃	Bi ₂ O ₃ -WO ₃	ZrO ₂ -WO ₃	Melt mass composition, %	42.64-57.36 eutectic	30-70 non-eutectic	42.64-57.36 eutectic	42.64-57.36 eutectic	15.74-84.26 eutectic	Melt jet diameter, mm	20	20	20	20	20	Jet free fall height, mm	400	400	400	400	400	Initial melt volume, L	3	3	10	6	6	Initial melt mass, kg	23.4	7.5	78.1	46.9	41.2	T _{sol} , °C	870	1027	870	870	1231	T _{ice} , °C	870	1027	870	870	1231	Melt temperature in the funnel upon pouring, °C	1006	1350	1076	940	1531	Water pool depth, mm	200	200	200	200	200	Water temperature, °C	79	78	75	77	72	Parameter	Exploratory PULiMS tests				E1	E3	E4	E5	Melt release time, (sec)	10	15	12	~8.7	Total size x y, mm	460x440	~750x750	740x560	-	Cake size x y, mm	~430x320	~750x750	711x471	~400x420	Max debris height, mm	93	unknown	106	50	Area averaged debris bed height, mm	31	~30	30	22	Volume averaged debris bed height, mm	50	unknown	41	28	Debris height under injection point, mm	48	unknown	50	39	Total area occupied by cake, m ²	0.14	~0.44	0.30	0.14	Measured particulate debris mass, kg	~4	unknown	2.9	-	Measured particulate debris mass fraction, %	~20%	unknown	~6.8%	-	Solidified cake mass, kg	~20	unknown	39.5	13.6	Measured debris bed volume, L	~4.2	unknown	8.9	~3.1	Estimated total cake porosity	0.29	-	0.36	0.37	Symmetry of the spread	non-sym.	unknown	non-sym.	symmetric	Steam explosion	no	yes	no	yes	Cake formation	cake	no cake	cake	cake	Measured melt superheat, °C	136	206	70	300	Measured melt superheat in the pool, °C	121	77	48	90	Estimated loss of melt superheat due to jet interaction with coolant, °C	15	129	22	210	 <p>図3 PULiMS 実験結果 (E4) ^[1]</p> <p>表1 PULiMS 実験条件と結果^[1]</p> <p>Table 1. PULiMS-E test matrix with initial conditions.</p> <table border="1"> <thead> <tr> <th rowspan="2">Parameter</th> <th colspan="5">PULiMS tests</th> </tr> <tr> <th>E1</th> <th>E2</th> <th>E3</th> <th>E4</th> <th>E5</th> </tr> </thead> <tbody> <tr> <td>Melt material</td> <td>Bi₂O₃-WO₃</td> <td>B₂O₃-CaO</td> <td>Bi₂O₃-WO₃</td> <td>Bi₂O₃-WO₃</td> <td>ZrO₂-WO₃</td> </tr> <tr> <td>Melt mass composition, %</td> <td>42.64-57.36 eutectic</td> <td>30-70 non-eutectic</td> <td>42.64-57.36 eutectic</td> <td>42.64-57.36 eutectic</td> <td>15.74-84.26 eutectic</td> </tr> <tr> <td>Melt jet diameter, mm</td> <td>20</td> <td>20</td> <td>20</td> <td>20</td> <td>20</td> </tr> <tr> <td>Jet free fall height, mm</td> <td>400</td> <td>400</td> <td>400</td> <td>400</td> <td>400</td> </tr> <tr> <td>Initial melt volume, L</td> <td>3</td> <td>3</td> <td>10</td> <td>6</td> <td>6</td> </tr> <tr> <td>Initial melt mass, kg</td> <td>23.4</td> <td>7.5</td> <td>78.1</td> <td>46.9</td> <td>41.2</td> </tr> <tr> <td>T_{sol}, °C</td> <td>870</td> <td>1027</td> <td>870</td> <td>870</td> <td>1231</td> </tr> <tr> <td>T_{ice}, °C</td> <td>870</td> <td>1027</td> <td>870</td> <td>870</td> <td>1231</td> </tr> <tr> <td>Melt temperature in the funnel upon pouring, °C</td> <td>1006</td> <td>1350</td> <td>1076</td> <td>940</td> <td>1531</td> </tr> <tr> <td>Water pool depth, mm</td> <td>200</td> <td>200</td> <td>200</td> <td>200</td> <td>200</td> </tr> <tr> <td>Water temperature, °C</td> <td>79</td> <td>78</td> <td>75</td> <td>77</td> <td>72</td> </tr> </tbody> </table> <p>Table 2. Measured and estimated properties of the debris beds in PULiMS-E tests.</p> <p>Table 2. Measured and estimated properties of the debris beds in PULiMS-E tests.</p> <table border="1"> <thead> <tr> <th rowspan="2">Parameter</th> <th colspan="4">Exploratory PULiMS tests</th> </tr> <tr> <th>E1</th> <th>E3</th> <th>E4</th> <th>E5</th> </tr> </thead> <tbody> <tr> <td>Melt release time, (sec)</td> <td>10</td> <td>15</td> <td>12</td> <td>~8.7</td> </tr> <tr> <td>Total size x y, mm</td> <td>460x440</td> <td>~750x750</td> <td>740x560</td> <td>-</td> </tr> <tr> <td>Cake size x y, mm</td> <td>~430x320</td> <td>~750x750</td> <td>711x471</td> <td>~400x420</td> </tr> <tr> <td>Max debris height, mm</td> <td>93</td> <td>unknown</td> <td>106</td> <td>50</td> </tr> <tr> <td>Area averaged debris bed height, mm</td> <td>31</td> <td>~30</td> <td>30</td> <td>22</td> </tr> <tr> <td>Volume averaged debris bed height, mm</td> <td>50</td> <td>unknown</td> <td>41</td> <td>28</td> </tr> <tr> <td>Debris height under injection point, mm</td> <td>48</td> <td>unknown</td> <td>50</td> <td>39</td> </tr> <tr> <td>Total area occupied by cake, m²</td> <td>0.14</td> <td>~0.44</td> <td>0.30</td> <td>0.14</td> </tr> <tr> <td>Measured particulate debris mass, kg</td> <td>~4</td> <td>unknown</td> <td>2.9</td> <td>-</td> </tr> <tr> <td>Measured particulate debris mass fraction, %</td> <td>~20%</td> <td>unknown</td> <td>~6.8%</td> <td>-</td> </tr> <tr> <td>Solidified cake mass, kg</td> <td>~20</td> <td>unknown</td> <td>39.5</td> <td>13.6</td> </tr> <tr> <td>Measured debris bed volume, L</td> <td>~4.2</td> <td>unknown</td> <td>8.9</td> <td>~3.1</td> </tr> <tr> <td>Estimated total cake porosity</td> <td>0.29</td> <td>-</td> <td>0.36</td> <td>0.37</td> </tr> <tr> <td>Symmetry of the spread</td> <td>non-sym.</td> <td>unknown</td> <td>non-sym.</td> <td>symmetric</td> </tr> <tr> <td>Steam explosion</td> <td>no</td> <td>yes</td> <td>no</td> <td>yes</td> </tr> <tr> <td>Cake formation</td> <td>cake</td> <td>no cake</td> <td>cake</td> <td>cake</td> </tr> <tr> <td>Measured melt superheat, °C</td> <td>136</td> <td>206</td> <td>70</td> <td>300</td> </tr> <tr> <td>Measured melt superheat in the pool, °C</td> <td>121</td> <td>77</td> <td>48</td> <td>90</td> </tr> <tr> <td>Estimated loss of melt superheat due to jet interaction with coolant, °C</td> <td>15</td> <td>129</td> <td>22</td> <td>210</td> </tr> </tbody> </table>	Parameter	PULiMS tests					E1	E2	E3	E4	E5	Melt material	Bi ₂ O ₃ -WO ₃	B ₂ O ₃ -CaO	Bi ₂ O ₃ -WO ₃	Bi ₂ O ₃ -WO ₃	ZrO ₂ -WO ₃	Melt mass composition, %	42.64-57.36 eutectic	30-70 non-eutectic	42.64-57.36 eutectic	42.64-57.36 eutectic	15.74-84.26 eutectic	Melt jet diameter, mm	20	20	20	20	20	Jet free fall height, mm	400	400	400	400	400	Initial melt volume, L	3	3	10	6	6	Initial melt mass, kg	23.4	7.5	78.1	46.9	41.2	T _{sol} , °C	870	1027	870	870	1231	T _{ice} , °C	870	1027	870	870	1231	Melt temperature in the funnel upon pouring, °C	1006	1350	1076	940	1531	Water pool depth, mm	200	200	200	200	200	Water temperature, °C	79	78	75	77	72	Parameter	Exploratory PULiMS tests				E1	E3	E4	E5	Melt release time, (sec)	10	15	12	~8.7	Total size x y, mm	460x440	~750x750	740x560	-	Cake size x y, mm	~430x320	~750x750	711x471	~400x420	Max debris height, mm	93	unknown	106	50	Area averaged debris bed height, mm	31	~30	30	22	Volume averaged debris bed height, mm	50	unknown	41	28	Debris height under injection point, mm	48	unknown	50	39	Total area occupied by cake, m ²	0.14	~0.44	0.30	0.14	Measured particulate debris mass, kg	~4	unknown	2.9	-	Measured particulate debris mass fraction, %	~20%	unknown	~6.8%	-	Solidified cake mass, kg	~20	unknown	39.5	13.6	Measured debris bed volume, L	~4.2	unknown	8.9	~3.1	Estimated total cake porosity	0.29	-	0.36	0.37	Symmetry of the spread	non-sym.	unknown	non-sym.	symmetric	Steam explosion	no	yes	no	yes	Cake formation	cake	no cake	cake	cake	Measured melt superheat, °C	136	206	70	300	Measured melt superheat in the pool, °C	121	77	48	90	Estimated loss of melt superheat due to jet interaction with coolant, °C	15	129	22	210
Parameter		PULiMS tests																																																																																																																																																																																																																																																																																																																																																																									
	E1	E2	E3	E4	E5																																																																																																																																																																																																																																																																																																																																																																						
Melt material	Bi ₂ O ₃ -WO ₃	B ₂ O ₃ -CaO	Bi ₂ O ₃ -WO ₃	Bi ₂ O ₃ -WO ₃	ZrO ₂ -WO ₃																																																																																																																																																																																																																																																																																																																																																																						
Melt mass composition, %	42.64-57.36 eutectic	30-70 non-eutectic	42.64-57.36 eutectic	42.64-57.36 eutectic	15.74-84.26 eutectic																																																																																																																																																																																																																																																																																																																																																																						
Melt jet diameter, mm	20	20	20	20	20																																																																																																																																																																																																																																																																																																																																																																						
Jet free fall height, mm	400	400	400	400	400																																																																																																																																																																																																																																																																																																																																																																						
Initial melt volume, L	3	3	10	6	6																																																																																																																																																																																																																																																																																																																																																																						
Initial melt mass, kg	23.4	7.5	78.1	46.9	41.2																																																																																																																																																																																																																																																																																																																																																																						
T _{sol} , °C	870	1027	870	870	1231																																																																																																																																																																																																																																																																																																																																																																						
T _{ice} , °C	870	1027	870	870	1231																																																																																																																																																																																																																																																																																																																																																																						
Melt temperature in the funnel upon pouring, °C	1006	1350	1076	940	1531																																																																																																																																																																																																																																																																																																																																																																						
Water pool depth, mm	200	200	200	200	200																																																																																																																																																																																																																																																																																																																																																																						
Water temperature, °C	79	78	75	77	72																																																																																																																																																																																																																																																																																																																																																																						
Parameter	Exploratory PULiMS tests																																																																																																																																																																																																																																																																																																																																																																										
	E1	E3	E4	E5																																																																																																																																																																																																																																																																																																																																																																							
Melt release time, (sec)	10	15	12	~8.7																																																																																																																																																																																																																																																																																																																																																																							
Total size x y, mm	460x440	~750x750	740x560	-																																																																																																																																																																																																																																																																																																																																																																							
Cake size x y, mm	~430x320	~750x750	711x471	~400x420																																																																																																																																																																																																																																																																																																																																																																							
Max debris height, mm	93	unknown	106	50																																																																																																																																																																																																																																																																																																																																																																							
Area averaged debris bed height, mm	31	~30	30	22																																																																																																																																																																																																																																																																																																																																																																							
Volume averaged debris bed height, mm	50	unknown	41	28																																																																																																																																																																																																																																																																																																																																																																							
Debris height under injection point, mm	48	unknown	50	39																																																																																																																																																																																																																																																																																																																																																																							
Total area occupied by cake, m ²	0.14	~0.44	0.30	0.14																																																																																																																																																																																																																																																																																																																																																																							
Measured particulate debris mass, kg	~4	unknown	2.9	-																																																																																																																																																																																																																																																																																																																																																																							
Measured particulate debris mass fraction, %	~20%	unknown	~6.8%	-																																																																																																																																																																																																																																																																																																																																																																							
Solidified cake mass, kg	~20	unknown	39.5	13.6																																																																																																																																																																																																																																																																																																																																																																							
Measured debris bed volume, L	~4.2	unknown	8.9	~3.1																																																																																																																																																																																																																																																																																																																																																																							
Estimated total cake porosity	0.29	-	0.36	0.37																																																																																																																																																																																																																																																																																																																																																																							
Symmetry of the spread	non-sym.	unknown	non-sym.	symmetric																																																																																																																																																																																																																																																																																																																																																																							
Steam explosion	no	yes	no	yes																																																																																																																																																																																																																																																																																																																																																																							
Cake formation	cake	no cake	cake	cake																																																																																																																																																																																																																																																																																																																																																																							
Measured melt superheat, °C	136	206	70	300																																																																																																																																																																																																																																																																																																																																																																							
Measured melt superheat in the pool, °C	121	77	48	90																																																																																																																																																																																																																																																																																																																																																																							
Estimated loss of melt superheat due to jet interaction with coolant, °C	15	129	22	210																																																																																																																																																																																																																																																																																																																																																																							
Parameter	PULiMS tests																																																																																																																																																																																																																																																																																																																																																																										
	E1	E2	E3	E4	E5																																																																																																																																																																																																																																																																																																																																																																						
Melt material	Bi ₂ O ₃ -WO ₃	B ₂ O ₃ -CaO	Bi ₂ O ₃ -WO ₃	Bi ₂ O ₃ -WO ₃	ZrO ₂ -WO ₃																																																																																																																																																																																																																																																																																																																																																																						
Melt mass composition, %	42.64-57.36 eutectic	30-70 non-eutectic	42.64-57.36 eutectic	42.64-57.36 eutectic	15.74-84.26 eutectic																																																																																																																																																																																																																																																																																																																																																																						
Melt jet diameter, mm	20	20	20	20	20																																																																																																																																																																																																																																																																																																																																																																						
Jet free fall height, mm	400	400	400	400	400																																																																																																																																																																																																																																																																																																																																																																						
Initial melt volume, L	3	3	10	6	6																																																																																																																																																																																																																																																																																																																																																																						
Initial melt mass, kg	23.4	7.5	78.1	46.9	41.2																																																																																																																																																																																																																																																																																																																																																																						
T _{sol} , °C	870	1027	870	870	1231																																																																																																																																																																																																																																																																																																																																																																						
T _{ice} , °C	870	1027	870	870	1231																																																																																																																																																																																																																																																																																																																																																																						
Melt temperature in the funnel upon pouring, °C	1006	1350	1076	940	1531																																																																																																																																																																																																																																																																																																																																																																						
Water pool depth, mm	200	200	200	200	200																																																																																																																																																																																																																																																																																																																																																																						
Water temperature, °C	79	78	75	77	72																																																																																																																																																																																																																																																																																																																																																																						
Parameter	Exploratory PULiMS tests																																																																																																																																																																																																																																																																																																																																																																										
	E1	E3	E4	E5																																																																																																																																																																																																																																																																																																																																																																							
Melt release time, (sec)	10	15	12	~8.7																																																																																																																																																																																																																																																																																																																																																																							
Total size x y, mm	460x440	~750x750	740x560	-																																																																																																																																																																																																																																																																																																																																																																							
Cake size x y, mm	~430x320	~750x750	711x471	~400x420																																																																																																																																																																																																																																																																																																																																																																							
Max debris height, mm	93	unknown	106	50																																																																																																																																																																																																																																																																																																																																																																							
Area averaged debris bed height, mm	31	~30	30	22																																																																																																																																																																																																																																																																																																																																																																							
Volume averaged debris bed height, mm	50	unknown	41	28																																																																																																																																																																																																																																																																																																																																																																							
Debris height under injection point, mm	48	unknown	50	39																																																																																																																																																																																																																																																																																																																																																																							
Total area occupied by cake, m ²	0.14	~0.44	0.30	0.14																																																																																																																																																																																																																																																																																																																																																																							
Measured particulate debris mass, kg	~4	unknown	2.9	-																																																																																																																																																																																																																																																																																																																																																																							
Measured particulate debris mass fraction, %	~20%	unknown	~6.8%	-																																																																																																																																																																																																																																																																																																																																																																							
Solidified cake mass, kg	~20	unknown	39.5	13.6																																																																																																																																																																																																																																																																																																																																																																							
Measured debris bed volume, L	~4.2	unknown	8.9	~3.1																																																																																																																																																																																																																																																																																																																																																																							
Estimated total cake porosity	0.29	-	0.36	0.37																																																																																																																																																																																																																																																																																																																																																																							
Symmetry of the spread	non-sym.	unknown	non-sym.	symmetric																																																																																																																																																																																																																																																																																																																																																																							
Steam explosion	no	yes	no	yes																																																																																																																																																																																																																																																																																																																																																																							
Cake formation	cake	no cake	cake	cake																																																																																																																																																																																																																																																																																																																																																																							
Measured melt superheat, °C	136	206	70	300																																																																																																																																																																																																																																																																																																																																																																							
Measured melt superheat in the pool, °C	121	77	48	90																																																																																																																																																																																																																																																																																																																																																																							
Estimated loss of melt superheat due to jet interaction with coolant, °C	15	129	22	210																																																																																																																																																																																																																																																																																																																																																																							

泊発電所3号炉 有効性評価 比較表

7.2.5 溶融炉心・コンクリート相互作用 (添付資料 7.2.5.7 原子炉下部キャビティの原子炉容器破損直後における溶融炉心の冠水評価)

赤字 : 設備、運用又は体制の相違 (設計方針の相違)
 青字 : 記載箇所又は記載内容の相違 (記載方針の相違)
 緑字 : 記載表現、設備名称の相違 (実質的な相違なし)

女川原子力発電所2号炉	泊発電所3号炉	相違理由
<p>【女川の添付資料3.3.3の別紙を抜粋】</p> <p>粒子化割合の評価</p> <p>別紙</p> <p>RPV破損時に流出する溶融炉心の粒子化割合を以下の Ricou-Spalding式によって評価している。本相関式は、MAAPにおいても実装されている。</p> $d_{ph} = d_{dj,0} - 2E_0 \left(\frac{\rho_w}{\rho_{dj}} \right)^{1/2} \Delta H_{pool}$ $\Phi_{ent} = \frac{d_{dj,0}^2 - d_{dj}^2}{d_{dj,0}^2}$ <p>ここで、</p> <ul style="list-style-type: none"> Φ_{ent} : 粒子化割合 E_0 : エントレインメント係数 ΔH_{pool} : プール水深 (m) d_{dj} : プール底部における溶融炉心ジェット径 (m) $d_{dj,0}$: 気相部落下を考慮した水面における溶融炉心ジェット径 (m) ρ_{dj} : 溶融炉心ジェット密度 (kg/m^3) ρ_w : 水密度 (kg/m^3) <p>評価条件は以下のとおりである。</p> <ul style="list-style-type: none"> ・格納容器下部水位 : 3.67m ・溶融炉心ジェット密度 : MAAP解析結果に基づく時間変化を考慮 (RPV破損直後は約 8100kg/m³) ・気相部落下距離 : MAAP解析結果に基づく時間変化を考慮 (RPV破損直後は、6.33m) ・エントレインメント係数 : MAAP推奨値である [] <p>以上により評価した結果、粒子化割合 (全溶融炉心重量に対する比) は約 61.1%となる (図1参照)。</p> <p>[枠囲みの内容は商業機密の観点から公開できません。]</p>	<p>別紙</p> <p>細粒化割合の評価</p> <p>溶融炉心の細粒化の挙動は水深とジェット径に依存するが、スウェーデン王立工科大学 (KTH) の解析研究により得られた凝集モードマップに基づくと、実機条件では、ジェット径に比べて水深が浅いため、原子炉下部キャビティ床に到達した時点では、ほぼすべての溶融炉心がケーキ状に堆積する。</p> <p>ここでは、細粒化に伴い発生した粒子が堆積することを想定し、原子炉容器破損時に流出する溶融炉心の冷却材中での細粒化割合を以下の Ricou-Spalding式によって評価している。本相関式は、MAAPにおいても実装されている。</p> $d_{df} = d_{dj,0} - 2E_0 \left(\frac{\rho_w}{\rho_{dj}} \right)^{1/2} \Delta H_{pool}$ $\Phi_{ent} = \frac{d_{dj,0}^2 - d_{df}^2}{d_{dj,0}^2}$ <p>ここで、</p> <ul style="list-style-type: none"> Φ_{ent} : 細粒化割合 E_0 : エントレインメント係数 ΔH_{pool} : プール水深 (m) d_{df} : プール底部における溶融炉心ジェット径 (m) $d_{dj,0}$: 気相部落下を考慮した水面における溶融炉心ジェット径 (m) ρ_{dj} : 溶融炉心ジェット密度 (kg/m^3) ρ_w : 水密度 (kg/m^3) <p>評価条件は以下のとおりである。</p> <ul style="list-style-type: none"> ・原子炉下部キャビティ水位 : MAAP解析結果に基づく時間変化を考慮 (原子炉容器破損直後は約 1.5 m) ・溶融炉心ジェット密度 : MAAP解析結果に基づく時間変化を考慮 (原子炉容器破損直後は約 8800 kg/m³) ・気相部落下距離 : MAAP解析結果に基づく時間変化を考慮 (原子炉容器破損直後は約 3.4 m) ・エントレインメント係数 : MAAP推奨値である [] <p>以上より評価した結果、細粒化割合 (全溶融炉心重量に対する比) は約 68%となる (図1参照)。</p> <p>[] 枠囲みの内容は機密情報に属しますので公開できません。</p>	<p>記載表現の相違</p> <p>溶融炉心堆積の考え方の相違</p> <p>解析条件、結果の相違</p> <p>設備名称の相違</p>

泊発電所 3号炉 有効性評価 比較表

7.2.5 溶融炉心・コンクリート相互作用 (添付資料 7.2.5.7 原子炉下部キャビティの原子炉容器破損直後における溶融炉心の冠水評価)

赤字 : 設備、運用又は体制の相違（設計方針の相違）
青字 : 記載箇所又は記載内容の相違（記載方針の相違）
緑字 : 記載表現、設備名称の相違（実質的な相違なし）

女川原子力発電所 2号炉

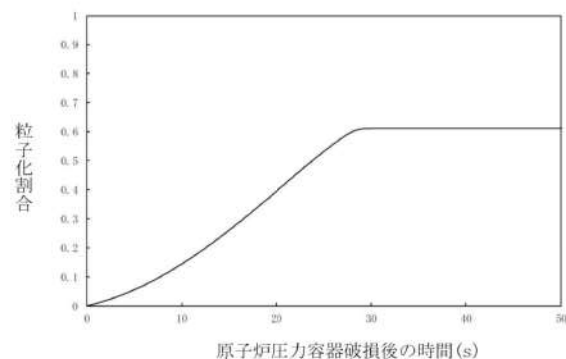


図 1 溶融炉心粒子化割合の変化

泊発電所 3号炉

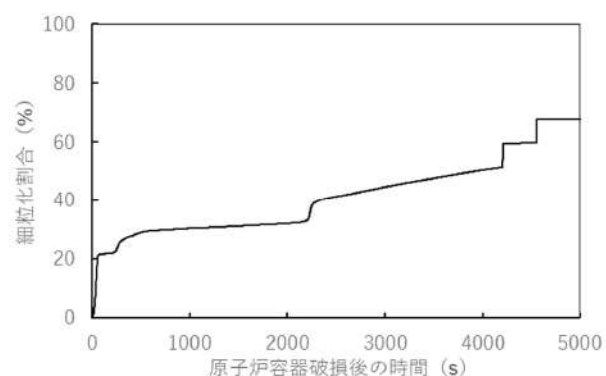


図 1 溶融炉心細粒化割合の変化

相違理由

解析結果の相違

<参考文献>

- [1] P. Kudinov and M. Davydov "PREDICTION OF MASS FRACTION OF AGGLOMERATED DEBRIS IN A LWR SEVERE ACCIDENT", NURETH14-543

参考文献の追加

泊発電所 3 号炉 有効性評価 比較表

7.2.5 溶融炉心・コンクリート相互作用 (添付資料 3.5.2 原子炉下部キャビティ室への溶融炉心落下後における格納容器の閉じ込め機能について)

赤字	設備、運用又は体制の相違（設計方針の相違）
青字	記載箇所又は記載内容の相違（記載方針の相違）
緑字	記載表現、設備名称の相違（実質的な相違なし）

大飯発電所 3 / 4 号炉	泊発電所 3 号炉	相違理由
<p>添付資料 3.5.2</p> <p>大飯 3, 4 号炉 原子炉下部キャビティ室への溶融炉心落下後における 格納容器の閉じ込め機能について</p> <p>目次</p> <ul style="list-style-type: none"> 1. はじめに 2. 溶融炉心落下による格納容器閉じ込め機能への影響 <ul style="list-style-type: none"> 2.1 プレストレスコンクリート製格納容器の構造 2.2 溶融炉心落下により想定される格納容器ライナの破損 2.3 格納容器ライナ破損時の閉じ込め機能への影響 3. リークパスを仮定した場合の閉じ込め機能への影響 <ul style="list-style-type: none"> 3.1 貫通リークパスを想定した場合の漏えい量試算 3.2 有効性評価における Cs-137 放出量評価への影響検討 4. さらなる安全性向上対策としての防護壁設置 <ul style="list-style-type: none"> 4.1 溶融炉心の拡がり挙動 4.2 防護壁仕様に対する検討 4.3 防護壁の構造及び機能・性能 4.4 防護壁設置工事の環境 5. まとめ 6. 参考文献 <p>(以降、省略)</p>	<p>【該当資料無し】</p>	<p>※大飯の CV 型式は PCCV であり、鋼製 CV である泊、高浜とは MCCI による影響、対策が異なるため大飯は添付資料にて CV 閉じ込め機能及び防護壁に関して記載している。泊は不確かさを考慮しても CV 閉じ込め機能が維持されるため、本資料は作成していない（伊方と同様）</p>

泊発電所 3号炉審査資料	
資料番号	SAE731-9 r. 10. 0
提出年月日	令和5年6月30日

泊発電所 3号炉
重大事故等対策の有効性評価
比較表

7.3.1 想定事故 1

令和5年6月
北海道電力株式会社



枠囲みの内容は機密情報に属しますので公開できません。

7.3.1想定事故1

大飯発電所3／4号炉	女川原子力発電所2号炉	泊発電所3号炉	相違理由
------------	-------------	---------	------

比較結果等をとりまとめた資料**1. 先行審査実績等を踏まえた泊3号炉まとめ資料の変更状況(2017年3月以降)****1-1) 設計方針・運用・体制などを変更し、まとめ資料を修正した箇所と理由**

- a. 大飯3／4号炉まとめ資料と比較した結果、変更したもの：なし
- b. 女川2号炉まとめ資料と比較した結果、変更したもの：なし
- c. 他社審査会合の指摘事項等を確認した結果、変更したもの：なし
- d. 当社が自主的に変更したもの：下記1件

・作業性向上の観点から、SFP注水操作開始がSFPの沸騰開始前に可能になるように作業手順及び評価条件の見直しを実施。具体的な変更内容は以下のとおり。
 ✓事象発生から沸騰するまでの時間を評価するピットをA-使用済燃料ピットから実運用を考慮しB-使用済燃料ピットへ変更したため沸騰するまでの時間を約4.9時間から約6.6時間に変更

【比較表P7他】

- ✓沸騰するまでの時間が変更になったことから使用済燃料ピット水位が放射線の遮蔽が維持される最低水位まで低下する時間を約1.5日から約1.6日に変更【比較表P7他】
- ✓海水から使用済燃料ピットへの注水操作がより早期に実施できるよう着手時間及び対応人数を見直したことで注水準備完了時間を11.3時間後から4.4時間後に変更【比較表P7他】
- ✓海水から使用済燃料ピットへの注水操作見直しにより、使用済燃料ピットの監視の着手時間の見直し【比較表P25】

1-2) 設計方針・運用・体制を変更するものではないが、まとめ資料の記載の充実を行った箇所と理由

- a. 大飯3／4号炉まとめ資料と比較した結果、変更したもの：なし
- b. 女川2号炉まとめ資料と比較した結果、変更したもの：下記1件
 • 使用済燃料ピットの状態監視に関する検討資料を追加（添付資料7.3.1.6）【比較表P3】
- c. 他社審査会合の指摘事項等を確認した結果、変更したもの：なし
- d. 当社が自主的に変更したもの：なし

1-3) バックフィット関連事項

・使用済燃料貯蔵槽から発生する水蒸気による悪影響を防止するための対策（KK6/7知見反映）が関連する。PWRはFH/Bが区画化されており、FH/B内のSA設備は蒸気環境下の健全性を確保する設計としていることから、設備および運用を変更する必要はないが、作業性向上の観点から、SFP注水操作開始がSFPの沸騰開始前に可能になるように作業手順及び評価条件の見直しを実施している。

2. 大飯3／4号炉まとめ資料との比較結果の概要**2-1) 泊3号炉の特徴について**

- ・泊3号は他のPWR3ループプラントに比べて以下の特徴がある（添付資料6.5.8）
 - 補助給水流量が小さい：「全交流動力電源喪失」では、蒸気発生器保有水量の回復が遅くなる傾向がある
 - 余熱除去ポンプの注入特性（高圧時の注入流量が若干多い）：「ECCS注水機能喪失（2インチ破断）」では、燃料が露出せず終始冠水状態となる
 - CV関連パラメータ（CV自由体積が若干小さく、格納容器再循環ユニットの除熱特性も若干低い）：原子炉格納容器圧力及び原子炉格納容器旁囲気温度が高めに推移する傾向がある

泊発電所3号炉 有効性評価 比較表

灰色：女川2号炉の記載のうち、BWR固有の設備や対応手段であり、泊3号炉と比較対象とならない記載内容

赤字：設備、運用又は体制の相違（設計方針の相違）
青字：記載箇所又は記載内容の相違（記載方針の相違）
緑字：記載表現、設備名称の相違（実質的な相違なし）

7.3.1想定事故1

大飯発電所3／4号炉	女川原子力発電所2号炉	泊発電所3号炉	相違理由

2-2) 有効性評価の主な項目

項目	大飯発電所3／4号炉	泊発電所3号炉	相違理由
想定事故1の特徴	想定事故1では、使用済燃料ピットの冷却機能又は注水機能の喪失により、使用済燃料ピット内の水の温度が徐々に上昇し、やがて沸騰して蒸発することによって使用済燃料ピット水位が低下する。このため、緩和措置がとられない場合には、やがて燃料は露出し、損傷に至る。	想定事故1では、使用済燃料ピットの冷却機能及び注水機能が喪失することを想定する。このため、使用済燃料ピット水温が徐々に上昇し、やがて沸騰して蒸発することによって使用済燃料ピット水位が緩慢に低下することから、緩和措置がとられない場合には、使用済燃料ピット水位の低下により燃料が露出し、燃料損傷に至る。	相違なし (記載表現は異なるが、想定事故1の特徴としては同一)
燃料損傷防止対策	想定事故1における機能喪失に対して、使用済燃料ピット内の燃料の著しい損傷を防止するため、送水車による使用済燃料ピットへの注水手段を整備する。	想定事故1における機能喪失に対して、使用済燃料ピット内の燃料が著しい損傷に至ることなく、かつ、十分な冷却を可能とするため、可搬型大型送水ポンプ車による使用済燃料ピットへの注水手段を整備する。	相違なし (記載表現、注水するポンプ車は異なるが、蒸発量を上回る注水量で海水を注水できる点では同様)
有効性評価の結果 (評価項目等)	<p><u>燃料有効長頂部の冠水及び放射線の遮蔽が維持される水位の確保</u>：使用済燃料ピットの崩壊熱による蒸発水量を上回る容量の送水車を整備しており、使用済燃料ピット水位が放射線の遮蔽が維持できる最低水位に到達するまでに注水を開始できることから、燃料有効長頂部は冠水している。また、放射線の遮蔽が維持できる水位を確保できる。</p> <p><u>未臨界性の維持</u>：使用済燃料ピットは、通常ほう酸水で満たされているが、純水で満たされた状態で、最も反応度の高い新燃料を設備容量分収容した場合を想定しても実効増倍率はAエリアで約0.953、Bエリアで約0.970であり、未臨界性を確保できる設計としている。純水で満たされた状態で使用済燃料ピット内の水温が上昇し沸騰状態となり、水密度が低下する場合でも、使用済燃料ピット水位が維持されている状態では中性子は減速不足状態であるため、実効増倍率は低下し、使用済燃料ピットの未臨界は維持される。</p>	<p><u>燃料有効長頂部の冠水及び放射線の遮蔽が維持される水位の確保</u>：使用済燃料ピット崩壊熱による蒸発水量を上回る容量の可搬型大型送水ポンプ車を整備しており、使用済燃料ピット水位が放射線の遮蔽が維持される最低水位に到達するまでに注水を開始できることから、燃料有効長頂部は冠水している。また、放射線の遮蔽が維持される水位を確保できる。</p> <p><u>未臨界性の維持</u>：使用済燃料ピットは、通常ほう酸水で満たされているが、純水で満たされた状態で、最も反応度の高い新燃料を設備容量分収容した場合を想定しても実効増倍率は約0.970であり、未臨界性を確保できる設計としている。純水で満たされた状態で使用済燃料ピット内の水温が上昇し沸騰状態となり、水密度が低下する場合でも、使用済燃料ピット水位が維持されている状態では中性子は減速不足状態であるため、実効増倍率は低下し、使用済燃料ピットの未臨界は維持される。</p>	相違なし (注水するポンプ車は異なるが、蒸発量を上回る注水量で海水を注水できる点では同様。また、未臨界性の確保に関して実効増倍率の値は多少異なるが、実効増倍率1未満で未臨界性を確保している点では同様。)

2-3) 主な相違

項目	大飯発電所3／4号炉	泊発電所3号炉	相違理由
注水の優先順位の相違	<p>①淡水タンクが使用可能であれば、屋内消火栓、屋外消火栓又はポンプ車からの注水を行う。</p> <p>②1次系純水タンクが使用可能であれば、1次系純水タンクからの注水操作を行う。</p> <p>③淡水タンク及び1次系純水タンクが使用不能と判断した場合には、送水車を用いた海水による注水を行う。</p>	<p>①1次系純水タンクが使用可能であれば、1次系純水タンクからの注水操作を行う。</p> <p>②1次系純水タンクが使用不能と判断した場合は、消火設備が使用可能であれば、消火設備による注水操作を行う。</p> <p>③1次系純水タンク及び消火設備が使用不能と判断した場合には、可搬型大型送水ポンプ車を用いた海水による注水を行う。</p>	設備・手順の相違 ・設備構成の違いにより注水操作の優先順位が異なる

泊発電所3号炉 有効性評価 比較表

灰色：女川2号炉の記載のうち、BWR固有の設備や対応手段であり、泊3号炉と比較対象とならない記載内容

赤字：設備、運用又は体制の相違（設計方針の相違）
青字：記載箇所又は記載内容の相違（記載方針の相違）
緑字：記載表現、設備名称の相違（実質的な相違なし）

7.3.1想定事故1

大飯発電所3／4号炉	女川原子力発電所2号炉	泊発電所3号炉	相違理由

2-4) 相違理由の省略

相違理由	大飯発電所3／4号炉	女川原子力発電所2号	泊発電所3号炉	相違が生じている理由
設備名称の相違	使用済燃料ピット	使用済燃料プール／燃料プール	使用済燃料ピット	—
	空冷式非常用発電装置	—	代替非常用発電機	—
	送水車	—	可搬型大型送水ポンプ車	—
記載表現の相違	放射線の遮蔽が維持できる最低水位	放射線の遮蔽が維持される最低水位	放射線の遮蔽が維持される最低水位	(女川と同様)
	通常水位	—	NWL	泊では「6.5.2.3 使用済燃料ピットにおける重大事故に至るおそれがある事故」にて通常運転水位を NWL に読み替えているため
	崩壊熱	—	使用済燃料ピット崩壊熱	泊では他の記載箇所に合わせて「使用済燃料ピット崩壊熱」で統一（伊方と同様）
	使用済燃料ピット出口配管／入口配管	—	使用済燃料ピット水浄化冷却設備入口配管／出口配管	泊では使用済燃料ピットからの出口／入口配管ではなく、使用済燃料ピット水浄化冷却設備としての入口／出口配管で記載。そのため大飯とは出口と入口が逆の記載となる。

泊発電所3号炉 有効性評価 比較表

灰色：女川2号炉の記載のうち、BWR固有の設備や対応手段であり、泊3号炉と比較対象とならない記載内容

赤字：設備、運用又は体制の相違（設計方針の相違）
青字：記載箇所又は記載内容の相違（記載方針の相違）
緑字：記載表現、設備名称の相違（実質的な相違なし）

7.3.1想定事故1

大飯発電所3／4号炉	女川原子力発電所2号炉	泊発電所3号炉	相違理由
4. 使用済燃料ピットにおける重大事故に至るおそれがある事故 本原子炉施設における想定事故について、その発生原因と、当該事故に対処するために必要な対策について説明し、使用済燃料ピットにおける燃料損傷防止対策の有効性評価を行い、その結果について説明する。	4. 使用済燃料プールにおける重大事故に至るおそれがある事故 4.1 想定事故1 4.1.1 想定事故1の特徴、燃料損傷防止対策 (1) 想定する事故 「使用済燃料ピットにおける重大事故に至るおそれがある事故」において、使用済燃料ピットにおける燃料損傷防止対策の有効性を確認するために想定する事故の一つには、「1.2 評価対象の整理及び評価項目の設定」に示すとおり、想定事故1として「使用済燃料ピットの冷却機能又は注水機能が喪失することにより、使用済燃料ピット内の水の温度が上昇し、蒸発により水位が低下する事故」がある。 (2) 想定事故1の特徴及び燃料損傷防止対策の基本的考え方 想定事故1では、使用済燃料ピットの冷却機能又は注水機能の喪失により、使用済燃料ピット内の水の温度が徐々に上昇し、やがて沸騰して蒸発することによって使用済燃料ピット水位が低下する。このため、緩和措置がとられない場合には、やがて燃料は露出し、損傷に至る。 4.1.1 想定事故1の特徴、燃料損傷防止対策 (1) 想定する事故 「使用済燃料プールにおける重大事故に至るおそれがある事故」において、燃料プールにおける燃料損傷防止対策の有効性を確認するために想定する事故の一つには、「1.2 評価対象の整理及び評価項目の設定」に示すとおり、想定事故1として「燃料プールの冷却機能又は注水機能が喪失することにより、燃料プール内の水の温度が上昇し、蒸発により水位が低下する事故」がある。	7.3 使用済燃料ピットにおける重大事故に至るおそれがある事故 7.3.1 想定事故1 7.3.1.1 想定事故1の特徴、燃料損傷防止対策 (1) 想定する事故 「使用済燃料ピットにおける重大事故に至るおそれがある事故」において、使用済燃料ピットにおける燃料損傷防止対策の有効性を確認するために想定する事故の一つには、「6.2 評価対象の整理及び評価項目の設定」に示すとおり、想定事故1として「使用済燃料ピットの冷却機能又は注水機能が喪失することにより、使用済燃料ピット内の水の温度が上昇し、蒸発により水位が低下する事故」がある。 (2) 想定事故1の特徴及び燃料損傷防止対策の基本的考え方 想定事故1では、使用済燃料ピットの冷却機能及び注水機能が喪失することを想定する。このため、燃料プール水温が徐々に上昇し、やがて沸騰して蒸発することによって燃料プール水位が緩慢に低下することから、緩和措置がとられない場合には、燃料プール水位の低下により燃料が露出し、燃料損傷に至る。 本想定事故は、燃料プールの冷却機能及び注水機能を喪失したことによって燃料損傷に至る事故を想定するものである。このため、重大事故等対策の有効性評価には燃料プールの注水機能に対する重大事故等対処設備	記載方針の相違 ・大飯は添付書類十と同様の記載をまとめ資料にも記載しているが、泊は添付書類十には記載するがまとめ資料には記載しない方針（高浜、女川と同様）
			記載表現の相違（女川実績の反映）
			記載方針の相違（女川実績の反映）

7.3.1 想定事故 1

泊発電所 3 号炉 有効性評価 比較表

灰色：女川 2 号炉の記載のうち、BWR 固有の設備や対応手段であり、泊 3 号炉と比較対象とならない記載内容

赤字：設備、運用又は体制の相違（設計方針の相違）
青字：記載箇所又は記載内容の相違（記載方針の相違）
緑字：記載表現、設備名称の相違（実質的な相違なし）

大飯発電所 3 / 4 号炉	女川原子力発電所 2 号炉	泊発電所 3 号炉	相違理由
<p>したがって、想定事故 1 では、使用済燃料ピットへの注水の確保を行うことによって、燃料有効長頂部を冠水させること、放射線の遮蔽が維持される水位を確保すること及び未臨界を維持させが必要となる。</p> <p>(3) 燃料損傷防止対策</p> <p>想定事故 1 における機能喪失に対して、使用済燃料ピット内の燃料の著しい損傷を防止するため、送水車による使用済燃料ピットへの注水手段を整備する。</p> <p>対策の概略系統図を第4.1.1図に、対応手順の概要を第4.1.2図に示すとともに重大事故等対策の概要を以下に示す。また、重大事故等対策における設備と手順の関係を第4.1.1表に示す。</p> <p>想定事故 1 における3号炉及び4号炉同時の重大事故等対策時に必要な要員は、中央制御室の運転員、緊急安全対策要員及び緊急時対策本部要員で構成され、合計34名である。その内訳は以下のとおりである。中央制御室の運転員は、中央監視及び指示を行う当直課長及び当直主任の2名、運転操作対応を行う運転員6名である。発電所構内に常駐している要員のうち緊急安全対策要員が20名、関係各所に通報連絡等を行う緊急時対策本部要員が6名である。この必要な要員と作業項目について第4.1.3図に示す。</p> <p>a. 使用済燃料ピット冷却機能喪失の判断及び対応</p> <p>使用済燃料ピットポンプトリップによる運転不能等により、使用済燃料ピット冷却機能の故障を確認した場合、使用済燃料ピット冷却機能喪失と判断し、使用済燃料ピット冷却機能回復操作、可搬式使用済燃料ピット区域周辺エリアモニタ、可搬式使用済燃料ピット水位及び使用済燃料ピット監視カメラ冷却装置の設置を行う。</p> <p>使用済燃料ピット冷却機能喪失の判断及び対応に</p>	<p>に期待することが考えられる。</p> <p>したがって、想定事故 1 では、燃料プール代替注水系(可搬型)により燃料プールへ注水することによって、燃料損傷の防止を図る。また、燃料プール代替注水系(可搬型)により燃料プール水位を維持する。</p> <p>(3) 燃料損傷防止対策</p> <p>想定事故 1 における機能喪失に対して、燃料プール内の燃料が著しい損傷に至ることなく、かつ、十分な冷却を可能とするため、燃料プール代替注水系(可搬型)*による燃料プールへの注水手段を整備する。</p> <p>これらの対策の概略系統図を第4.1.1図に、手順の概要を第4.1.2図に示すとともに、重大事故等対策の概要を以下に示す。また、重大事故等対策における設備と操作手順の関係を第4.1.1表に示す。</p> <p>想定事故 1 において、重大事故等対策に必要な要員は、中央制御室の運転員、発電所対策本部要員及び重大事故等対応要員で構成され、合計28名である。その内訳は次のとおりである。中央制御室の運転員は、発電課長1名、発電副長1名及び運転操作対応を行う運転員3名である。発電所構内に常駐している要員のうち、通報連絡等を行う発電所対策本部要員は6名及び現場操作を行う重大事故等対応要員は17名である。必要な要員と作業項目について第4.1.3図に示す。</p> <p>※1 燃料プール代替注水系(可搬型)以外に、燃料プール代替注水系(常設配管)による対応が可能である。</p> <p>a. 燃料プールの冷却機能喪失確認</p> <p>燃料プールを冷却している系統が機能喪失することにより、燃料プール水の温度が上昇する。中央制御室からの遠隔操作による燃料プールの冷却系の再起動操作が困難な場合、燃料プールの冷却機能喪失であることを確認する。</p> <p>燃料プールの冷却機能喪失を確認するために必要</p>	<p>故等対処設備に期待することが考えられる。</p> <p>したがって、想定事故 1 では、可搬型大型送水ポンプ車により使用済燃料ピットへ注水することによって、燃料損傷の防止を図る。また、可搬型大型送水ポンプ車により使用済燃料ピット水位を維持する。</p> <p>(3) 燃料損傷防止対策</p> <p>想定事故 1 における機能喪失に対して、使用済燃料ピット内の燃料が著しい損傷に至ることなく、かつ、十分な冷却を可能とするため、可搬型大型送水ポンプ車による使用済燃料ピットへの注水手段を整備する。</p> <p>これらの対策の概略系統図を第7.3.1.1図に、手順の概要を第7.3.1.2図に示すとともに重大事故等対策の概要を以下に示す。また、重大事故等対策における設備と操作手順の関係を第7.3.1.1表に示す。</p> <p>想定事故 1 において、重大事故等対策に必要な要員は、中央制御室の運転員、災害対策要員、災害対策要員(支援)及び災害対策本部要員で構成され、合計20名である。その内訳は次のとおりである。中央制御室の運転員は、中央監視及び指示を行う発電課長(当直)及び副長の2名、運転操作対応を行う運転員3名である。発電所構内に常駐している要員のうち、災害対策要員が9名、災害対策要員(支援)が2名、関係各所に通報連絡等を行う災害対策本部要員は4名である。必要な要員と作業項目について第7.3.1.3図に示す。</p> <p>a. 使用済燃料ピット冷却機能喪失の判断及び対応</p> <p>使用済燃料ピットポンプトリップによる運転不能等により、使用済燃料ピット冷却機能の故障を確認した場合、使用済燃料ピット冷却機能喪失と判断し、使用済燃料ピット冷却機能回復操作、使用済燃料ピット可搬型エリアモニタ、使用済燃料ピット水位(可搬型)及び使用済燃料ピット監視カメラ空冷装置の設置を行う。</p> <p>使用済燃料ピット冷却機能喪失の判断及び対応に</p>	<p>灰色：女川 2 号炉の記載のうち、BWR 固有の設備や対応手段であり、泊 3 号炉と比較対象とならない記載内容</p> <p>赤字：設備、運用又は体制の相違（設計方針の相違） 青字：記載箇所又は記載内容の相違（記載方針の相違） 緑字：記載表現、設備名称の相違（実質的な相違なし）</p>
			<p>記載方針の相違（女川実績の反映）</p> <p>・シングルプラントとツインプラントによる相違を除けば、対応操作、要員数ともに同等</p> <p>設備名称の相違</p>

泊発電所3号炉 有効性評価 比較表

灰色：女川2号炉の記載のうち、BWR固有の設備や対応手段であり、泊3号炉と比較対象とならない記載内容

赤字：設備、運用又は体制の相違（設計方針の相違）
青字：記載箇所又は記載内容の相違（記載方針の相違）
緑字：記載表現、設備名称の相違（実質的な相違なし）

7.3.1想定事故1

大飯発電所3／4号炉	女川原子力発電所2号炉	泊発電所3号炉	相違理由
必要な計装設備は使用済燃料ピット温度(AM用)等である。	な計装設備は、使用済燃料プール水位/温度(ヒートサ一モ式)等である。	必要な計装設備は、使用済燃料ピット温度(AM用)等である。	
b. 使用済燃料ピット水温及び水位の確認 使用済燃料ピット冷却機能の故障により、使用済燃料ピット水温が上昇し、使用済燃料ピット水位が低下していることを確認する。 使用済燃料ピット水温及び水位の確認に必要な計装設備は使用済燃料ピット温度(AM用)等である。		b. 使用済燃料ピット水温及び水位の確認 使用済燃料ピット冷却機能の故障により、使用済燃料ピット水温が上昇し、使用済燃料ピット水位が低下していることを確認する。 使用済燃料ピット水温及び水位を確認するために必要な計装設備は、使用済燃料ピット温度(AM用)等である。	
c. 使用済燃料ピット補給水系の故障の判断 2次系純水系統及び燃料取替用水ピットからの注水操作を行い、使用済燃料ピット水位の上昇が確認できなければ、使用済燃料ピット補給水系の故障と判断し、使用済燃料ピット補給水系の回復操作を行う。 使用済燃料ピット補給水系の故障の判断に必要な計装設備は、使用済燃料ピット水位(AM用)等である。	b. 燃料プールの注水機能喪失確認 燃料プールの冷却機能喪失の確認後、燃料プール水の温度上昇による蒸発により燃料プール水位が低下することが想定されるため、補給水系による燃料プールへの注水準備を行う。中央制御室からの遠隔操作により燃料プールへの注水準備が困難な場合、燃料プールの注水機能喪失であることを確認する。 燃料プールの注水機能喪失を確認するために必要な計装設備は、使用済燃料プール水位/温度(ヒートサ一モ式)等である。 (添付資料 4.1.1)	c. 使用済燃料ピット補給水系の故障の判断 使用済燃料ピットの冷却機能喪失の確認後、使用済燃料ピット水の温度上昇による蒸発により使用済燃料ピット水位が低下することが想定されるため、補給水系による使用済燃料ピットへの注水準備を行う。2次系純水系統及び燃料取替用水ピットからの注水操作を行い、使用済燃料ピット水位の上昇が確認できなければ、使用済燃料ピット補給水系の故障と判断し、使用済燃料ピット補給水系の回復操作を行う。 使用済燃料ピット補給水系の故障の判断に必要な計装設備は、使用済燃料ピット水位(AM用)等である。 (添付資料7.3.1.6)	記載方針の相違（女川実績の反映） ・注水準備の明確化
d. 使用済燃料ピット注水操作 淡水タンクが使用可能であれば、屋内消火栓、屋外消火栓又はポンプ車からの注水を行う。 1次系純水タンクが使用可能であれば、1次系純水タンクからの注水操作を行う。	c. 燃料プール代替注水系(可搬型)による燃料プールへの注水 燃料プール代替注水系(可搬型)の準備は冷却機能	d. 使用済燃料ピット注水操作 1次系純水タンクが使用可能であれば、1次系純水タンクからの注水操作を行う。 1次系純水タンクが使用不能と判断した場合は、消防設備が使用可能であれば、消防設備による注水操作を行う。 可搬型大型送水ポンプ車による注水準備は冷却機	設備・手順の相違 ・設備構成の違いにより注水操作の優先順位が異なる 記載方針の相違（女川実績の反映） ・SIPの状態監視に関する添付資料を作成

泊発電所3号炉 有効性評価 比較表

灰色：女川2号炉の記載のうち、BWR固有の設備や対応手段であり、泊3号炉と比較対象とならない記載内容

赤字：設備、運用又は体制の相違（設計方針の相違）
青字：記載箇所又は記載内容の相違（記載方針の相違）
緑字：記載表現、設備名称の相違（実質的な相違なし）

7.3.1想定事故1

大飯発電所3／4号炉	女川原子力発電所2号炉	泊発電所3号炉	相違理由
<p>淡水タンク及び1次系純水タンクが使用不能と判断した場合には、送水車を用いた海水による注水を行う。使用済燃料ピット水位は通常水位を目安に注水し、通常水位到達後は使用済燃料ピット出口配管下端以下とならないよう水位を維持する。</p> <p>以降、使用済燃料ピットへの注水により使用済燃料ピット水位が維持され、温度が安定していることを確認する。</p> <p>使用済燃料ピット注水操作に必要な計装設備は、使用済燃料ピット水位（AM用）等である。</p>	<p>喪失による異常の認知を起点として開始する。準備が完了したところで、燃料プール代替注水系（可搬型）による燃料プールへの注水を開始し、燃料プール水位は回復する。</p> <p>その後、燃料プールの冷却機能を復旧するとともに、燃料プール代替注水系（可搬型）の間欠運転又は流量調整により蒸発量に応じた注水を行うことで、必要な遮蔽※2を確保できる燃料プール水位より高く維持する。</p> <p>燃料プール代替注水系（可搬型）による燃料プールへの注水を確認するために必要な計装設備は、使用済燃料プール水位/温度（ヒートサーモ式）等である。</p> <p>※2 必要な遮蔽の目安とした線量率は10mSv/hとする。 想定事故1における原子炉建屋燃料取替床での運転員及び重大事故等対応要員による作業時間は3.5時間であり、その被ばく量は最大で35mSvとなる。また、現場作業員の退避は1時間以内であり、その被ばく量は10mSv以下となる。よって、被ばく量は最大でも35mSvとなるため、緊急作業時における被ばく限度の100mSvに対して余裕がある。原子炉建屋燃料取替床での作業は、燃料プール代替注水系（可搬型）を使用する場合のホース設置が想定される。必要な遮蔽の目安とした線量率10mSv/hは、定期検査作業時の原子炉建屋燃料取替床における線量率を考慮した値である。この線量率となる燃料プール水位は通常水位から約1.3m下の位置である。</p>	<p>能喪失による異常の認知を起点として開始する。1次系純水タンク及び消防設備が使用不能と判断した場合には、可搬型大型送水ポンプ車を用いた海水による注水を行う。使用済燃料ピット水位はNWLを目安に注水し、NWL到達後は使用済燃料ピット水净化冷却設備入口配管下端以下とならないよう水位を維持する。</p> <p>その後は、使用済燃料ピットの冷却機能を復旧するとともに、可搬型大型送水ポンプ車の間欠運転又は流量調整により蒸発量に応じた注水を行うことで、必要な遮蔽を確保できる使用済燃料ピット水位より高く維持する。</p> <p>使用済燃料ピット注水操作に必要な計装設備は、使用済燃料ピット水位（AM用）等である。</p>	<p>川実績の反映 ・注水準備の明確化</p> <p>記載方針の相違（女川実績の反映）</p> <p>【女川】 評価方法の相違 ・放射線の遮蔽が維持される最低水位の考え方方が女川と泊、大飯では異なる。 PWRでは通常時の遮蔽設計基準値(0.15mSv/h)以下に維持される最低水位を確保する評価をしている。 ・具体的な水位については泊、大飯では主要解析条件の表やフロー図に記載</p>

泊発電所3号炉 有効性評価 比較表

灰色：女川2号炉の記載のうち、BWR固有の設備や対応手段であり、泊3号炉と比較対象とならない記載内容

赤字：設備、運用又は体制の相違（設計方針の相違）
青字：記載箇所又は記載内容の相違（記載方針の相違）
緑字：記載表現、設備名称の相違（実質的な相違なし）

7.3.1 想定事故1

大飯発電所3／4号炉	女川原子力発電所2号炉	泊発電所3号炉	相違理由
<p>4.1.2 燃料損傷防止対策の有効性評価 (1) 有効性評価の方法</p> <p>想定事故1では、冷却機能又は注水機能の喪失による使用済燃料ピット水温上昇、沸騰及び蒸発により水位は低下するが、燃料有効長頂部を冠水させ、未臨界を維持するために、使用済燃料ピット水位が放射線の遮蔽が維持される水位を確保できることを評価する。</p> <p>また、評価条件の不確かさの影響評価の範囲として、想定事故1における運転員等操作時間に与える影響、要員の配置による他の操作に与える影響、評価項目となるパラメータに与える影響及び操作時間余裕を評価する。</p> <p>(2) 有効性評価の条件</p> <p>想定事故1に対する初期条件も含めた主要な評価条件を第4.1.2表に示す。また、主要な評価条件について、想定事故1特有の評価条件を以下に示す。</p>	<p>4.1.2 燃料損傷防止対策の有効性評価 (1) 有効性評価の方法</p> <p>想定事故1で想定する事故は、「1.2 評価対象の整理及び評価項目の設定」に示すとおり、「燃料プールの冷却機能又は注水機能が喪失することにより、燃料プール内の水の温度が上昇し、蒸発により水位が低下する事故」である。</p> <p>想定事故1では、燃料プールの冷却機能喪失及び注水機能喪失に伴い燃料プール水温が徐々に上昇し、やがて沸騰して蒸発することによって燃料プール水位が緩慢に低下するが、燃料プールへの注水により、燃料プール水位が放射線の遮蔽が維持される水位を確保できることを評価する。</p> <p>なお、燃料プール水位が放射線の遮蔽が維持される水位を確保できることで、燃料有効長頂部は冠水が維持される。未臨界については、燃料がボロン添加ステンレス鋼製ラックセルに貯蔵されており、必要な燃料間距離をとる等の設計により水密度の状態によらず臨界未満となるため、維持される。</p> <p>また、評価条件の不確かさの影響評価の範囲として、想定事故1における運転員等操作時間に与える影響、評価項目となるパラメータに与える影響及び操作時間余裕を評価する。</p> <p>(添付資料4.1.2, 4.1.3)</p> <p>(2) 有効性評価の条件</p> <p>想定事故1に対する初期条件も含めた主要な評価条件を第4.1.2表に示す。また、主要な評価条件について、想定事故1特有の評価条件を以下に示す。</p> <p>なお、本評価では崩壊熱及び運転員の人数の観点から厳しい条件である原子炉運転停止中の燃料プールを前提とする。原子炉運転中の燃料プールは、崩壊熱が原子炉運転停止中の燃料プールに比べて小さく事象進展が緩やかになること、また、より多くの運転員による対応が可能であることから本評価に包絡される。</p>	<p>7.3.1.2 燃料損傷防止対策の有効性評価 (1) 有効性評価の方法</p> <p>想定事故1で想定する事故は、「6.2 評価対象の整理及び評価項目の設定」に示すとおり、「使用済燃料ピットの冷却機能又は注水機能が喪失することにより、使用済燃料ピット内の水の温度が上昇し、蒸発により水位が低下する事故」である。</p> <p>想定事故1では、使用済燃料ピットの冷却機能喪失及び注水機能喪失に伴い使用済燃料ピット水温が徐々に上昇し、やがて沸騰して蒸発することによって使用済燃料ピット水位が緩慢に低下するが、使用済燃料ピットへの注水により、使用済燃料ピット水位が放射線の遮蔽が維持される水位を確保できることを評価する。</p> <p>なお、使用済燃料ピット水位が放射線の遮蔽が維持される水位を確保できることで、燃料有効長頂部は冠水が維持される。未臨界については、燃料がボロン添加ステンレス鋼製ラックに貯蔵されており、必要な燃料間距離をとる等の設計により水密度の状態によらず臨界未満となるため、維持される。</p> <p>また、評価条件の不確かさの影響評価の範囲として、想定事故1における運転員等操作時間に与える影響、評価項目となるパラメータに与える影響及び操作時間余裕を評価する。</p> <p>(2) 有効性評価の条件</p> <p>想定事故1に対する初期条件も含めた主要な評価条件を第7.3.1.2表に示す。また、主要な評価条件について、想定事故1特有の評価条件を以下に示す。</p> <p>なお、本評価では崩壊熱及び運転員の人数の観点から厳しい条件である原子炉運転停止中の使用済燃料ピットを前提とする。原子炉運転中の使用済燃料ピットは、崩壊熱が原子炉運転停止中の使用済燃料ピットに比べて小さく事象進展が緩やかになること、また、より多くの運転員による対応が可能であることから本評価に包絡される。</p>	<p>灰色：女川2号炉の記載のうち、BWR固有の設備や対応手段であり、泊3号炉と比較対象とならない記載内容</p> <p>赤字：設備、運用又は体制の相違（設計方針の相違） 青字：記載箇所又は記載内容の相違（記載方針の相違） 緑字：記載表現、設備名称の相違（実質的な相違なし）</p>

7.3.1 想定事故 1

泊発電所 3 号炉 有効性評価 比較表

灰色：女川 2 号炉の記載のうち、BWR 固有の設備や対応手段であり、泊 3 号炉と比較対象とならない記載内容

赤字：設備、運用又は体制の相違（設計方針の相違）
青字：記載箇所又は記載内容の相違（記載方針の相違）
緑字：記載表現、設備名称の相違（実質的な相違なし）

大飯発電所 3 / 4 号炉 (添付資料 1.5.7)	女川原子力発電所 2 号炉 (添付資料 4.1.2)	泊発電所 3 号炉 (添付資料 6.5.7)	相違理由
<p>a. 初期条件</p> <p>(a) 事象発生前使用済燃料ピット水位 使用済燃料ピット水位の実運用に基づき、燃料頂部より 7.38m とする。</p>	<p>a. 初期条件</p> <p>(a) 燃料プールの初期水位及び初期水温 燃料プールの初期水位は、通常水位とし、保有水量を厳しく見積もるため、燃料プールと隣接する原子炉ウェルとの間に設置されているプールゲートは閉を仮定する。また、燃料プールの初期水温は、運転上許容される上限の 65°C とする。</p> <p>(b) 崩壊熱 燃料プールには貯蔵燃料の他に、原子炉停止後最も短時間（原子炉停止後 10日）で取り出された全炉心分の燃料が一時保管されていることを想定して、燃料プールの崩壊熱は 約 6.7MW を用いるものとする。 なお、崩壊熱に相当する保有水の蒸発量は 約 12m³/h である。</p> <p>b. 事故条件</p> <p>(a) 安全機能の喪失に対する仮定 使用済燃料ピット冷却機能及び注水機能が喪失するものとする。</p> <p>(b) 外部電源 外部電源はないものとする。 外部電源がない場合と外部電源がある場合では、事象進展は同じであることから、資源の評価の観点から厳しくなる外部電源がない場合を想定する。</p> <p>c. 重大事故等対策に関連する機器条件</p>	<p>a. 初期条件</p> <p>(a) 事象発生前使用済燃料ピット水位 使用済燃料ピット水位の実運用に基づき、NWL（燃料頂部より 約 7.62m）とする。</p> <p>(b) 事象発生前使用済燃料ピット水温 使用済燃料ピット水温の実測値に基づき、標準的な温度として 40°C とする。</p> <p>(c) 使用済燃料ピット崩壊熱 原子炉停止後に最短時間（原子炉停止後 7.5日）で取り出された全炉心分の燃料及び以前から貯蔵されている使用済燃料が、使用済燃料ピットの熱負荷が最大となるような組合せで貯蔵される場合を想定して、使用済燃料ピットの熱負荷は 11.508MW を用いるものとする。 なお、崩壊熱に相当する保有水の蒸発量は 約 19.16m³/h である。</p> <p>b. 事故条件</p> <p>(a) 安全機能の喪失に対する仮定 使用済燃料ピットの冷却機能及び注水機能として使用済燃料ピット冷却系及び使用済燃料ピット補給水系の機能を喪失するものとする。</p> <p>(b) 外部電源 外部電源は使用できないものと仮定する。 外部電源が使用できない場合においても、燃料プール代替注水系（可搬型）による燃料プールへの注水は可能であり、外部電源がある場合と事象進展は同等となるが、資源の評価の観点から厳しい評価条件となる外部電源が使用できない場合を想定する。</p> <p>c. 重大事故等対策に関連する機器条件</p>	<p>の本文にその旨明記</p> <p>設計の相違 ・泊の評価上の初期水位は、水位の実運用に基づき、標準的な水位として NWL に設定</p> <p>記載方針の相違（女川実績の反映）</p> <p>記載表現の相違（女川実績の反映）</p> <p>記載表現の相違（女川実績の反映）</p>

泊発電所3号炉 有効性評価 比較表

灰色：女川2号炉の記載のうち、BWR固有の設備や対応手段であり、泊3号炉と比較対象とならない記載内容

赤字：設備、運用又は体制の相違（設計方針の相違）
青字：記載箇所又は記載内容の相違（記載方針の相違）
緑字：記載表現、設備名称の相違（実質的な相違なし）

7.3.1想定事故1

大飯発電所3／4号炉	女川原子力発電所2号炉	泊発電所3号炉	相違理由
(a) 送水車による使用済燃料ピットへの注水流量 崩壊熱による蒸発水量に対して燃料損傷防止が可能な流量として25m ³ /hを設定する。	(a) 燃料プール代替注水系(可搬型) 燃料プールへの注水は、大容量送水ポンプ(タイプI)1台を使用するものとし、崩壊熱による燃料プール水の蒸発量を上回る114m ³ /h ^{※3} の流量で注水する。 ※3 燃料プール代替注水系(可搬型)及び燃料プール代替注水系(常設配管)の注水容量はともに114m ³ /hである。	(a) 可搬型大型送水ポンプ車 使用済燃料ピットへの注水は、可搬型大型送水ポンプ車1台を使用するものとし、使用済燃料ピット崩壊熱による使用済燃料ピット水の蒸発量を上回る25m ³ /hの流量で注水する。	記載方針の相違（女川実績の反映）
d. 重大事故等対策に関連する操作条件 運転員等操作に関する条件として、「1.3.5 運転員等の操作時間に対する仮定」に示す分類に従って以下のとおり設定する。 (a) 送水車による注水は、事象発生の確認及び移動に必要な時間等を考慮して、事象発生の5.2時間後に開始するものとする。	d. 重大事故等対策に関連する操作条件 運転員等操作に関する条件として、「1.3.5 運転員等の操作時間に対する仮定」に示す分類に従って以下のとおり設定する。 (a) 燃料プール代替注水系(可搬型)による燃料プールへの注水準備操作は、運転員及び重大事故等対応要員の移動、注水準備に必要な時間等を考慮して、事象発生10時間までに完了するが、燃料プールへの注水操作は事象発生13時間後から開始する。	d. 重大事故等対策に関連する操作条件 運転員等操作に関する条件として、「6.3.5 運転員等の操作時間に対する仮定」に示す分類に従って以下のとおり設定する。 (a) 可搬型大型送水ポンプ車による使用済燃料ピットへの注水準備操作は、災害対策要員及び災害対策要員（支援）の移動、注水準備に必要な時間等を考慮して、事象発生4.4時間までに完了するが、使用済燃料ピットへの注水操作は使用済燃料ピットの水温が100°Cに到達することにより使用済燃料ピット水位が低下し始める事象発生の約6.6時間後から開始する。	記載方針の相違 ・泊は注水準備完了が水位が低下し始める水温100°C到達前に完了するため注水開始時間を水温が100°Cに到達する時間に明確化（島根と同様）
(3) 有効性評価の結果 想定事故1の事象進展を第4.1.2図に示す。	(3) 有効性評価の結果 想定事故1における燃料プール水位の推移を第4.1.4図に、燃料プール水位と線量率の関係を第4.1.5図に示す。	(3) 有効性評価の結果 想定事故1の事象進展を第7.3.1.2図に示す。	
a. 事象進展 事象発生後、使用済燃料ピット冷却機能及び注水機能の喪失に伴い、使用済燃料ピット水温が徐々に上昇し、約12時間で100°Cに到達し、使用済燃料ピット水位は緩慢に低下する。その後、使用済燃料ピット水位が放射線の遮蔽が維持できる最低水位まで低下するのは、第4.1.4図に示すとおり事象発生の約2.6日後である。	a. 事象進展 燃料プールの冷却機能が喪失した後、燃料プール水温は約4°C/hで上昇し、事象発生から約8時間後に100°Cに到達する。その後、蒸発により燃料プール水位は低下し始めるが、事象発生から13時間経過した時点で燃料プール代替注水系(可搬型)による燃料プールへの注水を開始すると、燃料プール水位が回復する。	a. 事象進展 事象発生後、使用済燃料ピット冷却機能及び注水機能の喪失に伴い、使用済燃料ピット水温が徐々に上昇し、約6.6時間で100°Cに到達し、使用済燃料ピット水位は緩慢に低下する。その後、使用済燃料ピット水位が放射線の遮蔽が維持される最低水位まで低下するのは、第7.3.1.4図に示すとおり事象発生の約1.6日後である。 事故を検知し、可搬型大型送水ポンプ車による注水	評価結果の相違 ・崩壊熱、SFP水量等の差異により、100°C到達時間及び遮蔽が維持される最低水位までの水位低下時間が異なる
事故を検知し、送水車による注水を開始できる時間			

泊発電所3号炉 有効性評価 比較表

灰色：女川2号炉の記載のうち、BWR固有の設備や対応手段であり、泊3号炉と比較対象とならない記載内容

赤字：設備、運用又は体制の相違（設計方針の相違）
青字：記載箇所又は記載内容の相違（記載方針の相違）
緑字：記載表現、設備名称の相違（実質的な相違なし）

7.3.1想定事故1

大飯発電所3／4号炉	女川原子力発電所2号炉	泊発電所3号炉	相違理由
<p>は、事象発生の5.2時間後であることから、使用済燃料ピット水位が放射線の遮蔽が維持できる最低水位まで低下するのに要する時間である事象発生の約2.6日後に対して十分な時間余裕がある。</p> <p>使用済燃料ピットの崩壊熱による蒸発水量を上回る容量の送水車を整備していることから、使用済燃料ピット水位を回復させ維持することができる。</p> <p>(添付資料 4.1.1)</p> <p>b. 評価項目等</p> <p>使用済燃料ピットの崩壊熱による蒸発水量を上回る容量の送水車を整備しており、使用済燃料ピット水位が放射線の遮蔽が維持できる最低水位に到達するまでに注水を開始できることから、燃料有効長頂部は冠水している。また、放射線の遮蔽が維持できる水位を確保できる。</p> <p>使用済燃料ピットは、通常ほう酸水で満たされていが、純水で満たされた状態で、最も反応度の高い新燃料を設備容量分収容した場合を想定しても実効増倍率はAエリアで約0.953、Bエリアで約0.970であり、未臨界性を確保できる設計としている。純水で満たされた状態で使用済燃料ピット内の水温が上昇し沸騰状態となり、水密度が低下する場合でも、使用済燃料ピット水位が維持されている状態では中性子は減速不足状態であるため、実効増倍率は低下し、使用済燃</p>	<p>その後は、燃料プールの冷却機能を復旧するとともに、燃料プール代替注水系（可搬型）により、蒸発量に応じた量を燃料プールに注水することで、燃料プール水位を維持する。</p> <p>b. 評価項目等</p> <p>燃料プール水位は、第4.1.4図に示すとおり、通常水位から約0.36m下まで低下するにとどまり、燃料有効長頂部は冠水維持される。また、燃料プール水は事象発生約8時間で沸騰し、その後100°C付近で維持される。</p> <p>また、第4.1.5図に示すとおり、燃料プール水位が通常水位から約0.36m下の水位になった場合の線量率は、約5.4×10^{-3}mSv/hであり、必要な遮蔽の目安とした10mSv/hと比べて低いことから、この水位において放射線の遮蔽は維持されている。</p> <p>なお、線量率の評価点は原子炉建屋燃料取替床の床付近としている。</p> <p>燃料プールでは燃料がボロン添加ステンレス鋼製ラックセルに貯蔵されており、必要な燃料間距離をとる等の設計により水密度の状態によらず臨界未満となるため、本事象においても未臨界は維持される。</p>	<p>を開始できる時間は、事象発生の4.4時間後であることから、使用済燃料ピット水位が放射線の遮蔽が維持される最低水位まで低下するのに要する時間である事象発生の約1.6日後に対して十分な時間余裕がある。</p> <p>使用済燃料ピット崩壊熱による蒸発水量を上回る容量の可搬型大型送水ポンプ車を整備していることから、使用済燃料ピット水位を回復させ維持することができる。</p> <p>その後は、使用済燃料ピットの冷却機能を復旧するとともに、可搬型大型送水ポンプ車により、蒸発量に応じた量を使用済燃料ピットに注水することで、使用済燃料ピット水位を維持する。</p> <p>(添付資料 7.3.1.1)</p> <p>b. 評価項目等</p> <p>使用済燃料ピット崩壊熱による蒸発水量を上回る容量の可搬型大型送水ポンプ車を整備しており、使用済燃料ピット水位が放射線の遮蔽が維持される最低水位に到達するまでに注水を開始できることから、燃料有効長頂部は冠水している。また、放射線の遮蔽が維持される水位を確保できる。</p> <p>使用済燃料ピットは、通常ほう酸水で満たされているが、純水で満たされた状態で、最も反応度の高い新燃料を設備容量分収容した場合を想定しても実効増倍率は約0.970であり、未臨界性を確保できる設計としている。純水で満たされた状態で使用済燃料ピット内の水温が上昇し沸騰状態となり、水密度が低下する場合でも、使用済燃料ピット水位が維持されている状態では中性子は減速不足状態であるため、実効増倍率は低下し、使用済燃料ピットの未臨界は維持される。</p>	<p>記載方針の相違（女川実績の反映）</p> <p>設計の相違 ・燃料及びラック仕様等の差異により、実効増倍率が異なる ・大飯のSFPラックはAエリアがステン</p>

泊発電所3号炉 有効性評価 比較表

灰色：女川2号炉の記載のうち、BWR固有の設備や対応手段であり、泊3号炉と比較対象とならない記載内容

赤字：設備、運用又は体制の相違（設計方針の相違）
青字：記載箇所又は記載内容の相違（記載方針の相違）
緑字：記載表現、設備名称の相違（実質的な相違なし）

7.3.1 想定事故1

大飯発電所3／4号炉	女川原子力発電所2号炉	泊発電所3号炉	相違理由
<p>料ピットの未臨界は維持される。</p> <p>事象発生の5.2時間後から送水車による注水を行うことで、事象発生の約9.1時間後には使用済燃料ピット水位を回復させ維持できることから、水位及び温度は安定し、安定状態に至る。その後も送水車による注水を行うことで、安定状態を維持できる。</p> <p>(添付資料 4.1.2、4.1.3)</p>	<p>事象発生13時間後から燃料プール代替注水系(可搬型)による燃料プールへの注水を行うことで燃料プール水位は回復し、その後に蒸発量に応じた燃料プールへの注水を継続することで安定状態を維持できる。</p> <p>本評価では、「1.2.3.2 有効性を確認するための評価項目の設定」に示す(1)から(3)の評価項目について、対策の有効性を確認した。</p> <p>(添付資料 4.1.4、4.1.5)</p>	<p>事象発生4.4時間後までに可搬型大型送水ポンプ車による使用済燃料ピットへの注水準備が完了するため、使用済燃料ピットの水位が低下し始める事象発生約6.6時間後から蒸発量に応じた使用済燃料ピットへの注水を継続することで安定状態を維持できる。</p> <p>本評価では、「6.2.3.2 有効性を確認するための評価項目の設定」に示す(1)から(3)の評価項目について、対策の有効性を確認した。</p> <p>(添付資料 7.3.1.2、7.3.1.3)</p>	<p>レス鋼製ラック、Bエリアがボロン添加ステンレス鋼製の稠密ラックであり、設計が異なることから両エリアの評価結果を示している。泊は両ピットともボロン添加ステンレス鋼製ラックであるため、評価結果が厳しくなる燃料貯蔵体数が多いB-使用済燃料ピットの評価結果のみを示している。</p> <p>設計の相違 ・初期水位の設定の違いにより安定状態に至る時間が異なる記載方針の相違 ・泊は SEP 水が沸騰を開始する前までに注水準備が完了するため水位が低下せず、女川(水位が低下している状態から注水し水位が回復)と状況が異なる。このため、泊と同じ状況である島根と同様の記載とした。</p> <p>記載方針の相違 (女川実績の反映)</p>

泊発電所3号炉 有効性評価 比較表

灰色：女川2号炉の記載のうち、BWR固有の設備や対応手段であり、泊3号炉と比較対象とならない記載内容

赤字：設備、運用又は体制の相違（設計方針の相違）
青字：記載箇所又は記載内容の相違（記載方針の相違）
緑字：記載表現、設備名称の相違（実質的な相違なし）

7.3.1想定事故1

大飯発電所3／4号炉	女川原子力発電所2号炉	泊発電所3号炉	相違理由
<p>4.1.3 評価条件の不確かさの影響評価</p> <p>評価条件の不確かさの影響評価の範囲として、運転員等操作時間に与える影響、評価項目となるパラメータに与える影響、要員の配置による他の操作に与える影響及び操作時間余裕を評価するものとする。</p> <p>想定事故1は、送水車による使用済燃料ピットへの注水操作により、使用済燃料ピット水位の低下を抑制することが特徴である。</p> <p>また、送水車による使用済燃料ピットへの注水操作は、事象発生を起点とする操作であるため、不確かさの影響を確認する運転員等操作はない。</p> <p>(1) 評価条件の不確かさの影響評価</p> <p>a. 初期条件、事故条件及び重大事故等対策に関連する機器条件</p> <p>初期条件、事故条件及び重大事故等対策に関連する機器条件は、第4.1.2表に示すとおりであり、それらの条件設定を設計値等の最確値とした場合の影響を評価する。また、評価条件の設定に当たっては、原則、評価項目となるパラメータに対する余裕が小さくなるような設定としている。その中で事象進展に有意な影響を与えると考えられる崩壊熱、初期水位及び初期水温の影響評価の結果を以下に示す。</p> <p>(a) 運転員等操作時間に与える影響</p> <p>崩壊熱を最確値とした場合、評価条件で設定している崩壊熱より小さくなり、また、初期水位を最確値とした場合、評価条件で設定している水位より高くなるため、使用済燃料ピット水温の上昇が緩やかになり、水位低下が遅くなるが、使用済燃料ピット水温及び水位を起点とする運転員等操作はないことから、運転員等操作時間に与える影響はない。</p>	<p>4.1.3 評価条件の不確かさの影響評価</p> <p>評価条件の不確かさの影響評価の範囲として、運転員等操作時間に与える影響、評価項目となるパラメータに与える影響及び操作時間余裕を評価するものとする。</p> <p>想定事故1では、燃料プールの冷却機能及び注水機能が喪失することが特徴である。</p> <p>また、不確かさの影響を確認する運転員等操作は、燃料プール代替注水系（可搬型）による燃料プールへの注水操作とする。</p> <p>(1) 評価条件の不確かさの影響評価</p> <p>a. 初期条件、事故条件及び重大事故等対策に関連する機器条件</p> <p>初期条件、事故条件及び重大事故等対策に関連する機器条件は、第4.1.2表に示すとおりであり、それらの条件設定を設計値等、最確条件とした場合の影響を評価する。また、評価条件の設定に当たっては、評価項目となるパラメータに対する余裕が小さくなるような設定があることから、その中で事象進展に有意な影響を与えると考えられる項目に関する影響評価の結果を以下に示す。</p> <p>(a) 運転員等操作時間へ与える影響</p> <p>初期条件の燃料の崩壊熱は、評価条件の約6.7MWに対して最確条件は約6.4MW以下であり、評価条件の不確かさとして、最確条件とした場合は、評価条件で設定している燃料の崩壊熱より小さくなるため、燃料プール水温の上昇及び燃料プール水位の低下は緩和されるが、注水操作は燃料の崩壊熱に応じた対応をとるものではなく、冷却機能喪失による異常の認知を起点とするものであることから、運転員</p>	<p>7.3.1.3 評価条件の不確かさの影響評価</p> <p>評価条件の不確かさの影響評価の範囲として、運転員等操作時間に与える影響、評価項目となるパラメータに与える影響及び操作時間余裕を評価するものとする。</p> <p>想定事故1は、使用済燃料ピットの冷却機能及び注水機能が喪失することが特徴である。</p> <p>また、不確かさの影響を確認する運転員等操作は、可搬型大型送水ポンプ車による使用済燃料ピットへの注水操作とする。</p> <p>(1) 評価条件の不確かさの影響評価</p> <p>a. 初期条件、事故条件及び重大事故等対策に関連する機器条件</p> <p>初期条件、事故条件及び重大事故等対策に関連する機器条件は、第7.3.1.2表に示すとおりであり、それらの条件設定を設計値等、最確条件とした場合の影響を評価する。また、評価条件の設定に当たっては、評価項目となるパラメータに対する余裕が小さくなるような設定があることから、その中で事象進展に有意な影響を与えると考えられる使用済燃料ピット崩壊熱、初期水位及び初期水温、初期の地震起因のスロッシング発生並びに使用済燃料ピットに隣接するピットの状態に関する影響評価の結果を以下に示す。</p> <p>(a) 運転員等操作時間に与える影響</p> <p>初期条件の使用済燃料ピット崩壊熱を最確条件とした場合、評価条件で設定している使用済燃料ピット崩壊熱より小さくなるため使用済燃料ピット水温の上昇が緩やかになり、水位低下が遅くなるが、使用済燃料ピット水温及び水位を起点とする運転員等操作はないことから、運転員等操作時間に与える影響はない。</p>	<p>評価方針の相違（女川実績の反映）</p> <p>記載方針の相違（女川実績の反映） ・操作の特徴ではなく事故の特徴について記載</p> <p>評価方針の相違（女川実績の反映） ・泊は地震起因のスロッシング及び隣接するピットの状態の変動の影響を記載</p> <p>評価条件の相違 ・大飯はSFP初期水位を通常水位より低めに設定しているため、初期水位の変動は水位が高くなる場合のみを考慮している</p>

7.3.1 想定事故 1

泊発電所 3号炉 有効性評価 比較表

灰色：女川 2号炉の記載のうち、BWR 固有の設備や対応手段であり、泊 3号炉と比較対象とならない記載内容

赤字：設備、運用又は体制の相違（設計方針の相違）
青字：記載箇所又は記載内容の相違（記載方針の相違）
緑字：記載表現、設備名称の相違（実質的な相違なし）

大飯発電所 3／4号炉	女川原子力発電所 2号炉	泊発電所 3号炉	相違理由
初期水温を最確値とした場合、使用済燃料ピット水温が変動するが、使用済燃料ピット水温を起点とする操作はないことから、運転員等操作時間に与える影響はない。	<p>等操作時間に与える影響はない。</p> <p>初期条件の燃料プール水温は、評価条件の65°Cに対して最確条件は約27°C～約43°Cであり、評価条件の不確かさとして、最確条件とした場合は、評価条件で設定している燃料プールの初期水温より低くなり、沸騰開始時間は遅くなるため、時間余裕が長くなるが、注水操作は燃料プール水の初期水温に応じた対応をとるものではなく、冷却機能喪失による異常の認知を起点とするものであることから、運転員等操作時間に与える影響はない。</p> <p>初期条件の燃料プール水位は、評価条件の通常水位に対して最確条件は通常水位付近であり、評価条件の不確かさとして、最確条件とした場合は、評価条件での初期水位は通常水位を設定しているため、通常水位より低い水位の変動を考慮した場合、燃料プール水位が燃料有効長頂部まで低下する時間及び燃料プール水位の低下による異常の認知の時間は短くなる。条件によっては想定する冷却機能喪失による異常認知より早くなり、それにより操作開始が早くなるが、注水操作は冷却機能喪失による異常の認知を起点として操作を開始するため、その起点より操作開始が遅くなることはないことから、運転員等操作時間に与える影響はない。</p> <p>初期に地震起因のスロッシングが発生した場合、燃料プール水位の低下により原子炉建屋燃料取替床の線量率が上昇するものの、燃料プール水位が通常水位から放射線の遮蔽が維持される最低水位に到達するまでの時間は事象発生から約18時間後(10mSv/hの場合)であり、事象発生から13時間後までに燃料プール代替注水系(可搬型)による燃料プールへの注水が可能であることから、運転員等操作時間に与える影響はない。</p> <p>初期条件のプールゲートの状態は、評価条件のプールゲート閉に対して最確条件はプールゲート開であり、評価条件の不確かさとして、最確条件とした場合は、保有水量がプールゲート閉時と比べ1.8倍程度となり、燃料プール水温の上昇及び蒸発によ</p>	<p>初期条件の初期水温は、評価条件の40°Cに対して最確条件は装荷炉心毎に異なり、評価条件の不確かさとして、最確条件とした場合は、使用済燃料ピット水温が変動するが、使用済燃料ピット水温を起点とする運転員等操作はないことから、運転員等操作時間に与える影響はない。</p>	る。泊のSFP 初期水位の評価条件はNWL のため、初期水位が評価条件より低下する場合を考慮し、初期水位が水位低警報レベルである場合の影響を(b)項に記載。
		<p>初期条件の初期水位は、評価条件のNWLに対して最確条件はNWL付近であり、評価条件の不確かさとして、最確条件とした場合は、使用済燃料ピット水位が変動するが、使用済燃料ピット水位を起点とする運転員等操作はないことから、運転員等操作時間に与える影響はない。</p>	記載箇所の相違 ・初期水位の不確かさに関して大飯は前段の崩壊熱と合わせて記載している
		<p>初期に地震起因のスロッシングが発生した場合、評価条件で設定している初期水位よりも使用済燃料ピット水位が低くなるが、使用済燃料ピット水位を起点とする運転員等操作はないことから、運転員等操作時間に与える影響はない。</p>	評価方針の相違（女川実績の反映） ・泊は初期に地震起因のスロッシングが発生した場合の影響を記載
		<p>初期条件の使用済燃料ピットに隣接するピットの状態の変動を考慮した場合、評価条件として設定しているピットの状態より水量が少なくなるため使用済燃料ピット水位の低下は早くなるが、使用済燃料ピット水位を起点とする運転員等操作はない</p>	評価方針の相違 ・泊は隣接するピットの状態の変動の影響を記載（伊方と同様）

泊発電所3号炉 有効性評価 比較表

灰色：女川2号炉の記載のうち、BWR固有の設備や対応手段であり、泊3号炉と比較対象とならない記載内容

赤字：設備、運用又は体制の相違（設計方針の相違）
青字：記載箇所又は記載内容の相違（記載方針の相違）
緑字：記載表現、設備名称の相違（実質的な相違なし）

7.3.1想定事故1

大飯発電所3／4号炉	女川原子力発電所2号炉	泊発電所3号炉	相違理由
<p>(b) 評価項目となるパラメータに与える影響</p> <p>崩壊熱を最確値とした場合、評価条件で設定している初期水位より小さくなり、また、初期水位を最確値とした場合、評価条件で設定している初期水位より高くなるため、使用済燃料ピット水温の上昇が緩やかになる。したがって、使用済燃料ピット水位の低下が遅くなり、放射線の遮蔽が維持できる最低水位に到達するまでの時間に対する余裕が大きくなり、評価項目となるパラメータに対する余裕は大きくなる。</p> <p>初期水温の変動を考慮し、評価条件で設定している初期水温より高い場合、使用済燃料ピット水温の上昇は早くなるが、放射線の遮蔽が維持できる最低水位に到達するまでの時間は事象発生の約2.6日後と長時間であることから、初期水温の変動が評価項目となるパラメータに与える影響は小さい。</p> <p>また、使用済燃料ピットの初期水温を使用済燃料ピットポンプ1台故障時の使用済燃料ピット水平均温度の上限である65°Cとして評価した結果、事象発生から使用済燃料ピット水位が放射線の遮蔽が維持できる最低水位まで低下するのに要する時間は、初期水温40°Cの場合と比較して約0.2日短い約2.4日となるが、送水車による使用済燃料ピットへの注水は、事象発生の5.2時間後から可能となることから、十分な操作時間余裕があり、評価項目となるパラメータに与える影響は小さい。</p>	<p>る燃料プール水位の低下は緩和されるが、注水操作はプールゲートの状態に応じた対応をとるものではなく、冷却機能喪失による異常の認知を起点とするものであることから、運転員等操作時間に与える影響はない。</p> <p>(添付資料 4.1.6, 4.1.7, 4.1.8)</p> <p>(b) 評価項目となるパラメータに与える影響</p> <p>初期条件の燃料の崩壊熱は、評価条件の約6.7MWに対して最確条件は約6.4MW以下であり、評価条件の不確かさとして、最確条件とした場合は、評価条件で設定している燃料の崩壊熱より小さくなることから、評価項目となるパラメータに対する余裕は大きくなる。</p> <p>初期条件の燃料プール水温は、評価条件の65°Cに対して最確条件は約27°C～約43°Cであり、評価条件の不確かさとして、最確条件とした場合は、評価条件で設定している燃料プール水温より低くなるため、沸騰開始時間は遅くなり、燃料プール水位の低下は緩和されることから、評価項目となるパラメータに対する余裕は大きくなる。</p> <p>また、自然蒸発、燃料プール水温及び温度の上昇の非一様性により、評価で想定している沸騰による燃料プール水位低下開始時間より早く燃料プール水位の低下が始まることも考えられる。しかし、自然蒸発による影響は沸騰による水位の低下と比べて僅かであり、気化熱により燃料プール水は冷却される。さらに、燃料プール水温の非一様性も沸騰開始後の気泡上昇を駆動力とした対流により影響が小さくなることが考えられる。</p> <p>仮に事象発生直後から沸騰による燃料プール水位の低下が開始すると想定した場合であっても、燃</p>	<p>ことから、運転員等操作時間に与える影響はない。</p> <p>(b) 評価項目となるパラメータに与える影響</p> <p>初期条件の使用済燃料ピット崩壊熱を最確条件とした場合、評価条件で設定している使用済燃料ピット崩壊熱より小さくなるため、使用済燃料ピット水温の上昇が緩やかになる。したがって、使用済燃料ピット水位の低下が遅くなり、放射線の遮蔽が維持される最低水位に到達するまでの時間に対する余裕が大きくなり、評価項目となるパラメータに対する余裕は大きくなる。</p> <p>初期条件の初期水温は、評価条件の40°Cに対して最確条件は装荷炉心毎に異なり、評価条件の不確かさとして、初期水温の変動を考慮し、評価条件で設定している初期水温より水温が高い場合、使用済燃料ピット水温の上昇は早くなるが、放射線の遮蔽が維持される最低水位に到達するまでの時間は事象発生の約1.6日後と長時間であることから、初期水温の変動が評価項目となるパラメータに与える影響は小さい。</p> <p>また、使用済燃料ピットの初期水温を使用済燃料ピットポンプ1台故障時の使用済燃料ピット水平均温度の上限である65°Cとし、初期水位を水位低警報レベルであるNWL-0.08mとして評価した結果、事象発生から使用済燃料ピット水位が放射線の遮蔽が維持される最低水位まで低下するのに要する時間は、初期水温40°C及び初期水位NWLの場合と比較して約0.2日短い約1.4日となるが、可搬型大型送水泵による使用済燃料ピットへの注水は、事象発生の4.4時間後から可能となることから、十分な操作時間余裕があり、評価項目となるパラメータに</p>	<p>評価条件の相違 ・差異理由は前述どおり（10ページ参照）</p> <p>記載方針の相違（女川実績の反映）</p> <p>評価結果の相違</p> <p>評価条件の相違 ・差異理由は前述どおり（10ページ参照）</p> <p>評価結果の相違</p>

泊発電所3号炉 有効性評価 比較表

灰色：女川2号炉の記載のうち、BWR固有の設備や対応手段であり、泊3号炉と比較対象とならない記載内容

赤字：設備、運用又は体制の相違（設計方針の相違）
青字：記載箇所又は記載内容の相違（記載方針の相違）
緑字：記載表現、設備名称の相違（実質的な相違なし）

7.3.1想定事故1

大飯発電所3／4号炉	女川原子力発電所2号炉	泊発電所3号炉	相違理由
	<p>燃料プール水位が放射線の遮蔽が維持される最低水位に到達するまでの時間は事象発生から約17時間後(10mSv/hの場合)、燃料プール水位が燃料有効長頂部まで低下する時間は事象発生から3日以上あり、事象発生13時間後までに燃料プール代替注水系(可搬型)による注水が可能であることから、評価項目となるパラメータに与える影響は小さい。</p> <p>初期条件の燃料プール水位は、評価条件の通常水位に対して最確条件は通常水位付近であり、評価条件の不確かさとして、最確条件とした場合は、評価条件での初期水位は通常水位を設定しているため、その変動を考慮した場合、燃料プールが通常水位から燃料有効長頂部まで低下する時間は短くなるが、仮に初期水位を水位低警報レベル(通常水位から約0.17m下^{※1})とした場合であっても、放射線の遮蔽が維持される最低水位に到達するまでの時間は事象発生から約23時間後(10mSv/hの場合)、燃料プール水位が燃料有効長頂部まで低下する時間は事象発生から4日以上あり、事象発生から13時間後までに燃料プール代替注水系(可搬型)による注水が可能であることから、評価項目となるパラメータに与える影響は小さい。</p> <p>初期に地震起因のスロッシングが発生した場合、燃料プール水位の低下により原子炉建屋燃料取替床の線量率が上昇するものの、燃料プール水位が通常水位から放射線の遮蔽が維持される最低水位に到達するまでの時間は事象発生から約18時間後(10mSv/hの場合)、燃料有効長頂部まで低下する時間は事象発生から3日以上あり、事象発生から13時間後までに燃料プール代替注水系(可搬型)による注水が可能であることから、評価項目となるパラメータに与える影響は小さい。</p> <p>初期条件のプールゲートの状態は、評価条件のプールゲート閉に対して最確条件はプールゲート開であり、評価条件の不確かさとして、最確条件とした場合は、保有水量はプールゲート閉時と比べ1.8倍程度となり、燃料プール水温の上昇及び蒸発によ</p>	<p>泊発電所3号炉</p> <p>与える影響は小さい。</p> <p>初期条件の初期水位は、評価条件のNWLに対して最確条件はNWL付近であり、評価条件の不確かさとして、初期水位の変動を考慮し、評価条件で設定している初期水位が低い場合は、使用済燃料ビット水温の上昇は早くなるが、放射線の遮蔽が維持される最低水位に到達するまでの時間は事象発生の約1.6日後と長時間であることから、初期水位の変動が評価項目となるパラメータに与える影響は小さい。</p> <p>追而【地震津波側審査の反映】 (新たに設定した基準地震動によるSFPスロッシングの溢水量評価結果を受けて反映のため)</p> <p>初期に地震起因のスロッシングが発生した場合、事象発生から使用済燃料ビット水位が放射線の遮蔽が維持される最低水位まで低下するのに要する時間は、初期水位NWLの場合と比較して約0.1日短い約1.5日となるが、可搬型大型送水ポンプ車による使用済燃料ビットへの注水は、事象発生の4.4時間後から可能となることから、十分な操作時間余裕があり、評価項目となるパラメータに与える影響は小さい。</p> <p>初期条件の使用済燃料ビットに隣接するビットの状態の変動を考慮し、使用済燃料ビットと燃料取替キャナル及び燃料検査ビットを切り離した状態として評価した結果、事象発生から使用済燃料ビット水位が放射線の遮蔽が維持される最低水位まで</p>	<p>記載箇所の相違 ・初期水位の不確かさに関して大飯は前段の崩壊熱と合わせて記載している</p> <p>評価方針の相違（女川実績の反映） ・泊は初期に地震起因のスロッシングが発生した場合の影響を記載</p> <p>評価方針の相違 ・泊は隣接するビットの状態の変動の影響を記載（伊方と同様）</p>

泊発電所3号炉 有効性評価 比較表

灰色：女川2号炉の記載のうち、BWR固有の設備や対応手段であり、泊3号炉と比較対象とならない記載内容

赤字：設備、運用又は体制の相違（設計方針の相違）
青字：記載箇所又は記載内容の相違（記載方針の相違）
緑字：記載表現、設備名称の相違（実質的な相違なし）

7.3.1想定事故1

大飯発電所3／4号炉	女川原子力発電所2号炉	泊発電所3号炉	相違理由
<p>なお、使用済燃料ピット内では、わずかであるが常に蒸発現象が起きており、使用済燃料ピット内の水温上昇過程で沸騰にいたらなくとも蒸発により水位は少しづつ低下している。</p> <p>この影響を考慮し、100°Cの水が沸騰により蒸発する時間のみで評価した場合、事象発生から使用済燃料ピット水位が放射線の遮蔽が維持できる最低水位まで低下するのに要する時間は、初期水温40°Cの場合と比較して約0.5日短い約2.1日となるが、送水車による使用済燃料ピットへの注水は、事象発生の5.2時間後から可能となることから、十分な操作時間余裕があり、評価項目となるパラメータに与える影響は小さい。</p> <p>b. 操作条件</p> <p>操作条件の不確かさとして、評価条件の不確かさが運転員等操作時間に与える影響及び評価上の操作開始時間と実際に見込まれる操作開始時間等の操作時間の変動を考慮して、要員の配置による他の操作に与</p>	<p>る燃料プール水位の低下は緩和されることから、評価項目となるパラメータに対する余裕は大きくなる。</p> <p>※4 使用済燃料プール水位/温度(ヒートサーモ式)及び使用済燃料 プール水位/温度(ガイドバルス式)の水位低の警報設定値:通常水位-165mm (添付資料4.1.6, 4.1.7, 4.1.8)</p> <p>【P12, 13から再掲】</p> <p>また、自然蒸発、燃料プール水温及び温度の上昇の非一様性により、評価で想定している沸騰による燃料プール水位低下開始時間より早く燃料プール水位の低下が始まることも考えられる。しかし、自然蒸発による影響は沸騰による水位の低下と比べて僅かであり、気化熱により燃料プール水は冷却される。さらに、燃料プール水温の非一様性も沸騰開始後の気泡上昇を駆動力とした対流により影響が小さくなることが考えられる。</p> <p>仮に事象発生直後から沸騰による燃料プール水位の低下が開始すると想定した場合であっても、燃料プール水位が放射線の遮蔽が維持される最低水位に到達するまでの時間は事象発生から約17時間後(10mSv/hの場合)、燃料プール水位が燃料有効長頂部まで低下する時間は事象発生から3日以上あり、事象発生13時間後までに燃料プール代替注水系(可搬型)による注水が可能であることから、評価項目となるパラメータに与える影響は小さい。</p> <p>b. 操作条件</p> <p>操作条件の不確かさとして、操作の不確かさを「認知」、「要員配置」、「移動」、「操作所要時間」、「他の並列操作有無」及び「操作の確実さ」の6要因に分類し、これらの要因が運転員等操作時間に与える影響を評</p>	<p>低下する時間は、使用済燃料ピットと燃料取替用キャナル及び燃料検査ピットを接続した状態とした場合と比較して約0.2日短い約1.4日となるが、可搬型大型送水ポンプ車による使用済燃料ピットへの注水は、事象発生の4.4時間後から可能となることから、十分な操作時間余裕があり、評価項目となるパラメータに与える影響は小さい。</p> <p>なお、自然蒸発、使用済燃料ピット水温及び温度の上昇の非一様性により、評価で想定している沸騰による使用済燃料ピット水位低下開始時間より早く使用済燃料ピット水位の低下が始まることも考えられる。しかし、自然蒸発による影響は沸騰による水位の低下と比べて僅かであり、気化熱により使用済燃料ピット水は冷却される。さらに、使用済燃料ピット水温の非一様性も沸騰開始後の気泡上昇を駆動力とした対流により影響が小さくなることが考えられる。</p> <p>仮に事象発生直後から沸騰による使用済燃料ピット水位の低下が開始すると想定し、初期水位を水位低警報レベルNWL-0.08mとして100°Cの水が沸騰により蒸発する時間のみで評価した場合、事象発生から使用済燃料ピット水位が放射線の遮蔽が維持される最低水位まで低下するのに要する時間は、初期水温40°C及び初期水位NWLの場合と比較して約0.3日短い約1.3日となるが、可搬型大型送水ポンプ車による使用済燃料ピットへの注水は、事象発生の4.4時間後から可能となることから、十分な操作時間余裕があり、評価項目となるパラメータに与える影響は小さい。</p> <p>b. 操作条件</p> <p>操作条件の不確かさとして、操作の不確かさを「認知」、「要員配置」、「移動」、「操作所要時間」、「他の並列操作有無」及び「操作の確実さ」の6要因に分類し、これらの要因が運転員等操作時間に与える影響を評</p>	<p>記載方針の相違（女川実績の反映）</p> <p>評価条件の相違 ・差異理由は前述どおり（9ページ参照）</p> <p>評価結果の相違</p> <p>評価方針の相違（女川実績の反映）</p>

泊発電所3号炉 有効性評価 比較表

灰色：女川2号炉の記載のうち、BWR固有の設備や対応手段であり、泊3号炉と比較対象とならない記載内容

赤字：設備、運用又は体制の相違（設計方針の相違）
青字：記載箇所又は記載内容の相違（記載方針の相違）
緑字：記載表現、設備名称の相違（実質的な相違なし）

7.3.1想定事故1

大飯発電所3／4号炉	女川原子力発電所2号炉	泊発電所3号炉	相違理由
<p>れる影響及び評価項目となるパラメータに与える影響を確認する。</p> <p>(a) 要員の配置による他の操作に与える影響 送水車による使用済燃料ピットへの注水操作は、第4.1.3図に示すとおり、現場での操作であるが、同一の運転員等による事象進展上重複する操作はないことから、要員の配置による他の操作に与える影響はない。</p> <p>(b) 評価項目となるパラメータに与える影響 送水車による使用済燃料ピットへの注水操作は、評価上の操作開始時間に対して、運用として実際に見込まれる操作開始時間が早くなる。この場合、放射線の遮蔽が維持できる最低水位へ到達するまでの時間余裕が大きくなり、評価項目となるパラメータに対する余裕は大きくなる。</p>	<p>価する。また、運転員等操作時間に与える影響が評価項目となるパラメータに与える影響を評価し、評価結果を以下に示す。</p> <p>(a) 運転員等操作時間に与える影響 操作条件の燃料プール代替注水系（可搬型）による燃料プールへの注水操作は、評価上の操作開始時間として事象発生から13時間後を設定している。運転員等操作時間に与える影響として、当該操作は燃料プールの冷却機能喪失による異常の認知を起点として実施する大容量送水ポンプ（タイプI）の設置作業終了後から開始するものであり、これを含めても準備操作にかかる時間は10時間を見定していることから、実態の操作開始時間は想定している事象発生から13時間後より早まる可能性があり、運転員等操作時間に対する余裕は大きくなる。</p> <p style="text-align: right;">(添付資料4.1.8)</p> <p>【参考：全交流動力電源喪失（TBU）】</p> <p>操作条件の高圧代替注水系による原子炉注水操作は、解析上の操作開始時間として事象発生15分後に注水開始を設定している。運転員等操作時間に与える影響として、高圧注水機能喪失の認知に係る確認時間及び高圧代替注水系による原子炉注水の操作時間は、時間余裕を含めて設定されており、原子炉への注水開始時間も早まる可能性があることから、運転員等操作時間に対する余裕は大きくなる。</p> <p>なお、この操作を行う運転員は、他の操作との重複がないことから、操作開始時間が早まっても、他の運転員等の操作時間に与える影響はない。</p> <p>(b) 評価項目となるパラメータに与える影響 操作条件の燃料プール代替注水系（可搬型）による燃料プールへの注水操作は、運転員等操作時間に与える影響として、実態の操作開始時間が早まり、燃料プール水位の回復を早める可能性があることから、評価項目となるパラメータに対する余裕は大きくなる。</p>	<p>価する。また、運転員等操作時間に与える影響が評価項目となるパラメータに与える影響を評価し、評価結果を以下に示す。</p> <p>(a) 運転員等操作時間に与える影響 操作条件の可搬型大型送水ポンプ車による使用済燃料ピットへの注水操作は、評価上の操作開始時間として事象発生から約6.6時間後を設定している。運転員等操作時間に与える影響として、注水準備操作が想定より短い時間で完了することで操作開始時間が早まる可能性があることから、運転員等操作時間に対する余裕は大きくなる。</p> <p style="background-color: yellow;">なお、この操作を行う運転員等は、他の操作との重複がないことから、操作開始時間が早まっても、他の運転員等の操作時間に与える影響はない。</p> <p>(b) 評価項目となるパラメータに与える影響 操作条件の可搬型大型送水ポンプ車による使用済燃料ピットへの注水操作は、運転員等操作時間に与える影響として、実態の操作開始時間が早まり、使用済燃料ピット水位の回復を早める可能性があることから、評価項目となるパラメータに対する余裕は大きくなる。</p>	<p>記載方針の相違（女川実績の反映）</p>

泊発電所3号炉 有効性評価 比較表

灰色：女川2号炉の記載のうち、BWR固有の設備や対応手段であり、泊3号炉と比較対象とならない記載内容

赤字：設備、運用又は体制の相違（設計方針の相違）
青字：記載箇所又は記載内容の相違（記載方針の相違）
緑字：記載表現、設備名称の相違（実質的な相違なし）

7.3.1想定事故1

大飯発電所3／4号炉	女川原子力発電所2号炉	泊発電所3号炉	相違理由
<p>(2) 操作時間余裕の把握 操作遅れによる影響度合いを把握する観点から、評価項目となるパラメータに対して、対策の有効性が確認できる範囲内での操作時間余裕を確認する。</p> <p>送水車による使用済燃料ピットへの注水操作の操作時間余裕は、「4.1.2(3) 有効性評価の結果」に示すとおり、放射線の遮蔽が維持できる最低水位まで低下するのは事象発生の約2.6日後であり、送水車による注水を開始する時間である事象発生の5.2時間後に対して十分な操作時間余裕があることを確認した。</p> <p>(3) まとめ 評価条件の不確かさの影響評価の範囲として、運転員等操作時間に与える影響、評価項目となるパラメータに与える影響及び要員の配置による他の操作に与える影響を確認した。その結果、評価条件の不確かさが運転員等操作時間に与える影響等を考慮した場合においても、運転員等による送水車を用いた注水により、使用済燃料ピット水位を確保することで、評価項目となるパラメータに与える影響は小さい。 この他、評価項目となるパラメータに対して、対策の有効性が確認できる範囲内において操作時間余裕がある。また、要員の配置による他の操作に与える影響はない。</p> <p>(添付資料4.1.4)</p>	<p>(添付資料4.1.8) (2) 操作時間余裕の把握 操作開始時間の遅れによる影響度合いを把握する観点から、評価項目となるパラメータに対して、対策の有効性が確認できる範囲内での操作時間余裕を確認し、その結果を以下に示す。 操作条件の燃料プール代替注水系（可搬型）による燃料プールへの注水操作については、放射線の遮蔽が維持される最低水位に到達するまでの時間が事象発生から約1日後（10mSv/hの場合）、燃料プール水位が燃料有効長頂部まで低下する時間が事象発生から4日以上であり、事故を検知して注水を開始するまでの時間は事象発生から13時間後と設定しているため、準備時間が確保できることから、時間余裕がある。</p> <p>(添付資料4.1.8) (3) まとめ 評価条件の不確かさの影響評価の範囲として、運転員等操作時間に与える影響、評価項目となるパラメータに与える影響及び操作時間余裕を確認した。その結果、評価条件の不確かさが運転員等操作時間に与える影響等を考慮した場合においても、評価項目となるパラメータに与える影響は小さい。</p> <p>この他、評価項目となるパラメータに対して、対策の有効性が確認できる範囲内において、操作時間には時間余裕がある。</p>	<p>(2) 操作時間余裕の把握 操作開始時間の遅れによる影響度合いを把握する観点から、評価項目となるパラメータに対して、対策の有効性が確認できる範囲内での操作時間余裕を確認し、その結果を以下に示す。 操作条件の可搬型大型送水ポンプ車による使用済燃料ピットへの注水操作の操作時間余裕は、「7.3.1.2(3) 有効性評価の結果」に示すとおり、放射線の遮蔽が維持される最低水位に到達するまでの時間が事象発生の約1.6日後であり、可搬型大型送水ポンプ車による注水準備操作は事象発生の4.4時間後に完了することから、時間余裕がある。</p> <p>(3) まとめ 評価条件の不確かさの影響評価の範囲として、運転員等操作時間に与える影響、評価項目となるパラメータに与える影響及び操作時間余裕を確認した。その結果、評価条件の不確かさが運転員等操作時間に与える影響等を考慮した場合においても、評価項目となるパラメータに与える影響は小さい。</p> <p>この他、評価項目となるパラメータに対して、対策の有効性が確認できる範囲内において、操作時間には時間余裕がある。</p>	<p>記載表現の相違（女川実績の反映）</p> <p>評価結果の相違</p> <p>評価方針の相違（女川実績の反映）</p> <p>記載表現の相違（女川実績の反映）</p>
		(添付資料7.3.1.4)	

泊発電所3号炉 有効性評価 比較表

灰色：女川2号炉の記載のうち、BWR固有の設備や対応手段であり、泊3号炉と比較対象とならない記載内容

赤字：設備、運用又は体制の相違（設計方針の相違）
青字：記載箇所又は記載内容の相違（記載方針の相違）
緑字：記載表現、設備名称の相違（実質的な相違なし）

7.3.1想定事故1

大飯発電所3／4号炉	女川原子力発電所2号炉	泊発電所3号炉	相違理由
<p>4.1.4 必要な要員及び資源の評価</p> <p>(1) 必要な要員の評価</p> <p>想定事故1において、3号炉及び4号炉同時の重大事故等対策時に必要な要員は、「4.1.1(3) 燃料損傷防止対策」に示すとおり34名である。したがって、「6.2 重大事故等対策時に必要な要員の評価結果」に示す重大事故等対策要員74名で対処可能である。</p>	<p>4.1.4 必要な要員及び資源の評価</p> <p>(1) 必要な要員の評価</p> <p>想定事故1において、重大事故等対策時に必要な要員は、「4.1.1(3) 燃料損傷防止対策」に示すとおり28名である。「6.2 重大事故等対策時に必要な要員の評価結果」で説明している中央制御室の運転員、発電所対策本部要員及び重大事故等対策要員の28名で対処可能である。</p> <p>なお、今回評価した原子炉の運転停止中ではなく、原子炉運転中を想定した場合、事象によっては、原子炉における重大事故又は重大事故に至るおそれのある事故の対応と、想定事故1の対応が重畳することも考えられる。しかし、原子炉運転中を想定した場合、燃料プールに貯蔵されている燃料の崩壊熱が低いため、操作時間余裕が十分長くあり（原子炉運転開始直後を考慮しても燃料プール水が100°Cに到達するまで最低でも1日以上）、原子炉における重大事故又は重大事故に至るおそれのある事故の対応が収束に向かっている状態での対応となるため、中央制御室の運転員、発電所対策本部要員及び重大事故等対策要員により対応可能である。</p>	<p>7.3.1.4 必要な要員及び資源の評価</p> <p>(1) 必要な要員の評価</p> <p>想定事故1において、重大事故等対策時に必要な要員は、「7.3.1.1(3) 燃料損傷防止対策」に示すとおり20名である。「7.5.2 重大事故等対策時に必要な要員の評価結果」で説明している中央制御室の運転員、災害対策本部要員、災害対策要員及び災害対策要員（支援）の34名で対処可能である。</p> <p>なお、今回評価した原子炉の運転停止中ではなく、原子炉運転中を想定した場合、事象によっては、原子炉における重大事故又は重大事故に至るおそれのある事故の対応と、想定事故1の対応が重畠することも考えられる。しかし、原子炉運転中を想定した場合、使用済燃料ビットに貯蔵されている燃料の崩壊熱が低いため、操作時間余裕が十分長くあり（原子炉運転開始直後を考慮しても使用済燃料ビット水が100°Cに到達するまで最低でも半日以上）、原子炉における重大事故又は重大事故に至るおそれのある事故の対応が収束に向かっている状態での対応となるため、中央制御室の運転員、災害対策本部要員、災害対策要員及び災害対策要員（支援）により対応可能である。</p>	体制の相違 ・要員体制の差異
<p>(2) 必要な資源の評価</p> <p>想定事故1において、必要な水源、燃料及び電源は、「6.1(2) 資源の評価条件」の条件にて評価を行い、その結果を以下に示す。</p> <p>また、水源、燃料及び電源については、3号炉及び4号炉でそれぞれ独立した供給源を有することより、号炉間の事故シーケンスの重ね合わせの考慮が不要であり、号炉ごとに資源の供給が可能であることを確認する。ただし、燃料のうち送水車用燃料（軽油）については共用であるため、3号炉及び4号炉の合計の消費量を評価する。</p> <p>a. 水源</p> <p>海水を取水源として、送水車により使用済燃料ビットへ間欠的に注水(25m³/h)を行う。</p>	<p>(2) 必要な資源の評価</p> <p>想定事故1において、必要な水源、燃料及び電源は、「6.1(2) 資源の評価条件」の条件にて評価している。その結果を以下に示す。</p> <p>(添付資料4.1.9)</p> <p>a. 水源</p> <p>燃料プール代替注水系(可搬型)による燃料プールへの注水については、7日間の対応を考慮すると、合計</p>	<p>(2) 必要な資源の評価</p> <p>想定事故1において、必要な水源、燃料及び電源は、「7.5.1(2) 資源の評価条件」の条件にて評価している。その結果を以下に示す。</p>	記載方針の相違（女川実績の反映） ・原子炉が運転中に重大事故等が発生しても想定事故の対応が可能なことを、想定事故の本文にその旨明記する
		<p>a. 水源</p> <p>海水を取水源として、可搬型大型送水ポンプ車により使用済燃料ビットへ間欠的に注水(25m³/h)を行う。</p>	記載表現の相違（女川実績の反映） 設計の相違 ・泊はシングルプラント評価のためツインプラントでの評価である大飯とは評価条件が異なる（女川と同様）